

10

ISSN 0312-5299

1997

# РУКОВОДЯЩИЕ МАТЕРИАЛЫ

ПО ПРОЕКТИРОВАНИЮ  
ЭЛЕКТРОСНАБЖЕНИЯ  
СЕЛЬСКОГО  
ХОЗЯЙСТВА

ИНФОРМАЦИОННЫЙ БЮЛЛЕТЕНЬ

Москва

**АКЦИОНЕРНОЕ ОБЩЕСТВО ОТКРЫТОГО ТИПА ПО ПРОЕКТИРОВАНИЮ  
СЕТЕВЫХ И ЭНЕРГЕТИЧЕСКИХ ОБЪЕКТОВ**

**АО РОСЭП**

---

**РУКОВОДЯЩИЕ  
МАТЕРИАЛЫ  
ПО ПРОЕКТИРОВАНИЮ  
ЭЛЕКТРОСНАБЖЕНИЯ  
СЕЛЬСКОГО  
ХОЗЯЙСТВА**

**Октябрь**

**Москва 1997**

**С О Д Е Р Ж А Н И Е**  
**информационные и методические материалы**  
**по проектированию, строительству и эксплуатации**  
**сельских электрических сетей**

Стр.

<b>02. Линии электропередачи</b>	
ИММ N 02.06-97 от 12.03.97	
Рекомендации по проектированию пересечений ВЛ 6-10 и 35 кВ с	
инженерными сооружениями, естественными и водными преградами.	
Номограммы и графики для механического расчета проводов.	
Примеры расчета.....	3

**Акционерное общество открытого типа по проектированию  
сетевых и энергетических объектов**

**АО РОСЭП**

**ИНФОРМАЦИОННЫЕ И МЕТОДИЧЕСКИЕ МАТЕРИАЛЫ**

**по проектированию, строительству и эксплуатации сельских электрических сетей**

**12.03.97**

**02.06-97**

**N**

**Москва**

**Рекомендации по проектированию пере-  
сечений ВЛ 6-10 и 35 кВ с инженерными  
сооружениями, естественными и водными  
преградами**

Публикуем "Рекомендации по проектированию пересечений ВЛ 6-10 кВ и 35 кВ с инженерными сооружениями, естественными и водными преградами. Номограммы и графики для механического расчета проводов. Примеры расчета".

При проектировании пересечений ВЛ 6-35 кВ с проводами и другими параметрами пересечений, неприведенными в данной работе, рекомендуем в соответствующие номограммы внести дополнительные графики зависимостей требуемых данных.

Для сведения сообщаем, что "Рекомендации по проектированию пересечений ВЛ 6-35 кВ с линиями связи" опубликованы в РУМ-97 N 10 стр. 26.

Приложение : упомянутое на л. **4- 134**

Зам. Генерального директора АО РОСЭП

Ю.М. Кадыков

**Акционерное общество открытого типа  
по проектированию сетевых и энергетических объектов**

**АО РОСЭП**

**РЕКОМЕНДАЦИИ  
по проектированию пересечений ВЛ 6-10 и 35 кВ  
с инженерными сооружениями, естественными и  
водными преградами**

**Номограммы и графики для механического  
расчета проводов. Примеры расчета.**

**Москва 1997**

# СОДЕРЖАНИЕ

Стр.

## ПОЯСНИТЕЛЬНАЯ ЗАПИСКА

1. Требования ПУЭ-1985 г. к устройству пересечений.....	6
2. Задачи механического расчета проводов, возникающие при проектировании пересечений ВЛ с инженерными сооружениями и водными преградами.....	8
3. Примеры расчета габаритов пересечений графическим способом.....	15

## ВСПОМОГАТЕЛЬНЫЕ МАТЕРИАЛЫ

Часть I. Номограммы и графики для механического расчета проводов.....	31
Часть II. Графики зависимости напряжений и стрел провеса проводов от длины пролета.....	54

# ПОЯСНИТЕЛЬНАЯ ЗАПИСКА

## I. Требования ПУЭ, выпуск 1985 год) к устройству пересечений.

Расстояния между проводами пересекающихся ВЛ или между ВЛ и пересекаемым сооружением нормируются ПУЭ в зависимости от напряжения ВЛ и категории (класса) пересекаемого сооружения. Эти расстояния нормируются как в нормальном режиме работы пересекаемой ВЛ, так и в аварийном режиме - при обрыве провода в соседнем пролете.

В приложениях к настоящим рекомендациям на листах №№ 9 - 20 приведены требования ПУЭ к устройству пересечений ВЛ 6-10 и 35 кВ с основными, наиболее часто встречающимися инженерными сооружениями. Из рассмотрения этого перечня, составленного раздельно для ВЛ 6-10 и 35 кВ в целях удобства пользования, следует, что габариты пересечений необходимо проверять при следующих расчетных климатических условиях :

N п.п	Климатические условия	Вид пересечения
1.	Температура воздуха $t=$ плюс $15^{\circ}\text{C}$ , ветер отсутствует	Пересечение ВЛ между собой
2.	Наивысшая температура воздуха или гололед (наибольшая стрела провеса)	Пересечение ВЛ с линиями связи и радиотрансляции
3.	Наивысшая температура воздуха без учета нагрева провода электрическим током нагрузки	Пересечение ВЛ с автомобильными дорогами, судоходными реками и каналами, надземными трубопроводами и канатными дорогами.
4.	Наивысшая температура воздуха с учетом нагрева провода электрическим током	Пересечение ВЛ с железными дорогами.
5.	Температура воздуха $t=$ минус $5^{\circ}\text{C}$ , гололед, ветер отсутствует	Пересечение ВЛ с водными пространствами (проверка расстояния от нижнего провода до поверхности льда)
6.	Среднеэксплуатационная температура воздуха, ветер и гололед отсутствуют (проверка габарита пересечения в аварийном режиме при обрыве провода в соседнем пролете)	Пересечение ВЛ с линиями связи и радиотрансляции, железными и автомобильными дорогами, надземными трубопроводами и канатными дорогами

При проектировании ВЛ 6-10 и 35 кВ наиболее часто приходится выполнять расчеты по пунктам 1,2,3 и 6. Расчеты по пунктам 4 и 5 встречаются сравнительно редко. Таким образом, для осуществления графических методов расчета необходимо иметь графики зависимости напряжений и стрел провеса проводов от длины пролета, построенные для следующих расчетных климатических условий :

1. Температура воздуха  $t =$  плюс  $15^{\circ}$  С, ветер отсутствует ;
2. Наивысшая температура воздуха  $t$  макс. ветер отсутствует ;
3. Температура воздуха  $t =$  минус  $5^{\circ}$  С, гололед, ветер отсутствует ;
4. Среднеэксплуатационная температура воздуха. Ветер отсутствует.

Поскольку среднеэксплуатационная температура воздуха для различных широт существенно колеблется, строить для этого случая графики зависимости напряжений и стрел провеса от длины пролета нецелесообразно. Для этой цели можно воспользоваться данными таблиц монтажных напряжений и стрел провеса, приведенными в РУМе N 5 за 1995 год .

В указанном РУМе приведены "Методические указания по механическому расчету неизолированных проводов воздушных линий электропередачи напряжением 10 кВ, а также таблицы величин напряжений и стрел провеса проводов ВЛ 10 кВ.

В части II настоящей работы даны графики зависимости напряжений и стрел провеса провода для случаев  $t =$  плюс  $15^{\circ}$  С и  $t =$  плюс  $40^{\circ}$  С.

Если наивысшая температура воздуха в районе строительства ниже  $t =$  плюс  $40^{\circ}$  С, то можно вести расчет по графикам как для  $t =$  плюс  $40^{\circ}$  С (с запасом в габарите), уточняя конечный результат расчета по данным таблиц монтажных напряжений и стрел провеса проводов.

## **2. ЗАДАЧИ МЕХАНИЧЕСКОГО РАСЧЕТА ПРОВОДОВ, ВОЗНИКАЮЩИЕ ПРИ ПРОЕКТИРОВАНИИ ПЕРЕ- СЕЧЕНИЙ ВЛ С ИНЖЕНЕРНЫМИ СООРУЖЕ- НИЯМИ И ВОДНЫМИ ПРЕГРАДАМИ.**

Перечень задач механического расчета проводов, возникающих при проектировании пересечений ВЛ 35 кВ с инженерными сооружениями и водными пространствами, приведен ниже.

Для ВЛ 6-10 кВ с креплением проводов на штыревых изоляторах этот перечень значительно сокращается, так как при креплении проводов на штыревых изоляторах редукция тяжения в проводе отсутствует и определение приведенного пролета в много-пролетном анкерном участке для ВЛ 6-10 кВ не производится. Следовательно, пролет пересечения в многопролетном анкерном участке ВЛ 6-10 кВ рассматривается как однопролетный анкерный пролет.

Проверка габарита пересечения в аварийном режиме при обрыве провода в соседнем пролете для ВЛ 6-10 кВ также производится (стрела провеса в пролете пересечения возрастает за счет проскальзывания шлейфа при двойном креплении проводов).

### **ПЕРЕЧЕНЬ ЗАДАЧ.**

1. Определение стрелы провеса провода в середине однопролетного анкерного участка.
2. То же, в точке пересечения над инженерным сооружением.
3. Определение эквивалентного пролета при наличии разности высот подвески провода.
4. Определение приведенного пролета для многопролетного анкерного пролета.
5. Определение напряжения в проводе для приведенного пролета.
6. Определение стрелы провеса в пролете пересечения по найденному напряжению в проводе для приведенного пролета.
7. Определение стрелы провеса провода в пролете пересечения при обрыве провода в соседнем пролете.
8. Определение стрелы провеса провода с учетом дополнительного нагрева провода электрическим током.
9. Построение максимального шаблона для расстановки опор по профилю трассы ВЛ 35 кВ.

Как правило, все перечисленные задачи решаются для заданной марки провода, выбранной в результате электрического расчета ВЛ. Исключение составляют специальные пересечения ВЛ с судоходными реками, где повышенные требования к обеспечению судоходного габарита в пролете пересечения вызывают необходимость в применении стальных канатов. Однако, нередки и другие случаи пересечений, когда от марки провода, выбранной по электрической проводимости ВЛ, приходится отступать и для обеспечения требуемого габарита пересечения принимать марку провода повышенной механической прочности.

В этих случаях задача превращается в обратную : по допускаемой стреле провеса в точке пересечения требуется определить марку провода, обеспечивающую заданный габарит над пересекаемым объектом.

Как будет показано ниже, решение обратной задачи весьма затруднительно, а порой и вовсе невозможно аналитическими методами, легко и просто решается графическим способом.

### I. Определение стрелы провеса провода в середине однопролетного анкерного пролета.

Стрела провеса провода в середине пролета аналитически определяется через напряжение в проводе по одночленной формуле, связывающей стрелу провеса с напряжением в проводе (формулы механического расчета проводов в настоящей работе не приводятся). Прежде, чем решать уравнение состояния провода и определить в нем напряжение, необходимо выявить, какой режим работы провода следует принять за исходный : режим минимальной температуры, наибольшей нагрузки или среднеэксплуатационной температуры. Выполняется это путем начисления значений трех критических пролетов, сравнения с ними пролета пересечения и последующего решения уравнения состояния провода.

Графически эта задача решается прямым отсчетом по соответствующему графику зависимости стрелы провеса от длины пролета, составленному на основании данных систематических расчетов проводов.

В практике проектирования пересечений нередко приходится решать и задачу выбора высоты металлической опоры, обеспечивающей заданный габарит над пересекаемым сооружением. Подбор высоты металлической унифицированной опоры означает выбор необходимой металлической подставки, обеспечивающей требуемый габарит в точке пересечения.

Выбранная высота опоры (имеется в виду отметка подвеса нижнего провода ВЛ) складывается из высоты пересекаемого сооружения, требуемого габарита пересечения и стрелы провеса провода над пересекаемым объектом, причем переменной частью суммы является значение стрелы провеса.

С помощью графика зависимости стрелы провеса провода от длины пролета можно выписать несколько значений стрел провеса для разных марок проводов и тем самым решить вопрос о выборе высоты металлической опоры. При этом нередко оказывается более выгодным заменить в пролете пересечения выбранную марку провода на большее сечение, нежели использовать повышенные металлические опоры на подставках. Для этой же цели можно воспользоваться данными соответствующей таблицы монтажных напряжений и стрел провеса проводов, РУМ N 5, 1995 г.

## **2. Определение стрелы провеса провода в точке пересечения над инженерным сооружением**

Стрела провеса в точке пересечения аналитически определяется по одночленной формуле, связывающей стрелу провеса с напряжением в проводе, величиной приведенной нагрузки на провод и координатой точки пересечения.

Графически эта задача решается с помощью графика зависимости относительной стрелы провеса от относительной координаты точки пересечений (стр. № 33).

Предварительно по соответствующему графику отсчитывается стрела провеса в середине пролета пересечения. Стрела провеса в точке пересечения вычисляется умножением стрелы провеса в середине пролета на соответствующий понижающий коэффициент, определяемый по графику (стр. № 33).

Следует отметить, что в основе построения графика на стр. № 33 лежит свойство универсальности кривой провисания провода, построенной в относительных величинах: ее вид не зависит ни от материала и сечения провода, ни от климатических условий, ни от длины пролета, что весьма упрощает расчет стрелы провеса над пересекаемым объектом.

## **3. Определение эквивалентного пролета.**

Длина эквивалентного пролета аналитически вычисляется по двухчленной формуле, связывающей эквивалентный пролет с величиной разности отметок подвески провода, напряжением в проводе, приведенной нагрузкой на провод и длиной фактического пролета.

Графически эта задача решается прямым отсчетом по графику на стр. № 36.

Этот график, подобно графику на стр. № 36 является универсальным. Он одинаково пригоден для всех марок проводов, различных сочетаний климатических условий и длин пролета пересечения.

Для заданного отношения разности высот подвеса к стреле провеса провода зависимость между длиной эквивалентного пролета и длиной пролета пересечения оказывается линейной и описывается графически семейством прямых линий.

## **4. Определение приведенного пролета для многопролетного анкерного пролета**

Аналитически приведенный пролет определяется по формуле, содержащей квадратный корень из дроби, числитель которой состоит из суммы кубов отдельных пролетов, а знаменатель - из суммы тех же пролетов. Формула громоздка и пользование ею связано с действиями над большими цифрами.

По графику на стр. 37 приведенный пролет в трехпролетном анкерном участке вычисляется как функция двух относительных величин : отношения среднего пролета к наименьшему пролету и наибольшего к наименьшему. Полученная по графику величина является повышающим коэффициентом, на который необходимо умножить наименьший пролет, чтобы получить приведенный пролет (Наименьший пролет является при этом базой, к которой относятся все остальные величины).

Таким образом, пользование графиком связано с однозначными арифметическими действиями над простыми числами (деление, умножение), что значительно проще, чем расчет по формуле, и возможность случайных ошибок в вычислениях при этом существенно снижается.

Частные случаи многопролетного анкерного участка также решаются с помощью графика на стр. 37 , как частные случаи решения задачи. При этом для двухпролетного анкерного участка отношение среднего пролета следует принять равным нулю, а для трехпролетного анкерного участка с двумя равными пролетами - единице.

Если в составе анкерного участка не три, а четыре и более пролетов, то поступают следующим образом : все пролеты разбивают на три группы по возможности равные по количеству пролетов. В первую группу относят самые малые по длине пролеты, во вторую группу - средние и в третью - наибольшие. После этого из каждой группы визуально выбирают средний по длине пролет и пользуются этими пролетами, рассматривая многопролетный анкерный участок, как трехпролетный, т.е. приняв наименьший пролет за базу находят приведенный пролет по тому же графику на стр. 37 . Точность определения приведенного пролета вполне удовлетворительная и тем выше, чем больше количество пролетов входит в состав многопролетного анкерного участка.

#### 5. Определение напряжения в проводе для приведенного пролета

Эта задача решается непосредственным использованием соответствующего графика зависимости напряжений в проводе от длины пролета.

#### 6. Определение стрелы провеса провода в пролете пересечения по найденному напряжению в проводе для приведенного пролета

Определение стрелы провеса по известному напряжению в проводе аналитическим путем производится по одночленной формуле, связывающей стрелу провеса с напряжением в проводе, приведенной нагрузкой на провод и длиной пролета.

Графическое определение стрелы провеса провода в пролете пересечения по найденному напряжению в проводе для приведенного пролета производится по логарифмической номограмме стр. 34 и 35 .

Номограмма построена для случая действия приведенной нагрузки от собственной массы провода (см. горизонтальные линии с указанием материала провода). Для случая действия нагрузки от гололеда непосредственное пользование номограммой невозможно.

Однако, если для приведенного пролета известны не только напряжения в проводе при  $t = +40^\circ C$ , но и стрелы провеса при  $t = +40^\circ C$  и при гололеде, то можно пользоваться скорректированным напряжением для приведенного пролета (умноженным на отношение стрел провеса при  $t = +40^\circ C$  и при гололеде). По скорректированному напряжению можно определить стрелу провеса провода в пролете пересечения при гололеде, пользуясь той же логарифмической номограммой на стр. 34 и 35. Эта стрела провеса будет соответствовать стреле провеса при гололеде, хотя получена она с использованием номограммы, где участует приведенная нагрузка от собственной массы провода.

Операция корректировки напряжения для приведенного пролета не отнимает много времени, так как напряжения и стрелы провеса как при наивысшей температуре  $t = +40^\circ C$ , так и при гололеде расположены на одном и том же листе графика.

### **7. Определение стрелы провеса провода в пролете пересечения при обрыве провода в соседнем пролете**

Проверка стрелы провеса провода в пролете пересечения на обрыв провода в соседнем пролете производится при установке в пролете пересечения промежуточных опор. При креплении проводов на подвесных или штыревых изоляторах решение этой задачи имеет свои особенности.

При креплении проводов на подвесных изоляторах редукция тяжения и соответствующее увеличение стрелы провеса провода в аварийном режиме происходит за счет отклонения поддерживающих изолирующих подвесок (гирлянд изоляторов). Численное значение коэффициента редукции зависит от длины и массы подвески, длины пролета, а также от числа пролетов до ближайшей анкерной опоры, оставшихся целыми при аварии.

Крепление проводов на штыревых изоляторах в пролете пересечения выполняется двойным, т.е. с устройством шлейфа на дополнительном изоляторе. Увеличение стрелы провеса в пролете пересечения при обрыве провода в соседнем пролете может произойти за счет проскальзывания провода в вязке, изгиба штыря или крюка и т.д. В расчетах принимается, что провод проскальзывает в вязке на полную длину шлейфа и тем самым длина провода в пролете пересечения увеличивается на длину шлейфа. Все остальные пролеты, оставшиеся целыми после аварии, не оказывают влияния на величину коэффициента редукции в пролете пересечения.

**Случай 1.** Крепление проводов на переходных промежуточных опорах выполнено на подвесных изоляторах.

Задача решается по методике упрощенного расчета, разработанной институтом "Энергосетьпроект". Упрощенный способ расчета состоит в определении коэффициентов редукции тяжения по формулам, связывающим коэффициенты редукции  $K_1$  и  $K_6$  со стрелой провеса, длиной изолирующей подвески и длиной пролета.

( $K_1$  - коэффициент редукции тяжения при одном оставшемся целом пролете и  $K_6$  - коэффициент редукции тяжения при шести оставшихся целыми пролетах).

Промежуточные значения коэффициентов редукции определяются по несложным формулам через  $K_1$  и  $K_6$ .

Входящие в формулы для определения  $K_1$  и  $K_6$  значения пролетов - разные. В первом случае это среднее арифметическое значение между величинами действительного и приведенного пролетов, во втором случае - значение приведенного пролета.

При аналитическом способе решения после определения по формулам соответствующего коэффициента редукции напряжение в проводе для приведенного пролета, (предварительно также найденное аналитическим путем), умножается на коэффициент редукции и по редуцированному напряжению по упомянутой выше одночленной формуле определяется стрела провеса в пролете пересечения.

При графическом способе решения задачи коэффициенты редукции  $K_1$  и  $K_6$  определяются по графикам на стр. 39 .

Если число пролетов, оставшихся целыми, равно 2+5, то соответствующие коэффициенты редукции вычисляются по тем же простым формулам, предложенным в методике института "Энергосетьпроект" и приведенным на стр. 39 .

По найденному из графиков стр. 39 коэффициенту редукции  $K$  и напряжению в проводе для приведенного пролета определяется редуцированное напряжение в проводе и далее по nomogramme на стр. 34 или 35 по найденному редуцированному напряжению определяется стрела провеса провода в пролете пересечения и сравнивается с допускаемой стрелой провеса. Если полученная стрела провеса больше допускаемой, необходимо передвинуть опору или заменить провод на большее сечение.

Последние операции можно производить и в другом порядке : вначале по найденному из таблиц напряжению для приведенного пролета найти стрелу провеса провода в пролете пересечения в нормальном режиме, после чего делением последней на коэффициенты редукции определяется стрела провеса провода в пролете пересечения в аварийном режиме. Бремя, затраченное на расчет, в обоих случаях одинаково.

Значение стрелы провеса в пролете пересечения в аварийном режиме можно также получить и непосредственно из таблиц проекта N 33ббтм, разработанного институтом "Энергосетьпроект".

**Случай 2.** Крепление проводов на переходных промежуточных опорах выполнено на штыревых изоляторах.

Для ВЛ с креплением проводов на штыревых изоляторах понятия приведенного пролета не существует. Стрела провеса провода в пролете пересечения при среднеэксплуатационной температуре в нормальном режиме работы ВЛ определяется по таблицам стрел провеса проводов (РУМ N 5 1995 г.). В аварийном режиме работы ВЛ (обрыв провода в соседнем пролете) стрела провеса определяется прямым отсчетом на стр. 40 , построенным раздельно для разных длин шлейфов, встречающихся в проектах опор с креплением проводов на штыревых изоляторах.

### 8. Определение стрелы провеса провода с учетом дополнительного нагрева провода электрическим током

Для решения этой задачи нужно знать мощность, передаваемую по линии, материал и сечение провода, выбранного в результате электрического расчета ВЛ.

Дополнительную температуру нагрева провода током нагрузки определяют по графику на стр. 38 .

Стрела провеса для этого случая должна быть вычислена при температуре провода, равной максимальной температуре воздуха в районе трассы ВЛ плюс дополнительная температура от нагрева провода электрическим током нагрузки, найденная по графику на листе N 38 .

В однопролетном анкерном пролете стрела провеса провода с учетом его нагрева электрическим током может быть найдена из таблиц стрел провеса провода (РУМ N 5 1995 г.) методом графической экстраполяции. В линиях электропередачи дополнительная температура нагрева провода, как правило, не превышает плюс 5-10° С и метод графической экстраполяции позволяет достаточно точно определить шестую точку по известным из таблицы пяти точкам.

Если пересечение ВЛ с железной дорогой выполнено по схеме К-П-П-К, то дополнительную температуру от нагрева провода электрическим током находят по тому же графику на листе N 38 , а напряжение в проводе для приведенного пролета определяют методом графической экстраполяции по таблицам напряжений проводов (РУМ N 5, 1995 г.).

По найденному напряжению в проводе для приведенного пролета стрела провеса провода в пролете пересечения определяется по номограмме на стр. 37 или 35.

## 9. Построение максимального шаблона для расстановки опор по профилю трассы ВЛ 35 кв

Задача построение максимального шаблона для расстановки опор по профилю трассы ВЛ не имеет прямого отношения к проектированию пересечений ВЛ с инженерными сооружениями однако, эта задача является обязательным элементом в проектировании линий электропередачи напряжением 35 кв.

Максимальный шаблон строится в искаженном масштабе, как и профиль трассы ВЛ. Предварительно для выбранного габаритного пролета находят наибольшую стрелу провеса провода в середине пролета (см. соответствующий график зависимости стрелы провеса провода от длины пролета). При построении длину габаритного пролета разбивают на 10 равных частей. Ординаты максимального шаблона получают умножением наибольшей стрелы провеса на соответствующий коэффициент по таблице стр. 33 .

В основе использования таблицы лежит отмеченная выше особенность кривой провисания провода, построенной в относительных величинах - ее вид не зависит ни от марки и сечения провода, ни от климатических условий, ни от длины габаритного пролета.

### 3. ПРИМЕРЫ РАСЧЕТА ГАБАРИТОВ ПЕРЕСЕЧЕНИЙ ГРАФИЧЕСКИМ СПОСОБОМ

ПРИМЕР 1. Определить наибольшую стрелу провеса провода А 95 в середине однопролетного анкерного пролета длиной  $\ell=120$  м.

Провод монтируется с ослабленным тяжением  $\sigma_{\text{доп.}}=5,3 \text{ кг}/\text{мм}^2$  по условию прочности опор. Климатические условия :  $P_h=40 \text{ кг}/\text{м}^2$ ,  $C=5\text{мм}$ ,  $t=\text{плюс } 40^\circ \text{ С.}$

#### РЕШЕНИЕ.

Наибольшая стрела провеса провода определяется прямым отсчетом по графику на стр. 63 .

$$f = 2,85 \text{ м}$$

#### ПРИМЕР 2.

Пересечение ВЛ 10 кВ с шоссейной дорогой I категории выполнено по схеме К-К (см.рис. N 1).

Определить каким проводом должно быть выполнено пересечение, чтобы при заданной высоте опор анкерного типа обеспечить требуемый ПУЭ габарит пересечения  $H=7,0 \text{ м}$ . Тяжение в проводе должно быть ослабленным по условию прочности опор.

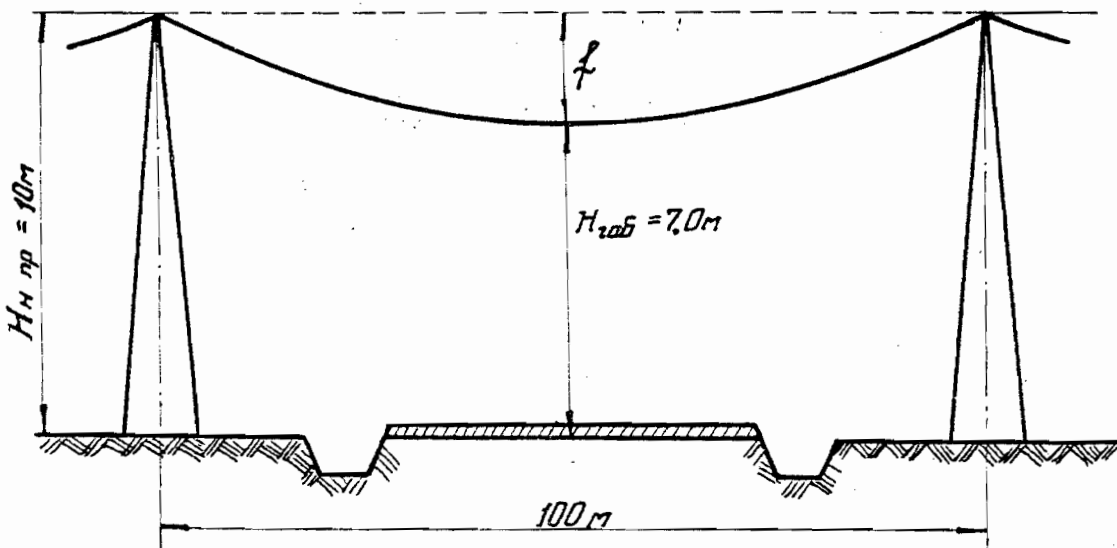


Рис. I

Климатические условия  $P=40 \text{ кг}/\text{м}^2$ ,  $C=10 \text{ мм}$ ,  $t \text{ макс.}= \text{плюс } 35^\circ \text{ С.}$

## РЕШЕНИЕ

Допускаемая наибольшая стрела провеса

$$f = H_{\text{н}} \text{ пр} - H_{\text{габ.}} = 10 - 7 = 3 \text{ м.}$$

Откладывая найденное значение допускаемой стрелы провеса провода на графике зависимости стрелы провеса стр. 67, определяем, какие провода находятся ниже и какие выше полученной точки. Ближайшим снизу проводом, обеспечивающим габариты пересечения, является провод марки А 50 при  $\sigma = 7,1 \text{ кг/мм}^2$ .

Стрела провеса при этом равна :

$$f = 2,8 < 3,0 \text{ м.}$$

Все марки проводов, расположенные выше полученной точки, не обеспечивают габарит пересечения.

Другим решением является подвеска провода марки АС 35 при  $\sigma = 10,5 \text{ кг/мм}^2$  (см. график на стр. 70). Стрела провеса при этом составляет

$$f = 2,7 < 3,0 \text{ м.}$$

## ПРИМЕР 3.

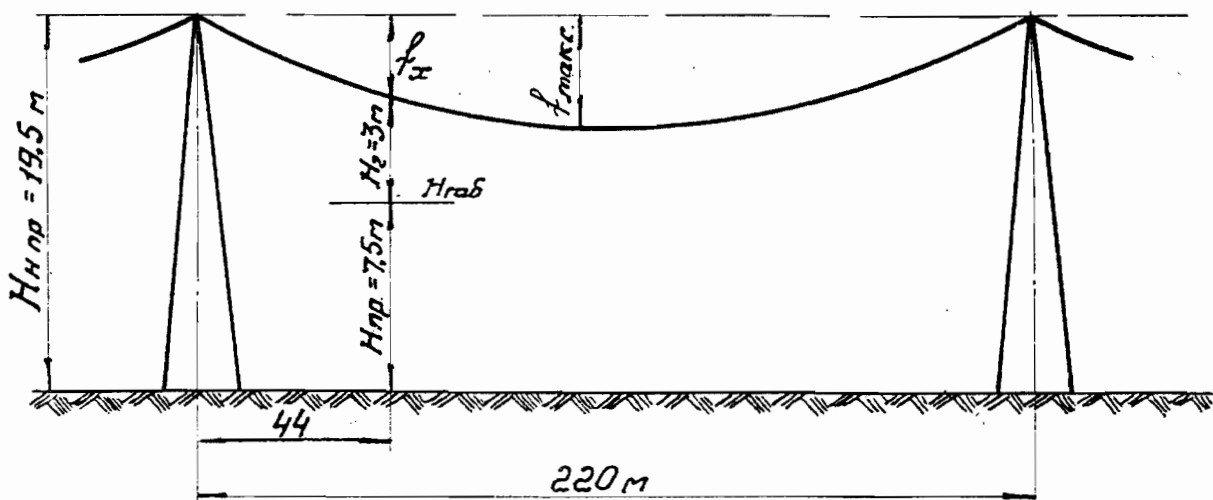


Рис.2

Проверить обеспеченность требуемого габарита при пересечении ВЛ 35 кВ линией связи I класса. Марка провода, выбранного в результате электрического расчета ВЛ АС 70.

Климатические условия : Р=50 кг/м<sup>2</sup>, С=10 м.

т макс.= плюс 38° С.

Опоры металлические У-110-1+9.

Высота подвески нижнего провода = Нн.пр.=19,5 м. Высота подвески верхнего провода линии связи Н пр. = 7,5 м. Требуемый по ПУЭ габарит пересечения Н габ.=3,0м.

РЕШЕНИЕ. Допускаемая стрела провеса провода над пересекаемым сооружением :

$$f_x = H_{\text{н}} \text{ пр.} - H_{\text{пр.}} - H_{\text{габ.}} = 19,5 - 7,5 - 3 = 9,0 \text{ м}$$

Допускаемая стрела провеса провода в середине пролета определится делением полученной величины  $f_x$

на коэффициенты К по графику на стр. 33.

$f_x$  доп. 9,0

$$f \text{ макс.} = \frac{\text{доп.}}{K} = \frac{9,0}{0,64} = 14 \text{ м}$$

где  $K=0,64$  отсчитывается по графику N 2 на относительной координате точки пересечения.

$$\frac{x}{1} = \frac{44}{220} = 0,2$$

По графику на стр. 77 находим стрелу провеса в середине пролета  $f$  макс. = 7,0 м.

$$f \text{ макс.} = 7,0 \text{ м} < f \text{ макс.} = 14 \text{ м}$$

доп.

т.е габарит пересечения обеспечен с запасом  $7 \times 0,64 = 4,48$  м.

ПРИМЕР 4. Н габ. = 3+4,48=7,48 м.

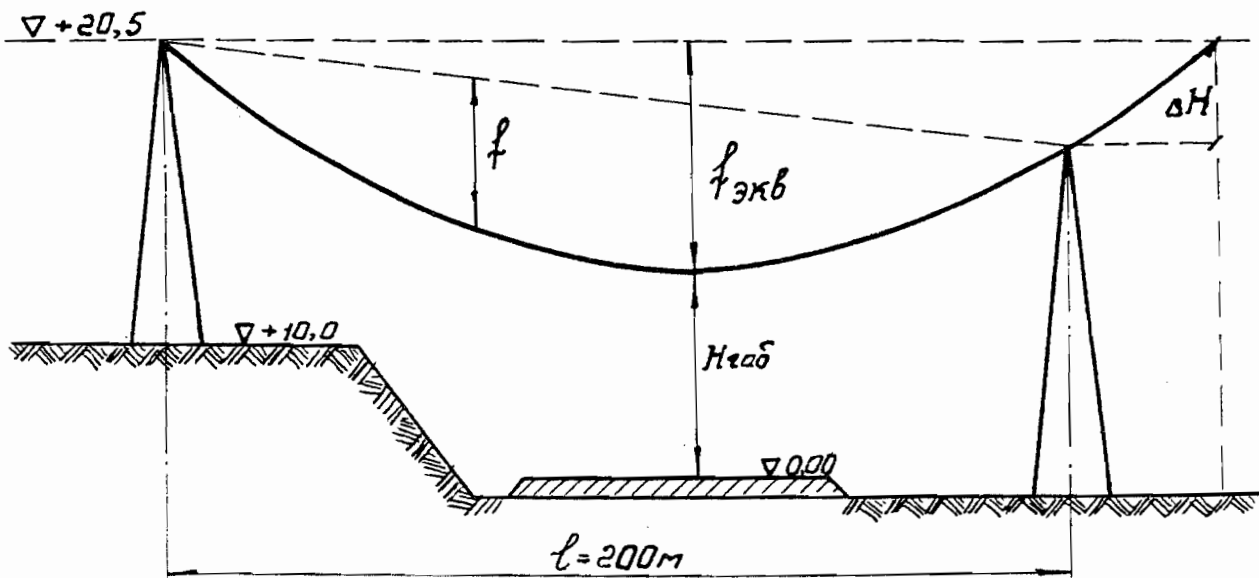


Рис.3

Проверить габарит над полотном автомобильной дороги III категории при пересечении с ВЛ 35 кВ на металлических опорах с проводом АС 95

Климатические условия : Р=50 кг/м<sup>2</sup>, С=15 мм

По требованиям ПУЭ габарит при  $t$  макс. = плюс 36° С  
должен составлять  $H = 7,0$  м

## РЕШЕНИЕ

По графику на стр. 74 определяем стрелу провеса в пролете пересечения  $f = 7,50$  м при  $t \text{ макс.} = \text{плюс } 40^\circ \text{ С}$ . Поскольку стрела провеса при гололеде без ветра больше найденной стрелы провеса всего на 1 - 3 см, окончательно принимаем стрелу провеса  $f = 7,5 \text{ м}$ .

Вычисляем отношение разности высот подвеса провода к стреле провеса :

$$\frac{H}{f} = \frac{10}{7,5} = 1,33$$

По графику на стр. 36 определяем, насколько эквивалентный пролет больше пролета пересечения.

$$l = 63 \text{ м}$$

$$\text{Откуда } l_{\text{экв.}} = 200 + 63 = 263 \text{ м.}$$

По графику стр. 74 Часть II, определяем стрелу провеса провода в эквивалентном пролете.

$$f_{\text{экв.}} = 13,0 \text{ м}$$

Габарит над полотном автомобильной дороги выдержан

$$H_2 = 20,5 - 13,0 = 7,5 \text{ м} > 7,0 \text{ м}$$

ПРИМЕР 5. Проверить обеспеченность заданного габарита пересечения  $H_{\text{габ.}} = 22,5 \text{ м}$  при пересечении ВЛ 35 кВ с судоходной рекой, выполненного по схеме К-П-П-К на металлических опорах П-110-1+4 при подвеске стального каната марки ТК-10.

Климатические условия :  $R_h = 40 \text{ кг}/\text{м}^2$ ,  $C = 10 \text{ мм}$ ,  $t \text{ макс.} = \text{плюс } 37^\circ \text{ С}$ .

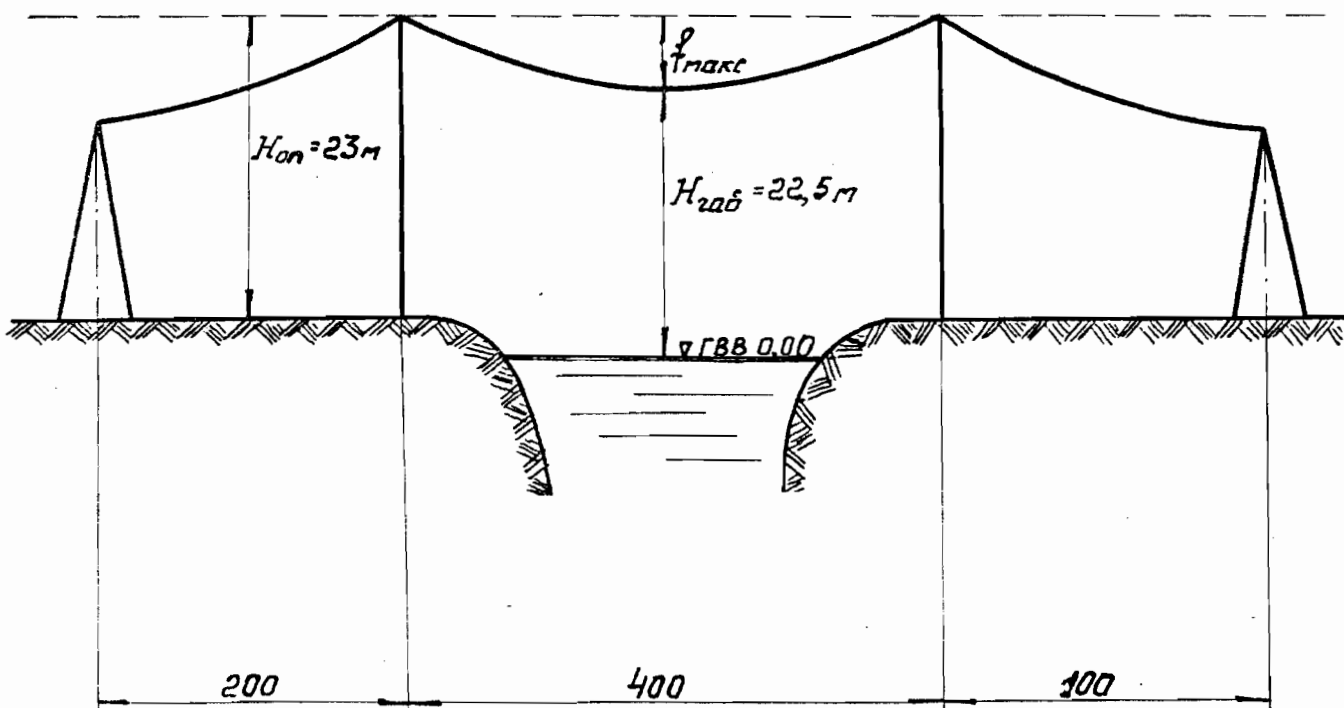


Рис.4

**РЕШЕНИЕ.** Габарит пересечения с судоходными реками нормируется при наивысшей температуре  $t$  макс.

Определим допускаемую стрелу провеса провода в пролете пересечения

$$f_{\text{доп.}} = 23,0 + 4,5 - 22,5 = 5,0 \text{ м}$$

По графику на стр. 38 определим длину приведенного пролета, для чего предварительно определим относительные пролеты

$$200 \quad 400$$

$$Y = \frac{200}{100} = 2; \quad X = \frac{400}{100} = 4$$

По найденным относительным пролетам находим относительный приведенный пролет

$$L = 3,42$$

откуда  $l_{\text{прив.}} = 10 \times 3,42 = 34,2 \text{ м.}$

Приводим  $l_{\text{прив.}} = 100 \times 3,42 = 342 \text{ м.}$

Приводим изысканные климатические условия к требованиям ПУЭ для специпереходов через судоходные реки. Принимаем высоту подвеса центра тяжести провода равной 24 м.

Коэффициент увеличения скоростного напора ветра по высоте равен 1,35.

Толщину стенки гололеда увеличиваем на одну ступень. Приведенные климатические условия :  $P_H = 40 \times 1,35 = 54 \text{ кг/м}^2$ ,  $C = 10 \text{ мм.}$

Напряжения в проводе для приведенного пролета определим по графику на стр. 104.

$$\sigma_{\text{прив.}} = 34,5 \text{ кг/мм}^2$$

По найденному напряжению в проводе стрелу провеса провода в пролете пересечения определим по логарифмической номограмме на стр. 34 .

$$f = 4,2 \text{ м} < 5,0 \text{ м},$$

т.е. судоходный габарит выдержан.

#### ПРИМЕР 6.

При тех же климатических условиях, как и в примере 5, определить марку стально-го каната, обеспечивающего заданный судоходный габарит в пролете пересечения :  $H_{\text{габ.}} = 20 \text{ м.}$  Выбор типа концевых опор по расчетному усилию от тяжения провода, а также проверку габарита до поверхности льда не производить. Размеры и отметки см. на рис. N 4.

#### РЕШЕНИЕ.

Приведенный пролет и приведенные климатические условия были определены в примере N 5.

$$l_{\text{прив.}} = 342 \text{ м} \quad P_H = 54 \text{ кг/м}^2 \quad C = 10 \text{ мм.}$$

Допускаемая стрела провеса в пролете пересечения

$$f_{\text{доп.}} = 23,0 + 4,5 - 20 = 7,5 \text{ м}$$

По логарифмической номограмме на стр. 34 определим напряжение в проводе марки ТК в пролете пересечения  $l = 400$  м, обеспечивающее допускаемую стрелу провеса  $f = 7,5$  м.

$$\sigma' = 22,0 \text{ кг}/\text{мм}^2.$$

На графике зависимости напряжений в проводе от длины пролета на стр. 104, откладываем найденную величину  $\sigma' = 22,0 \text{ кг}/\text{мм}^2$  по вертикали приведенного пролета  $l \text{ прив.} = 342$  м.

Так как полученная точка 0 лежит ниже всех марок стальных канатов ТК, делаем вывод: марка ТК-9 обеспечивает судоходный габарит пересечения.

Проверим, какой запас в габарите пересечения будет иметь место при подвеске стального каната ТК-9.

Проверку производим по номограмме на стр. 34 для пролета пересечения  $l = 400$  м, используя значение  $\sigma' = 32,1 \text{ кг}/\text{мм}^2$  для стального каната ТК-9 (т.е. производим обратное действие) и находим стрелу провеса провода ТК-9 при наибольшей температуре  $t = +40^\circ \text{C}$ .

$$f = 5,2 \text{ м.}$$

Габарит пересечения обеспечен, запас в габарите равен

$$f \text{ доп.} - f \text{ макс.} = 7,5 - 5,2 = 2,3 \text{ м}$$

#### ПРИМЕР 7.

ВЛ 35 кВ пересекает линию связи II класса (см. рис. N 5).

Провод АС 95. Климатические условия:

$$P_h = 50 \text{ кг}/\text{м}^2, C = 10 \text{ мм}, t \text{ макс.} = +40^\circ \text{C},$$

$$t_{ср.3} = 0^\circ \text{C}.$$

Определить габарит пересечения в нормальном режиме работы линии ( $H_2 > 3$  м).

Проверить габарит пересечения в аварийном режиме работы ВЛ при обрыве провода в соседнем пролете.

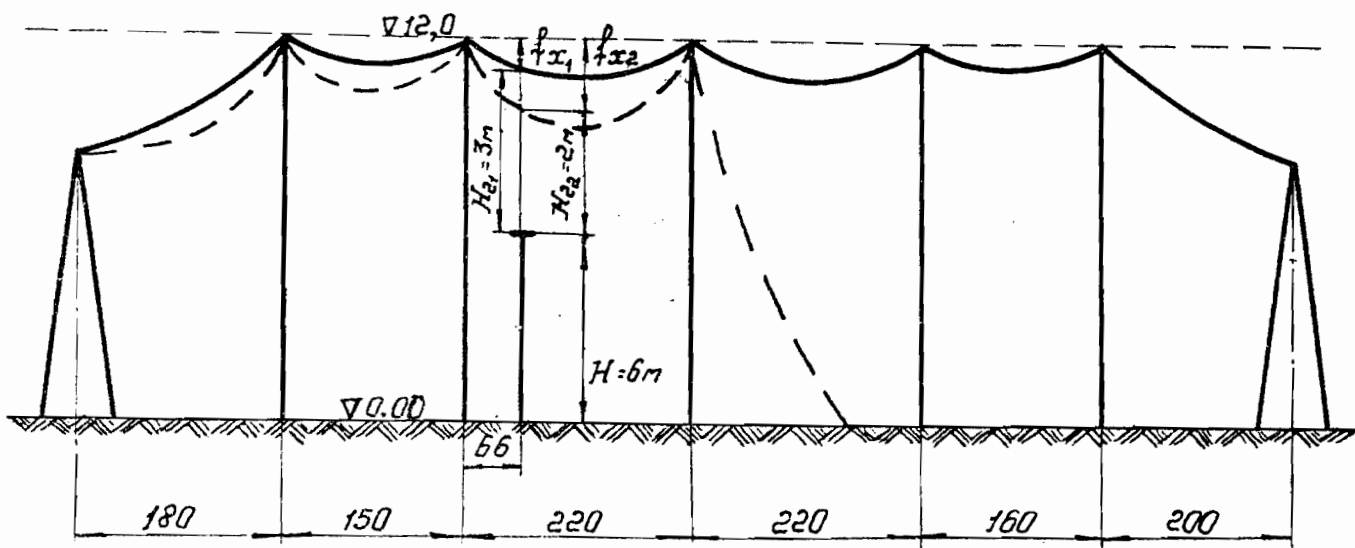


Рис.5

## РЕШЕНИЕ

Допускаемая стрела провеса над пересекаемым сооружением в нормальном режиме работы ВЛ

$$f_{x1} = 12 \cdot 6 \cdot 3 = 3 \text{ м}$$

То же, при обрыве провода в соседнем пролете

$$f_{x2} = 12 \cdot 6 \cdot 1 = 5 \text{ м}$$

По графику на листе №3 определим допускаемую стрелу провеса провода в середине пролета.

$$X \quad 66$$

$$\text{По относительной координате } \frac{X}{l} = \frac{66}{220} = 0,3$$

находим относительную стрелу провеса  $K = 0,84$ .

Допускаемая стрела провеса в нормальном режиме

$$f_{\text{макс.1}} = \frac{3}{0,84} = 3,57 \text{ м}$$

в аварийном режиме

$$f_{\text{макс.1}} = \frac{5}{0,84} = 6,0 \text{ м}$$

Для определения длины приведенного пролета разобьем все пролеты на три группы:

Группа 1

150,160

Группа 2

180,200

Группа 3

220,220.

Назначаем три условные пролета

$l_1 = 155 \text{ м}$

$l_2 = 190 \text{ м}$

$l_3 = 220 \text{ м}$

Вычисляем относительные пролеты

$$X = \frac{190}{155} = 1,23$$

$$Y = \frac{220}{155} = 1,42$$

По графику на стр. №3 определяем относительный приведенный пролет  
 $l = 1,3$

Приведенный пролет

$$l_{\text{прив.}} = 155 \times 1,3 = 202 \text{ м}$$

Напряжение в проводе АС 95 для приведенного пролета  $l = 202 \text{ м}$  определяем по графику на стр. 77.

$$\sigma' = 3,5 \text{ кг/мм}^2$$

По номограмме на стр. №3 находим стрелу провеса провода в пролете пересечения  $l = 220 \text{ м}$  при нормальном режиме работы ВЛ и наивысшей температуре

$t_{\text{макс. плюс 400 С.}}$

$$f_{\text{макс.}} = 6,3 \text{ м} > 3,57 \text{ м}$$

т.е. габарит пересечения в нормальном режиме не выдержан и провод АС 95 не удовлетворяет требованиям ПУЭ к габариту пересечения. Заменяем провод АС 95 на стальной канат марки ТК-9.

По графику на стр. 104 находим напряжение в стальном канате ТК-9 для приведенного пролета

$$l_{\text{прив.}} = 202 \text{ м}$$

$$\sigma' = 30,1 \text{ кг/мм}^2.$$

По номограмме на стр. 35 находим стрелу провеса в пролете пересечения при  $t = +40^\circ \text{ С.}$

$$f = 1,75 \text{ м} < 3,57 \text{ м}$$

По таблице монтажных напряжений и стрел провеса проводов (РУМ N 5 1995 г.) проверяем стрелу провеса в пролете пересечения в режиме гололедной нагрузки

$$f_{\text{гол.}} = 2,59 < 3,57 \text{ м}$$

Следовательно, габарит пересечения в нормальном режиме обеспечен и при гололедной нагрузке.

По этой же таблице записываем напряжение в проводе в режиме среднеэксплуатационной температуры для приведенного пролета

$$\sigma'_{\text{ср.з.}} = 38,9 \text{ кг/мм}^2.$$

По номограмме 1.1 на стр. 34 определяем стрелу провеса провода в пролете пересечения в режиме среднегодовой температуры

$$f_{\text{ср.з.}} = 1,32 \text{ м}$$

Для проверки габарита пересечения при обрыве провода в соседнем пролете определим коэффициенты редукции  $K_1$  и  $K_6$  по графику на стр. 39.

Для этого вычисляем значения величин

$$X = \frac{l}{f_{\text{ср.з.}}} = \frac{220}{1,32} = 220 = 126$$

$$L = \frac{l}{f_{\text{ср.з.}}} = \frac{220}{3,06} = 220 = 72$$

По графику на стр. 39 определяем значение коэффициентов редукции  $K_1 = 0,18$      $K_6 = 0,38$

Расчетным является случай обрыва провода в соседнем пролете справа, когда остаются целыми три пролета

$$K_3 = K_1 + 3K_6 = \frac{0,18}{4} + \frac{3,0}{4} + \frac{0,38}{4} = 0,36$$

Стрела провеса при редуцированном тяжении

$$f_{\text{ав}} = f_{\text{ср.з.}} = \frac{1,32}{K} = \frac{1,32}{0,36} = 3,7 < 6,0$$

т.е. габарит пересечения в аварийном в аварийном режиме выдержан.

ПРИМЕР 8. Проверить габарит при пересечении ВЛ 35 кВ с железной дорогой по схеме К-П-П-К проводом АС 70.

Размеры и отметки см на рис. 6.

Климатические условия :  $P_H = 40 \text{ кг}/\text{м}^2$ ,  $C = 10 \text{ мм}$

$t_{\max} = +30^\circ \text{C}$

Линия электропередачи обеспечивает электроснабжение потребителей от районной подстанции 35 кВ с двумя трансформаторами мощностью 2500 кВА каждый

$S = 5000 \text{ кВА}$

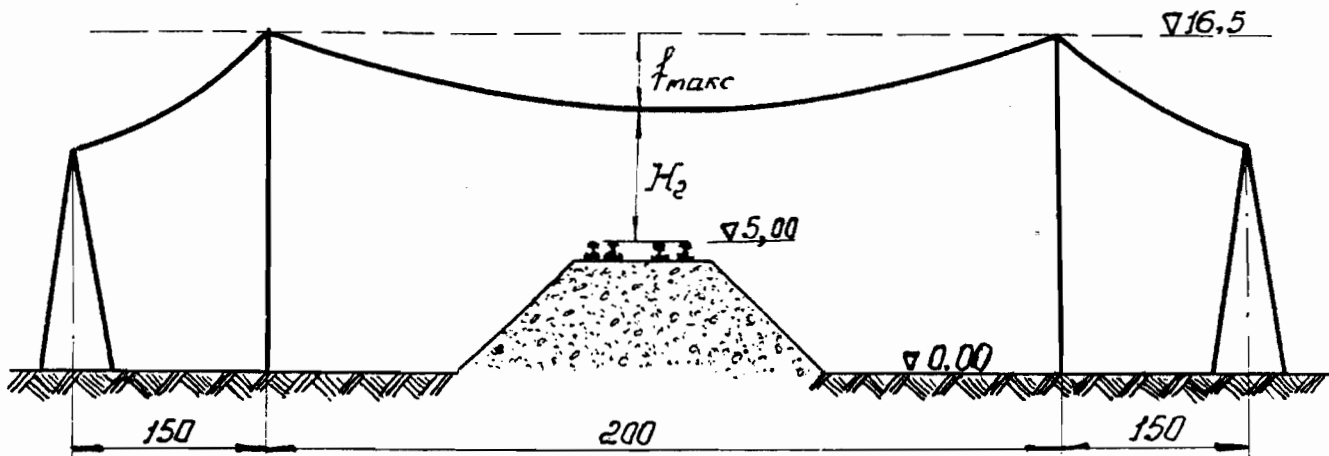


Рис. 6.

**РЕШЕНИЕ :**

Стрелу провеса при пересечении ВЛ 35 кВ с железной дорогой согласно требованиям ПУЭ определяем с учетом нагрева провода электрическим током нагрузки. Ток нагрузки :

$$I = \frac{S}{\sqrt{3} U} = \frac{5000}{\sqrt{3} \cdot 35} = 83 \text{ A}$$

По графику ... на стр. 38 определяем дополнительную температуру нагрева провода АС 70 током нагрузки

$$\Delta t = 8,7^\circ \text{C}$$

Наивысшая температура воздуха с учетом дополнительного нагрева составляет :

$$t_{\max} + \Delta t = 30^\circ + 8,7^\circ = +38,7^\circ \text{C}$$

Следовательно, в данном случае для определения стрел провеса и напряжений в проводе допустимо воспользоваться графиками, построенными для  $t_{\max} = +40^\circ \text{C}$ .

Дальнейший ход решения задачи аналогичен решению задачи в примере N 5.

Приведенный пролет определяем по графику . . . стр. 37 .

$$x = \frac{150}{150} = 1 \quad y = \frac{200}{150} = 1,33 \quad z = 1,15$$

$$l \text{ прив.} = 150 \times 1,15 = 173 \text{ м.}$$

Напряжение в проводе АС 70 для приведенного пролета  $l = 173$  м определяем по графику на стр. 73 .

$$G' = 2,6 \text{ кг/мм}^2.$$

Стрелу провеса в пролете пересечения  $l = 200$  м определяем по номограмме . . . на стр. 34 .

$$f_{\text{макс.}} = 3,8 \text{ м}$$

Габарит от нижнего провода до головки рельса составляет  
 $H_2 = 16,5 - 5,0 - 3,8 = 7,7 \text{ м} > 7,5 \text{ м},$   
т.е. габарит пересечения обеспечен.

#### ПРИМЕР 9.

Для пересечения залива несудоходного озера, представленного на рис. N 7, проверить габарит пересечения в период ледостава. Переход выполнен проводом ТК-20. Климатические условия :  $R_h = 40 \text{ кг/м}^2$ ,  $C = 15 \text{ мм}$

$$t_{\text{макс.}} = \text{плюс } 38^\circ \text{ С}$$

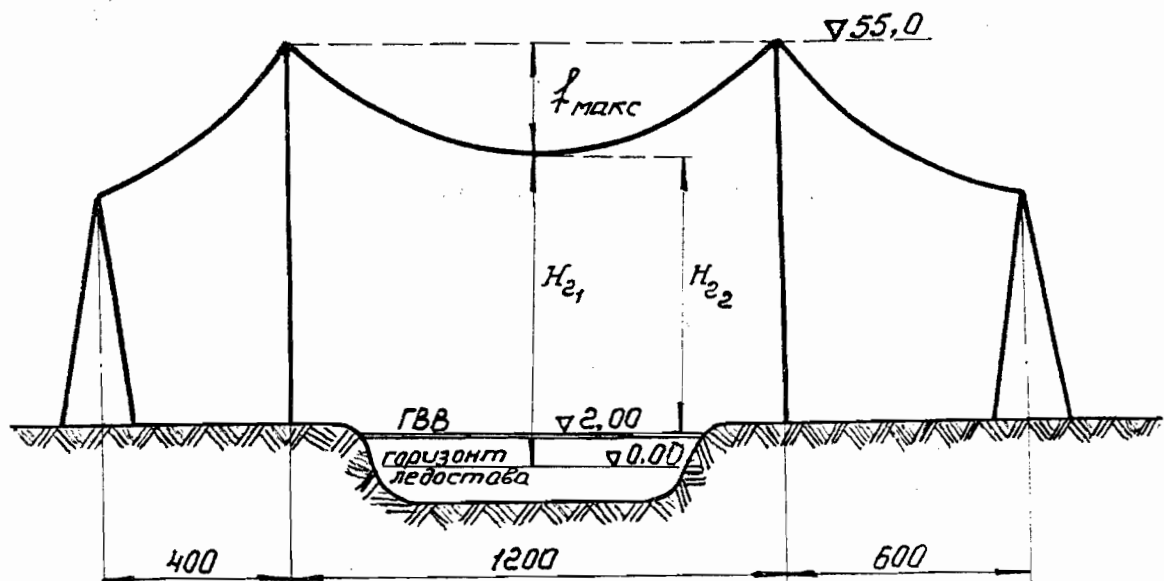


Рис. №7

РЕШЕНИЕ. ПУЭ нормирует габарит до уровня высоких вод  $H_{у.в.с.} = 3$  м и до уровня ледостава  $H_{у.л.} = 6$  м.

Проверяем тот и другой габарит.

Допускаемая стрела провеса при  $t = +40^\circ C$

$$f_1 = 55 - 3 = 52 \text{ м}$$

То же, при гололеде  $t = -5^\circ C$

$$f_2 = 55 - 6 = 49 \text{ м.}$$

Определим длину приведенного пролета по графику на стр. 38.

$$\begin{array}{lll} x = 1200 = 3; & y = 1200 = 2; & z = 2,4 \\ 400 & 600 & \end{array}$$

$$l_{\text{прив.}} = 400 \times 2,4 = 960 \text{ м.}$$

Приводим изысканные климатические условия к створу перехода

$$C = 15 + 5 = 20 \text{ мм}$$

Принимая центр тяжести провода на высоте 28 м и коэффициент увеличения скоростного напора ветра на высоте  $K = 1,57$  определяем расчетное значение нормативного давления ветра на провод

$$P_n = 40 \times 1,57 = 62,8 \text{ кг/м}^2$$

Принимаем ближайший нормативный напор ветра  $P_n = 65 \text{ кг/м}^2$ .

По графику на стр. 109 находим напряжение в канате ТК-20 для приведенного пролета  $l_{\text{прив.}} = 960$  м при  $t_{\text{макс.}} = +40^\circ C$ .

$$\sigma' = 31 \text{ кг/мм}^2.$$

По номограмме на стр. 35 определяем стрелу провеса в пролете пересечения

$$l = 1200 \text{ м}$$

$$f_1 = 42 \text{ м} < 52 \text{ м.}$$

Габарит над наивысшим горизонтом воды в озере выдержан с запасом 14 м.

Стрелу провеса при гололеде каната ТК-20 для приведенного пролета  $l_{\text{прив.}} = 960$  м находим по таблице стрел провеса (РУМ N 5 1995 г.). Для  $P = 65 \text{ кг/м}^2$  и  $C = 20 \text{ мм}$

$$f = 36 \text{ м.}$$

Находим стрелу провеса при максимальной температуре для приведенного пролета по графику на стр. (РУМ N 5, 1995 г.)

$$f = 32 \text{ м.}$$

Корректируем ранее найденное напряжение в приведенном пролете  $\sigma'_{\text{прв}} = 31 \text{ кг/мм}^2$  для  $t = +40^\circ C$

$$\sigma'_{\text{кор}} = \sigma' \cdot \frac{32}{36} = \frac{8}{9} \cdot 31 = 27,6 \text{ кг/мм}^2$$

По номограмме на стр. 35 определим стрелу провеса стального каната ТК-20 в пролете пересечения  $l = 1200$  м при гололеде

$$f_2 = 46 \text{ м} < 49 \text{ м}$$

Габарит над отметкой ледостава в озере выдержан с запасом 3 м.

### ПРИМЕР 10.

Построить максимальный шаблон для расстановки по профилю железобетонных опор ВЛ 35 кВ. Габаритный пролет для данных опор, климатических условий и марки провода выбран по проекту опор, равным 200 м. Провод АС 95. Климатические условия:  $P_H = 65 \text{ кг}/\text{м}^2$ ,  $C = 10 \text{ мм}$ ,  $t_{\text{макс.}} = +40^\circ \text{ С}$ .

### РЕШЕНИЕ

По графику на стр. 79 определяем стрелу провеса провода для выбранного габаритного пролета

$$f = 5,5 \text{ м.}$$

По графику N 1 или таблице на стр. 33 составим таблицу координат максимального шаблона умножением найденной стрелы провеса в середине пролета на соответствующий понижающий коэффициент.

X <sub>e</sub>	0	0,1	0,2	0,3	0,4	0,5	0,6	0,7	0,8	0,9	1,0
X <sub>m</sub>	0	20	40	60	80	100	120	140	160	180	200
Y <sub>m</sub>	0	2,65	3,52	4,62	5,28	5,50	5,28	4,62	3,52	2,65	0

Шаблон построен для наивысшей температуры, так как стрела провеса провода АС 95 при гололеде, согласно примечанию на графике, на стр. 79, на 15-17 см меньше, чем при наивысшей температуре  $t_{\text{макс.}} = +40^\circ \text{ С}$ .

### ПРИМЕР 11.

Шоссейная дорога II категории пересекается ВЛ 10 кВ согласно рис.8. Переход выполнен на угловых промежуточных опорах. Нормируемый ПУЭ габарит пересечения в нормальном режиме работы ВЛ 7 м, в аварийном 4,5 м. Провод АС 50.

Климатические условия : ветер 40 кг/м<sup>2</sup>, гололед 5 мм. Наивысшая температура  $t = +40^\circ \text{ С}$ , среднеэксплуатационная температура  $t_0 = 0^\circ \text{ С}$ . Требуется проверить габарит пересечения в нормальном и в аварийном режиме работы ВЛ.

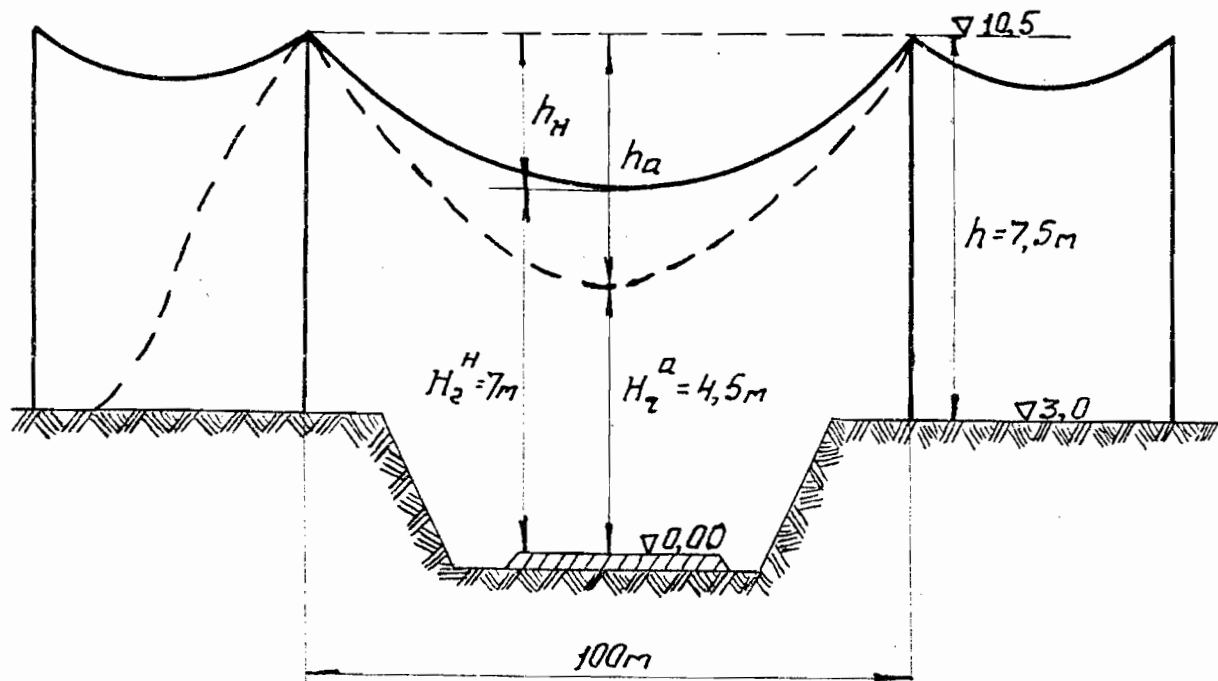


Рис. 8

## РЕШЕНИЕ.

Допускаемая стрела провеса провода в нормальном режиме работы ВЛ  
 $7,5 + 3 - 7 = 3,5$  м.

Допускаемая стрела провеса провода в аварийном режиме работы ВЛ  
 $7,5 + 3 - 4,5 = 6$  м.

Габарит пересечения в нормальном режиме работы ВЛ должен быть выдержан при наибольшей стреле провеса провода.

По графику на стр. 69 для провода АС при  $\sigma_{\text{доп.}} = 10,5 \text{ кг/мм}^2$  записываем стрелу провеса провода в пролете пересечения при  $t = +40^\circ \text{ С.}$

Согласно указаний в пояснительной записке эта стрела провеса является наибольшей, т. е. превышает стрелу провеса при гололеде без ветра.

$$f_{\text{макс.}} = 1,65 \text{ м.}$$

Поскольку полученная стрела провеса меньше допускаемой

$$1,65 < 3,5 \text{ м}$$

габарит пересечения в нормальном режиме работы ВЛ выдержан с запасом

$$3,5 - 1,65 = 1,85 \text{ м.}$$

Габарит пересечения при обрыве провода в соседнем пролете проверяется при среднеэксплуатационной температуре.

Стрелу провеса в пролете пересечения при среднеэксплуатационной температуре в нормальном режиме работы ВЛ определяем по таблице напряжения в РУМе N 5 за 1995 год.

$$f_0 = 0,97 \text{ м.}$$

Длина шлейфа для угловой промежуточной опоры составляет 0,4 м.

По графику на стр. 40 отсчитываем стрелу провеса  $f$  в пролете пересечения  $l=100$  м по известной стреле провеса провода в нормальном режиме работы ВЛ

$$f = 4,0 \text{ м.}$$

Полученная стрела провеса меньше допускаемой

$$4,0 < 6 \text{ м.}$$

Следовательно габарит пересечения в аварийном режиме работы ВЛ выдержан с запасом

$$6 - 4,0 = 2,0 \text{ м}$$

## ПРИМЕР 12

Пересечение ВЛ 10 кВ с судоходной рекой намечено выполнить на металлических опорах У-110-1 (см.рис. 9). Определить высоту опоры и марку провода, исходя из минимума затрачиваемого металла.

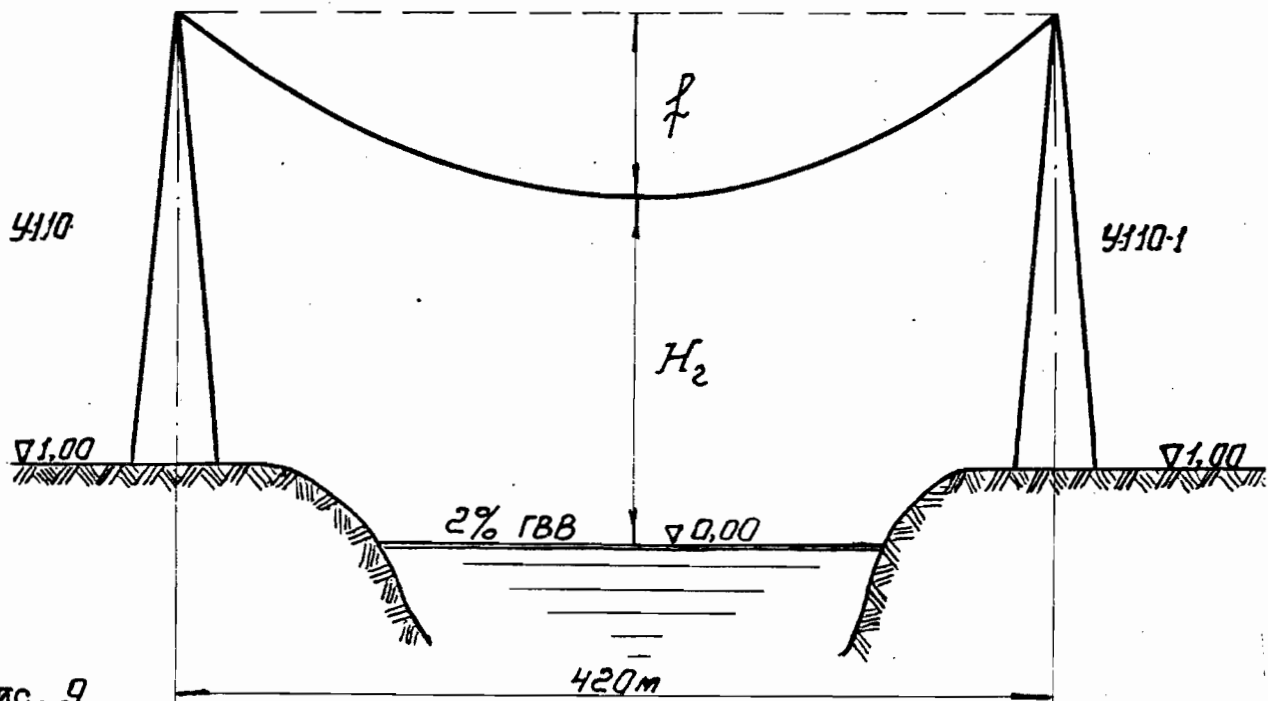


Рис. 9

Требуемый судоходный габарит  $H = 14$  м.

Изысканные климатические условия по трассе ВЛ :

Расчетная скорость ветра 25 м/с ( $P = 40 \text{ кг}/\text{м}^2$ ).

Гололед  $C = 5$  мм.

Максимальная температура  $t_{\text{макс.}} = \text{плюс } 32^\circ \text{ С.}$

Минимальная температура  $t_{\text{мин.}} = \text{минус } 40^\circ \text{ С.}$

Среднеэксплуатационная температура воздуха

$$t_3 = \text{плюс } 3,4^\circ \text{ С.}$$

Приводим изысканные климатические условия трассы к створу пересечения :

I) Толщину стенки гололеда увеличиваем на одну ступень

$$C = 5 + 5 = 10 \text{ мм}$$

2) Поскольку требуемый габарит перехода составляет  $H_2 = 14$  м, принимаем коэффициент увеличения скоростного напора по ветру равным  $K = 1,35$  (высота подвески центра тяжения провода в пределах 15-25 м)

$$P_H = 40 \times 1,35 = 54 \text{ кг}/\text{м}^2$$

Для выполнения предварительных расчетов по графикам принимаем следующие климатические условия :

$$P_H = 50 \text{ кг}/\text{м}^2, \quad C = 10 \text{ мм}, \quad t_{\text{мин.}} = \text{минус } 40^\circ \text{ С}$$

$$t_{\text{макс.}} = \text{плюс } 40^\circ \text{ С}, \quad t_3 = 0^\circ \text{ С}$$

Эти условия несколько отличаются от фактических (однако, полученные результаты мало отличаются от действительных, а для окончательно выбранной марки провода полученную стрелу провеса можно уточнить с учетом фактических условий на пересечении).

Определим допускаемую стрелу провеса провода для случая применения опор У-110-І без подставок и с подставками высотой 5 м.

$$f \text{ доп.1} = 10,5 + 1 - 14,0 = -2,5 \text{ м.}$$

$$f \text{ доп.2} = 19,5 + 1 - 14,0 = 6,5 \text{ м.}$$

$$f \text{ доп.3} = 24,5 + 1 + 14,0 = 11,5 \text{ м.}$$

При выбранном профиле пересечения применение опор У-110-І без подставок исключается.

Результаты вычислений сведены в таблицу I.

Таблица I.

Допускаемая стрела провеса провода м

Шифр опоры	Наличие подставок	Габарит подвески нижнего провода	Допускаемая стрела провеса провода м.
У-110-І	-	10,5	нет
У-110-І+9	9	19,5	6,5
У-110-І+14	9+5	24,5	11,5

Выбираем по графикам (см. Часть II) стрелы провеса проводов разных марок и сечений и результаты сопоставления с величиной допускаемой стрелы провеса сводим в таблицу 2.

Таблица 2.

Марка провода	Стрела провеса провода, м	Запас в габарите при установке опор		
		У-110-І	У-110-І+9	У-110-І+14
ПС 35	16,6	Нет	Нет	Нет
ПС 50	14,8	Нет	Нет	Нет
ТК-9	5,5	Нет	1,35	6,35

Поскольку все отклонения от климатических условий приняты в сторону запаса в габарите и при уточнении стрелы провеса последняя уменьшится, принимаем окончательно канат марки ТК-9, монтируемый на опорах У-110-І+9 (с одной

подставкой). Вариант установки опоры У-110+14 (с двумя подставками) отклоняется, как неэкономичный по расходу металла.

Последующее уточнение стрелы провеса производим по таблице N 4 (РУМ N 5 1995 г.).  
(РУМ N 5 1995 г.)

По таблице N 4 при  $t = +40^\circ\text{C}$   $\sigma = 35,6 \text{ кг}/\text{мм}^2$  и  $f = 5,15 \text{ м}$ .

Фактические климатические условия на переходе отличаются от принятых на величину

$$t_{\text{макс.}} = +40 - 32 = 8^\circ\text{C}$$

$$t_s = 3,2 - 0 = 3,2^\circ\text{C}$$

$$\Delta t = 11,2^\circ\text{C}$$

Следовательно напряжения в проводе и соответствующие им стрелу провеса следует принимать при  $t_{\text{макс.}} = +28,8^\circ\text{C}$ , чему соответствует

$$\sigma_t = 35,6 + 1,6 = 37,2 \text{ кг}/\text{мм}^2$$

Уточненная стрела провеса при  $\sigma_{\text{ут}} = 37,2 \text{ кг}/\text{мм}^2$  может быть найдена по номограмме на стр. 35 или по соотношению

$$f_{\text{уточн.}} = f \times \frac{\sigma}{\sigma_{\text{уточн.}}} = 5,15 \times \frac{35,6}{37,2} = 4,9 \text{ м.}$$

Как и было сказано выше уточненная стрела провеса мало отличается от найденной по графику. Окончательный запас в габарите составляет 1,95 м.

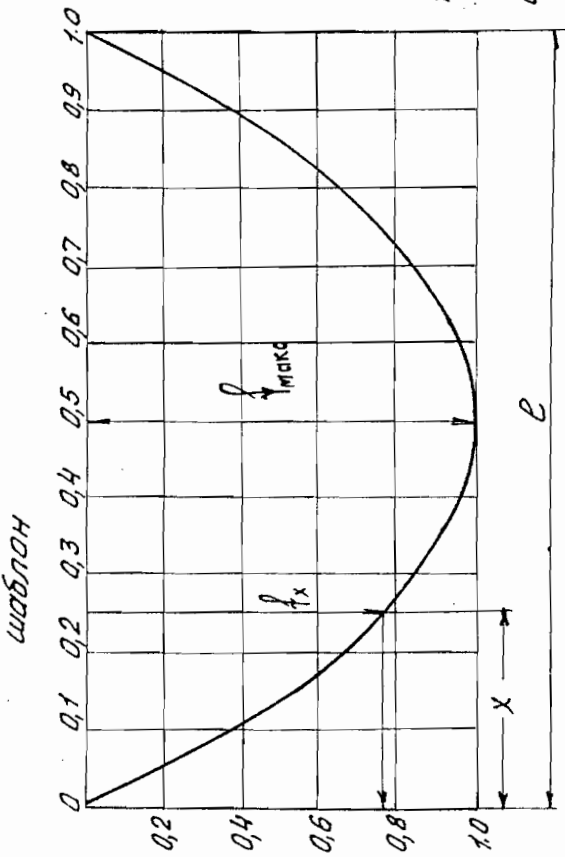
## ЧАСТЬ I

**ГРАФИКИ НАПРЯЖЕНИЙ И СТРЕЛ ПРОВЕСА ПРОВОДОВ  
МАРОК А, АС, ПС И ТК МОНТИРУЕМЫХ С ОСЛАБЛЕННЫМ  
ТЯЖЕНИЕМ ПО УСЛОВИЯМ ПРОЧНОСТИ ОПОР, РАЗРАБОТАННЫХ  
ИНСТИТУТОМ "СЕЛЬЭНЕРГОПРОЕКТ"**

**ПЕРЕЧЕНЬ**  
**прилагаемых графиков и номограмм**

N пп	Наименование	Лист
1	2	3
I.	Универсальный максимальный шаблон. Таблица относительных стрел провеса.	33
2	График для определения относительной стремы провеса над пересекаемым соо- ружением	33
3.	Номограмма для определения стрел провеса проводов для случая действия приведенной нагрузки от собственного веса провода	34
4.	То же, для стальных канатов	35
5.	График для определения длины эквива- лентного пролета	36
6.	График для определения длины приведенного пролета	37
7.	График для определения температуры дополнительного нагрева проводов элек- трическим током нагрузки	38
8.	График для определения коэффициентов редукции тяжения при обрыве провода в соседнем пролете для ВЛ с креплением проводов на подвесных изоляторах	39
9.	То же, для ВЛ с креплением проводов на штыревых изоляторах	40
10.	Требования ПУЭ к устройству пересечений ВЛ 6-10 кВ	41
11.	Требования ПУЭ к устройству пересечений ВЛ 35 кВ	47
12.	Перечень документации на опоры ВЛ для пересечений ВЛ 10 кВ с инженерными сооружениями	53

## Универсальный максимализм



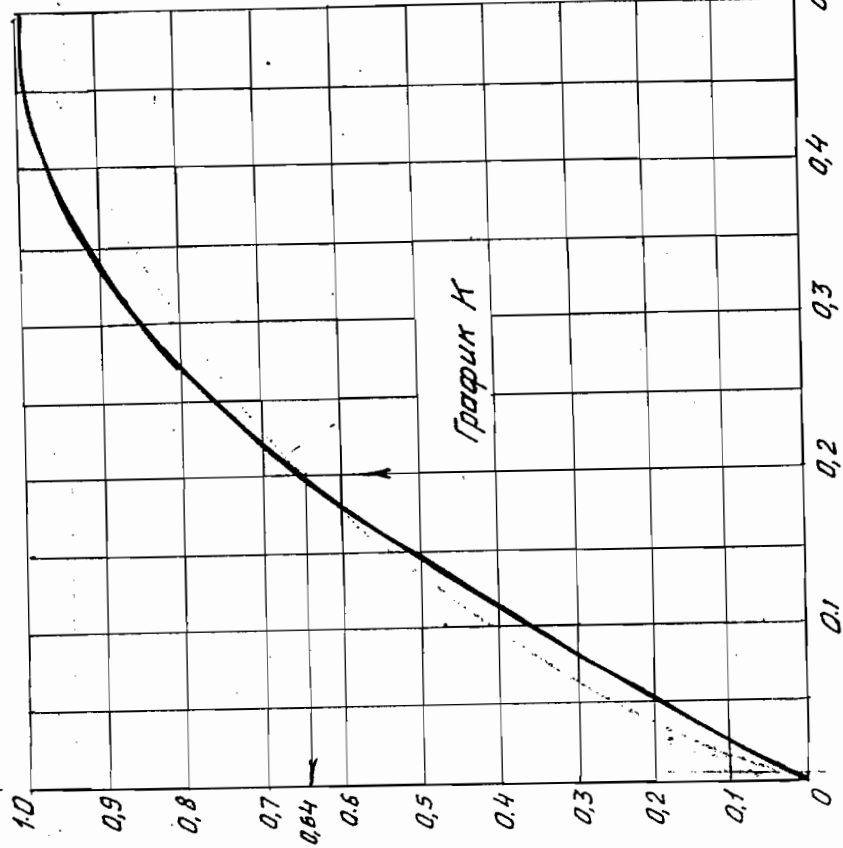
Максимизирующие стрелы  
предвосхитительных стрел

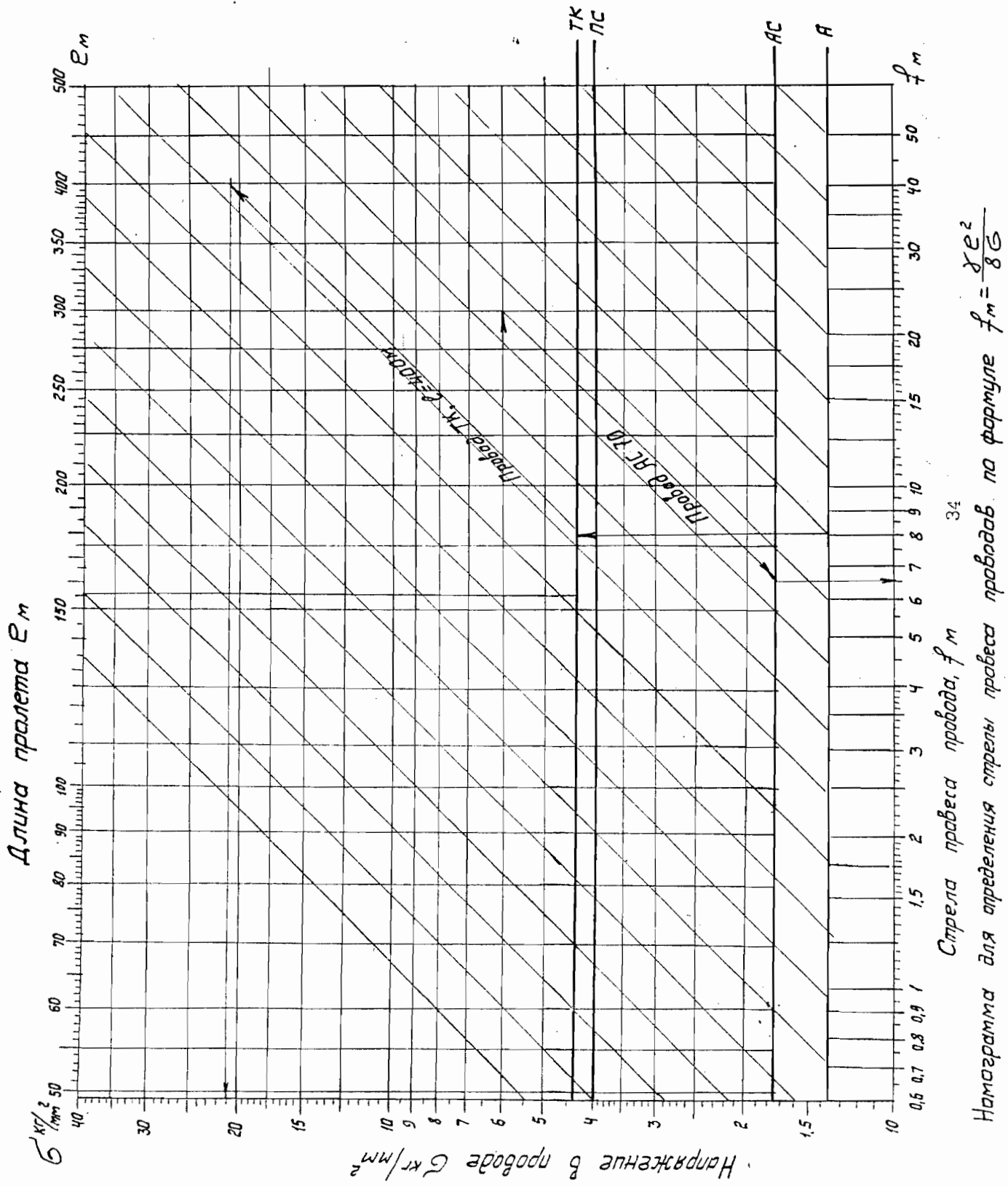
$\frac{x}{c}$	$f_x/f_{\max}$	График $f_x$
0	0	
0,1	0,36	
0,2	0,64	
0,3	0,84	
0,4	0,96	
0,5	1,0	
0,6	0,96	
0,7	0,84	
0,8	0,64	
0,9	0,36	
1,0	0	

График для определения относительных стрел  
предвосхода над пересекаемым объектом

где  $\alpha = 4 \left[ \frac{x}{c} - \left( \frac{x}{c} \right)^2 \right]$  находится по графику  $f_x$

$f_x = \alpha \cdot f_{\max}$ .

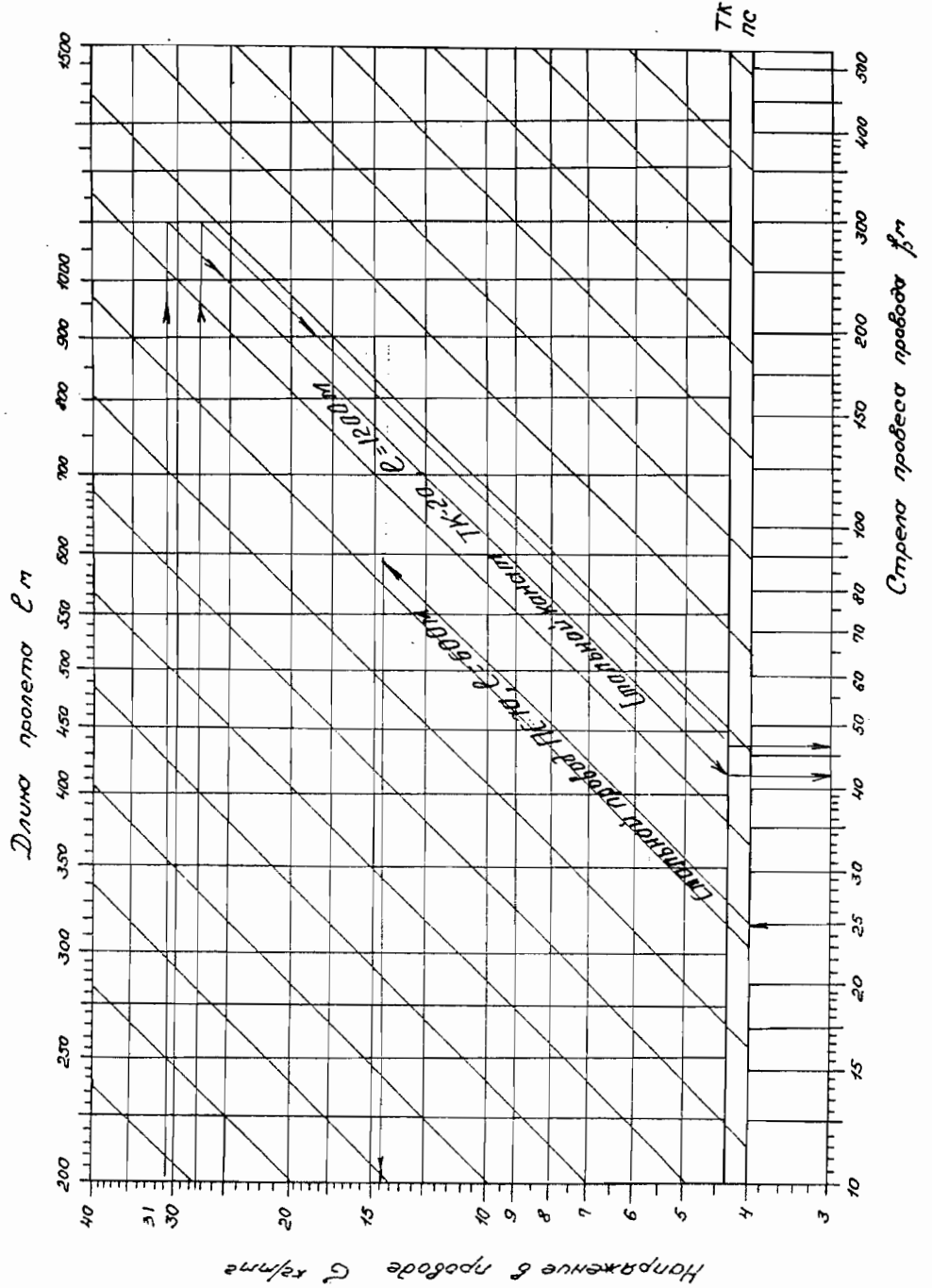




34

Стрела провеса провода,  $f_m$

$$\text{Номограмма для определения стрелы провеса проводов по формуле } f_m = \frac{\delta e^2}{8G}$$



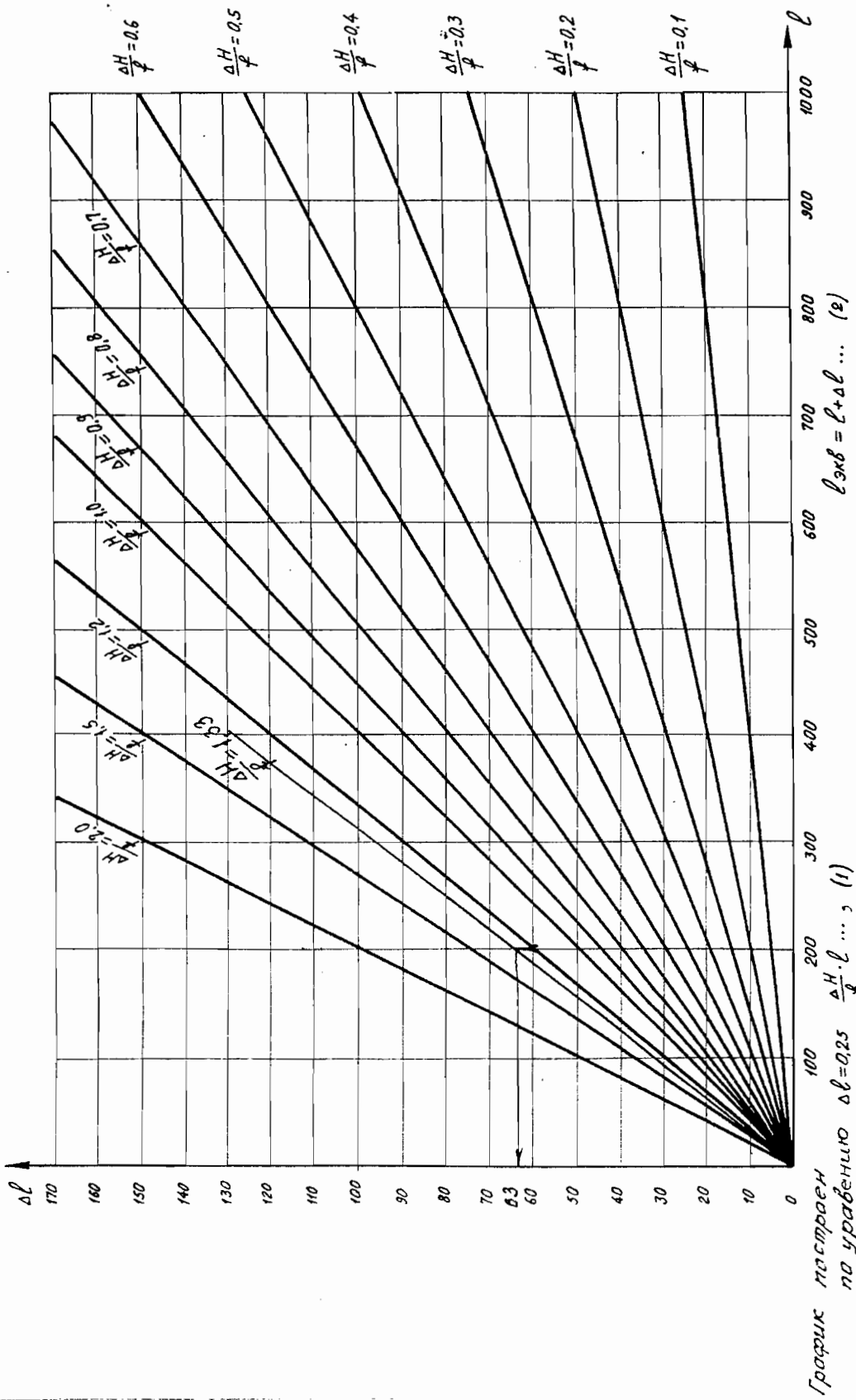
Стрелка указывает на направление

увеличения квадрата модуля сдвига

Направление для определения стрелки

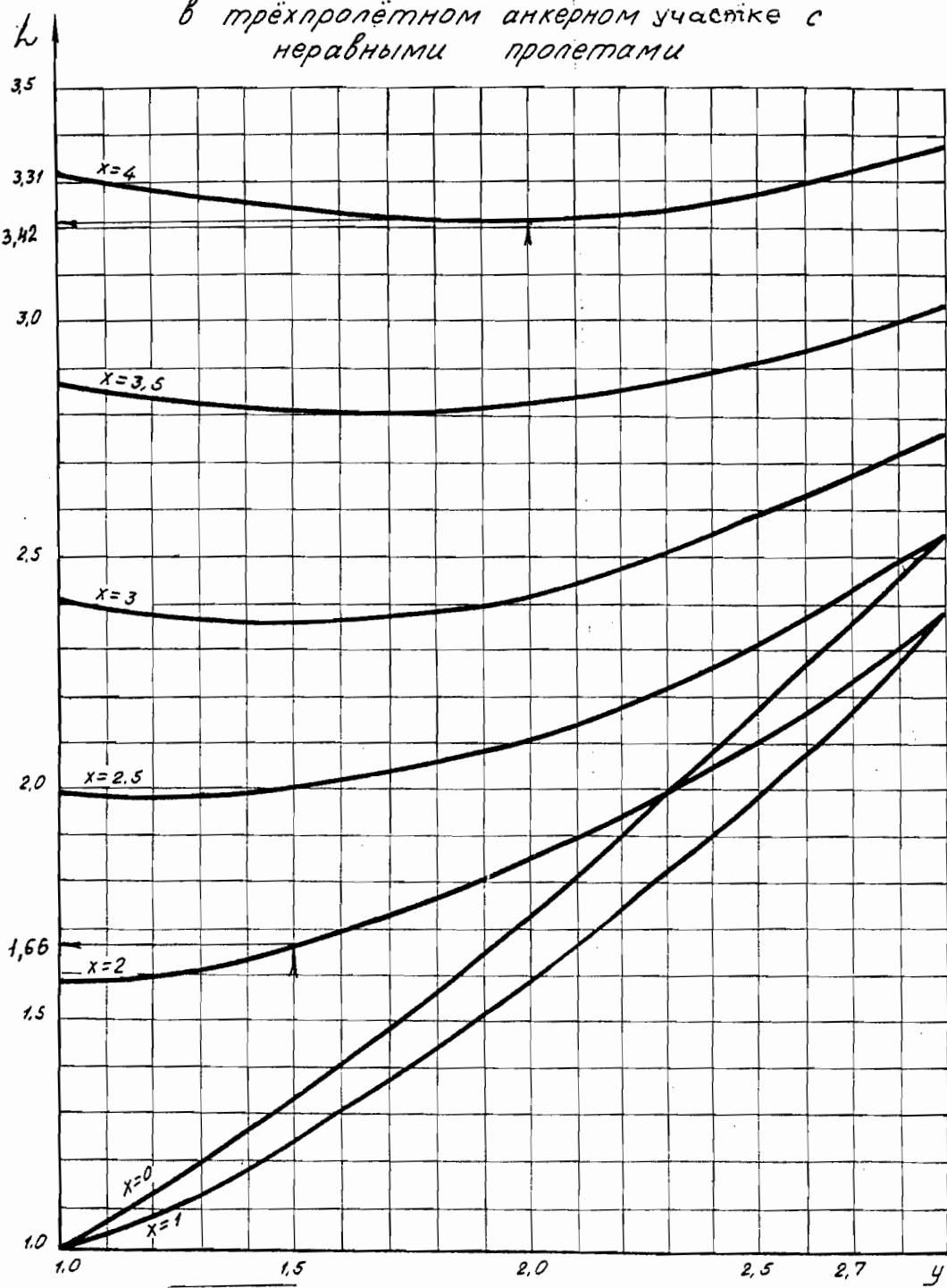
$$f = \frac{\chi \ell^2}{8G}$$

График для определения длины эквивалентного пролёта



36

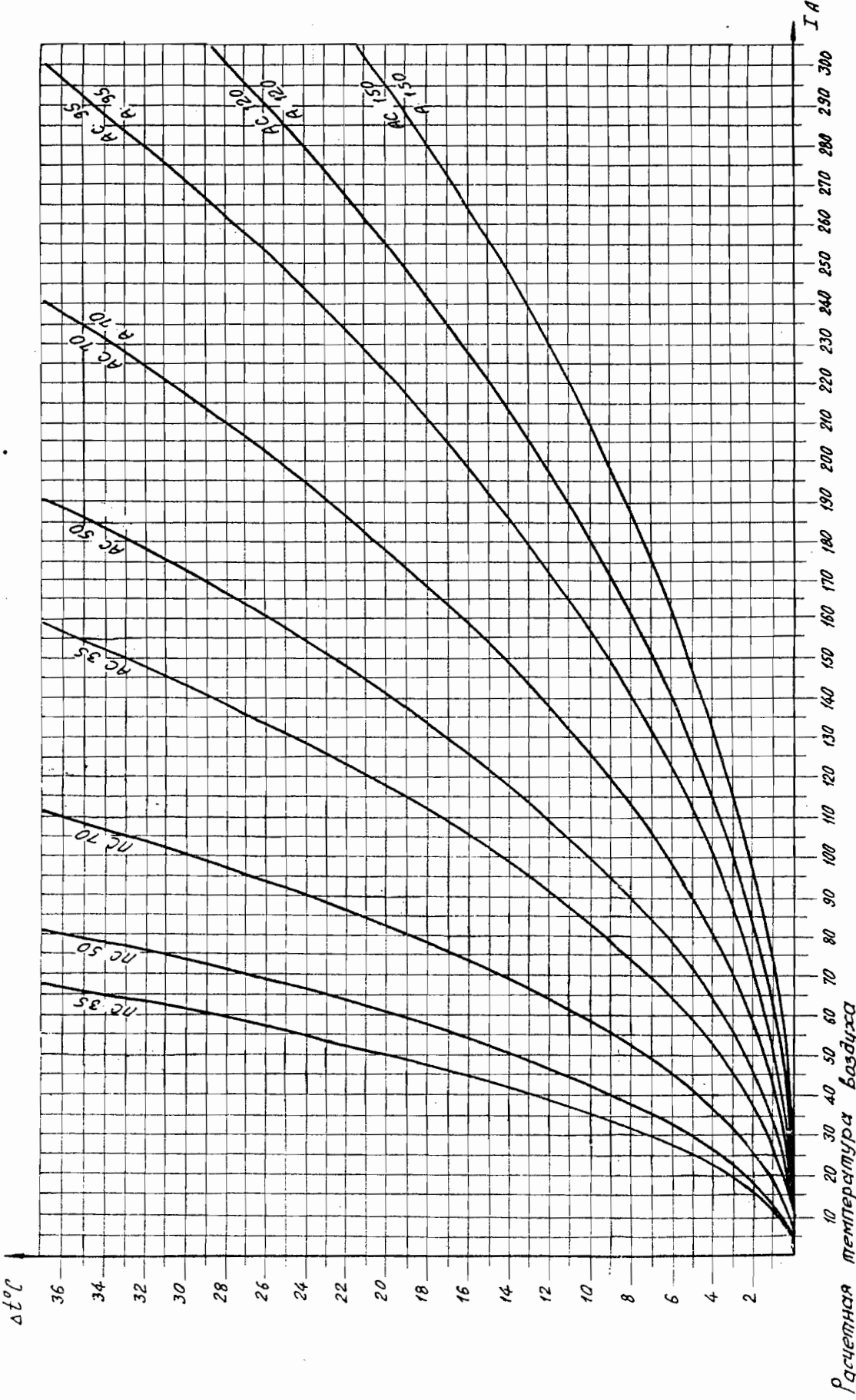
График для определения длины приведённого пролёта  
в трёхпролётном анкерном участке с  
неравными пролетами



$$Z = \sqrt{\frac{1+y^3+x^3}{1+y+x}} , \text{ где } Z = \frac{l_{\text{прив}}}{l_1} ; y = \frac{l_2}{l_1} ; x = \frac{l_3}{l_1}$$

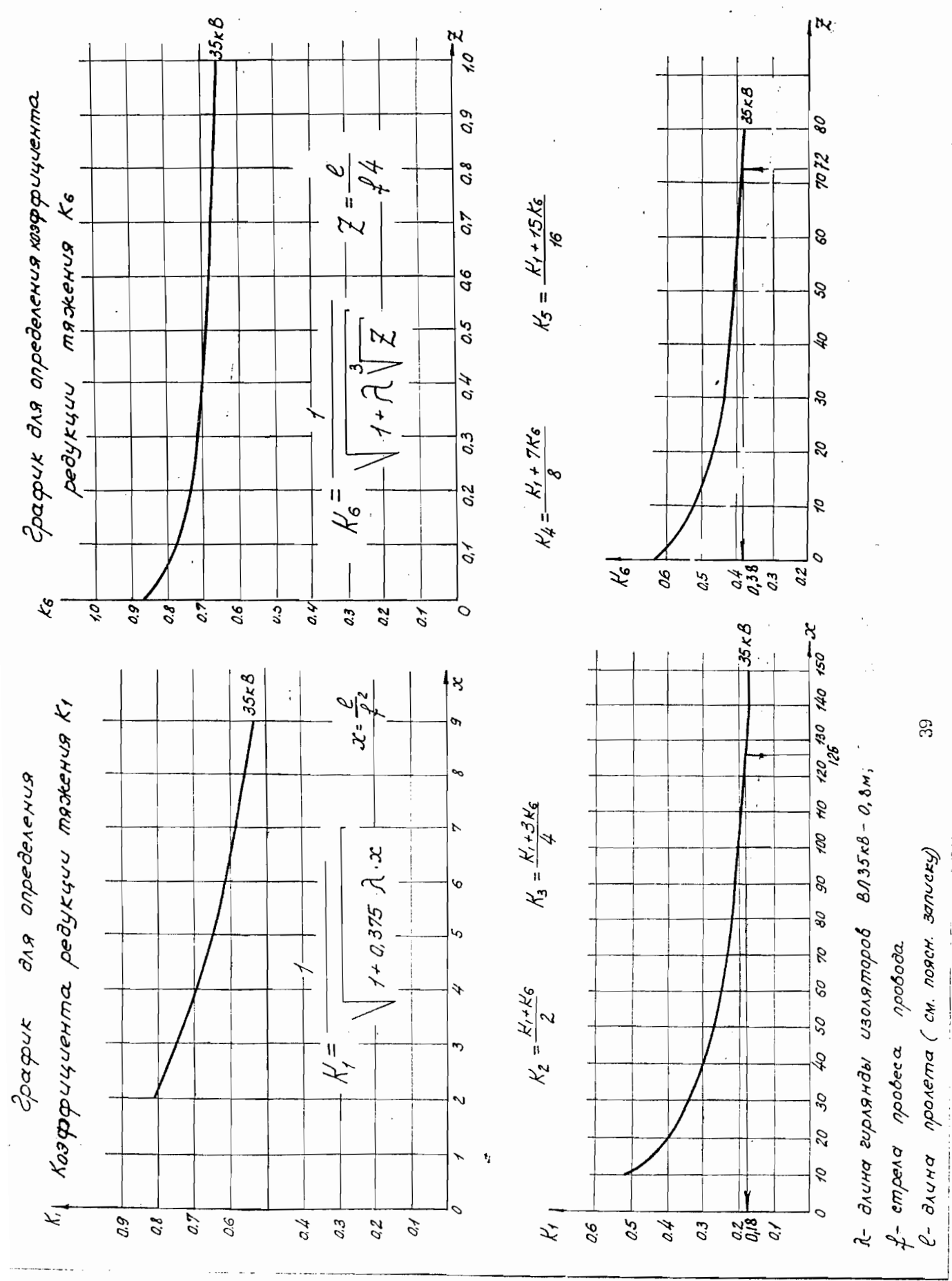
(график построен в относительных величинах) 37

График для определения температуры дополнительного нагрева проводов  
электрическим током нагрузки



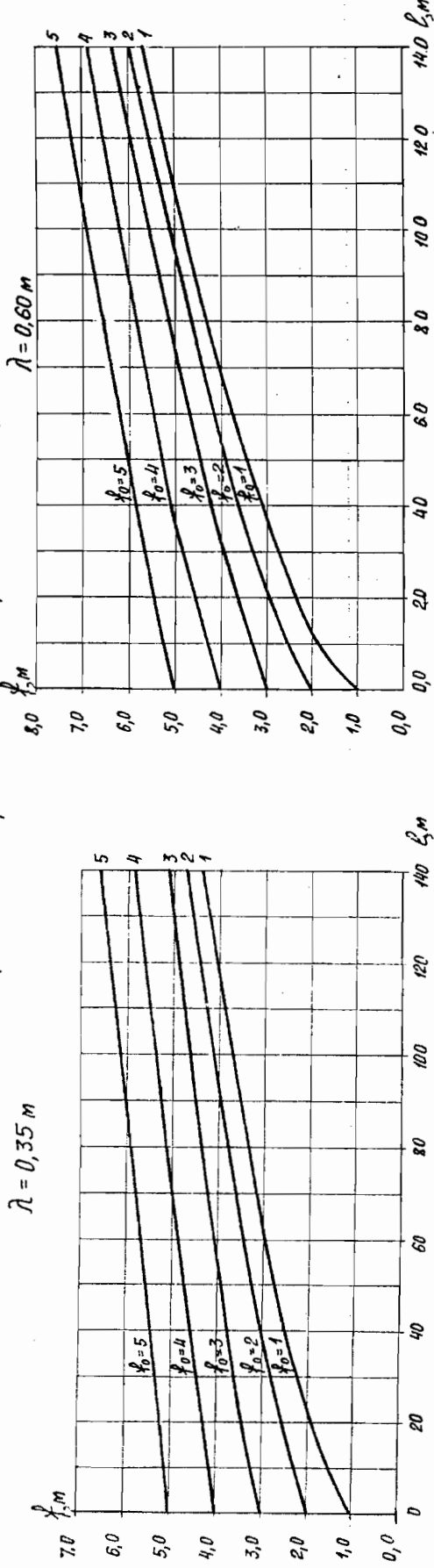
$$\text{где } t_{\max} = t_{\max} + \Delta t,$$

наибольшая температура воздуха избиссии.  
по материалам



## Графики

для определения стрел провеса  $\delta$  пролета пересечения при обрыве провода в соседнем пролете для ВЛ6-10 с креплением проводов на штыревых изоляторах



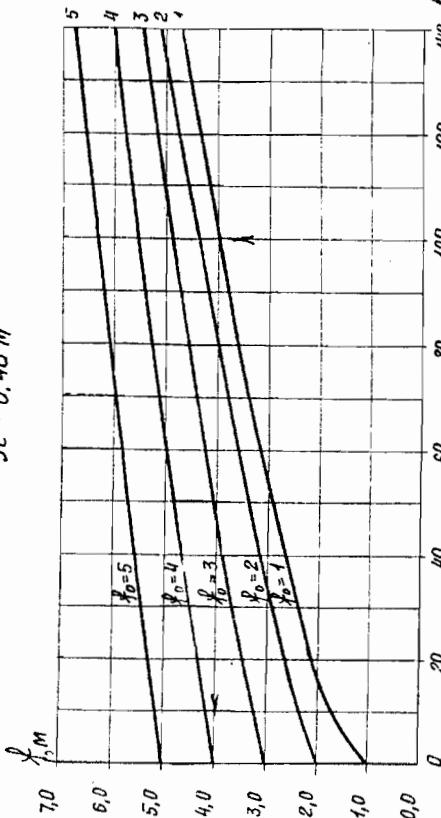
Длина шайбы  $\delta$  м<sup>2</sup>  
при обрывом крепления проводов к штыревым изоляторам

N п.п	Наименование опор	λ м
1	Промежуточная	0,35
2	Челобяя промежуточная в населенной местности	0,4
3	Ответвительная по магистрали	0,60

Графики построены по формуле

$$\delta = \sqrt{f_0^2 + \frac{3}{8} \lambda \ell}, \text{ где } f_0 - \text{стрема пролета провода}$$

в нормальном режиме при  $t_e$ ,  $\lambda$  - длина шлейфа.



ТРЕБОВАНИЯ ГУЭ К УСТРОЙСТВУ  
ПРЕСЕЧЕНИИ ВЛ 6-10 кВ

Приложение к части I

№ пп	Наименование пересекаемого сооружения	Тип опор	Минималь- ное сече- ние про- водов пересе- каемой ВЛ	Требования к креплению про- водов	Допустимый габарит пересечения	Угол пере- сече- ния	Дополнительные требования	Основания	Таблица №I	
I	2	3	4	5	6	7	8	9		
<b>I. Пересечение ВЛ между собой</b>										
I	ВЛ 6-10 кВ	Анкерные или промежуточ- ные ж.б.	Алюминиевые - - 10 мм <sup>2</sup> .  Сталеаломини- евые - - 35 мм <sup>2</sup> .	Натяжные гир- лянды изоля- торов; колено- вые или болто- вые зажимы.  Изоляторы под- весные - оди- нарные креп- ление и глу- хие зажимы.  Изоляторы штыревые - двойное креп- ление и глу- хие зажимы.	Расстояние между прово- дами при пересечении ВЛ 6-10 кВ между собой и с ВЛ более низкого на- ряжения при пролете до 100 м - 2м, при пролете до 150м:  при расстоя- нии до опоры 30м-2 м, при расстоянии до опоры более 30м- 2,5 м.	Не нор- мирует- ся	Провода ВЛ более высокого напряжения должны распола- гаться выше проводов ВЛ нижнего напряжения. На дере- вянных опорах, ограничиваю- щих пролет пересечения, ВЛ на обеих пересекающихся ВЛ устанавливаются трубчатые разрядники. На ВЛ 6-10 кВ подсказывается применять, вместо трубчатых разрядников, защи- тные промежутки. При этом ВЛ должны быть оборудованы АПВ. При расстоянии от пересече- ния до ближайшей опоры пере- секаемой ВЛ не более 40 м разрядники или защитные промежутки устанавливаются только на ближайшей опоре. При расстоянии между прово- дами 4,0 м для ВЛ 6-10 кВ защищая ВЛ не требуется. Сооружения заземленных устройств для трубчатых раз- рядников и защитных проме- жутков применяются в соот- ветствии с 2.5.76 ПУЭ-85	ПУЭ-1965, с 2.5.119 по 2.5.123  Таблицы 2.5.25 и 2.5.26		

Продолжение таблицы I

1	2	3	4	5	6	7	8	9
<b>П. Переесечение ВЛ с воздушными линиями связи и радиофигиации</b>								
1	2	3	4	5	6	7	8	9
<b>Линии связи I класса и II класса и II класса, несущие цепи, уплотненные многослойными аппаратами.</b>	<b>Анкерные - на железобетонных опорах</b>	<b>Армированные - 70 мм.</b>	<b>Натяжные гирлянды изоляторов, лично-вые или болтовые застежки.</b>	<b>Натяжение расстояния по вертикали от проводов линий связи и сигналлизации до опор ВЛ - не менее 7 м.</b>	<b>Расстояние по горизонтали от проводов линий связи и сигналлизации до опор ВЛ - не менее 10 м.</b>	<b>Расстояние по горизонтали от проводов линий связи и сигналлизации до опор ВЛ - не менее 10 м.</b>	<b>Расстояние по горизонтали от проводов линий связи и сигналлизации до опор ВЛ - не менее 10 м.</b>	<b>Расстояние по горизонтали от проводов линий связи и сигналлизации до опор ВЛ - не менее 10 м.</b>
<b>Линии связи I класса и II класса, несущие цепи, уплотненные многослойными аппаратами.</b>	<b>Стеллажи-стаканы из деревесины - 35 мм.</b>	<b>Провода в пересекаемых пролетах пере-сечения не должны иметь соединений</b>	<b>Устройства на ВЛ для ВЛ 6-10 кВ - 2М. В противном случае - 4 м.</b>	<b>При обрыве проводов ВЛ в следующих про-летах верти-кальное рас-стояние по пересекаемым проводам линий связи и сигналлизации должно быть не менее 1м.</b>	<b>Провода линий связи и сигналлизации должны иметь двойное крепление. На ВЛ устанавливаются трубчатые разрядники или защитные промежутки. В местах пересечения с ВЛ 6-10 кВ на питающих изолаторах линии радиоблокции должны заменяться подземными кабелями без защиты их от грозовых перенапряжений.</b>	<b>Расстояние по горизонтали от основания кабельной опоры высокочастотной линии связи до проекции опилованного пропола, пересекаемой ВЛ, должно быть не менее 10 м, а ВЛ с канала-ми высокочастотной опоры - 30-150 кгс с аппаратаами мощностью более 10 кт-д. Расстояние, но не менее 100м.</b>	<b>Расстояние по горизонтали от заземлителя опоры или ближайшей части опоры должно быть не менее: 10м при удалении спирту. Грунта до 1.10<sup>4</sup> Ом.см. 25м " - от 1.10<sup>4</sup> Ом.см. 35м " - от 5.10<sup>4</sup> Ом.см. 50м " - более 10.10<sup>4</sup> Ом.см</b>	
<b>Остальные линии связи.</b>	<b>Промежуточная за исключением одностоенных деревянных</b>	<b>Изолаторы подвесные - одинарное крепление, гладкие эзакмы.</b>	<b>Изолаторы штыревые - двойное крепление.</b>	<b>Провода в про-лете пересече-ния не должны иметь соеди-нений.</b>	<b>Провода в нормальном ре-жиме определя-ются при вы-шестоящем темпера-туре воздуха в аварийном режиме - при среднего-довой темпера-туре</b>	<b>При учете на-грева электрического тока: или при отсутствии без</b>	<b>При учете на-грева электрического тока: или при отсутствии без</b>	

продолжение таблицы I

I	2	3	4	5	6	7	8	9
III. Пересечение ВЛ с железными дорогами								
4	Железные дороги электрифицированные или подлежащие электрификации	Анкерные нормальные.	Натяжные гирлянды изолаторов, клиновые или болтовые замки.	Расстояние от провода ВЛ до провода или троса контактной сети не менее 3 м, на пересечении ВЛ, между сооружениями (2.5.122)	Не менее 40	Расстояние от опоры ВЛ до гасардта при движении строения на неэлектрифицированных железных дорогах или до оси опор контактной сети - не менее высоты опоры плюс 3 м; на стесненных участках трассы не менее 3 м.	Расстояние от проводов для головки рельса определяется в нормальном режиме при высокой температуре воздуха с учетом нагрева аллегрическим током, в аварийном режиме - при средневголовой температуре без ветра и гололеда.	ШЭ-1985 с. 2.5.140 по 2.5.144
5	Дороги неэлектрифицированные общего пользования.	То же	То же	То же	То же	При пересечении ВЛ контактной сети защищаются от грозовых перенапряжений и при пересечении ВЛ между содой (2.5.123)	Уставка опор с оттяжками и соединение проводов в пролете не допускается	Пекомитета по нормативам к 90°
6	Железные дороги неэлектрифицированные неробото-ванные неробото-ванные подъездования	Анкерные облегченные или промежуточные	То же	То же	Расстояние от проводов ВЛ до головки рельса 7,5 м; при обрыве проводов в сменном пролете широкая колея - 6 м. узкая колея - 4,5 м	Расстояние от проводов ВЛ до головки рельса 6 м, при обрыве провода в смежном пролете 4,5 м.		

Таблица 2.5.31

Продолжение таблицы I

1	2	3	4	5	6	7	8	9
<b>IV. Пересечение ВЛ с автомобильными дорогами</b>								
7	Автодороги I категории	Анкерные	Аллюминиевые - 70 мм. Стальолитниевые - 35 мм.	Вертикальные линии изоляторов, кинотеатров, кинозалов или болтовые зажимы.	Горизонтальные расстояния от основания опоры до бровки земляного полотна должны быть не менее высоты опоры; на стесненных участках трассы от любой части опоры до подошвы насыпи или до наружной бровки кювета для дорог I и II категорий - 5 м для дорог остальных категорий - 1,5 м.	Таблица 2.5.32		
8	Автодороги II-IV категории	Анкерные или промежуточные	To же	вода в соединении проводов в пролете пересечений не допускается	Не нормируются.	Расстояние от проводов до полотна дороги определяется в нормальном режиме при высшей температуре без учета нагрева электрическим током или при гололеде без ветра, в аварийном режиме - при среднегодовой температуре без ветра и гололеда.		
9	Автодороги I-IV категории	Требования аналогичны требованиям прохождения ВЛ по ненаселенной местности	To же					

Продолжение таблицы I

I	2	3	4	5	6	7	8	9
<b>У. Пересечение ВЛ водных пространств</b>								
10	Судоходные реки, каналы, шлюзы с регуляторным судоходным движением	Анкерного типа концевые	Алюминиевые - сталь - изоляторы - канаты марки ТК до- полнение пере- хода по схе- ме К-II-Н-К	Изоляция изоля- торов, клино- вые или бол- товые замки. Изоляторы подвесные - одинарное крепление и глу- хие замки. Соединение проводов в про- цессе пере- сечения не допускается	Расстояние от проводов до уровня самых высоких вод при наивысшей температуре - -6M, до судов и сплава при наивысшем горизонте воды и наивысшей темпера- туре -2 M.	При прохождении ВЛ вблизи неразводных мостов, где мачты и трубы судов должны быть опущены, разрешается по согласованию уменьшать габарит.	При прохождении ВЛ вблизи неразводных мостов, где мачты и трубы судов должны быть опущены, разрешается по согласованию уменьшать габарит.	ПУЭ-1985 с 2.5.154 по 2.5.156
<b>Уг. Пересечение ВЛ с надземными трубопроводами и канатными дорогами</b>								
II	Несудоходные реки и каналы	Не оговарива- ется	To же	-	Расстояние от проводов до уровня самых высоких вод при $t = +5^{\circ}\text{C}$ -3 M. До уровня льда при $t = -5^{\circ}\text{C}$ при наледи голо- леда -6 M	Расстояние от проводов до уровня самых высоких вод при $t = +5^{\circ}\text{C}$ -3 M. До уровня льда при $t = -5^{\circ}\text{C}$ при наледи голо- леда -6 M	Полевска сеток на опорах ВЛ запрещается. Провода ВЛ должны быть расположены над трубороводами. В стесненных условиях разрешается располагать провода ВЛ под трубороводами, но в этом случае они должны быть защищены специальными стяжками. В пролетах пересечения с ВЛ металлические трубороводы должны быть заземлены в соответствии с ГЛ. I.7.	ПУЭ-1985 с 2.5.164 по 2.5.168
12	Надземные трубопроводы без горючих и газов	Анкерные	Алюминиевые - сталь - изолятормини- вые - одинарное крепление	Провода ВЛ не должны иметь соединений в пролете пересечения. На опорах с подвесными изоляторами допускается одинарное крепление проводов. Подвесные захваты должны быть тугими. При стяжках изоляторов крепление проводов ВЛ должно быть двойным	Расстояние от проводов ВЛ по вертикали при наибольшем стреле указанных расстояний уменьшается на 2 M	Расстояние по вертикали проводов ВЛ до труборово- дов определяется при наи- большей стреле провеса (высшая температура или гололед)	Таблица 2.5.36	

окончание таблицы I

1	2	3	4	5	6	7	8	9
13	Надземные трубоопроводы с горизонтальными и канатными дорогами	Анкерные	Арматурные - 70 мм. Стальоломи-2 нивече-35мм. <sup>2</sup>	Провода ВЛ не должны иметь соединений в пролете пересечения. На опорах с подвесными изоляторами допускается одинарное крепление проводов: подвесные зажимы должны быть глухими. При штыревых изоляторах крепление проводов ВЛ должно быть двойным	Расстояние от проводов ВЛ по вертикали при наибольшей стреле провеса до любой части трубоопроволов или канатных дорог должна быть не менее - 3 м. При обратном проводе в соседнем пролете установленные расстояния уменьшаются на 2 м	Подвеска сеток на опорах ВЛ запрещается. Провода ВЛ должны быть расположены над трубопроводами и канатными дорогами. В стесненных условиях разрешается располагать провода ВЛ под трубоопроводами и канатными дорогами, но в этом случае они должны быть защищены специальными сетками.	ПУЭ-1985 с 2.5.164 по 2.5.168 Таблица 2.5.36	ПУЭ-1985 с 2.5.164 по 2.5.168 Таблица 2.5.36
14	Магистральные газопроводы с давлением более 12 ат. и магистральные нефтепроводы и нефтепродуктопроводы	Не оговаривается	Не оговаривается	При пересечении расстояния по горизонтали от трубопроводов до фундаментов опор ВЛ должна быть не менее 5 м.	Не нормируется	На участках пересечения ВЛ (в пределах охранной зоны) контроль всех сварных стиков магистральных газопроводов должен быть произведен физическими методами.	ПУЭ-1985 с 2.5.164 по 2.5.168 Таблица 2.5.36	ПУЭ-1985 с 2.5.164 по 2.5.168 Таблица 2.5.36
15	Магистральные газопроводы с давлением 12 ат. и менее и трубопроводы различного назначения			То же				

## УП. Пересечение ВЛ с подземными трубопроводами

## ПРИЛОЖЕНИЕ К УСТРОЙСТВУ ПЕРЕСЕЧЕНИЯ

ПУЭ 35 кВ

Таблица № 2

№ пп	Наименование пересекаемого сооружения	Тип опор	Минимальное расстояние про- вода пересе- каемой ВЛ	Требования к креплению про- водов	Допустимый габарит пересечения	Угол пересе- чения	Дополнительные требования	Основание
1	2	3	4	5	6	7	8	9
I	ВЛ 35 кВ	Анкерные или проме- жуточные опоры	Сталеалтми- ниевые - 70 мм <sup>2</sup>	I. Пересечение ВЛ между собой  Натяжные тигрины изолаторы, клиновые или болтовые за- жимы. Изолаторы подвесные - одинарные крепление проводов и глухие за- жимы. Провода и тросы пере- секающей ВЛ в пролете пересечения не должны иметь соединений	Расстояния между прово- дами или между прово- дами и тра- сами при пересечении ВЛ 35 кВ межу собой и с ВЛ более низкого на- пряжения - - 3 м. Темпе- ратура окружаю- го воздуха принимается равной +15°C	Не нор- мирует- ся	Провода ВЛ более высокого напряжения должны располо- гаться выше проводов ВЛ низкого напряжения. На перевинных опорах, ограни- чивающих пролеты пересека- ющихся ВЛ устанавливаются трубчатые разрядники. На ВЛ 35 кВ и ниже допуска- ется применять вместо трубчатых разрядников защитные промежутки. При этом ВЛ должны быть обо- рудованы АПВ. При расстоя- нии от пересечения до ближайшей опоры пересе- каемой ВЛ не более 40 м разрядники или защитные промежутки устанавливают- ся только на ближайшей опоре. При расстоянии между проводами 5,0 м для ВЛ 35 кВ заземлять не требуется. Сопротивление заземля- щих устройств для труб- чатых разрядников и за- щитных промежутков при- нимается в соответствии с 2.5.76 ПУЭ-85.	ПУЭ-1985 с 2.5.119 по 2.5.123

продолжение таблицы 2

I	2	3	4	5	6	7	8	9
П. Пересечение ВЛ с воздушными линиями связи и радиофибропакции								
2	Линии связи I класса и II класса, не- сущие цепи, уплотненные многоканаль- ными аппарату- рами. МИС, не- сущие провода, железнодорожной автоматической и полув автоматиче- ской блоки- ровки или про- вода диспетчер- ской централи- зации	Анкерные на железобетон- ных пристав- ках либо с приставками из древеси- ны твердых деревьев.	Натяжные гир- лянды изоли- торов, клино- вы и более такие зажимы. Провода и тросы в про- лете пересе- чены не сочинен. Не сочин, пропи- танной анти- септиками автоматиче- ским разно- енным ему способом	Наименьшие расстояния по вертикали от проводов ВЛ до пересека- емых проводов линий связи и сигнализации не менее 10 м. На опорах линии связи и сигнализации, ограниченчи- щих пролет пересечения, устанавливается шутеру- ющие спуски с воздушными промежутками с сопротив- лением заземления не более 25 Ом.	Расстояние по горизонтали от проводов линии связи и сигнализации от опоры ВЛ не менее 7 м. Расстояния по горизонтали от опор линий связи и сигнализации до проводов ВЛ - не менее 10 м.	ПУЭ-1985 с 2.5.125 по 2.5.139	Таблица 2.5.28	
3	Остальные линии связи	Промежуточные за исключени- ем одностоеч- ных деревян- ных	To же	Изолаторы подвесные, одно- нарное крепле- ние и глухие зажимы.	Провода и тро- си в пролете пересечения не должны иметь сочинений	Наименьшее расстояние по горизонтали от кабеля устанавливается труче- щими разрядниками или за- щитные промежутки. Наименьшее расстояние по горизонтали от кабеля грунта I. $10^4$ Ом. см. 25 м при удельном сопр. от $1.10^4$ до $5.10^4$ Ом. см. 35 м при удельном сопр. от $5.10^4$ до $10.10^4$ Ом. см. 50 м при удельном сопр. более $10.10^4$ Ом. см		

продолжение таблицы 2

I	2	3	4	5	6	7	8	9
III. Пересечение ВЛ с железными дорогами								
4	Железные дороги электрифицирован- ные или подлежа- щие электрифика- ции	Анкерные нормальные.	Наглядные гир- лянды изоля- торов, клино- вые или бол- товые зажи- мы.	Расстояние от провода ВЛ до провода или троса контакт- ной сети то же, что и при пере- сечении ВЛ между собой (2.5.12).	Расстояние от опоры ВЛ до близлежащих строений на электрифицированных желез- ных дорогах или до оси опор контактной сети - не менее высоты опор участ- ка трассы для ВЛ 35 кВ - не менее 6 м.	ПУЭ-1985 3 м; на стесненных участ- ках трассы для ВЛ 35 кВ - с 2.5.140 по 2.5.144		
5	Железные дороги не электрифици- рованные общего пользования	Сталеаломини- стальное - 70мм <sup>2</sup>	Подвесные изоляторы - двойное крепление цепей подвески, глухие зажимы	То же	Расстояние от проводов ВЛ до головки рельса 7,5 м, при обрыве проводов в смежном про- лете широкая колея - 6 м, узкая колея - -4,5 м	Нор- ми- ру- ет- ся	Расстояние от проводов ВЛ до головки рель- са 7,5 м. При обрыве проводов в смежном про- лете	090
6	Железные доро- ги неэлектри- фицированные не общего пользования	Анкерные облегченные или проме- жточные	То же	То же	Расстояние от проводов ВЛ до головки рель- са 7,5 м.	При обрыве проводов в смежном про- лете 4,5 м		

Таблица  
2.5.31

продолжение таблицы 2

1	2	3	4	5	6	7	8	9
<b>IV. Пересечение ВЛ с автомобильными дорогами</b>								
7	Автодороги I категории	Анкерные	Натяжные гириллы изолиторов, кильчатые или болтовые	Вертикальные расстояния от провода ВЛ до полотна дороги - 7 м, при обрыве зажимов.	Горизонтальные расстояния от основания опоры до брюкки земельного полотна должно быть не менее вы- соты опоры; на стесненных участках трассы от любой части опоры до подошви	ПУЭ-1985 с.2.5.145 по 2.5.149	Таблица 2.5.32	
8	Автодороги II-IV категории	Анкерные или промежуточные	To же	Изолиторы подвесные - одиничное крепление и грукие за- жимы.	нор- мии ру- ется	I и II категория - 5 м и для дорог остальных категорий - 2,5 м.	Расстояние от проводов до полотна дороги опре- деляется в нормальном режиме при высшей тем- пературе без учета на- грева электрическим то- ком или при гололеде без ветра, в аварийном режиме - при среднего- довой температуре без ветра и гололеда	
9	Автодороги V категории	To же	To же	Соединение проводов и тросов в пролете пепесечений не допускает- ся				

продолжение таблицы 2

1	2	3	4	5	6	7	8	9
10	Судоходные реки, каналы, шлюзы с регулярным судоходным движением	У. Пересечение ВЛ волнистых пространств Анкерного типа - концевые. В случае промежути- мения стальных канатов марки ТК до- пускается выполнение перехода по схеме К-П- -К	Натяжные гир- лянды изолито- ров, клиновые или болтовые зажимы.	Расстояние от проводов до уровня самых высоких волн при наивысшей температуре - 6 м, до судов и сплава при наивысшем горизонте воды и на- вигации - тे- -2 м	Не нор- мирует- ся	При прохождении ВЛ вблизи неразводных постов, где мач- ты и трубы судов должны быть опущены, разрешается по согласованию уменьшать габарит.	расстояние по вертикали от проводов до судов и сплава определяется при наивысшей температуре без учета на- грева электрическим током при наивысшем горизонте воды в реке, до навигаци- онной линии - при $t = -5^{\circ}\text{C}$ и гололеде без ветра	ПУЭ-1985 с 2.5.154 по 2.5.156
11	Несудоходные реки и каналы	Не оговари- вается.	Сталеалтемни- ческие - 70 мм <sup>2</sup>	Расстояние от проводов до уровня самых высоких волн при $t = +15^{\circ}\text{C}$ - -3 м.	До уровня ль- да при $t = -5^{\circ}\text{C}$ при наличии гололеда - 6 м	При пересечении от проводов до уровня самых высоких волн при $t = +15^{\circ}\text{C}$ - -3 м.	При пересечении от проводов ВЛ до уровня льда при $t = -5^{\circ}\text{C}$ - -3 м.	ПУЭ-1985 с 2.5.164 по 2.5.168
12	Надземные трубопроводы без горючих жидкостей и газов	У. Пересечение ВЛ с надземными трубопроводами и канатными дорогами Анкерные	Сталеалтемни- ческие - 70 мм <sup>2</sup>	Расстояние от проводов ВЛ по вертикали и при наиболь- шей стрелке пересечения. На опорах с подвесными изо- ляторами доло- жкается одна- ное крепление проводов; под- весные зажимы должны быть глухими.	Не нор- мирует- ся	Полвеска сеток на опорах ВЛ ЗАПРЕЩАЕТСЯ. Провода ВЛ должны быть расположены на трубопроводами и канат- ными дорогами. В стесненных условиях разрешается рас- полагать провода ВЛ под трубопроводами, но в этом случае они должны быть за- щищены специальными сетка- ми. В пролетах пересечения с ВЛ металлические трубо- проводы должны быть за- землены в соответствии с гл. 17. Расстояние по верти- кали от проводов ВЛ до тру- бопроводов определяется при наивысшей температуре провеса (высшая температура или гололед), в аварийном режиме - при средне- годов. темпер. без ветра и гололеда	Таблица 2.5.36	Таблица 2.5.34

окончание табл.№ 2

1	2	3	4	5	6	7	8	9
13	Надземные трубопроводы с горячими жидкостями и газами	Анкерные	Стальелемущевне-70 мм.	Провода и тросы ВЛ не должны иметь соединений в пролете пересечения. На опорах с подвесными изоляторами допускается одинарное крепление проводов; подвесные зажимы должны быть глухими.	Расстояние от проводов ВЛ по вертикали при наибольшей стреле провеса до любой части трубопроводов или канатных дорог должно быть не менее 4 м. При обрыве провода в соседнем пролете указанные расстояния уменьшаются на 2 м.	Не нормируется	Подвеска стоек на опорах ВЛ запрещается. Провода ВЛ должны быть расположены над трубопроводами и канатными дорогами.	ПУЭ-1985 с 2.5.164 по 2.5.168
14	Канатные дороги					Не оговаривается	При пересечении по горизонтали от трубопроводов до фундаментов опор ВЛ должно быть не менее 5 м	Магистральные нефтепроводы и нефтепропктопроводы на участках пересечений с ВЛ в пределах охранной зоны должны удовлетворять требованиям, предъявляемым к трубопроводам III катего-рии (контроль всех сварных стыков физическими методами).
15						То же	То же	На участках пересечения ВЛ (в пределах охранной зоны) контроль всех сварных стыков магистральных газопроводов должен быть произведен физическими методами

Ул. Пересечение ВЛ с подземными трубопроводами

Таблица 3.

**ПЕРЕЧЕНЬ**  
**документации на опоры ВЛ для пересечений**  
**ВЛ 10 кВ с инженерными сооружениями**

N пп	Серия типовой докумен- тации. Выпуск, альбом. Архивный номер проек- та повторного примене- ния	Наименование	Распространяет
1.	3.407-85. Альбом V.	Деревянные опоры ВЛ 6-10кВ для переходов через инженер- ные сооружения.	институт "Уралтиппроект"
2.	3.407.1-143. Выпуск 5.	Железобетонные опоры ВЛ 10 кВ для пересечений с инже- нерными сооружениями	То же
3.	3.407.2-132. Выпуск I и II.	Металлические опоры воздуш- ных линий электропередачи напряжением 6-10 и 35 кВ с малыми сечениями проводов для переходов через инженер- ные сооружения	То же
4.	Архив. N 10455	Специальные опоры ВЛ 35 кВ из унифицированных эле- ментов	АО "РОСЭП" (быв. СЭП)

**Часть II. Графики зависимости напряжений и стрел  
провеса проводов от длины пролета**

**ПЕРЕЧЕНЬ**  
**прилагаемых графиков и номограмм**

N пп	Наименование	Лист
1	2	3
1.	Пояснительная записка	56
2.	Ключевая таблица графиков напряжений и стрел провеса проводов	58
	<b>Раздел 1. Для проводов на опорах, разработанных институтом Сельэнергопроект (АО РОСЭП)</b>	
3.	Графики зависимости напряжений и стрел провеса проводов при $t=+15^{\circ}\text{C}$ А70, А95, А120	59
4.	Графики зависимости напряжений и стрел провеса проводов при $t=+40^{\circ}\text{C}$ А70, А95, А120	60
5.	Графики зависимости напряжений и стрел провеса проводов при $t=+15^{\circ}\text{C}$ АС 35, АС50, АС70, ПС25 канат ТК-8,0	63
6.	Графики зависимости напряжений и стрел провеса проводов при $t=+40^{\circ}\text{ C}$ от пролета АС35, АС50, АС70, ПС25, канат ТК-8,0	66
	<b>Раздел 2 Для проводов на опорах, разработанных институтом "Энергосетьпроект"</b>	
7.	Графики зависимости напряжений и стрел провеса проводов при $t=+40^{\circ}\text{ C}$ АС35, АС50, АС70, АС95, АС120 от пролета	72
8.	Графики зависимости напряжений и стрел провеса проводов при $t=+40^{\circ}\text{C}$ и гололеда от пролета С-50, С-70.	73
9.	Графики зависимости напряжений и стрел провеса стальных канатов марки ТК от пролета при $t=+40^{\circ}\text{C}$	87
10.	Графики зависимости напряжений и стрел провеса стальных проводов марки ПС-35, ПС-50, ПС-70 при $t=+40^{\circ}\text{ C}$ от длины пролета	102
11.	Определение габаритов проводов при обрыве в соседнем пролете на ВЛ... в климатическом районе II	117
		133

## ПОЯСНИТЕЛЬНАЯ ЗАПИСКА

Графики зависимости напряжений и стрел провеса проводов от длины пролета построены раздельно для проводов, монтируемых на опорах ВЛ 6-10 кВ, разработанных институтом "Сельэнергопроект", и на опорах ВЛ 35 кВ, разработанных институтом "Энергосетьпроект".

В первом случае для большей части марок проводов допускаемое напряжение в проводе принято ослабленным из условия прочности опор, во втором случае используется полное допускаемое тяжение провода и допускаемые напряжения в проводе в расчетных режимах соответствуют требованиям ПУЭ-85.

Основой для построения графиков послужили систематические расчеты проводов, выполненные институтом "Сельэнергопроект" и опубликованные в РУМ N 5 1995 г. Частично были использованы также систематические расчеты стальалюминиевых проводов и стальных канатов, выполненные институтом "Энергосетьпроект".

Исходными климатическими условиями при составлении графиков приняты:

минимальная температура  $t_{\min.} = \text{минус } 40^{\circ}\text{C}$

максимальная температура  $t_{\max.} = \text{плюс } 40^{\circ}\text{C}$

среднеэксплуатационная температура  $t_0 = 0^{\circ}\text{C}$

температура при гололеде  $t_2 = 5^{\circ}\text{C}$

что соответствует средней полосе России с умеренным климатом.

При пользовании настоящими графиками для северных и южных районов страны, где климатические условия отличаются от принятых при составлении графиков, возможно как завышение, так и занижение фактической стрелы провеса провода.

Влияние отдельных факторов на конечный результат расчета иллюстрируется таблицей I.

Таблица I

Темпера- тура воздуха	Умеренный климат (условия граф.)			Северные районы			Южные районы		
	$t^0\text{ C}$	$G$	$f$	$t^0\text{ C}$	$G$	$f$	$t^0\text{ C}$	$G$	$f$
$t_{\min.}$	-40	$G_1$	$f_1$	<-40	$G_1 > G$	$f_1 < f$	>-40	$G_1 < G$	$f_1 > f$
$t_0$	0	$G_2$	$f_2$	<0	$G_2 > G$	$f_2 < f$	>0	$G_2 < G$	$f_2 > f$
$t_{\max.}$	+40	$G_3$	$f_3$	<+40	$G_3 > G$	$f_3 < f$	>+40	$G_3 > G$	$f_3 < f$

Из рассмотрения таблицы следует, что влияние разности температур для различных режимов не одинаково. Так разность температур в режиме минимальной и среднеэксплуатационной температуры приводит к снижению стрелы провеса для северных районов и к завышению стрелы провеса для южных районов. Напротив, различие в максимальных температурах приводит к завышению стрелы провеса в северных районах и к снижению стрелы провеса в южных районах страны.

Следует отметить, что последний фактор действует всегда, независимо от того, какой режим для данной марки провода и данного пролета является расчетным. Влияние двух первых факторов имеет место лишь в том случае, когда для данной марки провода и данного пролета расчетным режимом становится режим минимальной или среднеэксплуатационной температуры.

Опыт использования графиков показал, что конечный результат, получаемый по графикам для районов с отличными от принятых в графиках климатическими условиями, отклоняется от действительной величины не более, чем на 5-10%. С помощью таблиц монтажных напряжений и стрел провеса, может быть легко выполнено уточнение найденной стрелы провеса для фактических условий створа пересечения.

Графики первого раздела построены для  $t =$  плюс  $15^{\circ}$  С и  $t =$  плюс  $40^{\circ}$  С и диапазона проектов от 40 до 160 м. (Зона применения штыревой изоляции). Следует отметить, что для пролетов этого диапазона стрела провеса провода при гололеде и  $t_2 =$  минус  $5^{\circ}$  С всегда меньше, чем при  $t$  макс. = плюс  $40^{\circ}$  С. Это означает возможность использования графиков для определения максимальной стрелы провеса в пролете пересечения, как этого требует ПУЭ-85.

Графики второго раздела построены при  $t$  макс. = плюс  $40^{\circ}$  С для пролетов в следующих диапазонах :

Провод АС    от 160 до 480 м

Провод ПС    от 100 до 700 м

Стальной канат ТК                                  от 200 до 1000 м.

Районы по ветру принятые в пределах I-VII и по гололеду I-IV. Широкий диапазон районов по ветру объясняется необходимостью применения коэффициента увеличения скоростного напора ветра по высоте в связи с применением на пересечениях металлических опор высотой до 40 м.

Для правильной ориентировки проектировщика на каждом графике указано, насколько стрела провеса при гололедной нагрузке больше, чем при максимальной температуре  $t$  макс. = плюс  $40^{\circ}$  С.

В случае необходимости значение стрелы провеса провода при гололедной нагрузке может быть выписано из соответствующих монтажных таблиц. Из этих же таблиц может быть выписано значение стрелы провеса при плюс  $15^{\circ}$  С и при  $t_2$ , используемых при проверке габарита пересечения ВЛ между собой и при проверке габарита пересечения в аварийном режиме работы ВЛ.

Графики, на которых собраны на одном листе провода разного сечения, дают возможность быстро подобрать марку провода, обеспечивающего заданный габарит пересечения как в однопролетном, так и в многопролетном анкерном участке.

*Ключевая таблица*

*затяжка напряжений и стрел провода правобор*

Скоростной напор ветра, кг/м <sup>2</sup>	40	50	60	65	80	100
Толщина стекни гололеда, мм	5	10	15	20	5	10
Марка и сечение провода	A 70 A 95 A 120	40° 1	2	3	3	5
	AC 35	+15° 4	5	6	6	6
	AC 50, AC 70, ПС 25, ТК 80	+40° 7	8	9	9	9
<i>Провода монтируются на опорах разработанных институтом Сельэнергопроект с исполнением падежем по условиям прочности опор</i>						
Температура °C						
A 70 A 95 A 120	40° 1	2	3	3	5	5
AC 35	+15° 4	5	6	6	6	6
AC 50, AC 70, ПС 25, ТК 80	+40° 7	8	9	9	9	9
<i>Провода монтируются на опорах, разработанных институтом Энергосетьпроект с полным падежем по условиям прочности опор</i>						
AC 70, AC 95	10	11	12	13	14	15
AC 120						
C 50, C 70, ПС G <sub>возд.</sub> = 40 кг/м <sup>2</sup>	24			25		26
C 50, C 70 при G <sub>возд.</sub> = 50 кг/м <sup>2</sup>		28	29	30	31	32
TK-9, TK-10, TK-11 TK-14, TK-20			40	41	42	43
ПС 35, ПС 50, ПС 70.	52	53	54	55	56	57

**Раздел 1.**  
**Для проводов на опорах, разработанных**  
**институтом "Сельэнергопроект" (АО РОСЭП)**

- График зависимости напряжения и стрелы прогиба при  $\tau = +15^\circ\text{C}$  от прогиба  
 $A = 70; \lambda = 95; A = 120; C = 5 \text{ mm}; \rho_H = 90 \text{ кг/м}^2$

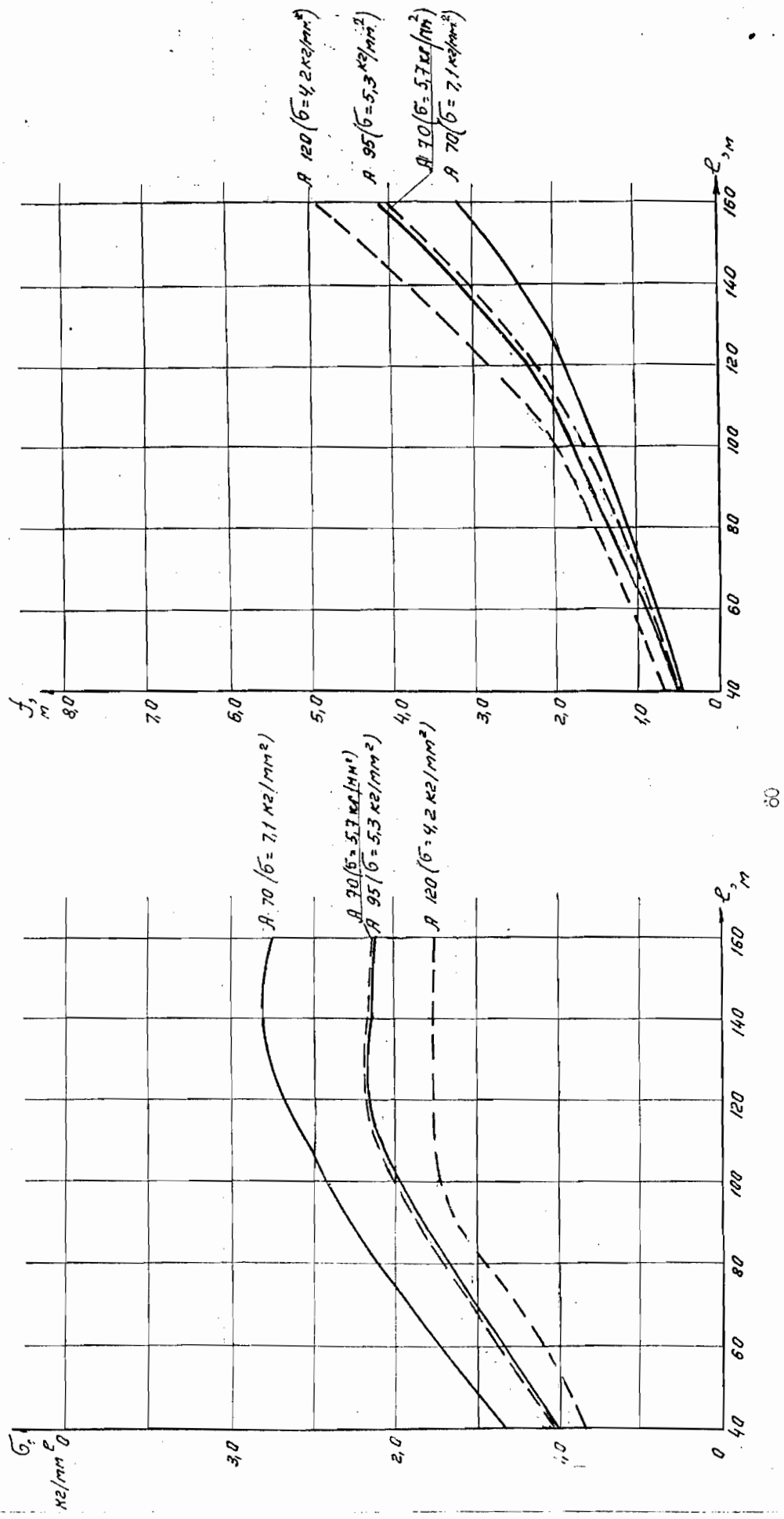
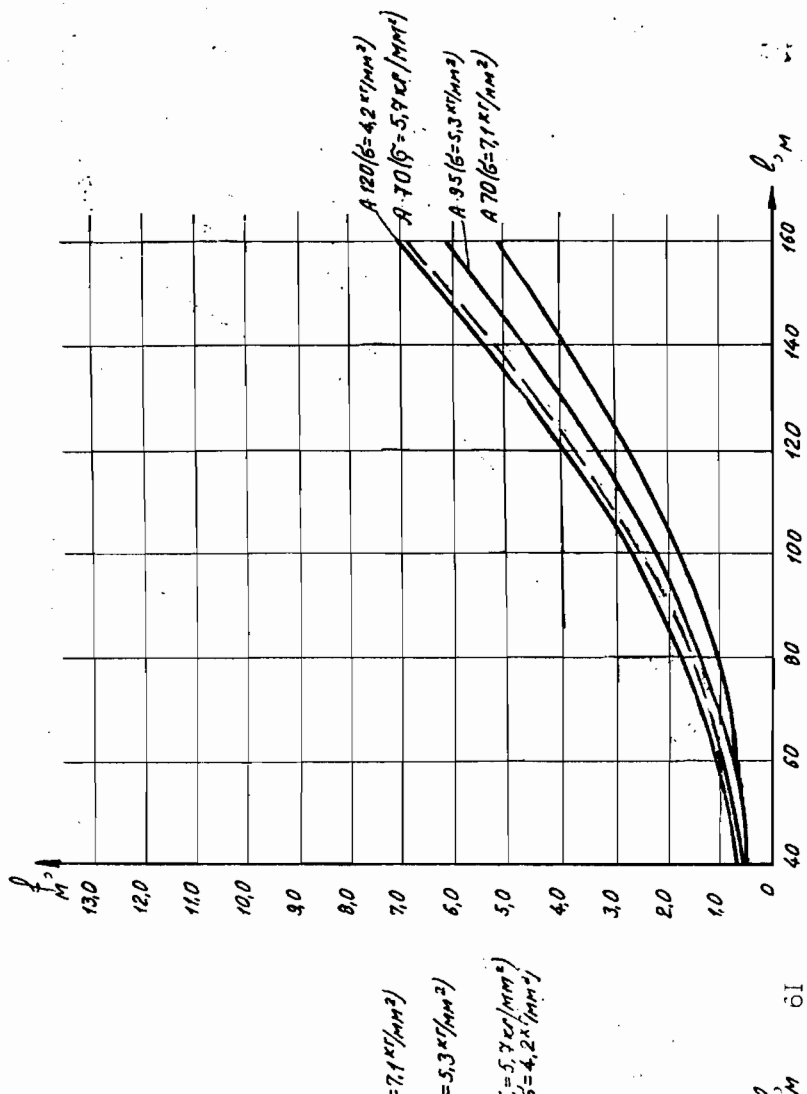
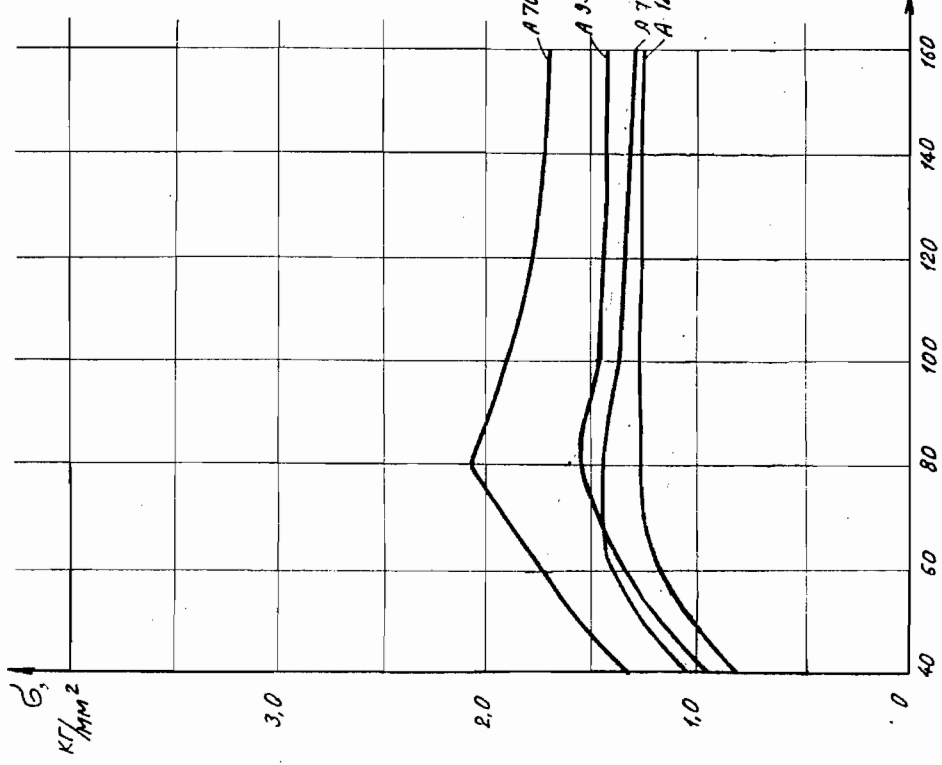


График зависимости напряжений и стрепов процесса прокатки при  $t=+15^{\circ}\text{C}$  от пролёта

$$A\ 70, A\ 95, A\ 120, c=10\ \text{мм}, \rho_n=40\ \text{кг}/\text{м}^2$$



Задача 3. Изобразить эзотермическую кривую испарения и оценить пробега пара при температуре  $t = +15^\circ\text{C}$  для параметров

$A = 70; A = 95; A = 120;$      $C = 15 \text{ м}^2$      $\rho_H = 40 \text{ кг/м}^3$      $\rho_V = 50 \text{ кг/м}^3$

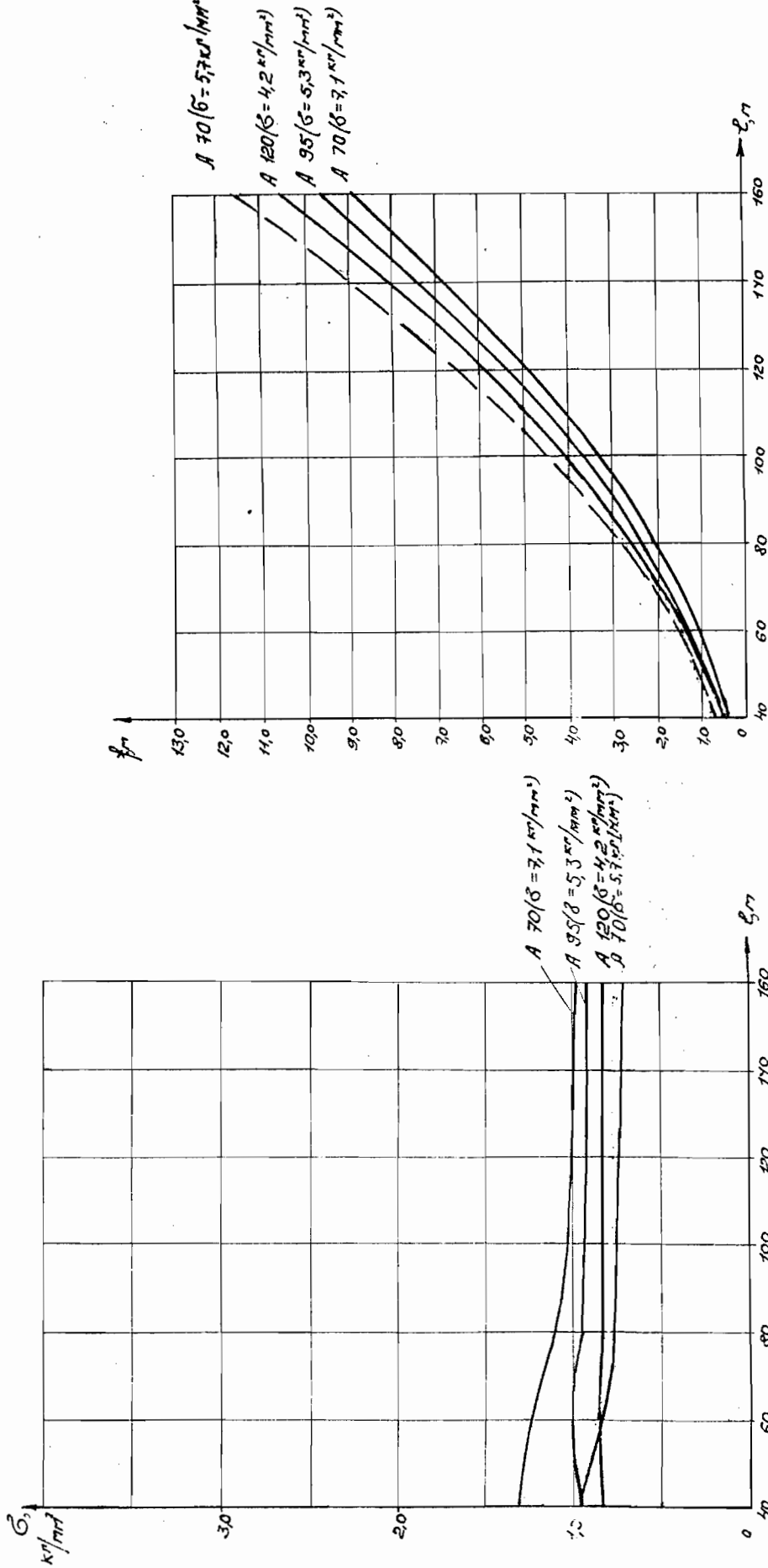


График зависимости напряжений и стрелы прогиба от температуры

$$A=70; \lambda=95; A=120; C=5 \text{ mm}; \rho_H=40 \text{ кг/м}^2$$

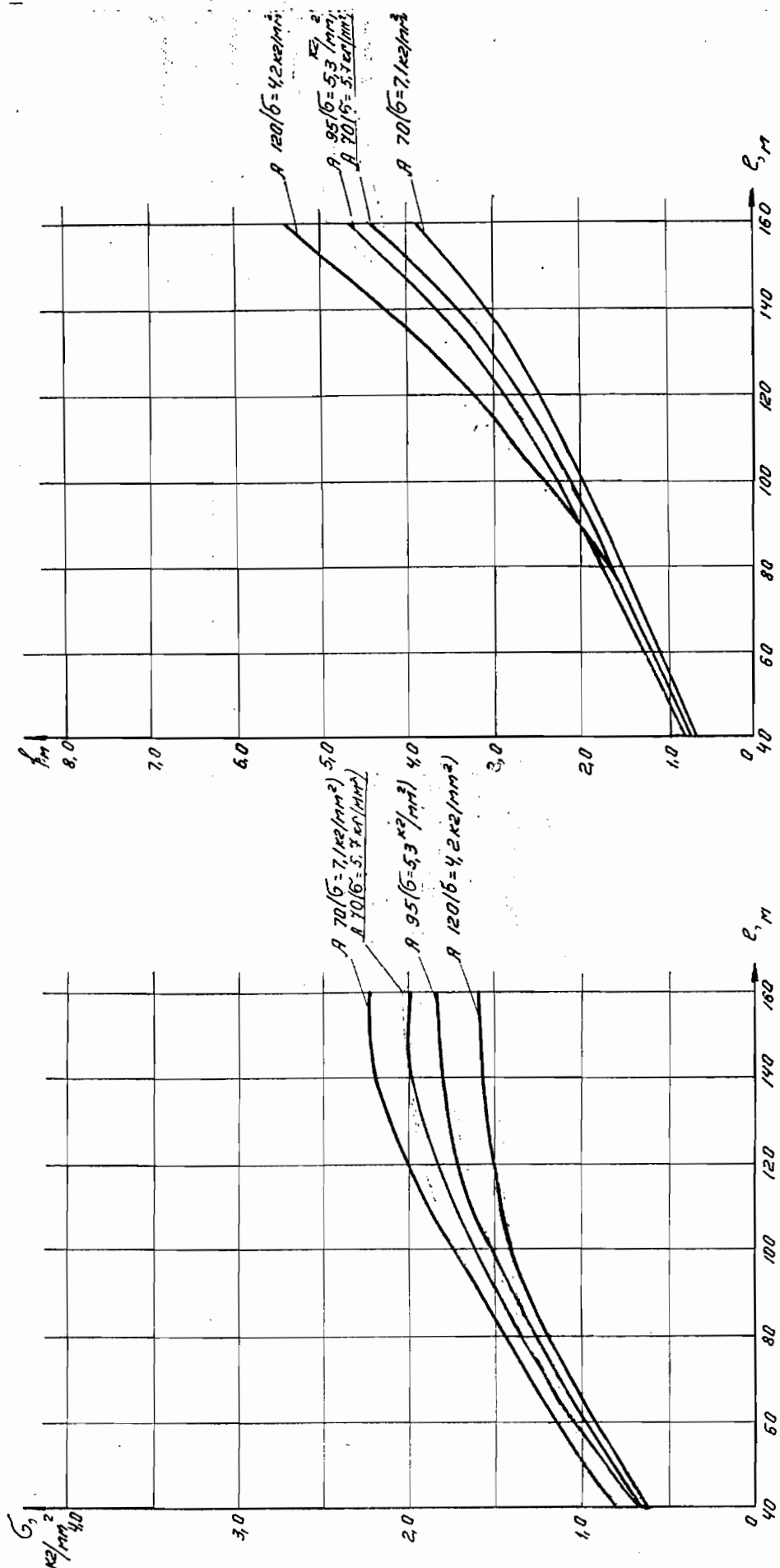


График залежності напруженної стиски процеса прибуття при  $t = +40^\circ\text{C}$  від пропорції  
 $C = 10 \text{ mm} ; P_H = 40 \text{ кг}/\text{м}^2$

$A = 70; A = 95; A = 120$

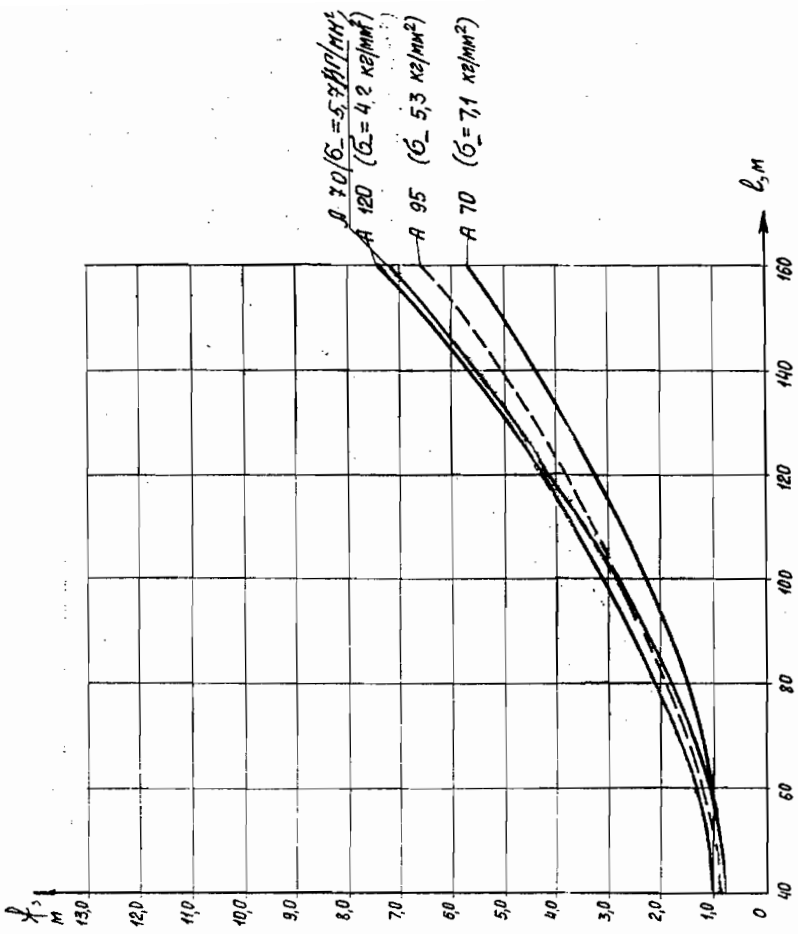
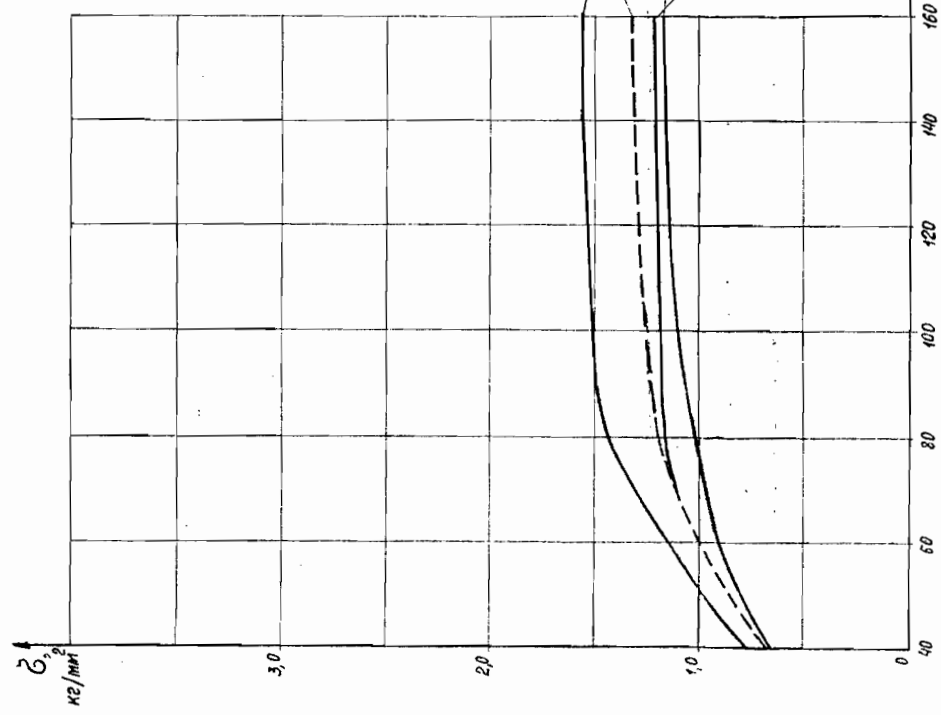


График зависимости напряжения и отрыв пробегов при  $t = +40^\circ\text{C}$  от пролета

$\varnothing 70; \varnothing 95; \varnothing 120; C = 15 \text{ мм}; \rho_H = 40 \text{ кг/м}^2; \rho_h = 50 \text{ кг/м}^2$

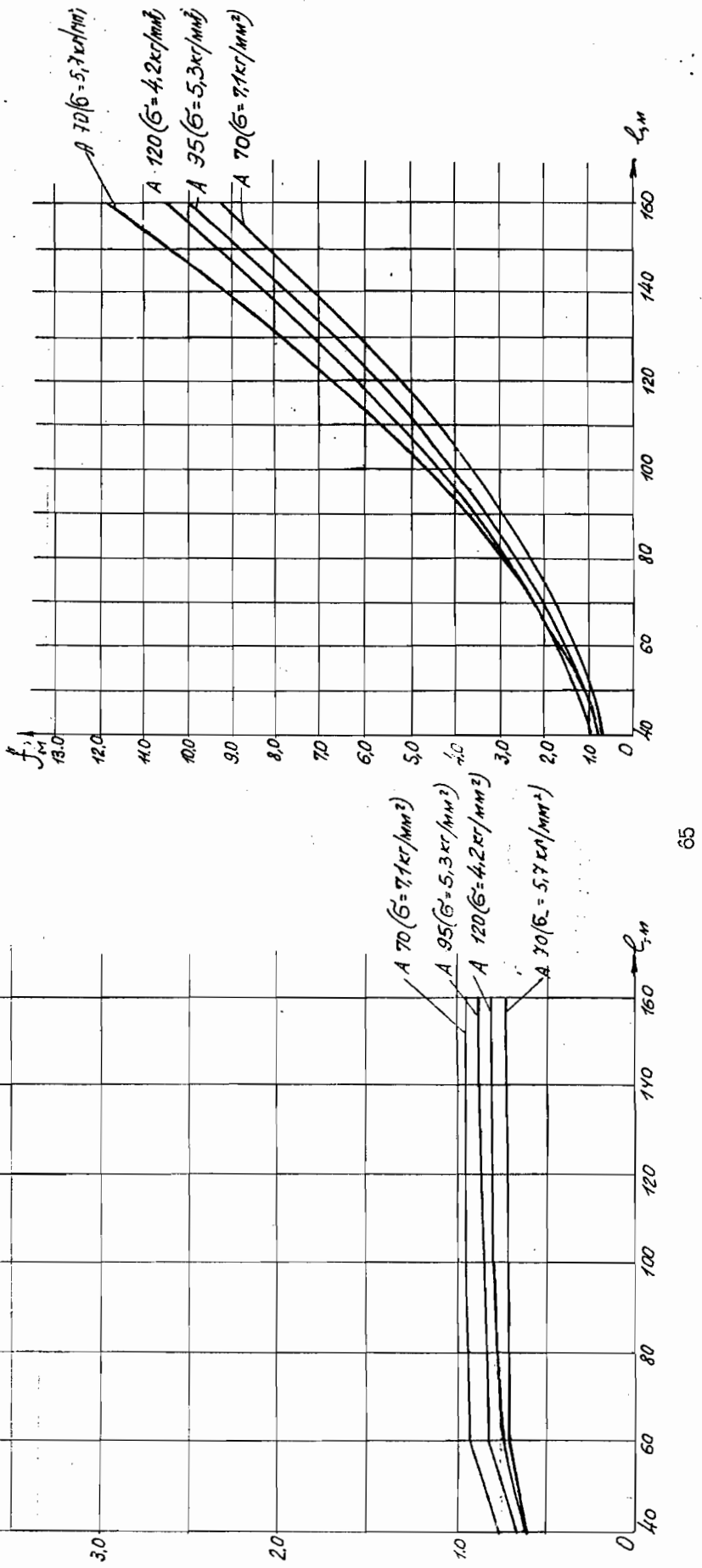
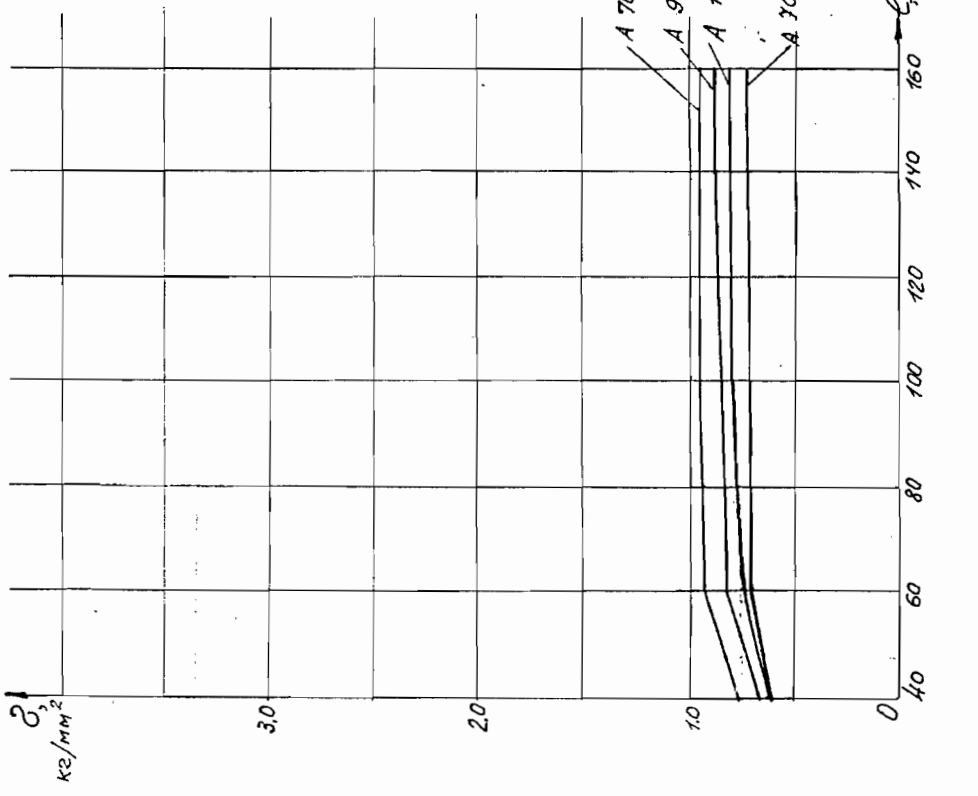


График залежності напружень та стиску процесу працюючих під  $t=15^\circ C$  при пролеті  
 AC 35, AC 50, AC 70, PC 25, конст. Тк-8,0 р/см 3062-69  
 $c = 5 \text{ мм}$ ,  $\rho = 40 \text{ кг/м}^2$

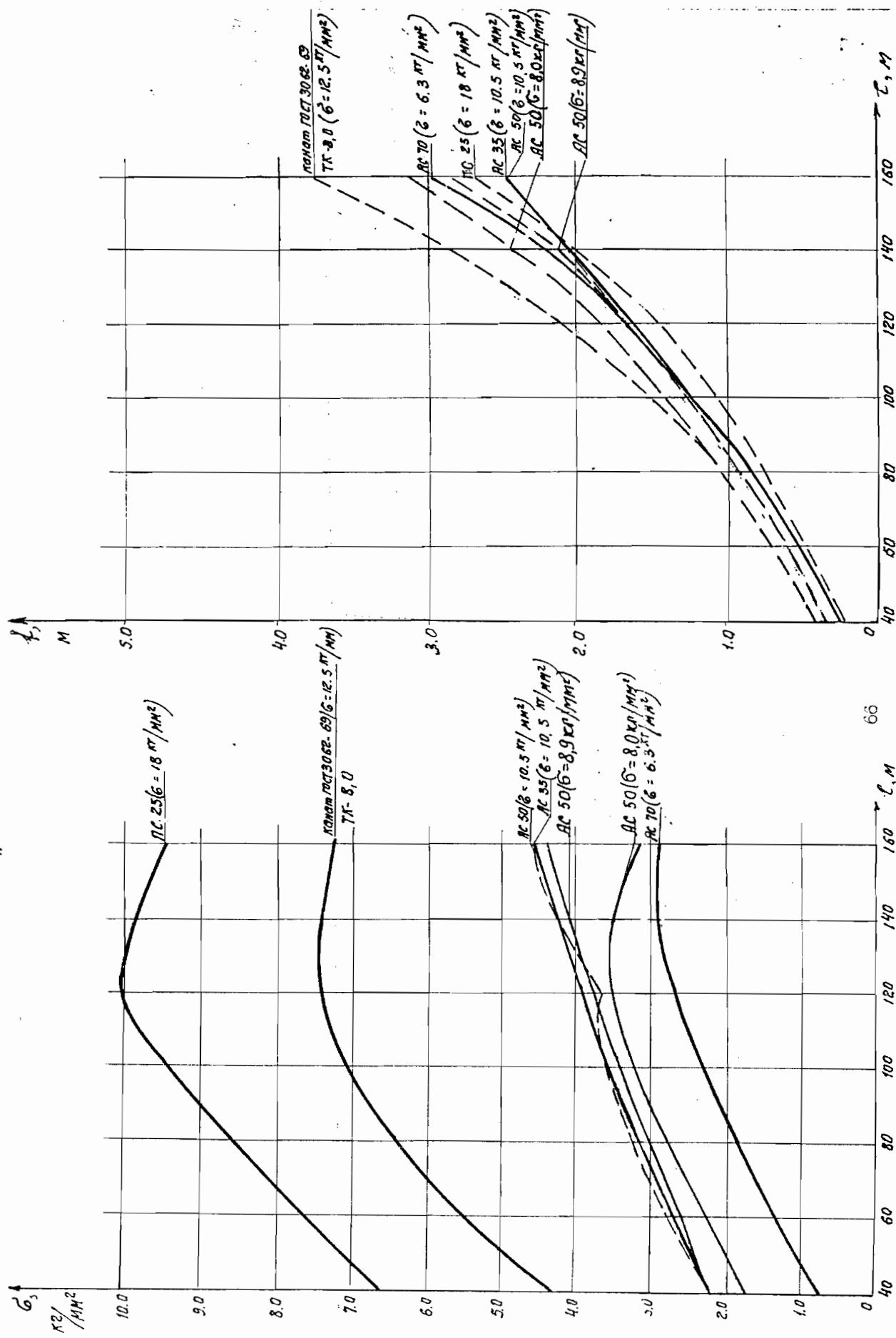


График зависимости напряжений и стрел профилей при температуре  $t + 15^\circ$  от профиля  
 AC 35, AC 50, AC 70, AC 25, ГОСТ ТК-80, ГОСТ 3062-69  
 $c = 10 \text{ мм}, \rho = 40-50 \text{ кг/м}^3$

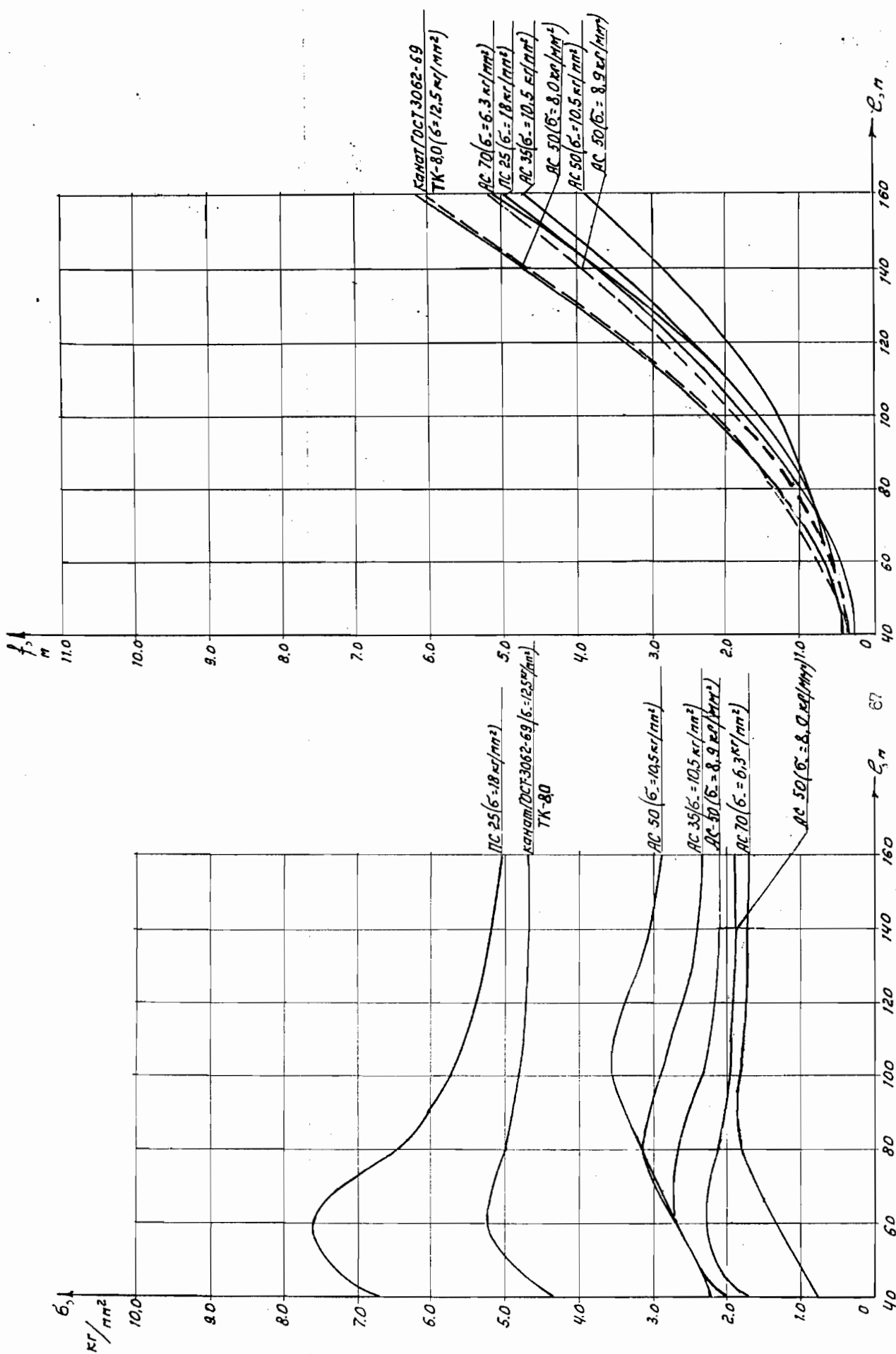
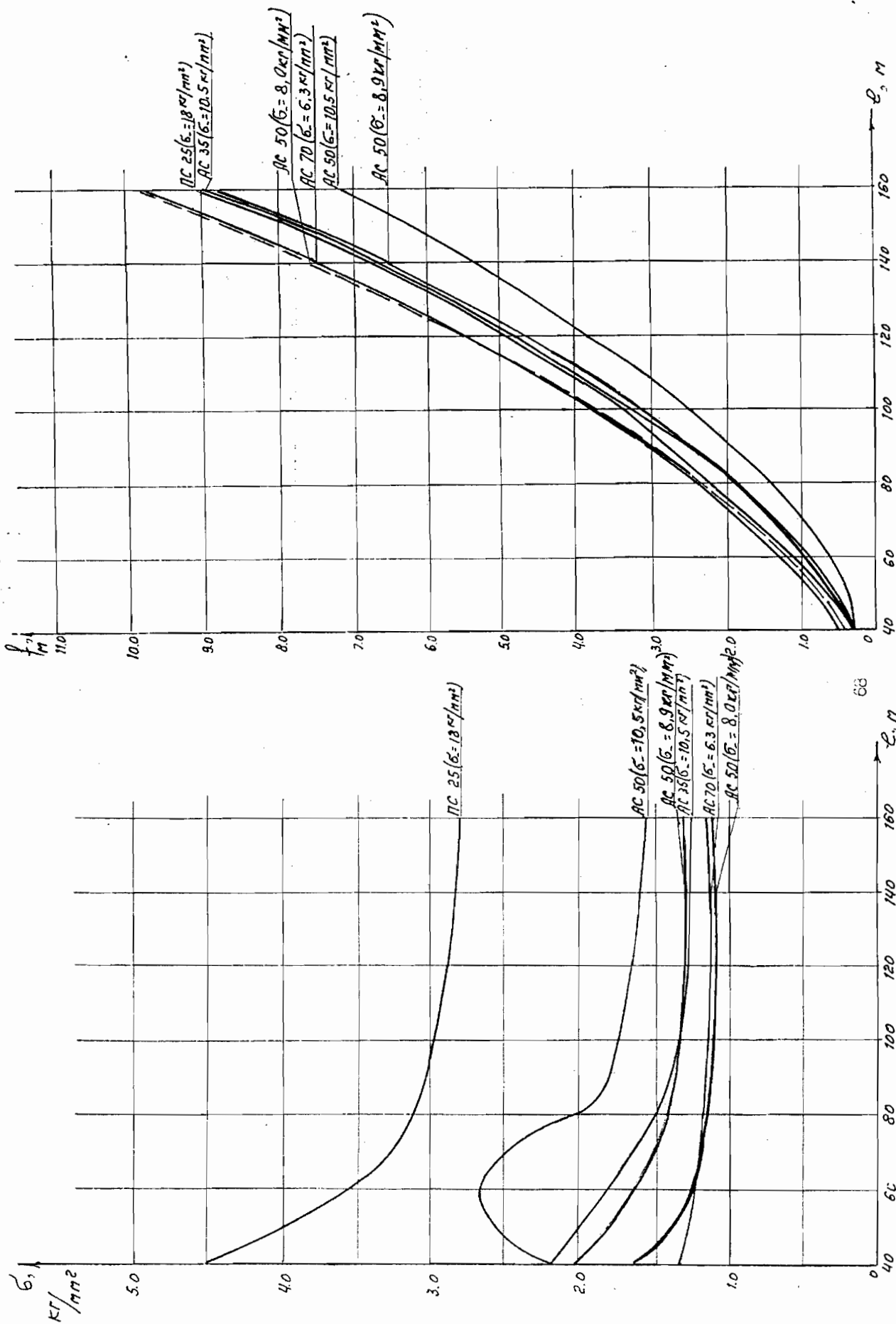


График зависимости напряжений и сцепления пробега при  $\dot{\varepsilon} = 15^{\circ}\text{C}$  от прогрева

AC 35, AC 50, AC 70, PC 25  
 $C = 15 \text{ mm}$   $P^H = 40 - 50 \text{ kN/mm}^2$



Диаграмм зобускості напрямку в стисн розбеса тау = +40° от параметра  
 AC 35, AC 50, AC 70, AC 25, конст ТК-80 ROST 3062-69  
 $C = 5 \text{ mm}$ ,  $q_n = 40 \text{ кН/mm}^2$

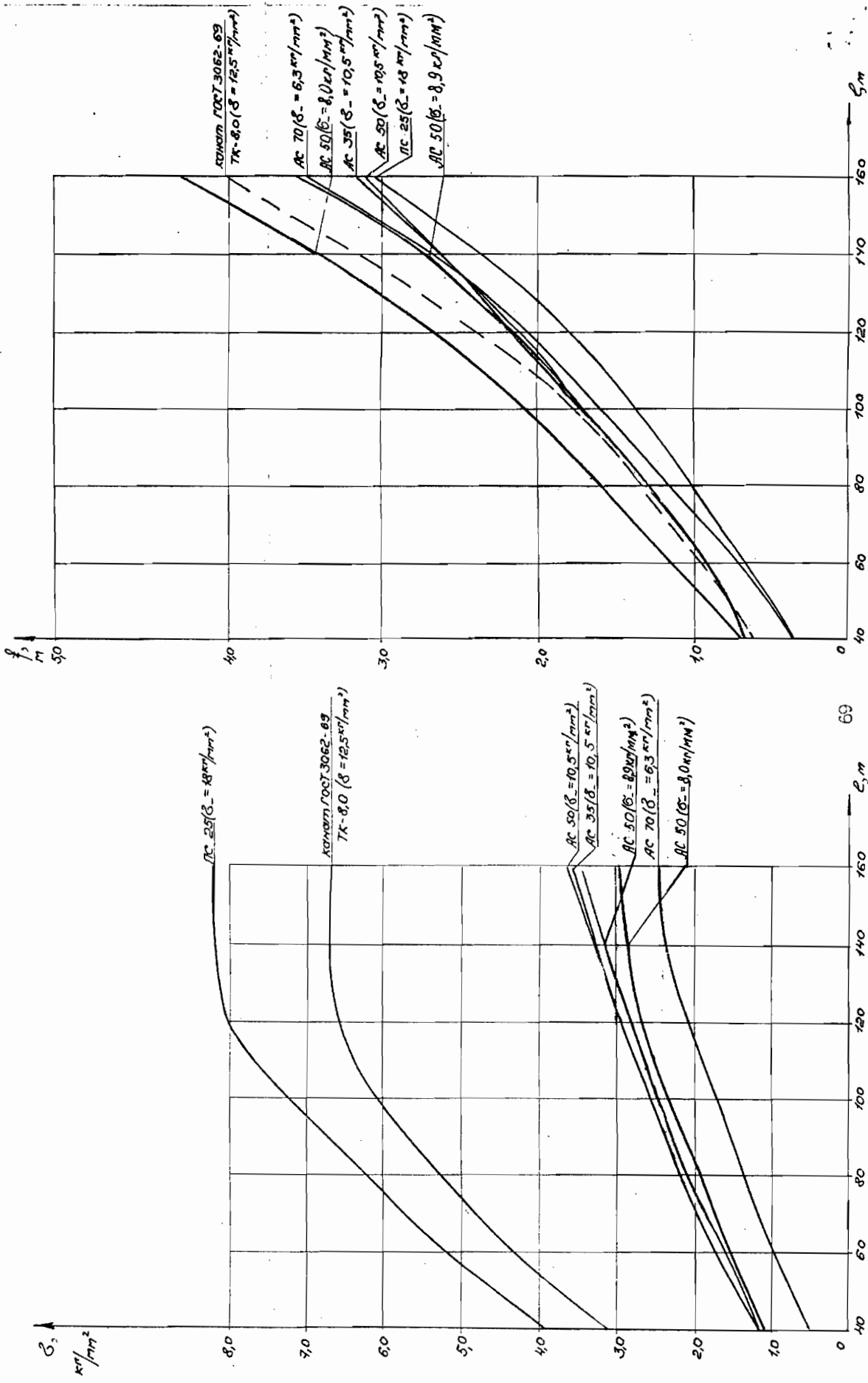


График залежності напруженної стиски пробеса проходів при  $t=40^{\circ}\text{C}$  від температури

AC 35, AC 50, AC 70, AC 80, Канат ТК-80, гостр 3062-69

$C = 10 \text{ кг/м}^2$ ,  $q'' = 40 \text{ кг/м}^2$

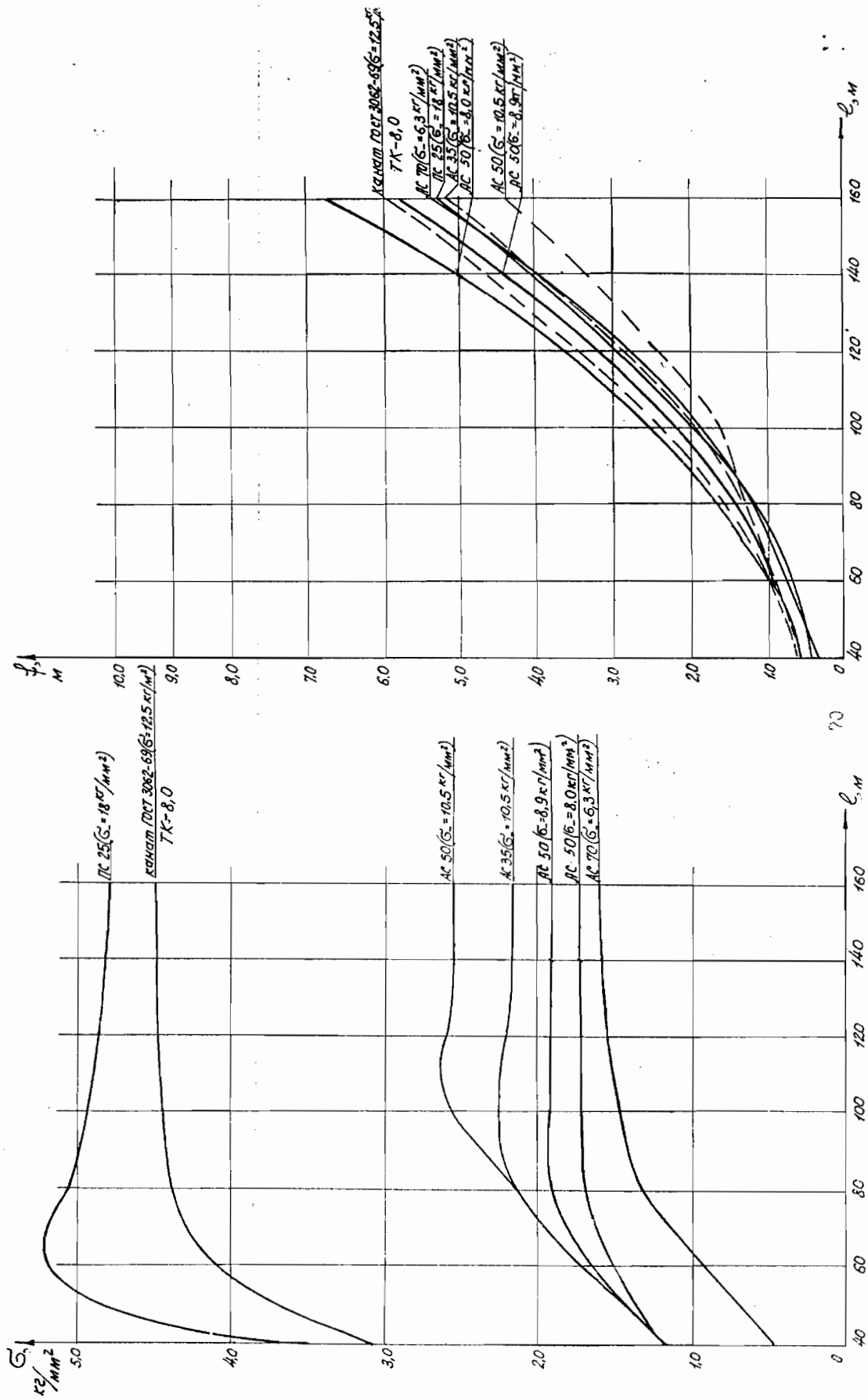
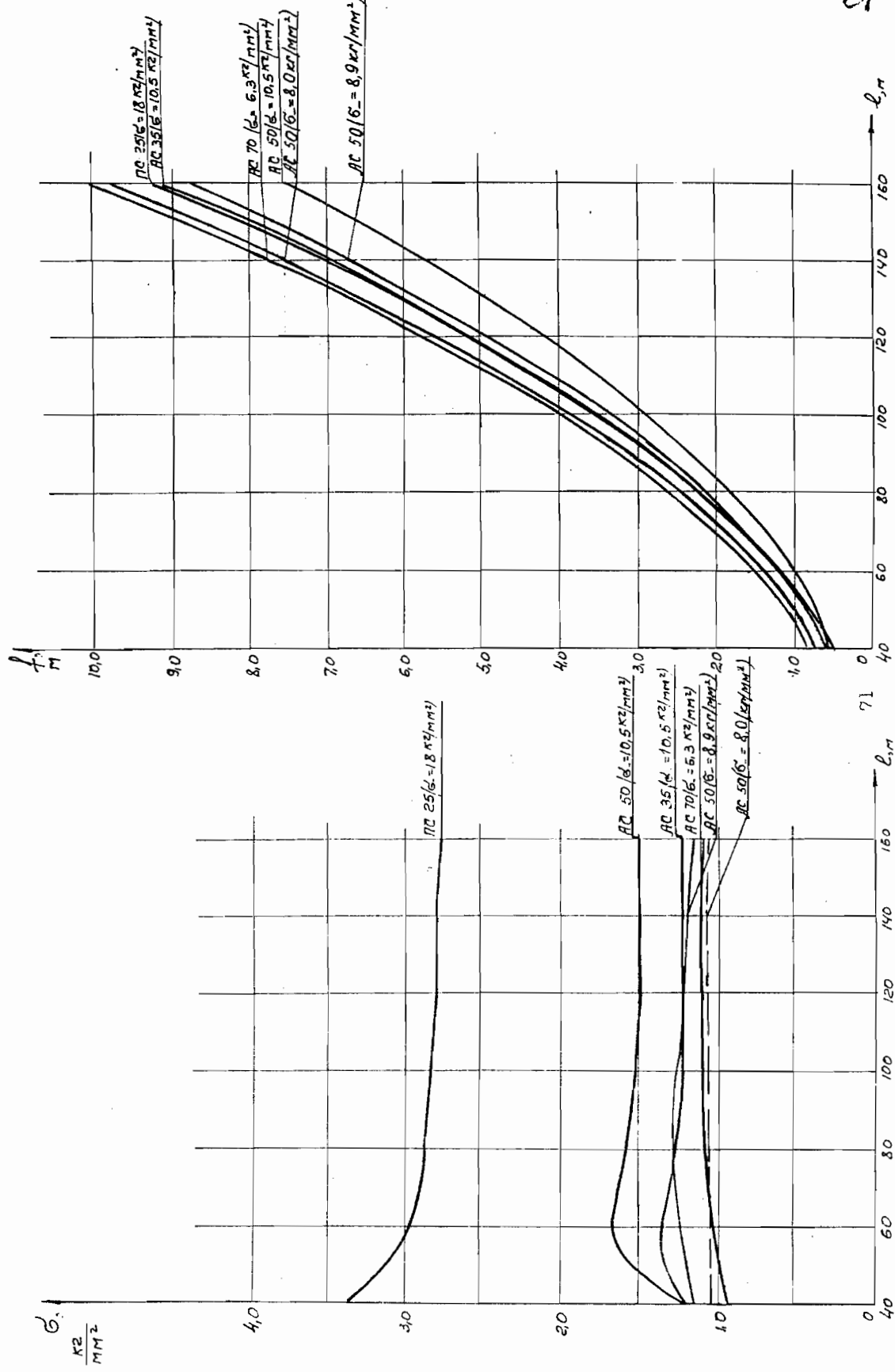


График залежності напруження в структури процеса при  $t = +40^{\circ}\text{C}$  от пропел

$$\text{AC 25; AC 50; AC 70 \quad C=15\text{mm} \quad P_{\text{н}} = 40-50 \text{ кг/mm}^2}$$



## **РАЗДЕЛ 2**

**Графики напряжений и стрел провеса проводов  
АС, С и ТК, монтируемых с полным тяжением  
по условиям прочности на опорах, разработанных  
институтом "Энергосетьпроект"**

Справки за височината на режещия и стрелата  
при обработка при  $t = +40^\circ\text{C}$  от момента

$AC \cdot 35, AC \cdot 50, AC \cdot 70, AC \cdot 95, AC \cdot 120,$   
 $C = 5 \text{ mm}, q^H = 40 \text{ kN/mm}^2$

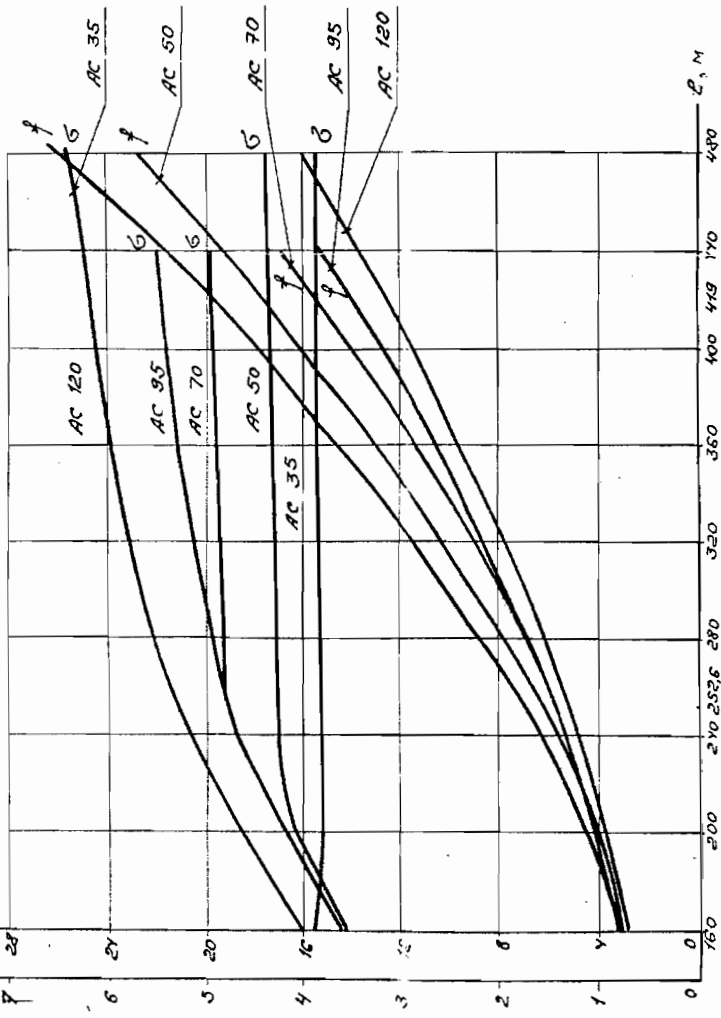
$\sigma/\text{mm}^2$

$\delta, \text{мм}$

$\tau, \text{м}$

$\kappa_2/\text{mm}^2$

$\zeta$

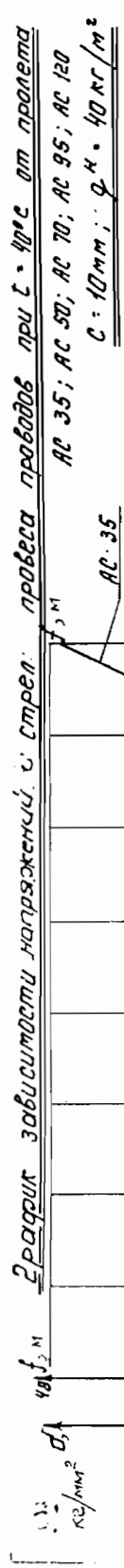


Справки при обработке при температуре  
менее, чем при максимальной  
температуры для пребывания:

Материал	Длина прокаленного	Линейка
сталь	$t_1$	$l_2$
AC 35	270,8	173,4
AC 50	270,8	203,2
AC 70	270,8	246,7
AC 95	249,8	296,8
AC 120	251,2	381,7
		1332,7

AC 35 на  $33 \div 43 \text{ см}$   
AC 50 "  $41 \div 69 \text{ см}$   
AC 70 "  $55 \div 68 \text{ см}$   
AC 95 "  $65 \div 84 \text{ см}$   
AC 120 "  $66 \div 93 \text{ см}$

73



Марка пробника	Длина пробника, $\text{мк}$	$\varepsilon_1$	$\varepsilon_2$	$\varepsilon_3$
AC 35	240,8	86,9	64,1	
AC 50	240,8	101,0	77,0	
AC 70	240,8	129,4	99,6	
AC 95	240,8	153,7	127,6	
AC 120	251,2	206,1	185,8	

1. Стремлена пробка при заполнении теневые, чём при максимальной температуре, для прободов:
- |        |                        |
|--------|------------------------|
| AC 50  | на $7^{\circ}\text{C}$ |
| AC 70  | " $5^{\circ}\text{C}$  |
| AC 95  | " $11^{\circ}\text{C}$ |
| AC 120 | " $16^{\circ}\text{C}$ |
2. Стремлена пробка при заполнении вакуум, чём при максимальной температуре, для прободов:
- |       |                         |
|-------|-------------------------|
| AC 35 | на $35^{\circ}\text{C}$ |
| AC 50 | " $39^{\circ}\text{C}$  |

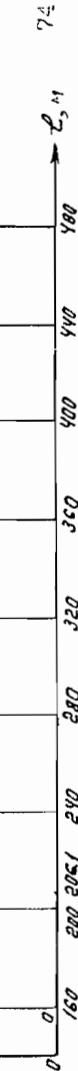
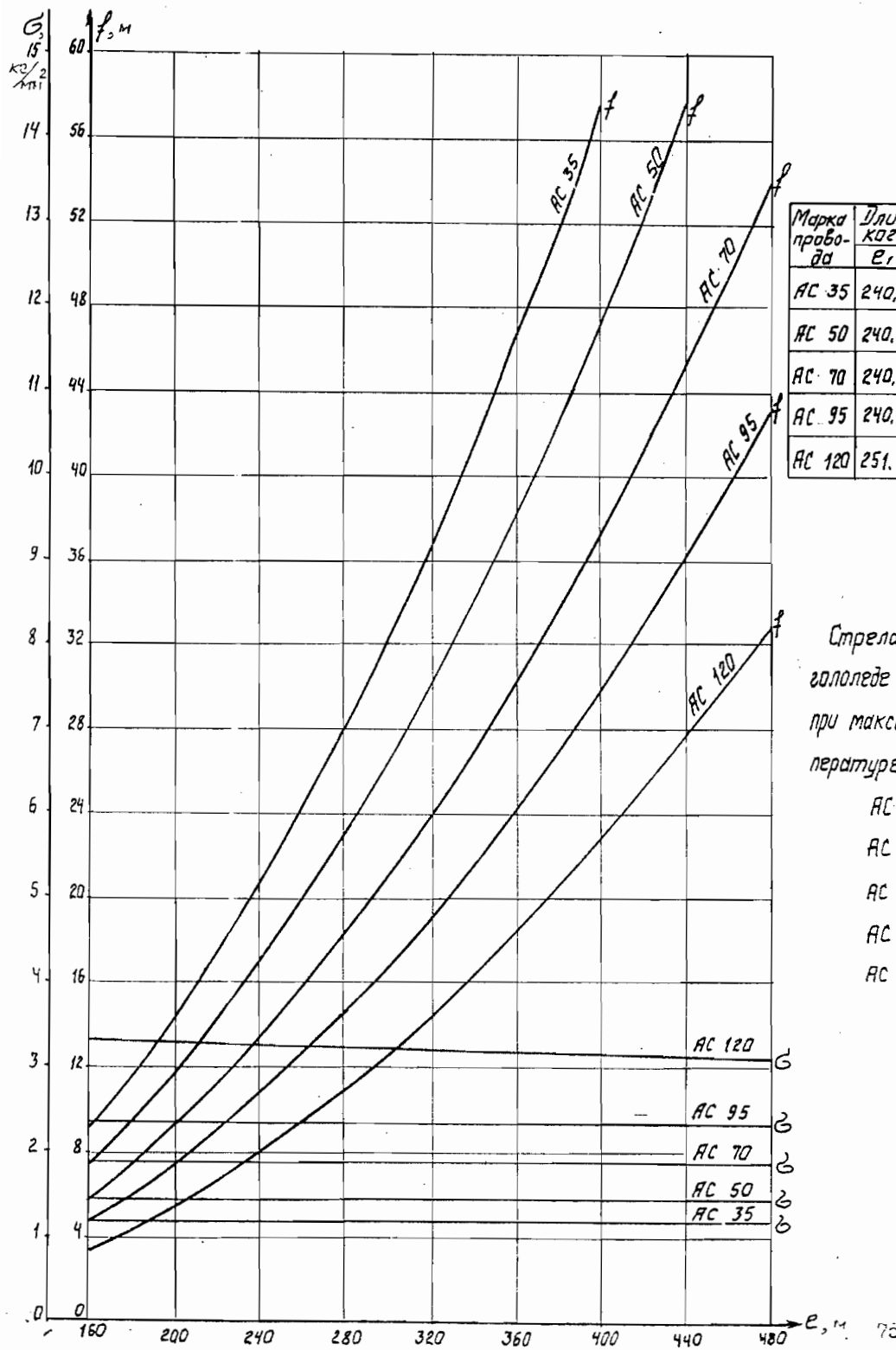


График зависимости напряжений и стрелы провеса

при  $t = 40^\circ\text{C}$  от пролета

$\text{AC} \cdot 35, \text{AC} \cdot 50, \text{AC} \cdot 70, \text{AC} \cdot 95, \text{AC} \cdot 120, c = 15 \text{мм}, q'' = 40 \text{кг}/\text{м}^2, q''' = 50 \text{кг}/\text{м}^2$ .



Стрела провеса при  
толеде больше, чем  
при максимальной тем-  
пературе, для проводов:

AC 35 на 5÷6 см

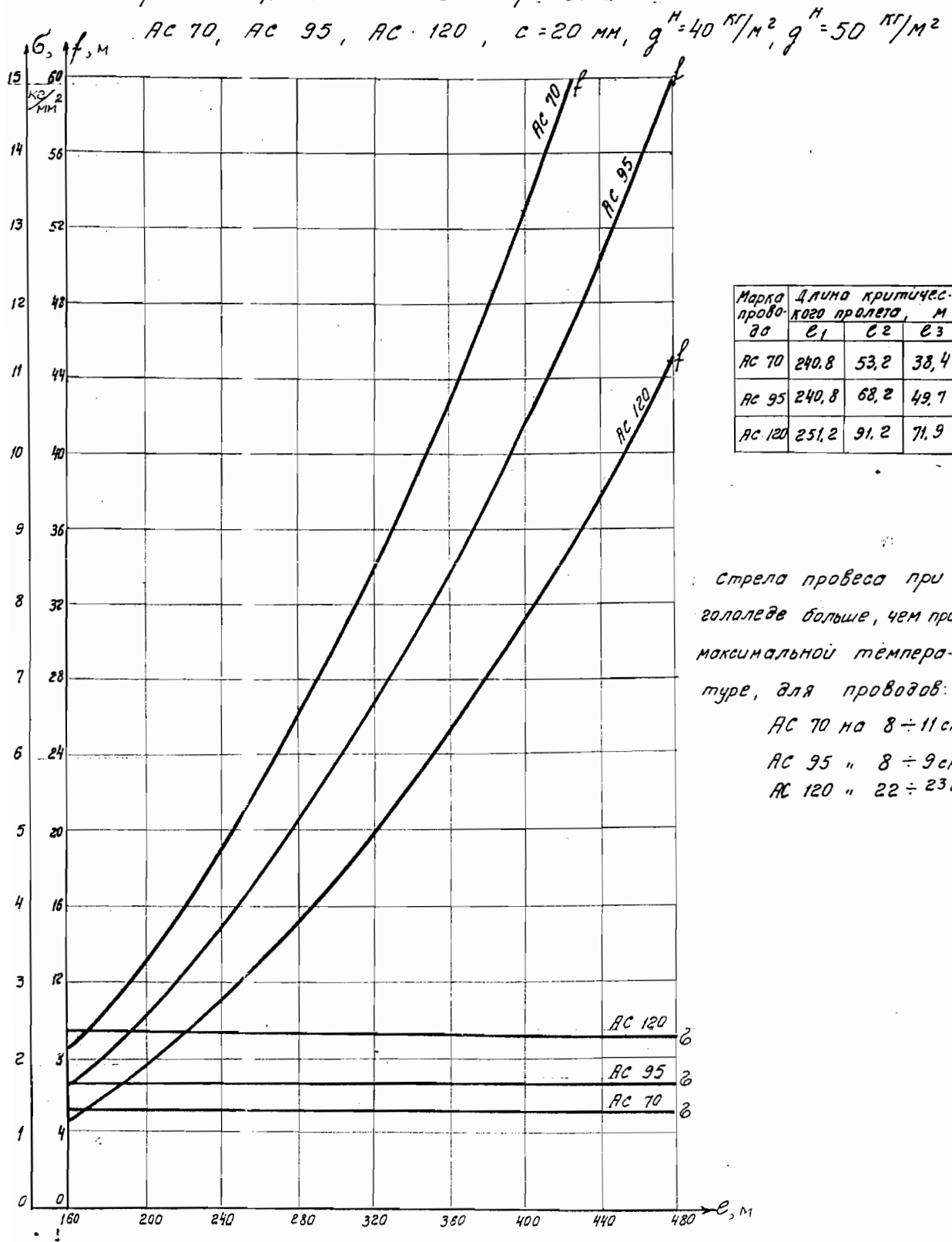
AC 50 " 5÷6 см

AC 70 " 4÷5 см.

AC 95 " 1÷3 см

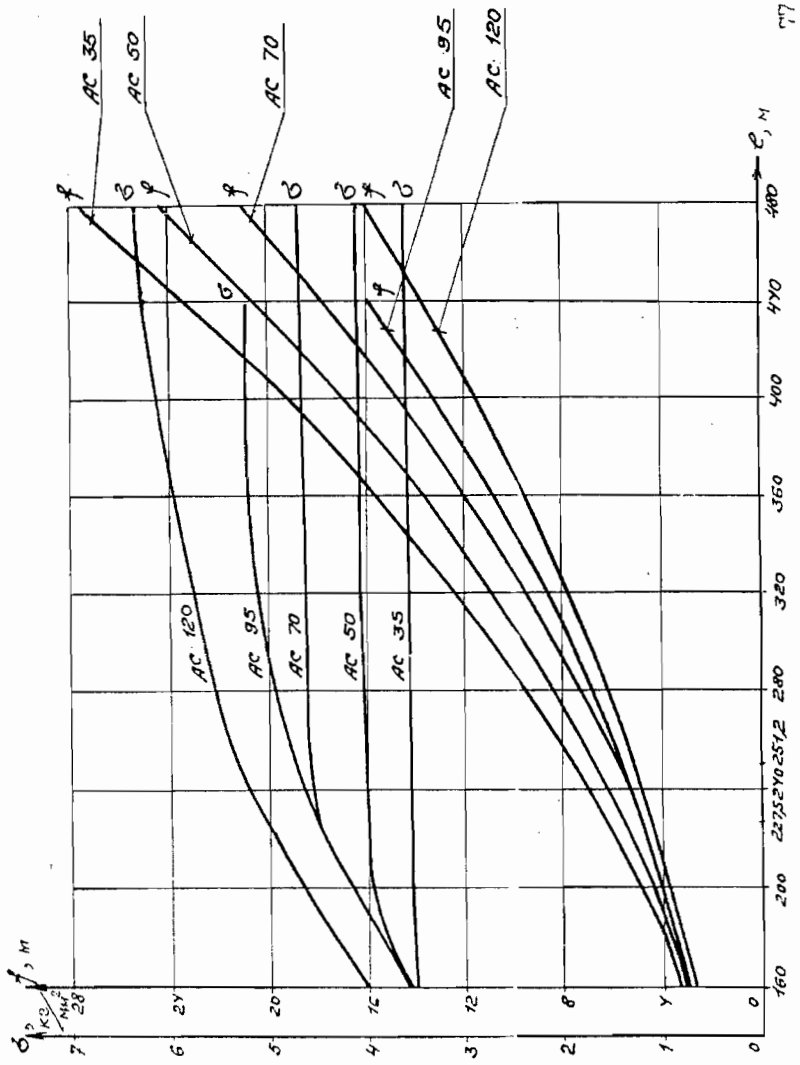
AC 120 " 15÷16 см

График зависимости напряжения в стрел. пролесса  
проводов при  $t = +40^\circ\text{C}$  от пролета



Задача 3. Построить эпюры сопротивления напряжения и сопротивления изгиба для стальных балок при  $t = +40^\circ\text{C}$  от температуры

$$AC \cdot 35; AC \cdot 50; AC \cdot 70; AC \cdot 95; AC \cdot 120 \\ C = 5 \text{ mm}, \quad q^H = 50 \text{ кН/м}^2$$



Марка стали	Длина пролета, м		
	$\ell_1$	$\ell_2$	$\ell_3$
AC 35	240,8	158,2	127,3
AC 50	240,8	186,7	158,9
AC 70	240,8	227,5	216,4
AC 95	240,8	274,3	324,2
AC 120	231,2	355,4	651,6

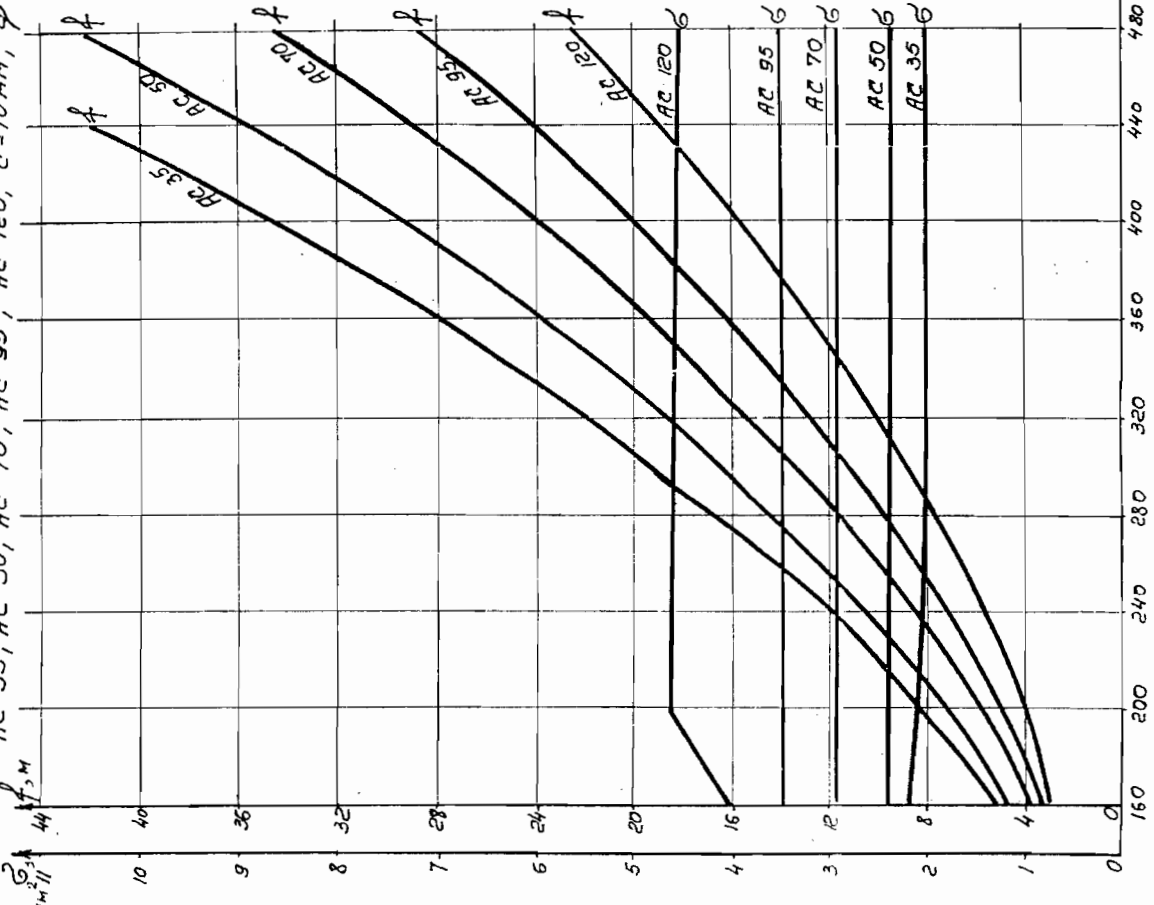
1. Страна производство при золоте температуре, чем при максимальной температуре, для которых:

$$AC \cdot 70 \quad \text{на} \quad 55 \div 71 \text{ см} \\ AC \cdot 95 \quad " \quad 65 \div 86 \text{ см} \\ AC \cdot 120 \quad " \quad 66 \div 93 \text{ см}$$

2. Страна производство при золоте доли, чем при максимальной температуре, для которых:  $AC \cdot 35; AC \cdot 50; AC \cdot 70$  на пистолете.

График зависимости напряжений и стрел прогибов  
при  $\vartheta = +40^\circ\text{C}$  от прогиба

$AC 35; AC 50; AC 70; AC 95; AC 120, C = 10 \text{ mm}, \varphi'' = 50 \text{ MPa/m}^2$



1 Стрелка прогиба при температуре, не превышающей, чем при температуре, для проверки:

AC 50 на  $3 \div 5 \text{ cm}$   
AC 70 " "  $7 \div 11 \text{ cm}$

AC 95 " "  $13 \div 19 \text{ cm}$

AC 120 " "  $15 \div 16 \text{ cm}$

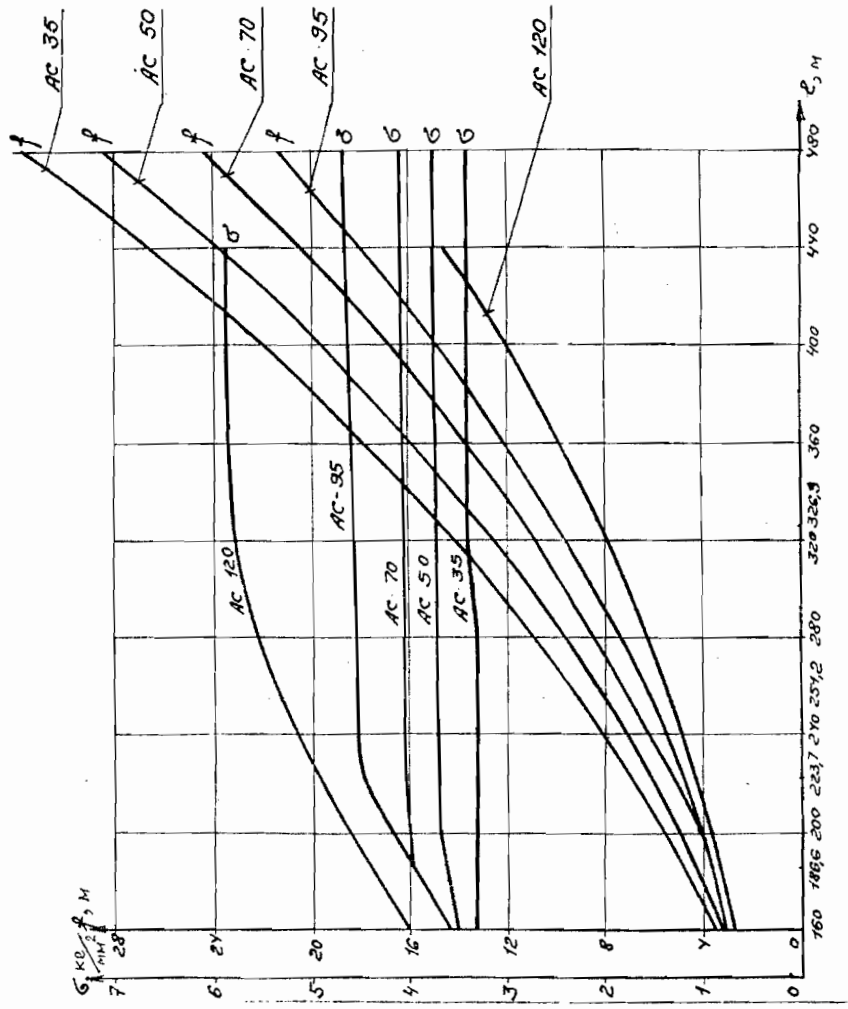
2 Стрелка прогиба при температуре, большей, чем при температуре для проверки:

AC 35 на  $3 \div 5 \text{ cm}$

Задача 1. Найти зависимость между коэффициентом теплопроводности и температурой для различных материалов при  $t = +40^\circ\text{C}$ .

$$AC \cdot 35; AC \cdot 50; AC \cdot 70; AC \cdot 95; AC \cdot 120;$$

$$C = 5 \text{ мм}; \varphi^H = 6,5 \text{ м}^2/\text{м}^2$$



79

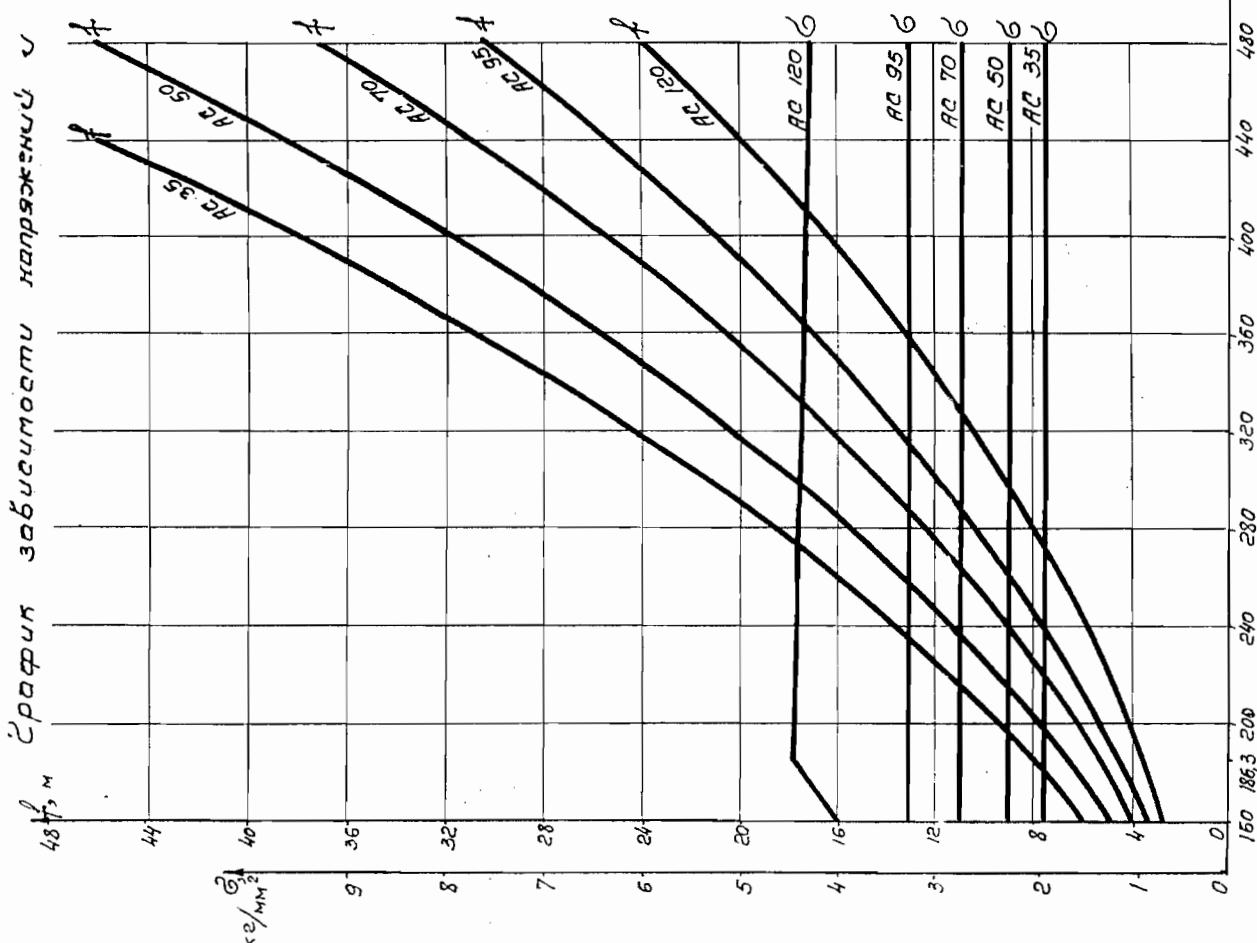
Материал	Зависимость коэффициента теплопроводности от температуры
AC 35	$C_1 = 240,8 - 14,3,2 \cdot t$
AC 50	$C_2 = 240,8 - 11,2,6 \cdot t$
AC 70	$C_3 = 240,8 - 13,7,3 \cdot t$
AC 95	$C_4 = 240,8 - 15,8,5 \cdot t$
AC 120	$C_5 = 240,8 - 21,0,1 \cdot t$

1. Состройте графики зависимости коэффициента теплопроводности от температуры для приведенных материалов:
- | Материал | Коэффициент теплопроводности | График                          |
|----------|------------------------------|---------------------------------|
| AC 30    | 40                           | $C_1 = 40 - 5,5 \cdot t$        |
| AC 95    | "                            | $C_2 = 40 - 6,5 \cdot t$        |
| AC 120   | "                            | $C_3 = 40 - 6,6 \div 9 \cdot t$ |
2. Состройте график зависимости коэффициента теплопроводности от температуры для материалов AC 35 и AC 50 при температуре 20°C, а также для материалов AC 95 и AC 120 при температуре 40°C.

График зависимости напряжения и стрел. пробега от пробега при  $t = +40^{\circ}\text{C}$  от пробега

AC 35; AC 50; AC 95; AC 120;

$C = 10 \text{ mm}; q' = 65 \text{ кг}/\text{м}^2$



Стрела пробега при головеде  
меньше, чем при максимальной  
температуре, для пробегов:

AC 35	на	5 : 1/см
AC 50	"	4 : 1/см
AC 70	"	12 : 1/см
AC 95	"	17 : 1/см
AC 120	"	9 : 1/см

График зависимости напряжения в стреле провеса  
проводов при  $t = +40^\circ\text{C}$  от пролёта

AC 35, AC 50, AC 70, AC 95, AC 120,  $C=15\text{мм}$ ,  $\sigma''=55\text{кг}/\text{м}^2$

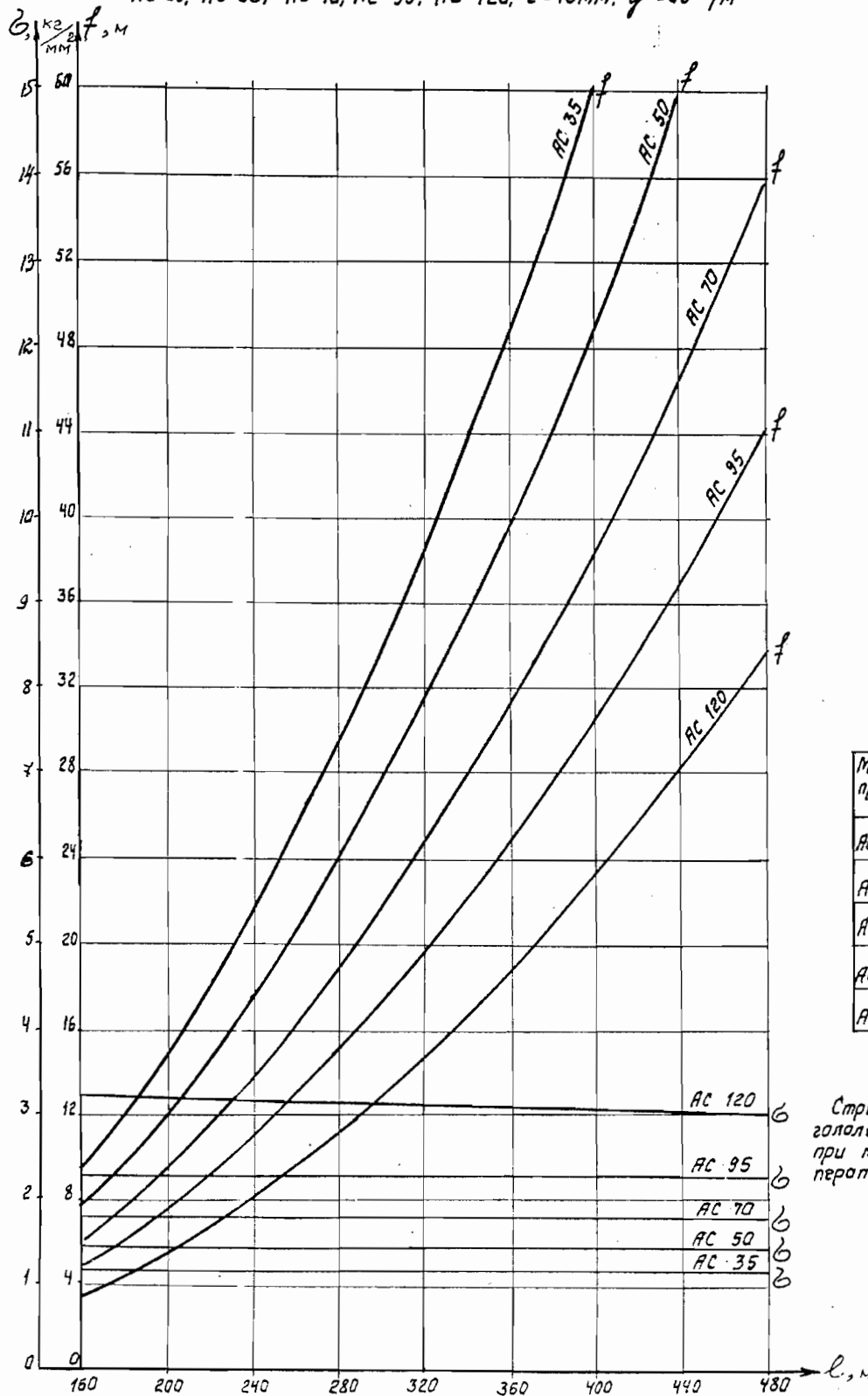
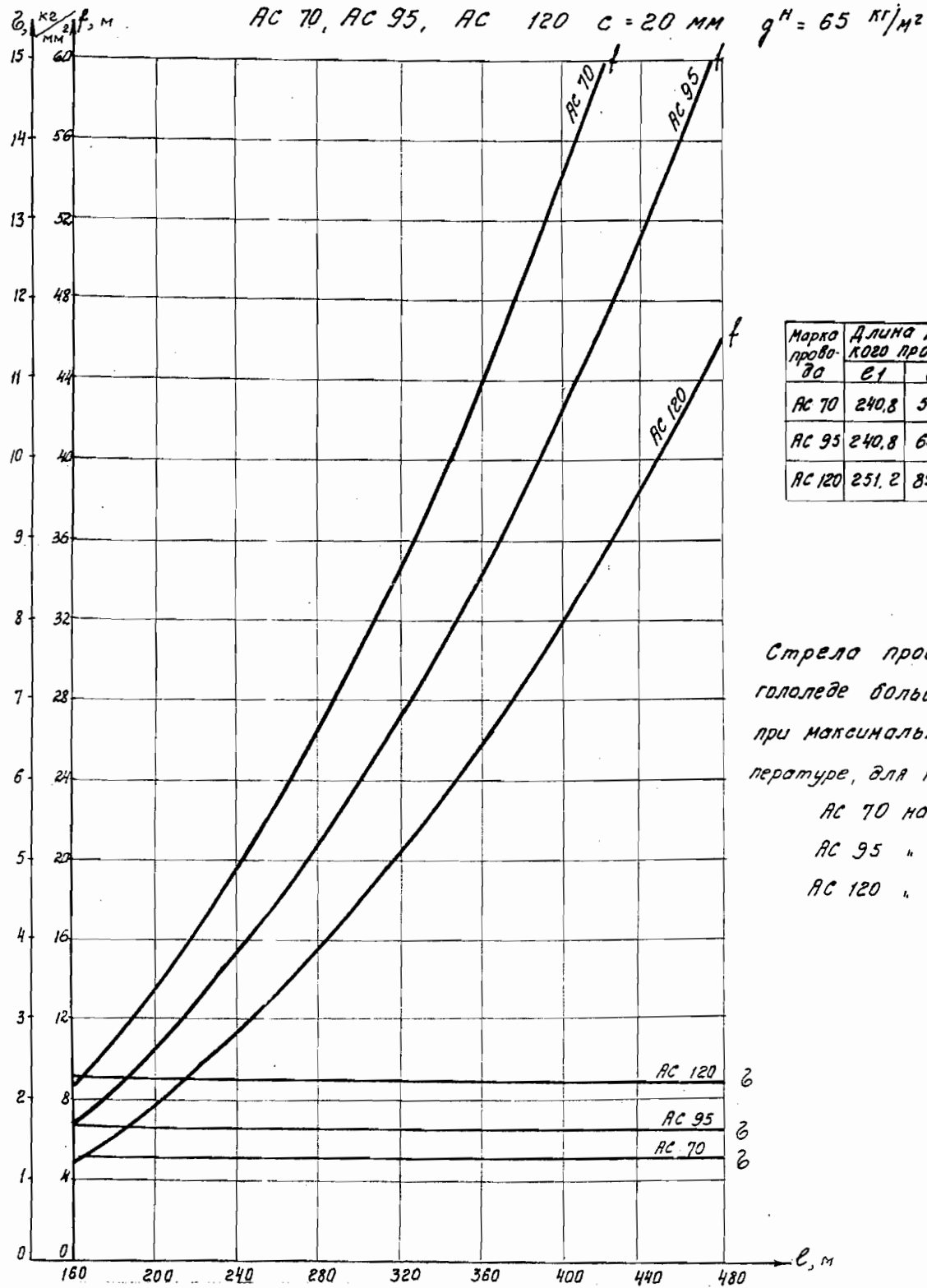


График зависимости напряжений в стреле провеса  
прободов при  $t = +40^\circ\text{C}$  от пролета.



Стрела провеса при  
гололеде больше, чем  
при максимальной тем-  
пературе, для прободов:

AC 70 на 6÷7 см

AC 95 " 4÷7 см

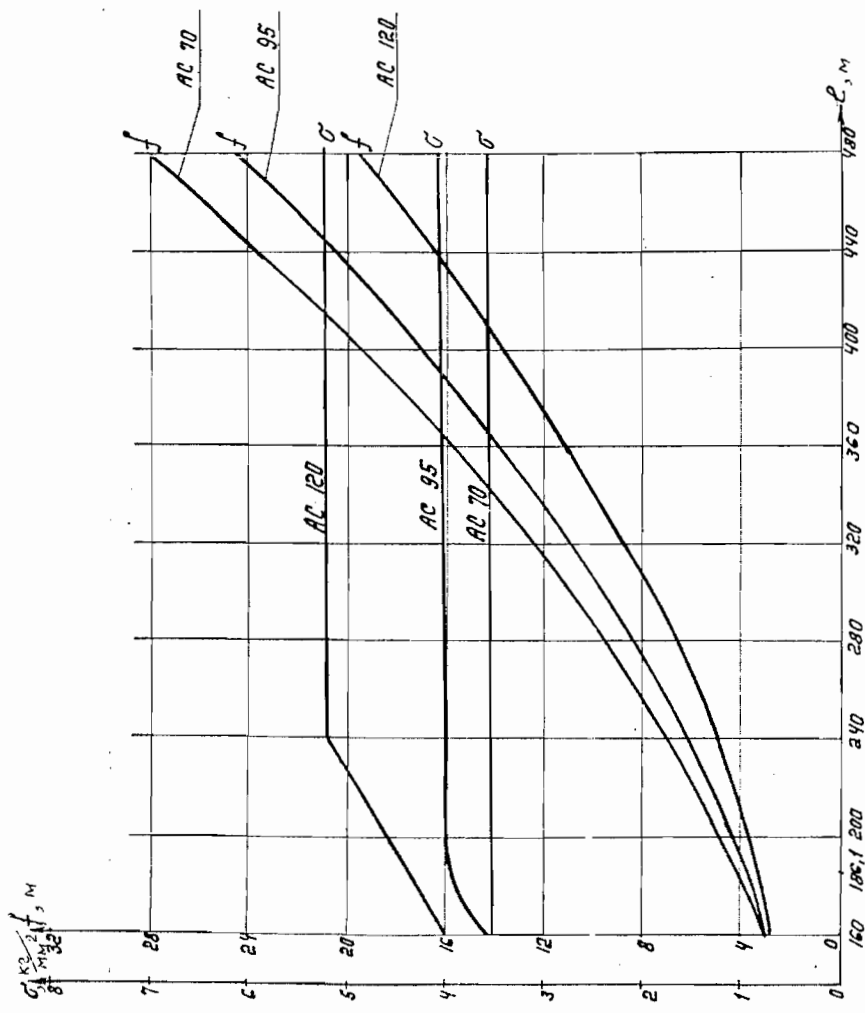
AC 120 " 19÷21 см

График зависимости напряжения от стрелы прогиба

Приблизительные формулы для определения стрелы прогиба

$$AC \cdot 70, \quad AC \cdot 95, \quad AC \cdot 120, \quad c = 5 \text{мм}, \quad g^H = 80 \text{кг/м}^2$$

Марка стекла	Длина стекла, м	Приблизительная стрела, м
AC 70	2400,0	155,0
AC 95	2400,0	186,1
AC 120	251,2	232,1



Стрелка прогиба при выполнении меньшего член при максимальной температуре, для приборов:

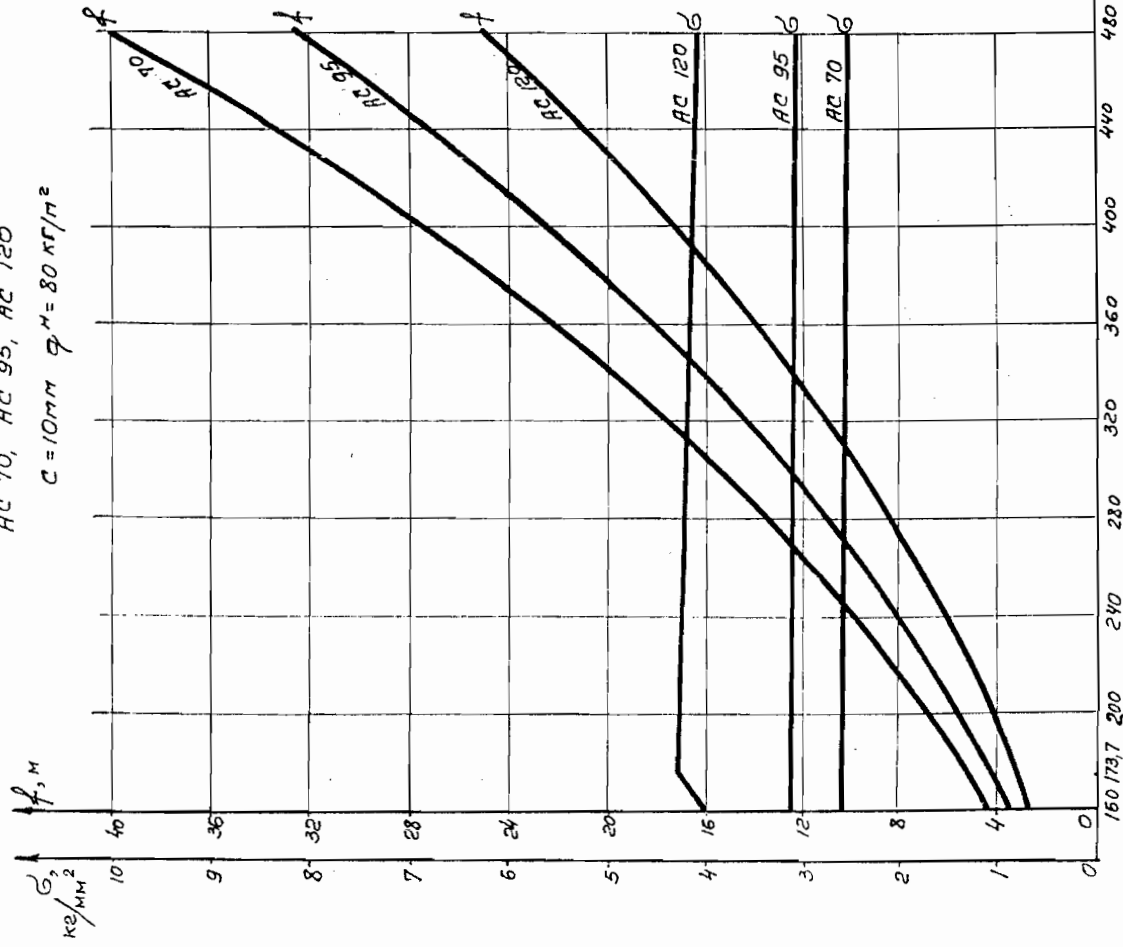
$$\begin{aligned} AC \cdot 70 &\text{ на } 55 \div 75 \text{ см} \\ AC \cdot 95 &\text{ на } 65 \div 85 \text{ см} \\ AC \cdot 120 &\text{ на } 66 \div 98 \text{ см} \end{aligned}$$

Справка за балансироане напрежениий в струи: праобра

праободиб при  $t = +40^{\circ}\text{C}$  от пролета.

AC 70, AC 95, AC 120

$$C = 10 \text{ м} \quad f^M = 80 \text{ кг/м}^2$$



Порода праобода	Гримитунический праопст,		
	$C_1$	$C_2$	$C_3$
AC 70	240,8	104,9	73,5
AC 95	240,8	131,7	106,7
AC 120	251,2	173,7	148,5

Стрела праобода при гололеде  
меньше, чем при такомаль-  
ной температуре, для  
праободов:

для AC - 70 на 16 ± 21 см

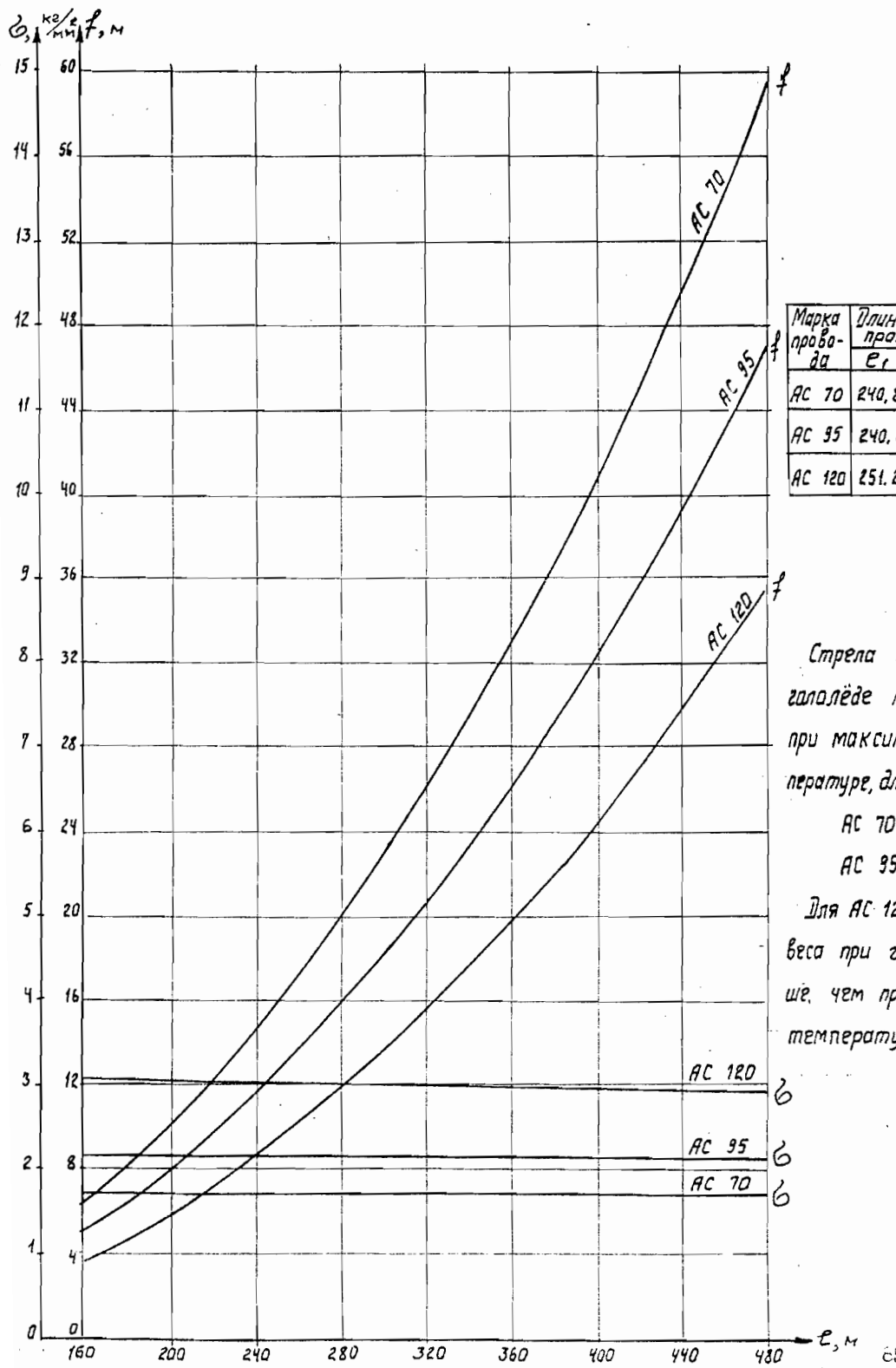
" AC - 95 " 21 ± 29 см

" AC - 120 " 12 ± 23 см

см

График зависимости напряжений в стреле провеса проводов при  $t = +40^\circ\text{C}$  от пролёта.

AC 70, AC 95, AC 120,  $C=15\text{мм}^2$ ,  $\gamma=80\text{кН/м}^2$



Марка провода	Длина критического пролета, м		
	$E_1$	$E_2$	$E_3$
AC 70	240,8	69,6	50,7
AC 95	240,8	88,6	65,4
AC 120	251,2	118,1	94,9

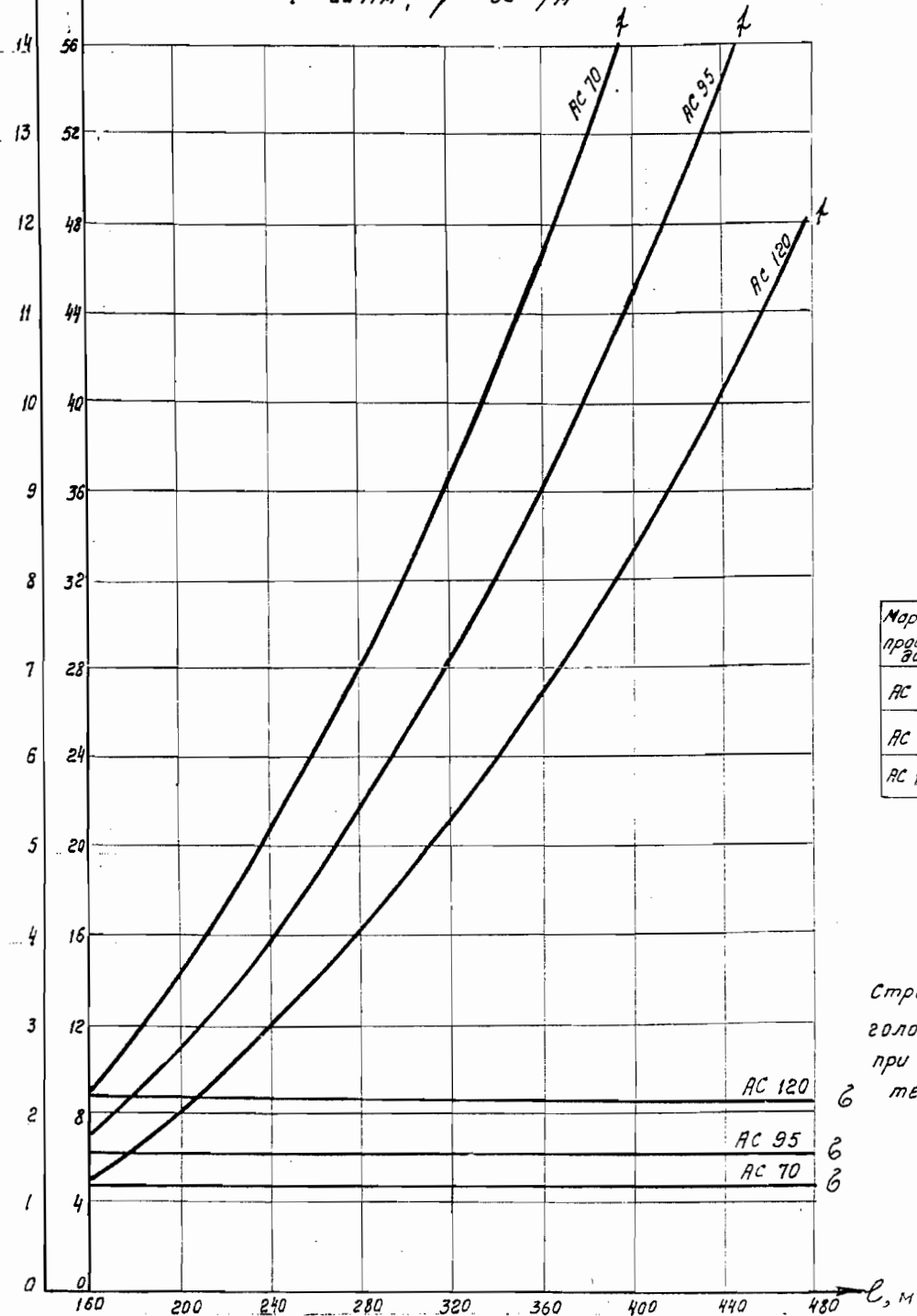
Стрела провеса при гололёде меньше, чем при максимальной температуре, для проводов:

AC 70 на  $1 \div 2\text{ см}$

AC 95 "  $2 \div 5\text{ см}$ .

Для AC 120 стрела провеса при гололёде больше, чем при максимальной температуре на  $5 \div 10\text{ см}$ .

График зависимости напряжения и стрелы пролета проводов при  $t = +40^\circ\text{C}$  от пролета  
 AC 70; AC 95; AC 120  
 $r = 20 \text{ мм}; g^H = 80 \text{ кг/м}^2$



Стрела провеса при гололеде больше, чем при макс.

6 темп-ре для проводов  
 AC 70 на 4÷5 см  
 AC 95 .. 3÷4 см  
 AC 120 .. 15÷17 см.

График зависимости напряжений и стрел  
погрешности проводов при  $t = +40^\circ\text{C}$  и гололеде от проекта

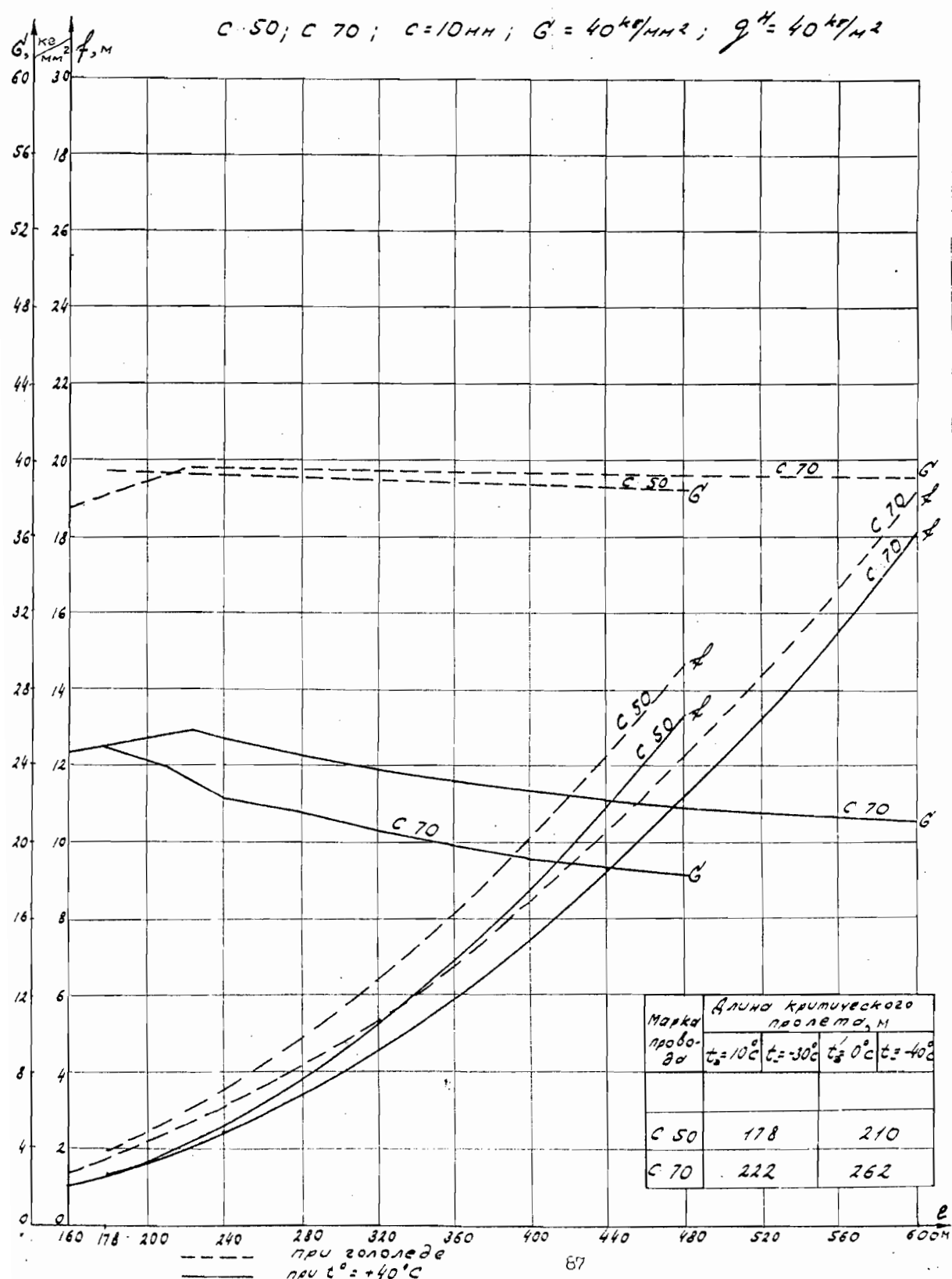
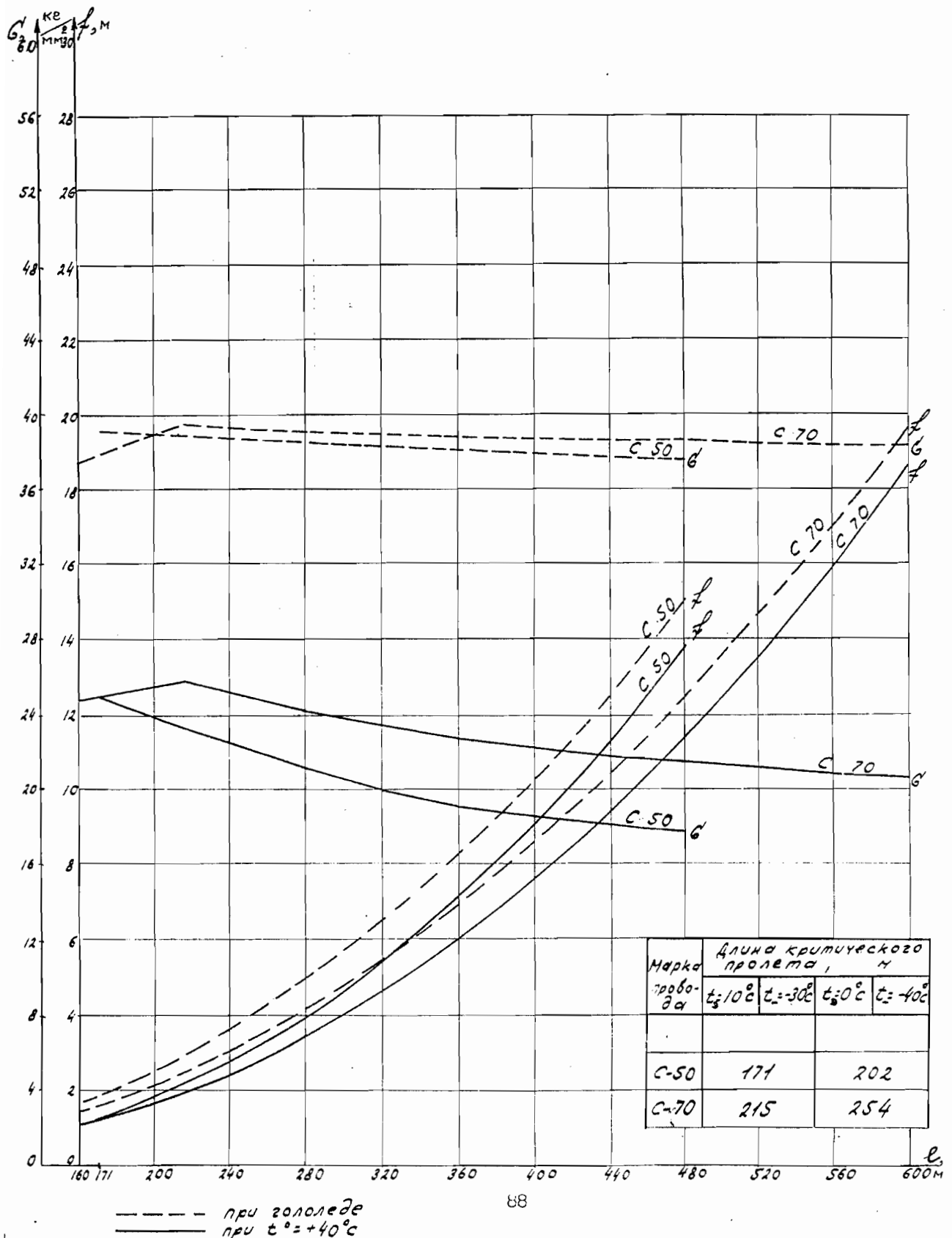
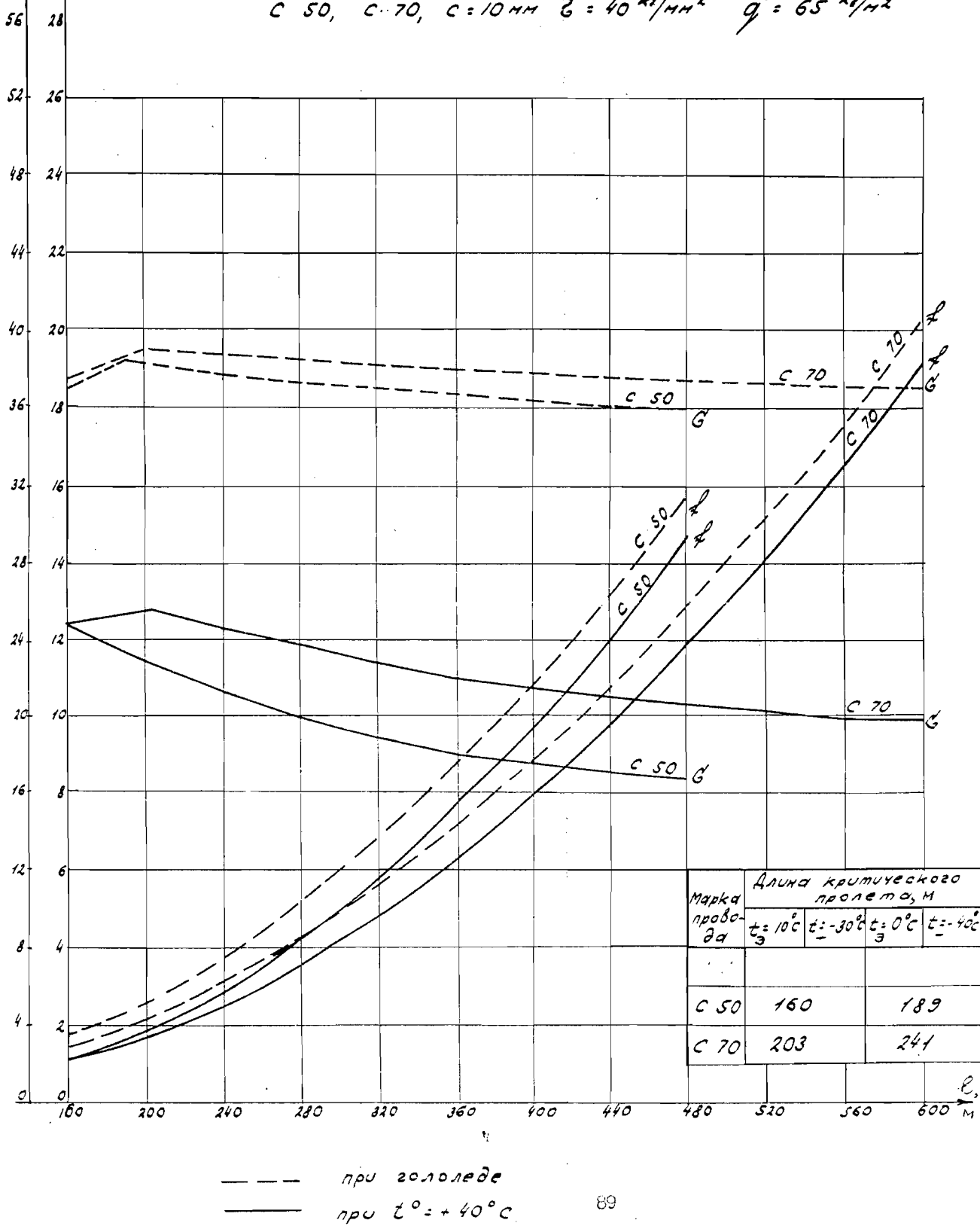


График зависимости напряжения и стрелы провеса при  $t = +40^\circ\text{C}$  и гололеде от пролета  
 $C=50, C=70, C=10 \text{ мм} G' = 40 \text{ кг/мм}^2; g'' = 50 \text{ кг/м}^2$



$G$ ,  $\frac{\text{кг}}{\text{мм}^2}$

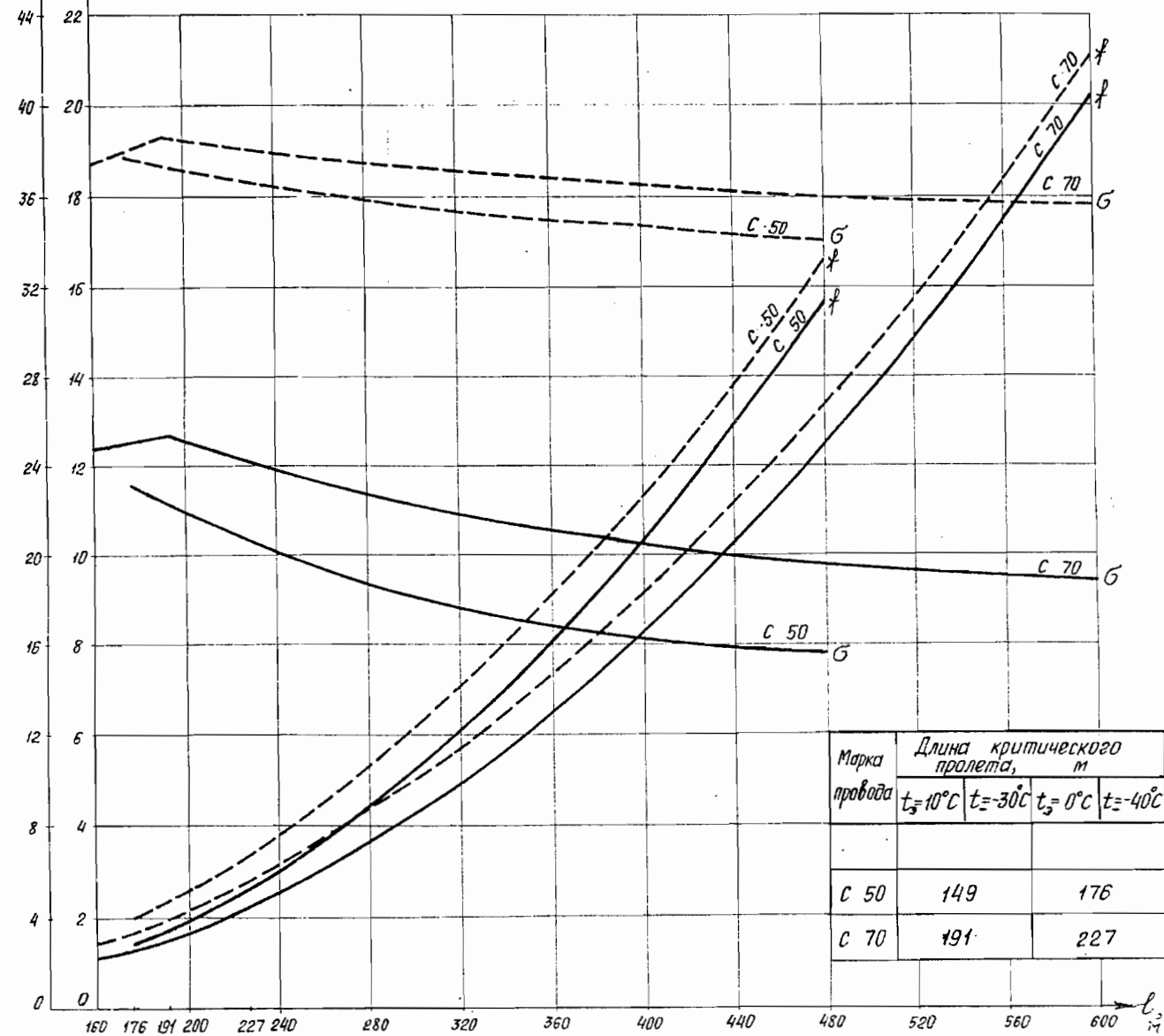
График зависимости напряжений в спресс  
проводов при  $t = +40^\circ\text{C}$  и галогене от пролета  
 $C 50, C 70, C = 10 \text{ мм } G = 40 \frac{\text{кг}}{\text{мм}^2} \quad g'' = 65 \frac{\text{кг}}{\text{мм}^2}$



$G, \text{кг/м}^2$

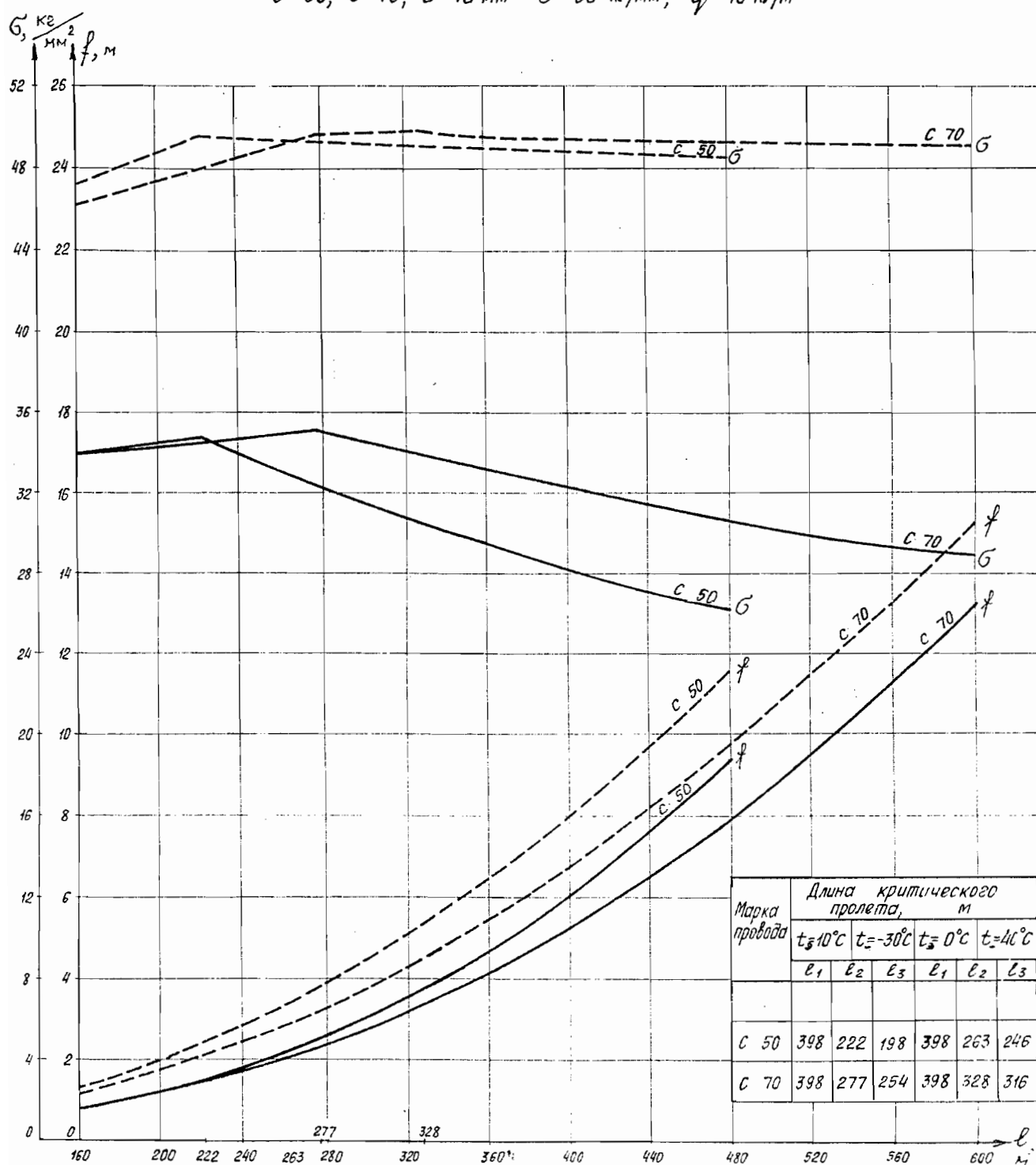
56  
52  
48  
44  
40  
36  
32  
28  
24  
20  
16  
12  
8  
4  
0

График зависимости напряжений и стрел. провеса  
проводов при  $t = +40^\circ\text{C}$  и гололёде от пролёта.  
 $C=50, C=70, C=10 \text{ мм}, G=40 \text{ кг/мм}^2, q^H=80 \text{ кг/м}^2$



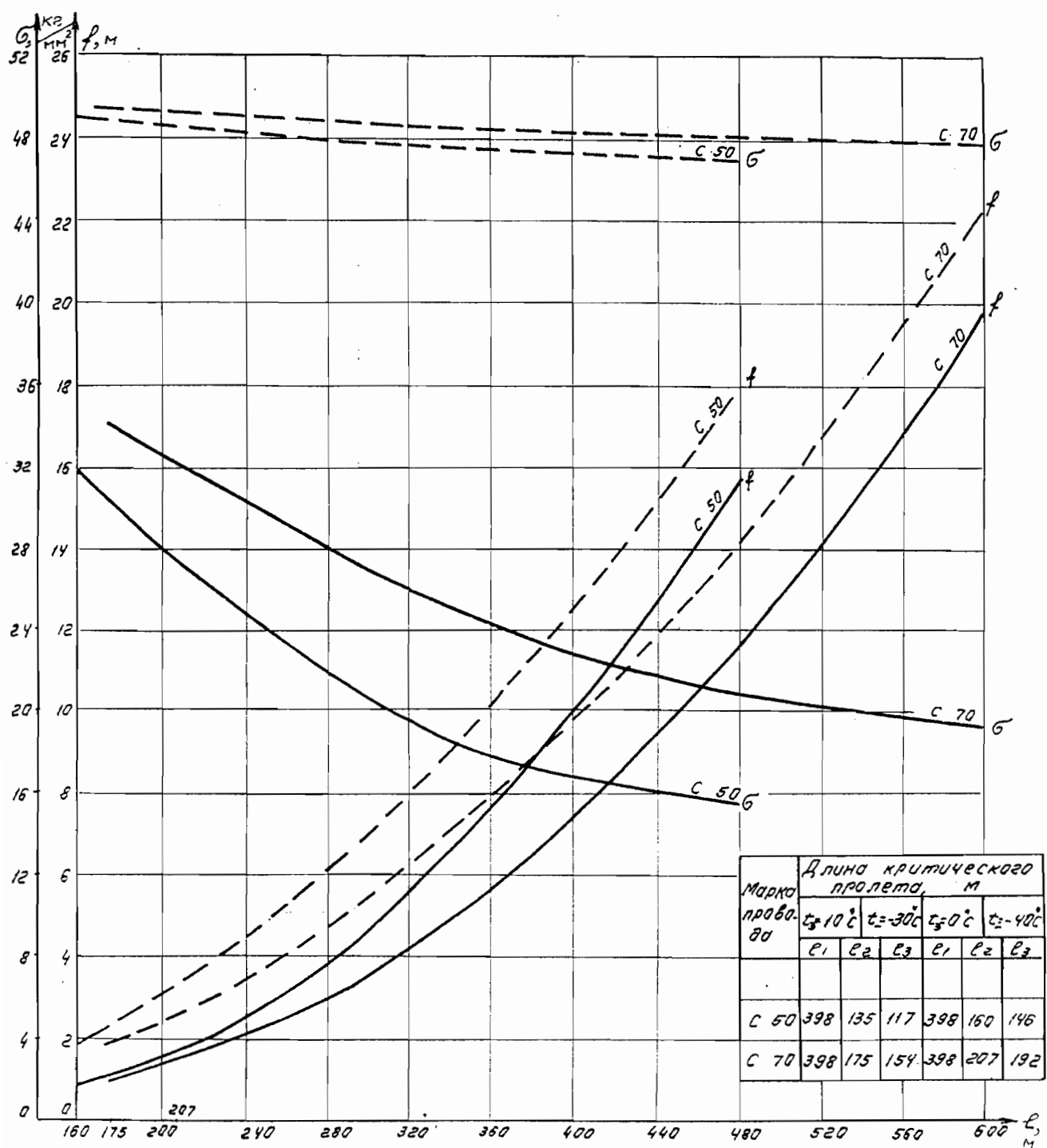
— При гололёде  
— При  $t = +40^\circ\text{C}$

График зависимости напряжений и стрелы провеса  
проводов при  $t = +40^\circ\text{C}$  и гололеде от пролёта  
 $C = 50, C = 70, \sigma = 10 \text{ мм}, G = 50 \text{ кг/мм}^2, q = 40 \text{ кг/м}^2$



— при гололеде  
— при  $t = +40^\circ\text{C}$

График зависимости напряжения и стрелы прогиба  
пробоффов при  $t = +40^\circ\text{C}$  и гололеде от пробоффа  
 $C 50$ ,  $C 70$ ,  $C = 15 \text{ мм}$ ,  $G = 50 \text{ кг/мм}^2$ ,  $g'' = 40 \text{ кг/м}^2$



— — — при гололеде.

— при  $t = +40^\circ\text{C}$

График зависимости напряжения и отрел провеса  
проводов при  $t=+40^{\circ}\text{C}$  и гипотолёде от пролёта  
 $C\cdot 50$ ,  $C\cdot 70$ ,  $C=20 \text{ мм}$ ,  $G=50 \text{ кг}/\text{мм}^2$ ,  $q''=40 \text{ кг}/\text{м}^2$ ,  $q'''=50 \text{ кг}/\text{м}^2$ .

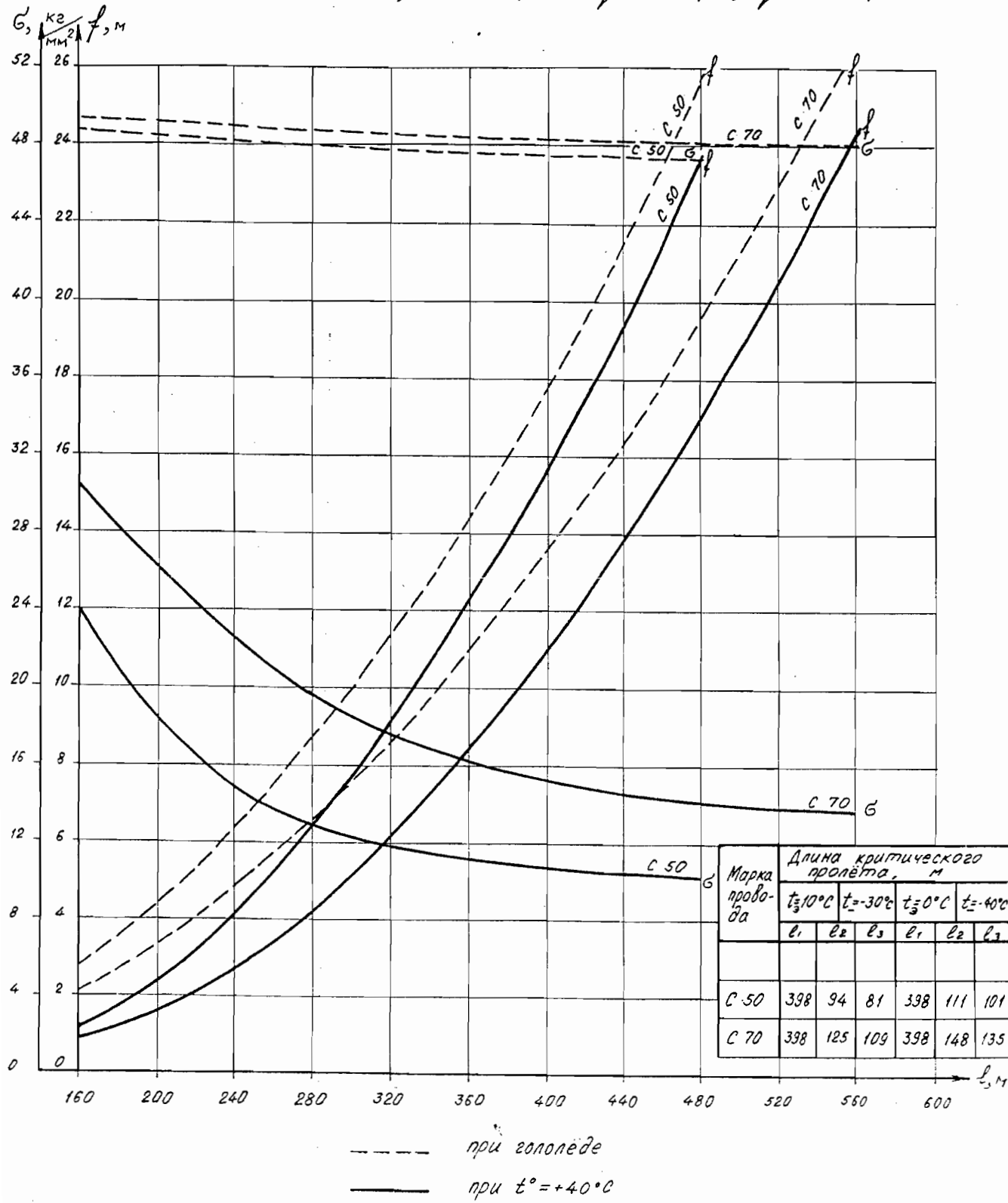


График зависимости напряжений в стреле провода  
при  $t = +40^\circ\text{C}$  и гололеде от пролёта  
 $C 50, C 70, C=10 \text{ мм}, G=50 \text{ кг}/\text{мм}^2, q^H=50 \text{ кг}/\text{м}^2$

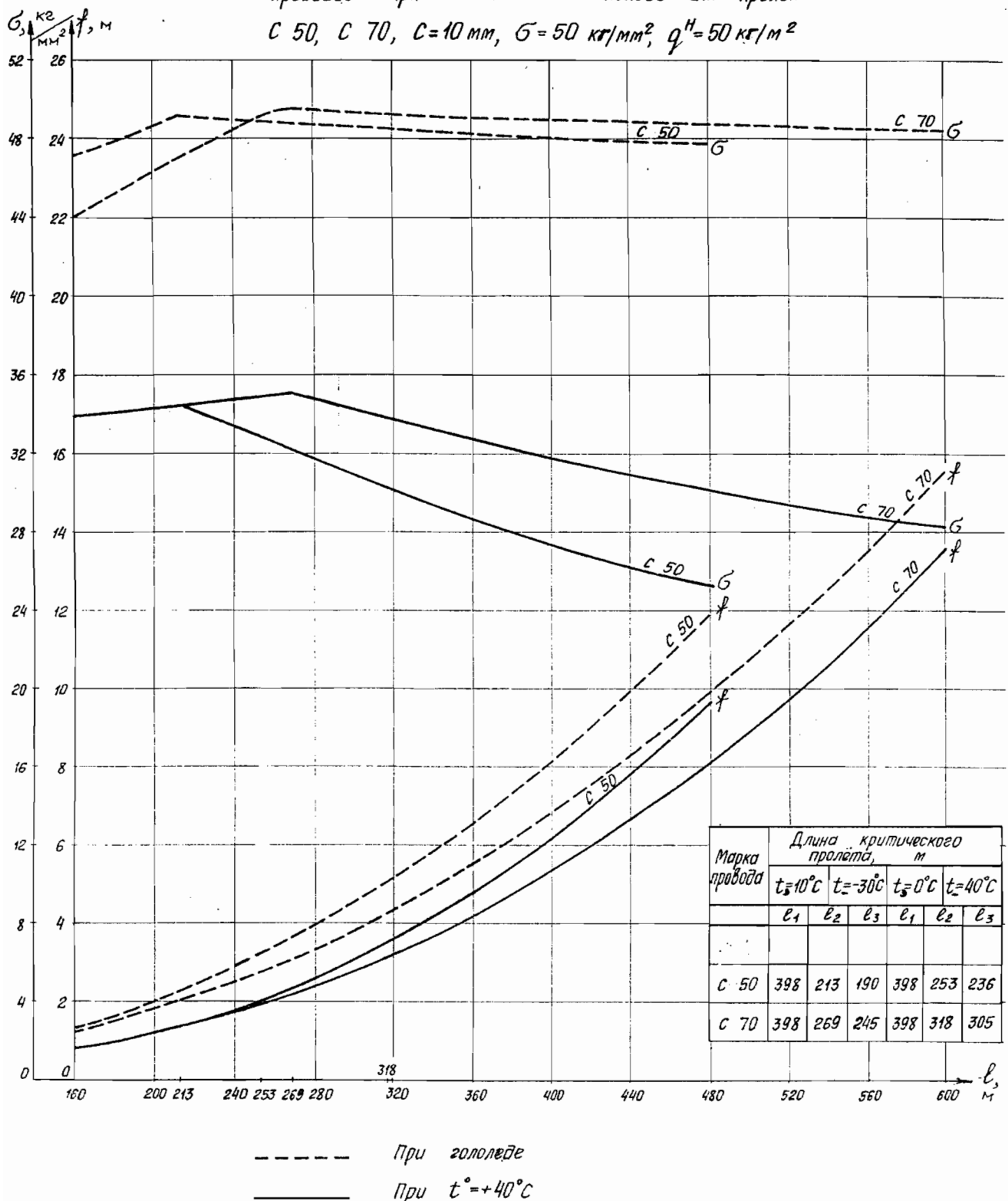
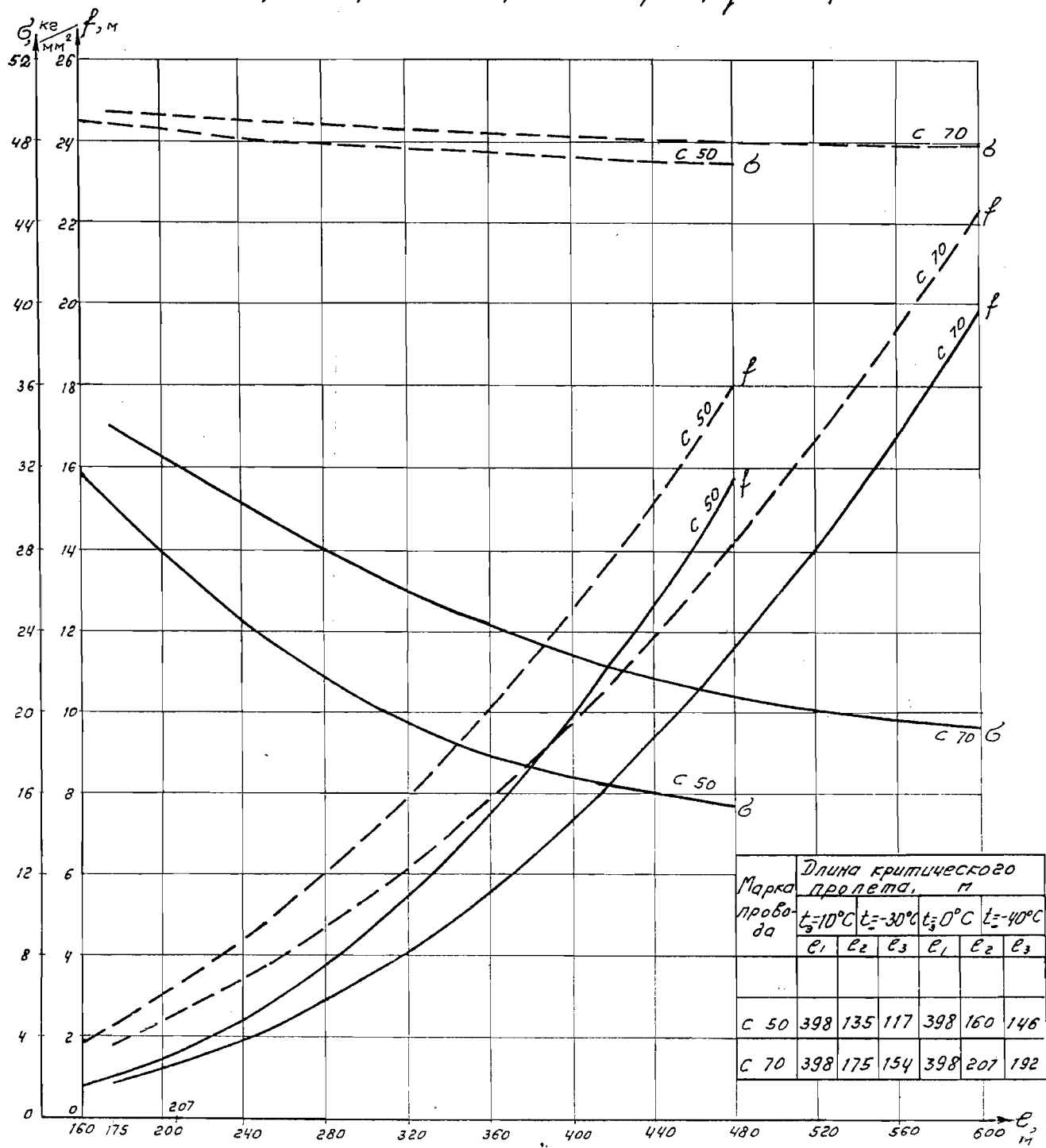


График зависимости напряжений и стрелы  
прогиба проводов при  $t = +40^\circ$  и гололеде от провода  
 $C\ 50, C\ 70, C = 15\text{ mm}, \delta = 50\text{ кг}/\text{мм}^2, q'' = 50\text{ кг}/\text{м}^2$



— — — При гололеде  
— — При  $t = +40^\circ\text{C}$

График зависимости напряжения и стрелы провеса  
проводов при  $t = +40^\circ\text{C}$  и гололеде от пролета

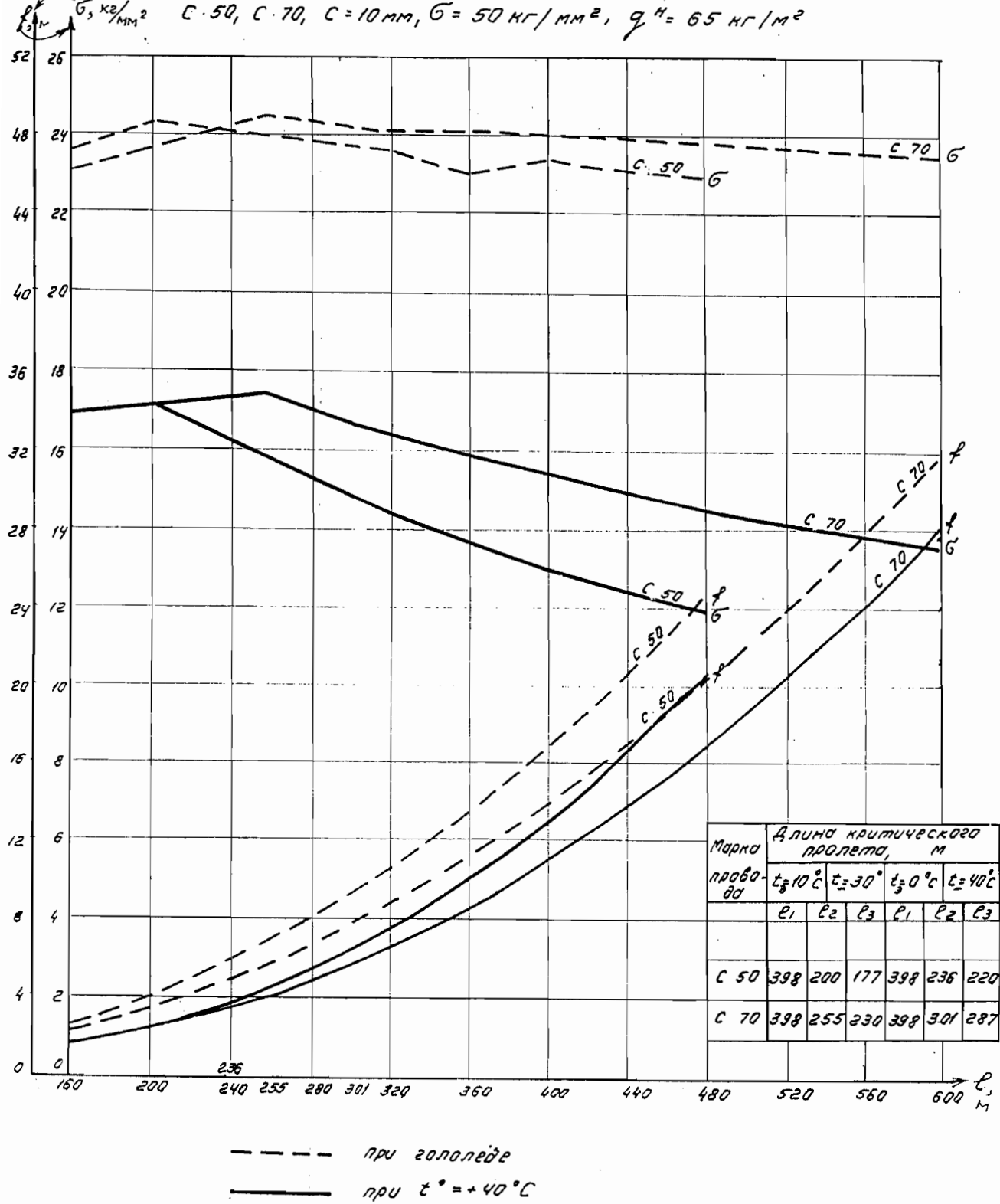


График зависимости напряжения и стрелы провеса проводов при  $t^o = +40^{\circ}\text{C}$  и гололеде от пролета  
 $C\ 50, C\ 70, C = 15\text{мм}, \sigma = 50\text{ кг}/\text{мм}^2, q^H = 65\text{ кг}/\text{м}^2$

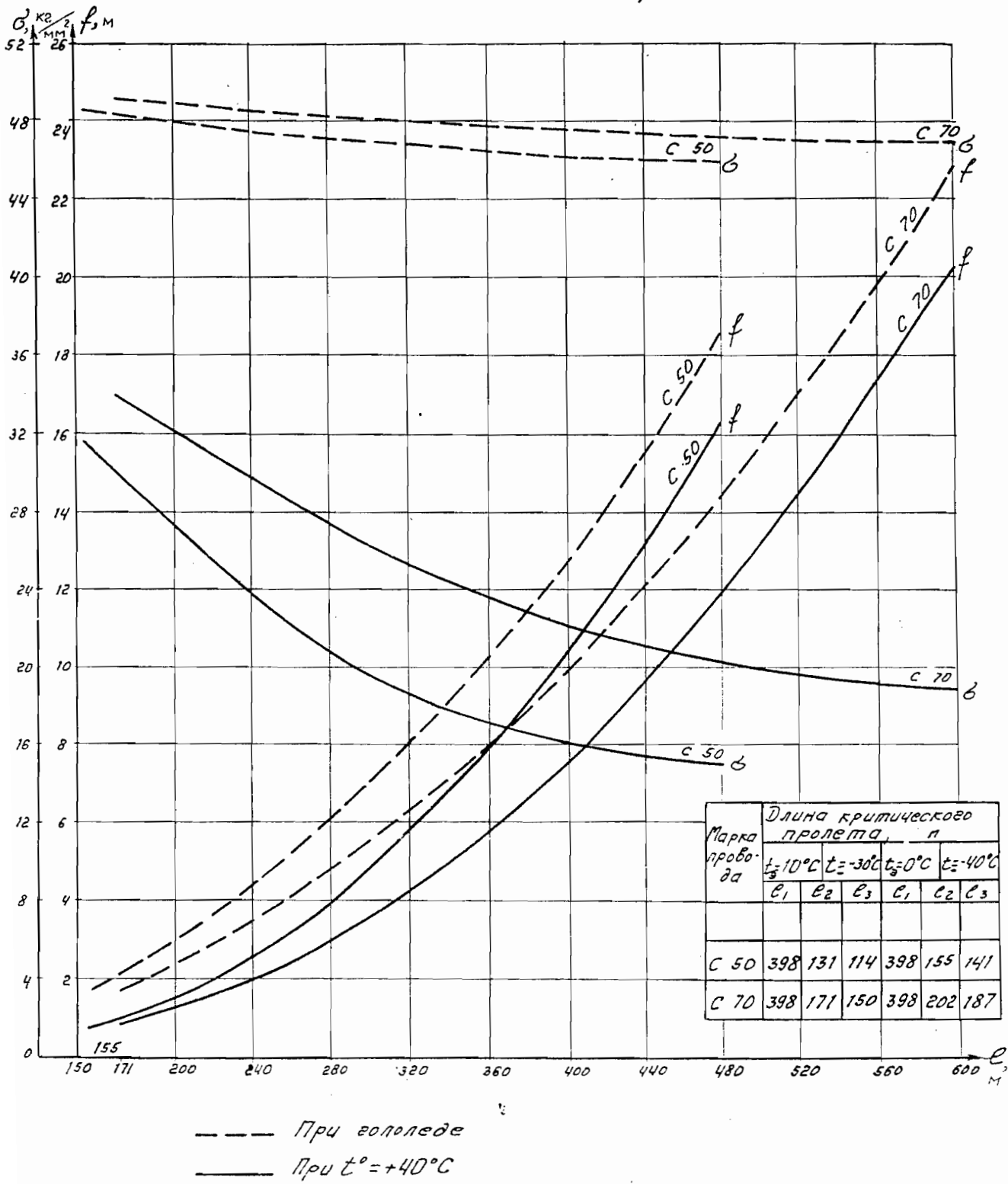


График зависимости напряжений в стrelе провеса  
проводов при  $t=+40^{\circ}\text{C}$  и гололёде от пролёта  
 $C\cdot 50$ ,  $C\cdot 70$ ,  $C=20\text{мм}$ ,  $\sigma=50\text{ кг}/\text{мм}^2$ ,  $q''=65\text{ кг}/\text{м}^2$

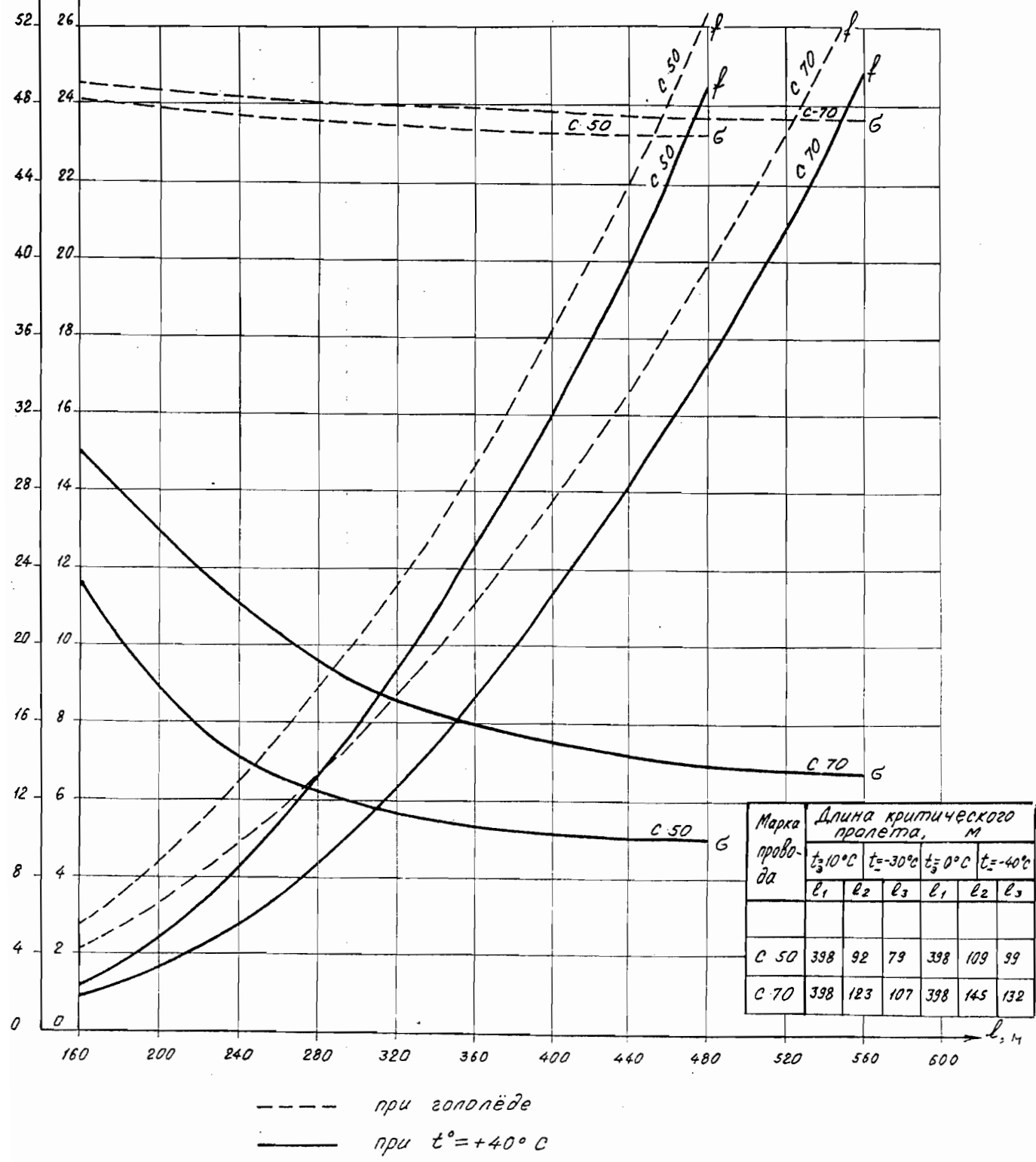


График зависимости напряжений и стрелы прогиба пролета при  $t^{\circ} = +40^{\circ}\text{C}$  и гололеде от пролета

$C \cdot 50, C \cdot 70, C=10\text{мм}, \sigma=50 \text{ кг}/\text{мм}^2, q^M=80 \text{ кг}/\text{м}^2$

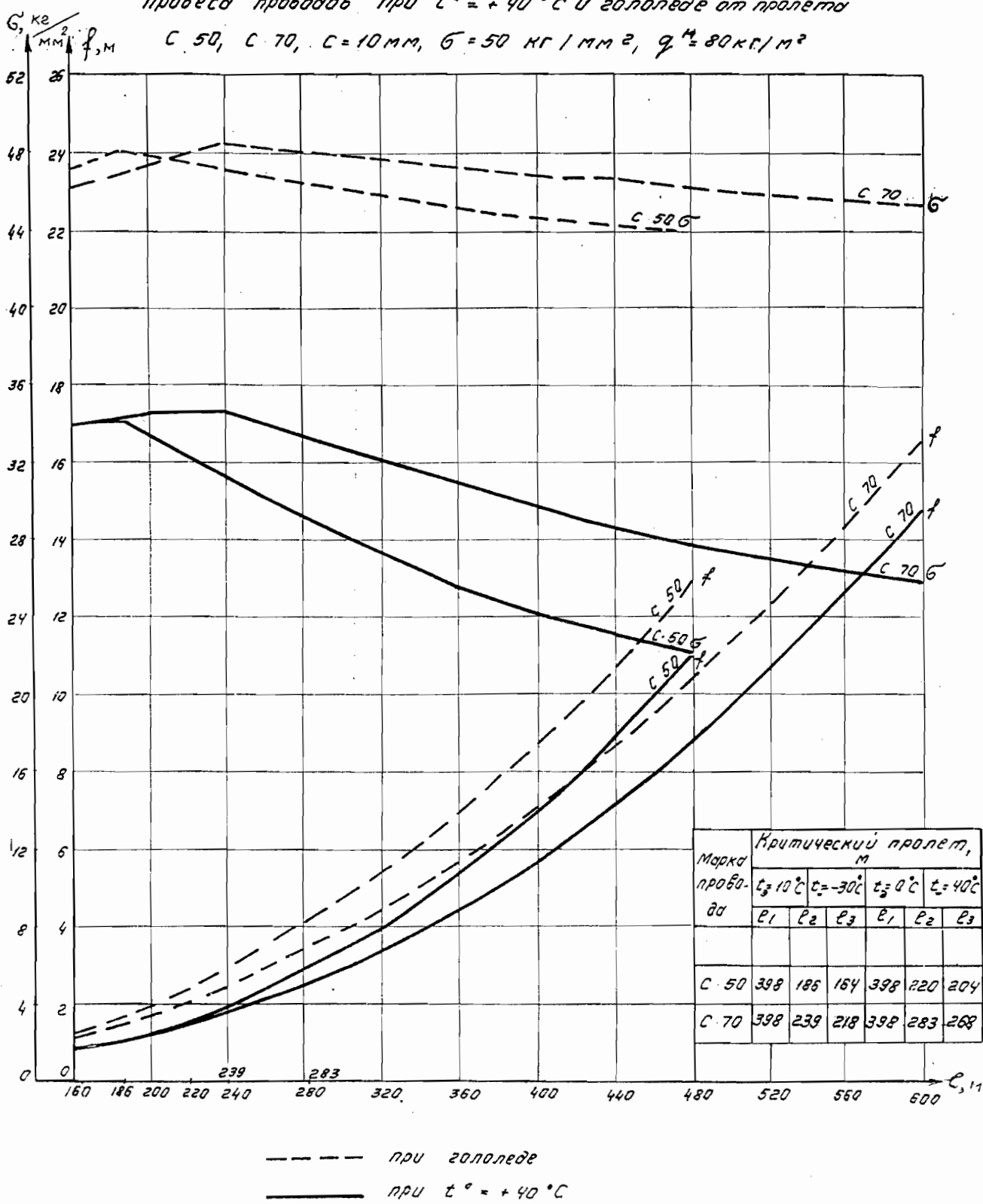


График зависимости напряжений испытаний пробода  
при  $t=+40^{\circ}\text{C}$  и гололеде от пролета  
 $C 50, C 70, C=15\text{мм}, \sigma=50\text{кг/мм}^2, q^H=80\text{кг/м}^2$

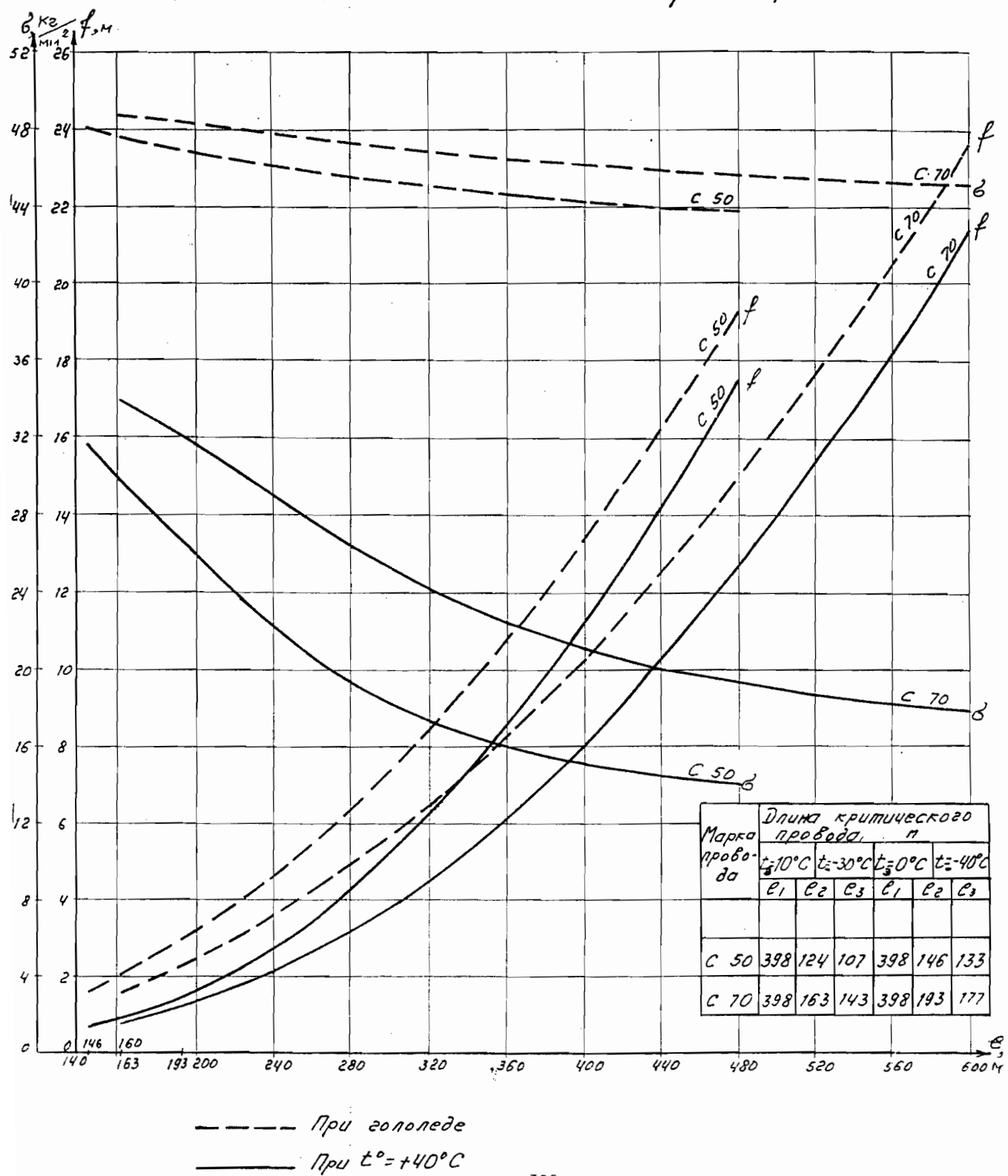


График зависимости напряжений в стrelе пролета  
проводов при  $t=+40^{\circ}\text{C}$  и гололеде от пролета  
 $C = 50, C = 70, c = 20 \text{ мм}, G = 50 \text{ кг/мм}^2, q^H = 80 \text{ кг/м}^2$

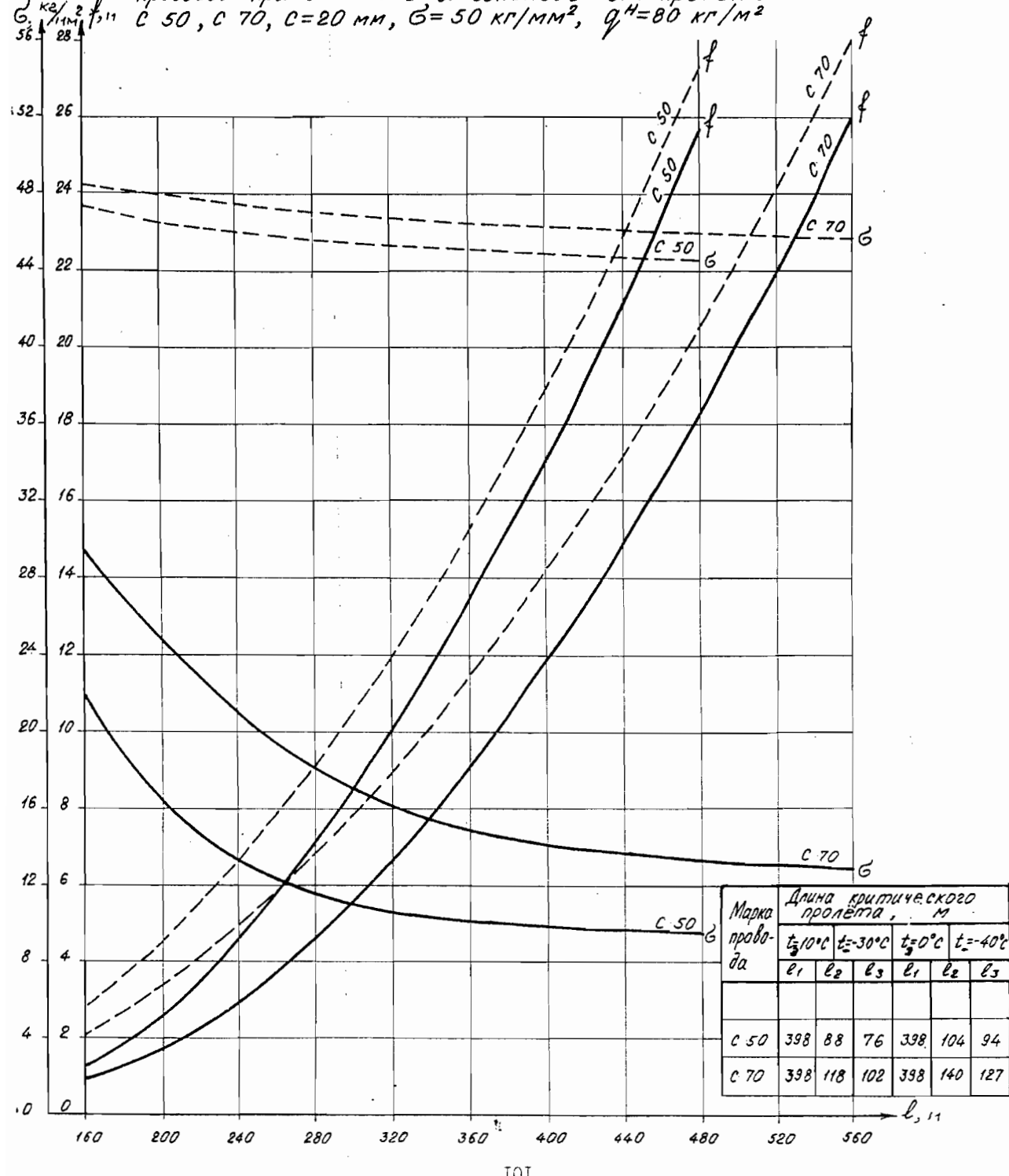


График зависимости напряжений и строев отдельных конструкций паркета ТК от пролета при  $t = +40^{\circ}\text{C}$ .

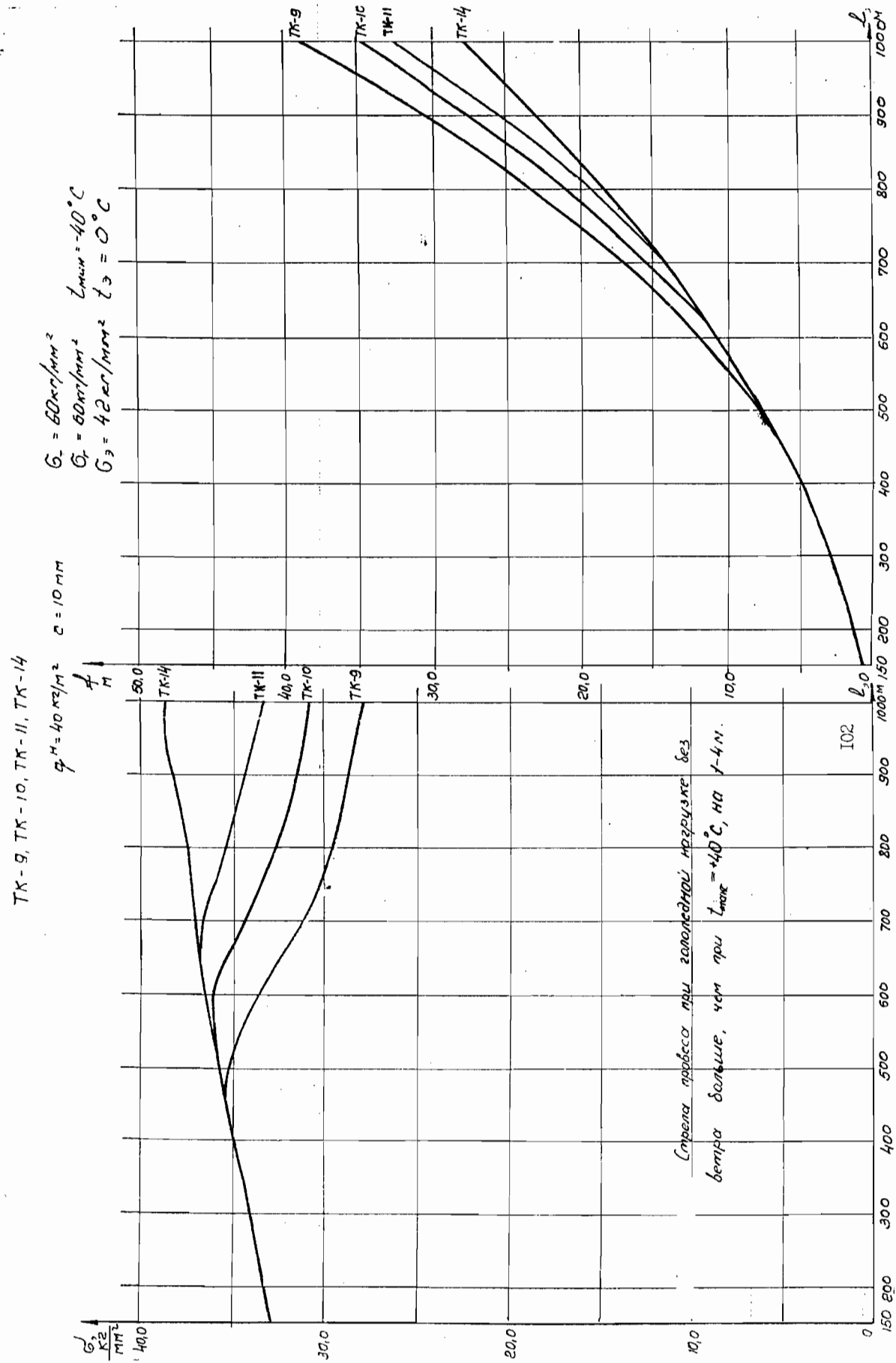


График зависимости напряжения от времени прироста стальных листов ТК от времени при  $t^o = +40^\circ C$

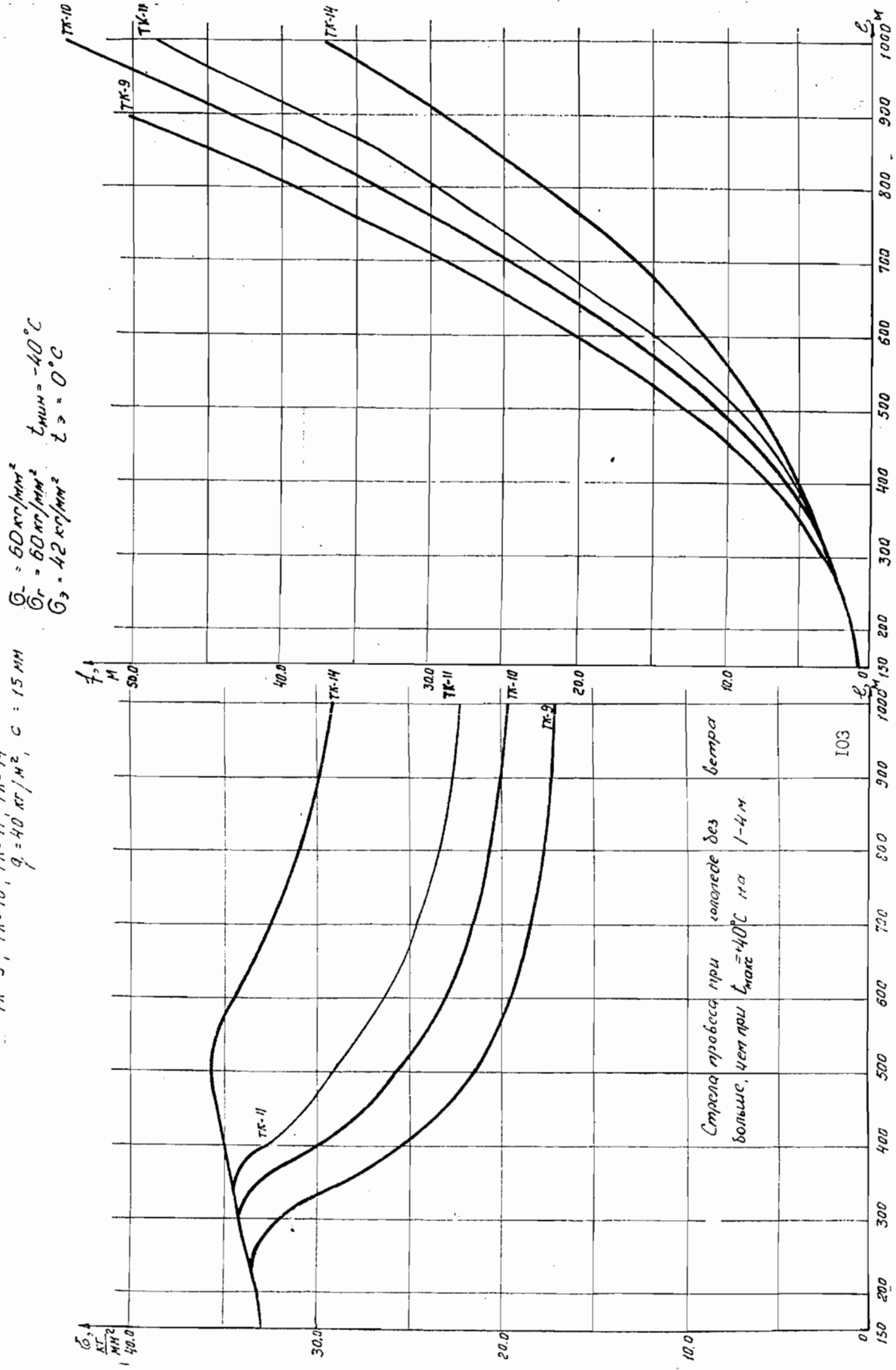


График залежності напруженної стиски приводу каналів ТК від процесу при  $t = +40^{\circ}\text{C}$

TK-9, TK-10, TK-11, TK-14

$$q = 40 \text{ кг/м}^2 \quad C = 20 \text{ НМ} \quad G_r = 60 \text{ кг/мм}^2 \quad t_{\max} = -40^{\circ}\text{C}$$

$$G_s = 42 \text{ кг/мм}^2 \quad t_e = 0^{\circ}\text{C}$$

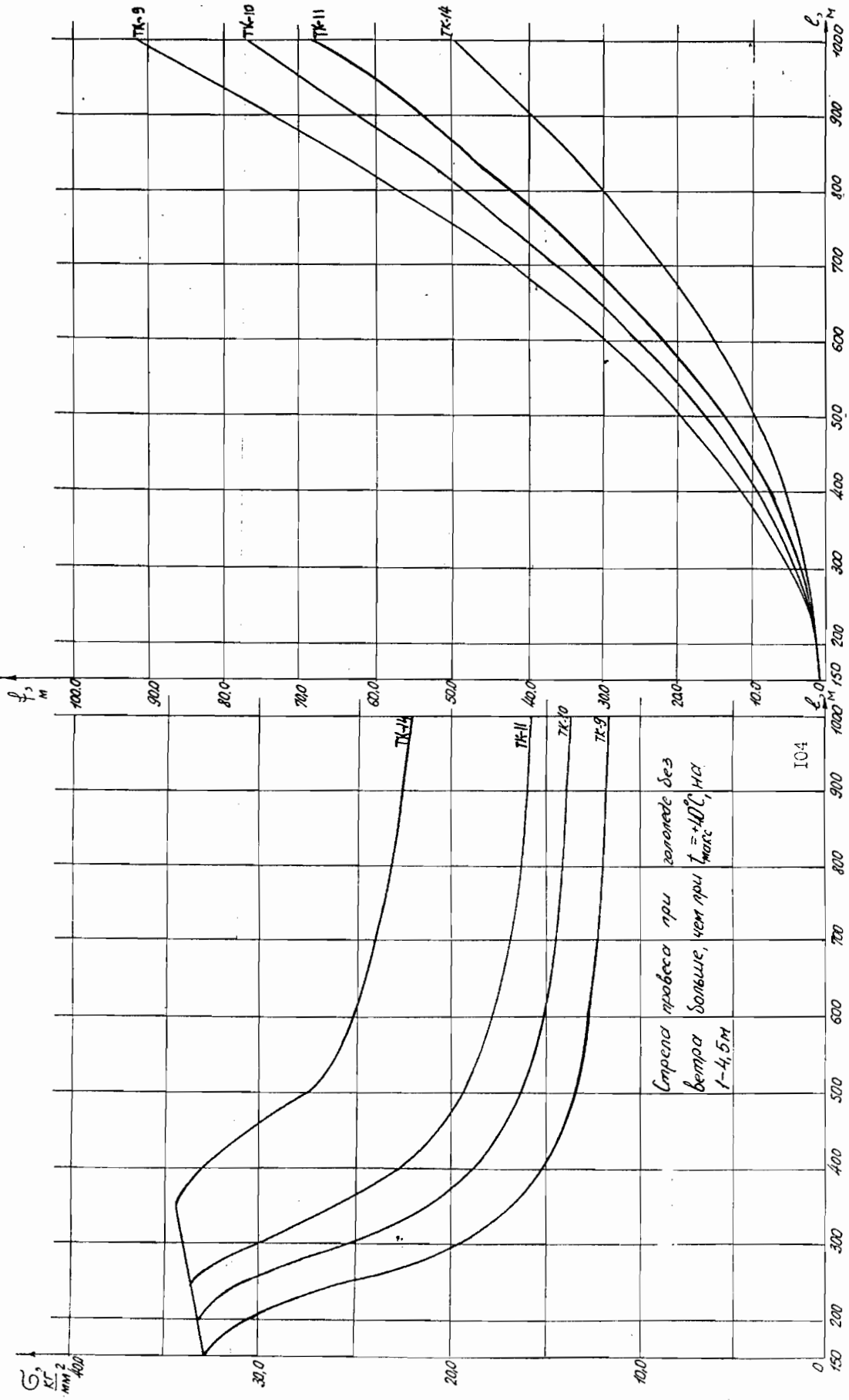


График залывистости напряжения и стрепа при прочности конгломерата  $t = 40^\circ\text{C}$

TK-9; TK-10; TK-11; TK-14; TK-20;  $g_u = 50 \text{ кг}/\text{м}^2$ ,  $C = 15 \text{ мк}$ ,  $G_1 = 60 \text{ кг}/\text{мм}^2$ ,  $t_{\min} = -40^\circ\text{C}$   
 $G_2 = 42 \text{ кг}/\text{мм}^2$ ,  $t_e = 0^\circ\text{C}$

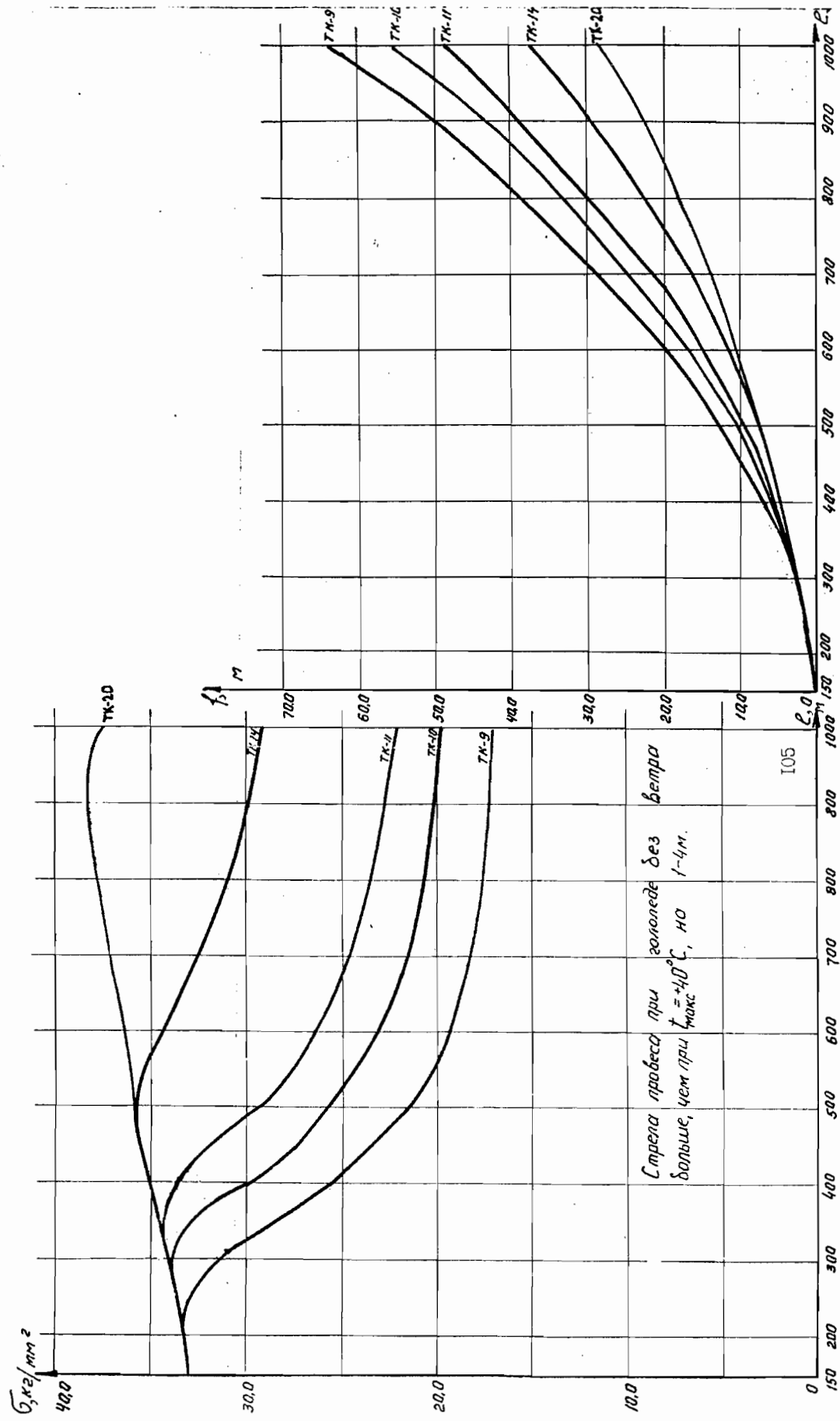


График зависимости напряжений отрыва стальных канатов марки ТК от пролета при  $t = +40^\circ\text{C}$

$\text{TK-20}, \text{TK-9}, \text{TK-10}, \text{TK-11}, \text{TK-14}, \text{TK-H}$ ,  
 $G_r = 60 \text{ кг/мм}^2$ ,  
 $G_s = 42 \text{ кг/мм}^2$ ,  
 $C = 10 \text{ мм}$ ,  
 $\rho' = 50 \text{ кг/м}^2$ ,  
 $t_{\min} = -40^\circ\text{C}$ ,  
 $t_s = 0^\circ\text{C}$

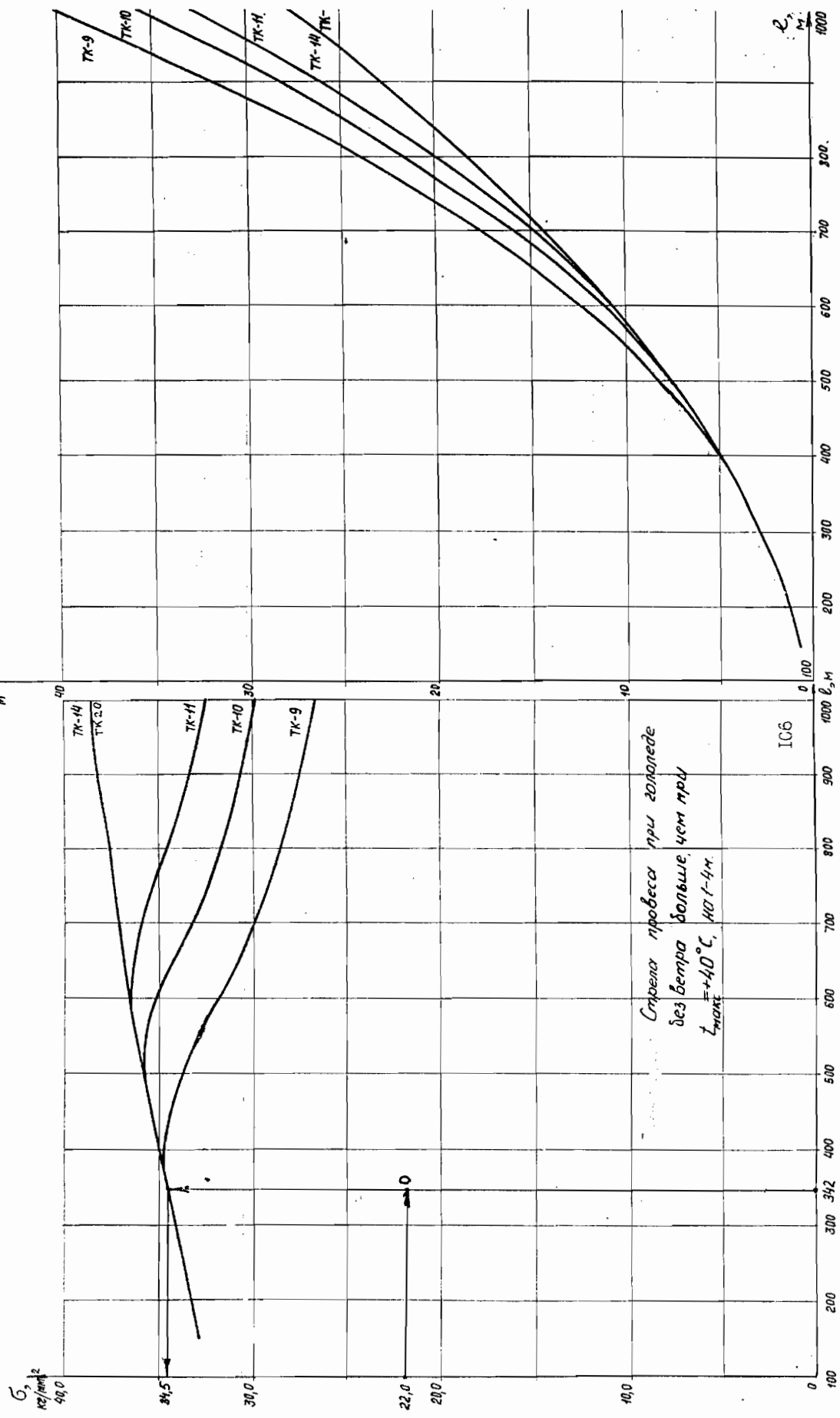


График зависимости напряжений от времени при постоянной температуре  $t = 40^\circ\text{C}$   
 ТК-9, ТК-10, ТК-11, ТК-14, ТК-20.  
 $G_1 = 60 \text{ кг/мм}^2$ ,  $t_{min} = -40^\circ\text{C}$   
 $G_2 = 42 \text{ кг/мм}^2$ ,  $t_3 = 0^\circ\text{C}$   
 $q_H = 50 \text{ кг/м}$ ,  $C = 20 \text{ мм}$

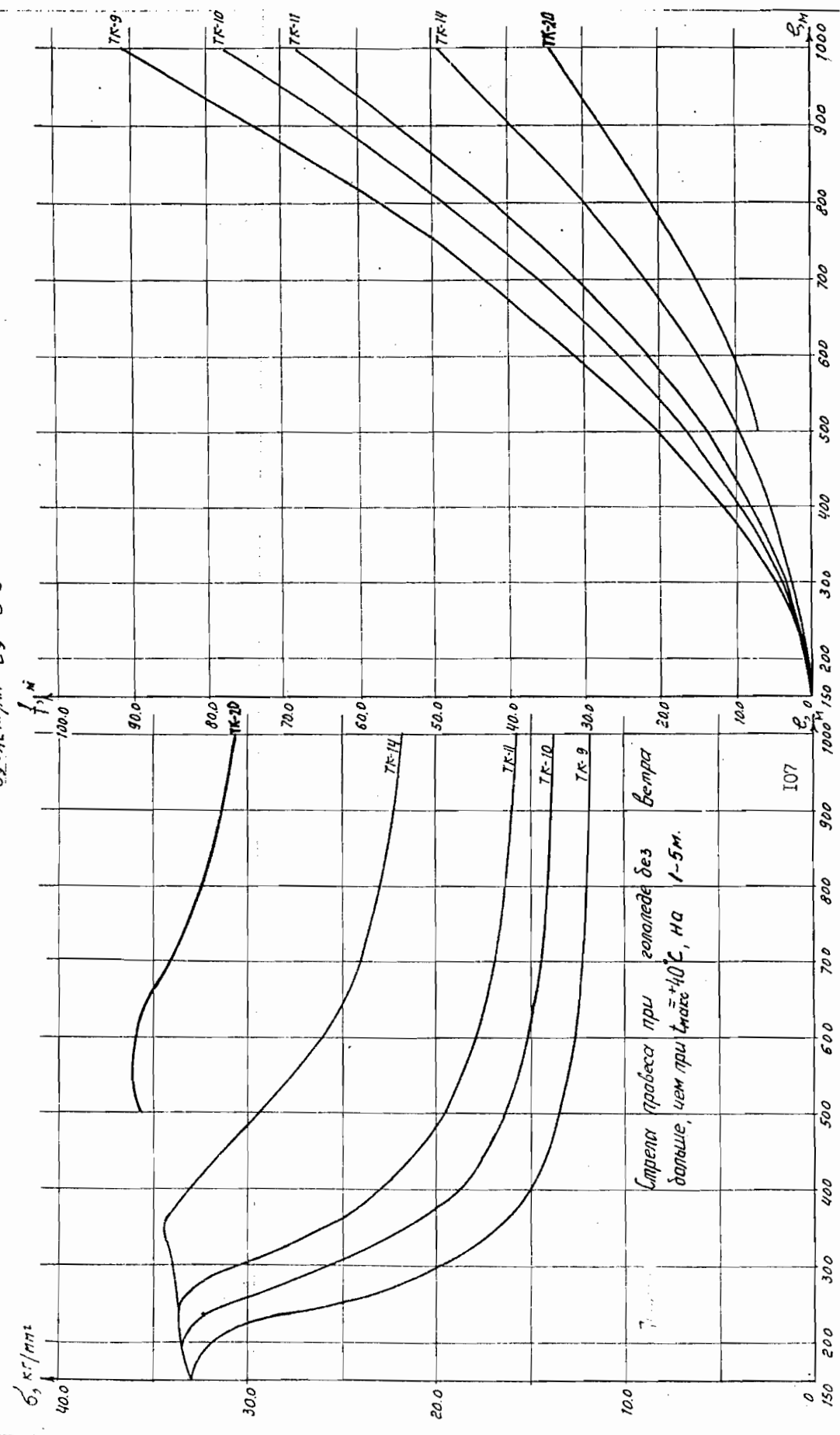


График залежності напружень та струменя процесу стягання від температури при  $t = +40^{\circ}\text{C}$

$$\begin{aligned} & \tau_{\text{TK-9}}, \tau_{\text{TK-10}}, \tau_{\text{TK-14}}, \tau_{\text{TK-20}} \\ & g_r = 65 \text{ кН}/\text{м}^2; C = 10 \text{ мк} \quad G_r = 60 \text{ кН}/\text{м}^2 \\ & t_{\min} = -40^{\circ}\text{C} \quad t_3 = 0^{\circ}\text{C} \quad G_3 = 42 \text{ кН}/\text{м}^2 \end{aligned}$$

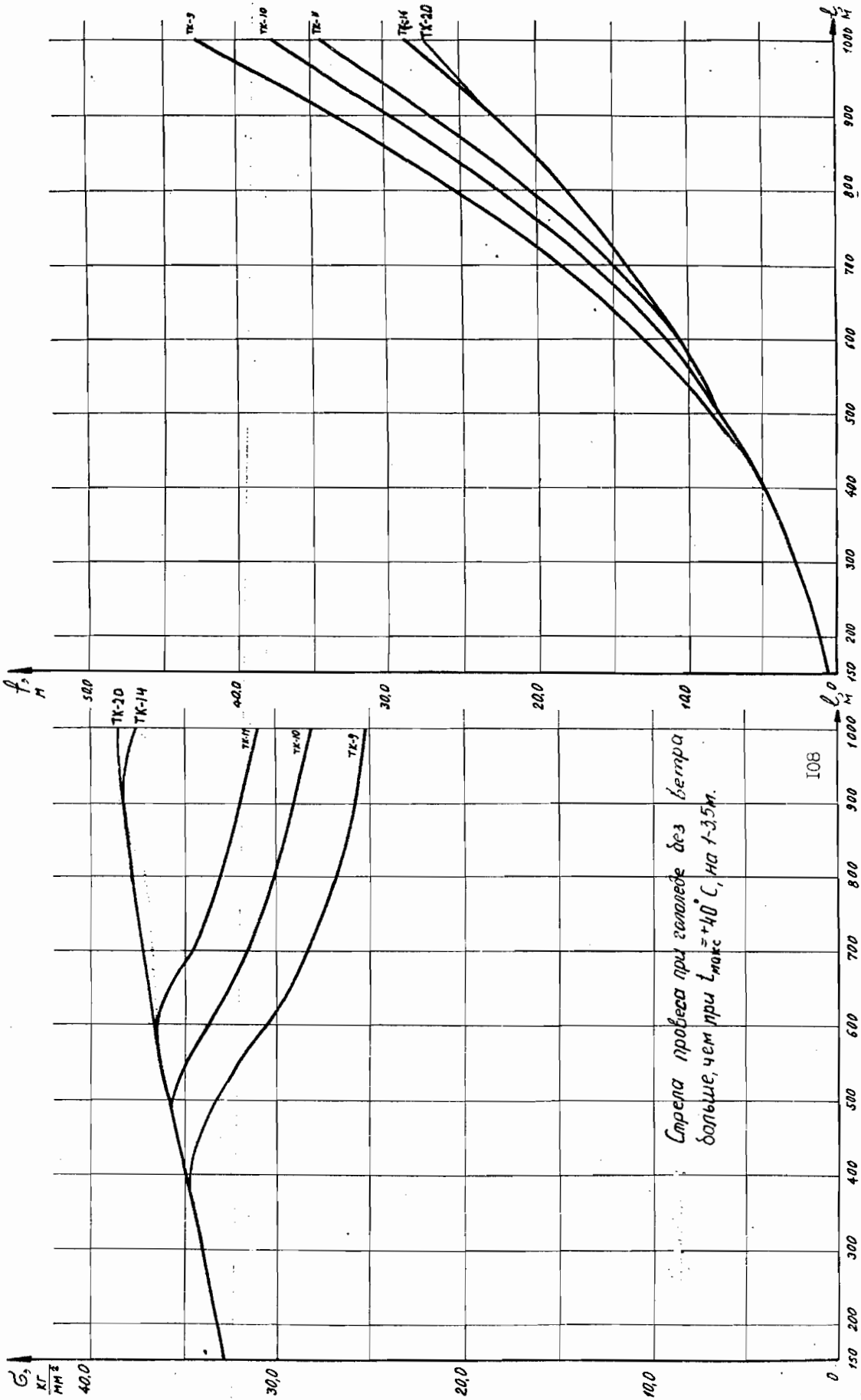
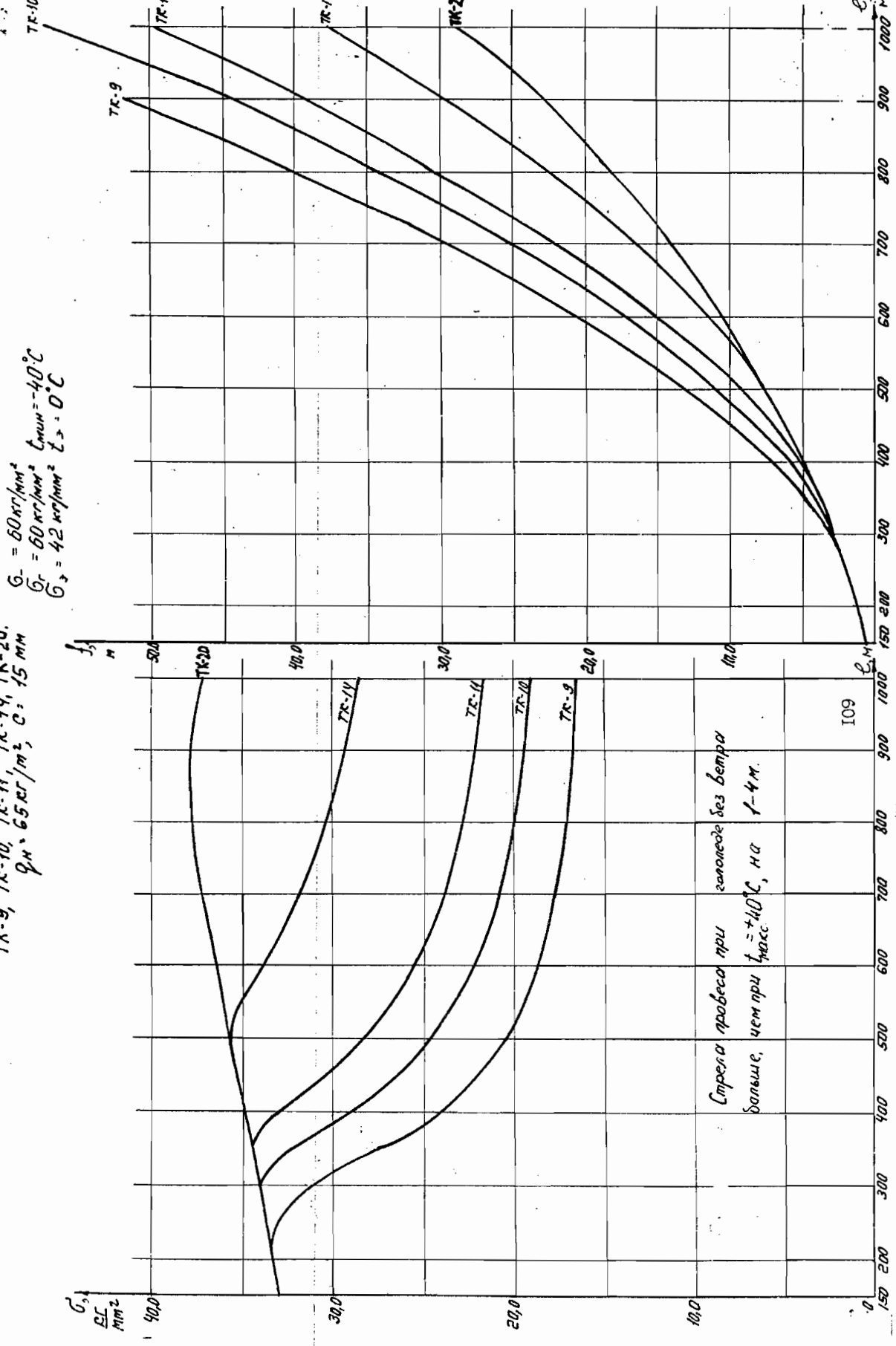
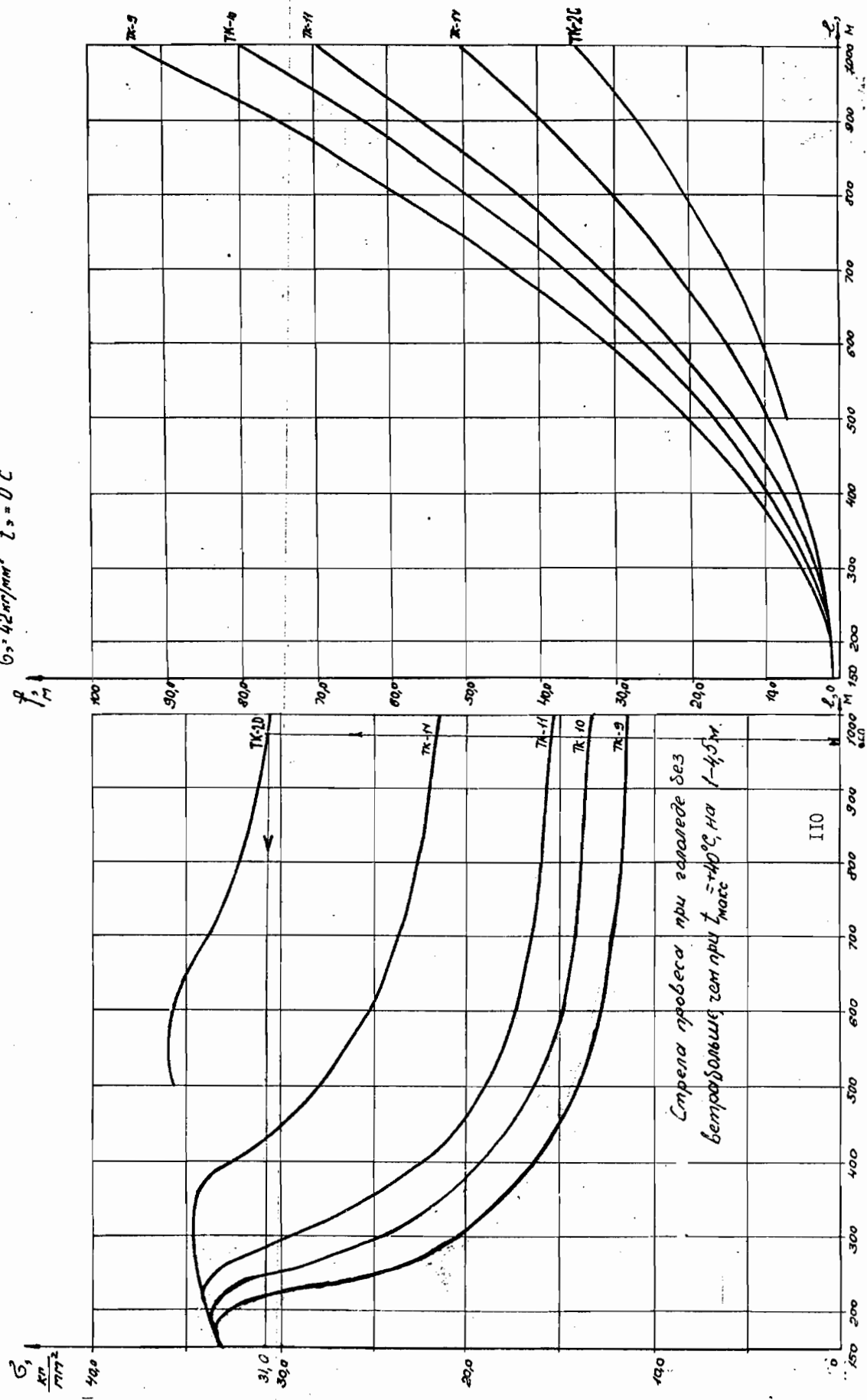


График эластичности напряжений и строев сталью канатов марки ТК от пролета при  $t = +40^\circ\text{C}$



Справка обобщающей о сцепке пробега стальных колес марки ТК от проноса при  $t = +40^{\circ}\text{C}$   
 ТК-9, ТК-10, ТК-11, ТК-12, ТК-13, ТК-20.  
 $\rho_{\text{н}} = 65 \text{ кг}/\text{м}^2$        $C = 20 \text{ кВт}$        $G_0 = 60 \text{ кН}/\text{мм}^2$        $t_{\min} = -40^{\circ}\text{C}$   
 $G_2 = 42 \text{ кН}/\text{мм}^2$        $t_s = 0^{\circ}\text{C}$



2

График зависимости концентрации и строения стальных пакетов пары ТК при полете при  $t = +40^\circ\text{C}$

TK-9, TK-10, TK-11, TK-14, TK-20.  
 $\rho_H = 80 \frac{\text{кг}}{\text{м}^3}, \alpha = 10 \text{ м}^3$   
 $G_1 = 60 \frac{\text{кг/м}^2}{\text{м}^2}, G_2 = 60 \frac{\text{кг/м}^2}{\text{м}^2}, t_{min} = -40^\circ\text{C}$   
 $G_3 = 42 \frac{\text{кг/м}^2}{\text{м}^2}, t_3 = 0^\circ\text{C}$

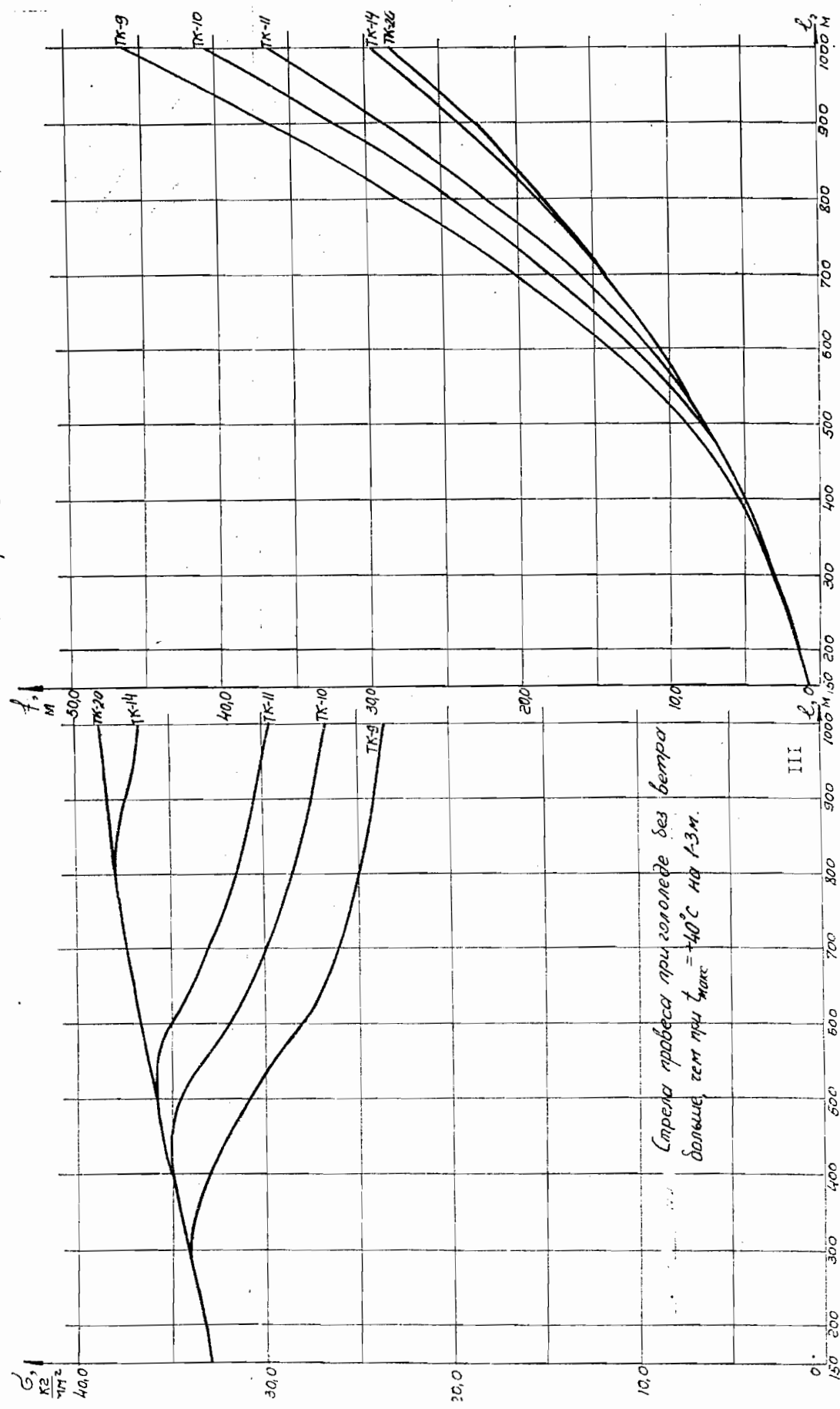


График залежності напруження і стиску при відсутності кінчаток марки ТК від пролета при  $t = +40^{\circ}\text{C}$

$$G_1 = 60 \text{ кг}/\text{мм}^2, G_2 = 60 \text{ кг}/\text{мм}^2, G_3 = 42 \text{ кг}/\text{мм}^2$$

$$q_{\text{н}} = 80 \text{ кг}/\text{м}^2, c = 15 \text{ мм}, t_{\text{ніж}} = -40^{\circ}\text{C}, t_0 = 0^{\circ}\text{C}$$

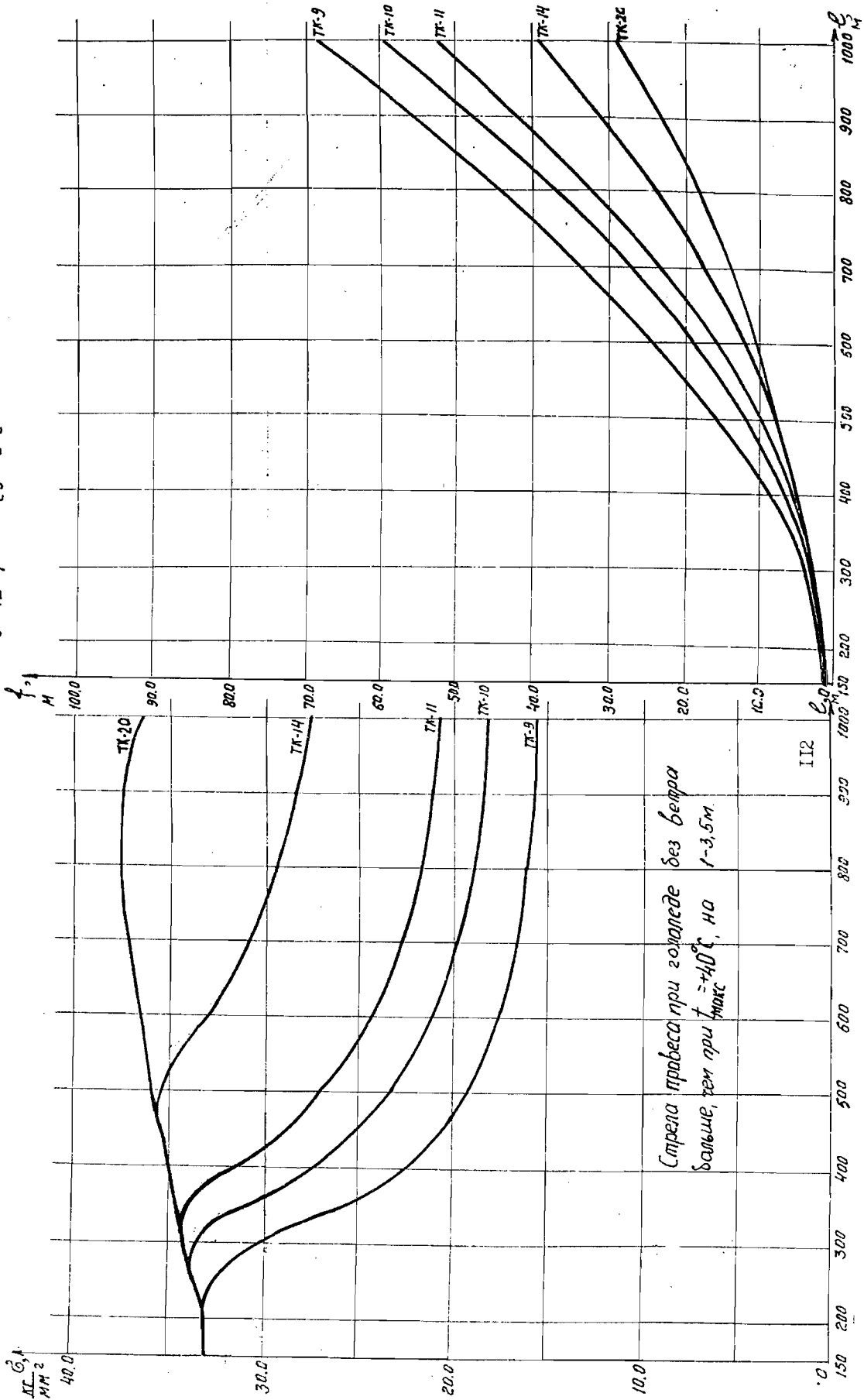


График зависимости напряжения и стрелы провеса стальных сортов марки ТК

от пролета при  $\Sigma = +40^\circ\text{C}$  ТК-9, ТК-10, ТК-11, ТК-14, ТК-20.

$$q_H = 80 \text{ кг/м}^2 \quad C = 20 \text{ мм} \quad G_1 = 60 \text{ кг/мм}^2 \quad t_{min} = -40^\circ\text{C}$$

$$G_2 = 60 \text{ кг/мм}^2 \quad G_3 = 42 \text{ кг/мм}^2 \quad t_0 = 0^\circ\text{C}$$

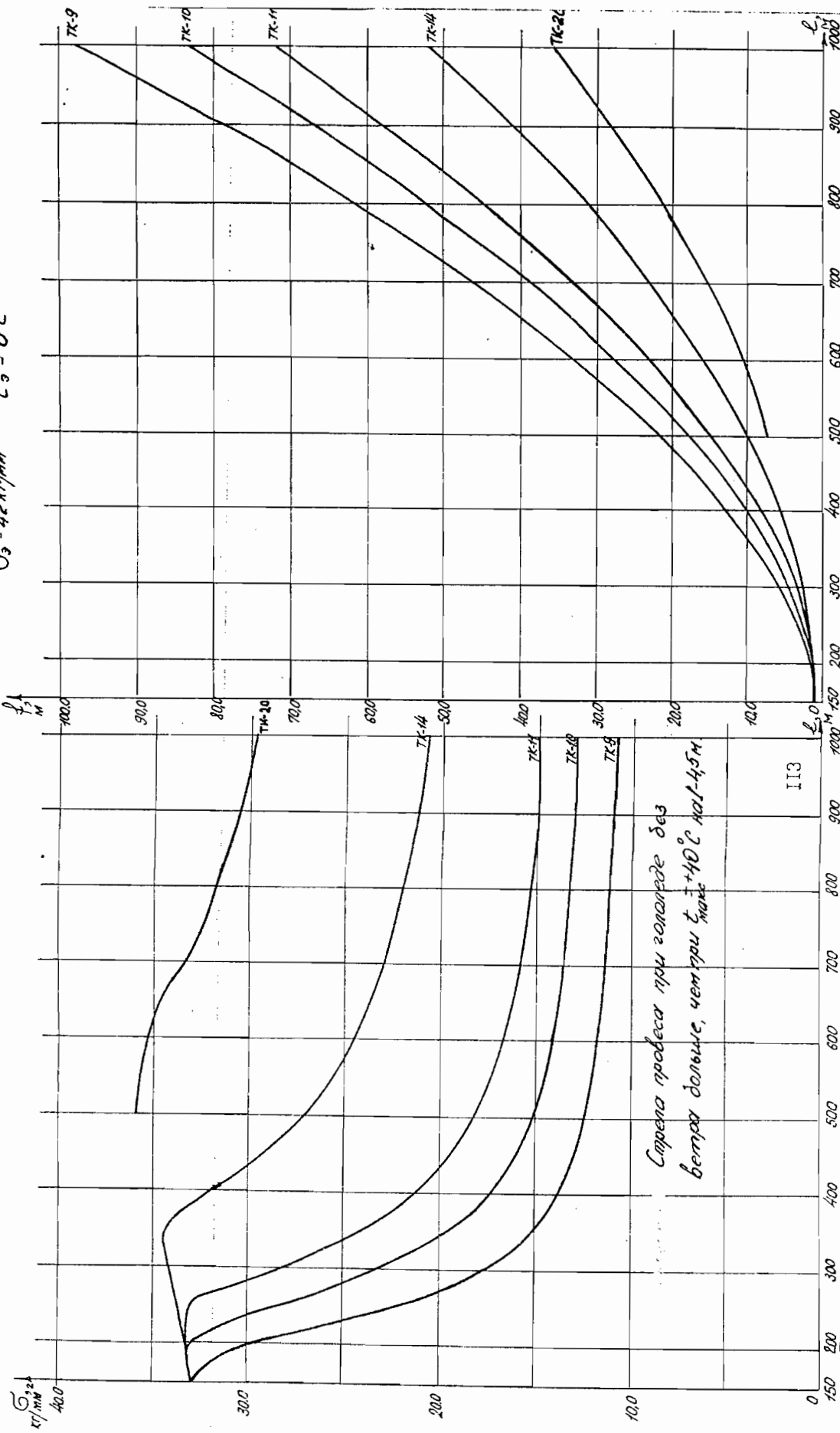


График зависимости напряжений и стрел провеса стальных канатов марки ТК от пролета при  $t = +40^{\circ}\text{C}$   
 TK-20, TK-9, TK-10, TK-11, TK-14  $q_f^H = 100 \text{ кг}/\text{м}^2$ ,  $C = 10 \text{ мм}$

$$\begin{aligned} G_r &= 60 \text{ кг}/\text{мм}^2 \\ G_s &= 60 \text{ кг}/\text{мм}^2 \\ G_d &= 42 \text{ кг}/\text{мм}^2 \quad t_{\min} = -40^{\circ}\text{C} \\ t_{\max} &= 0^{\circ}\text{C} \end{aligned}$$

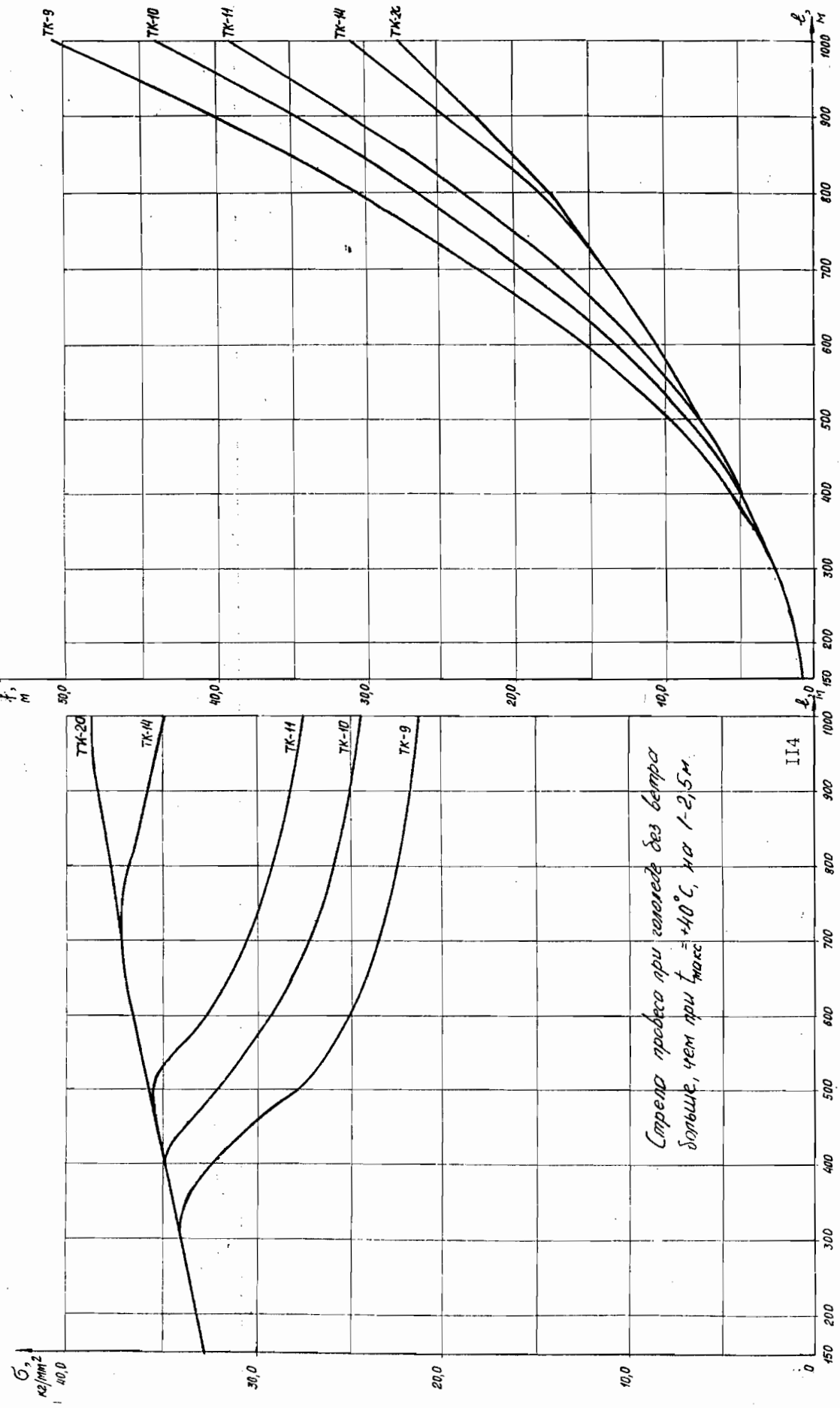


График зависимости стрепа профилей стальных конструкций морки ТК от прогрева при  $t = +40^\circ\text{C}$

$$\begin{aligned} & \tau_{\text{н}} = 100 \text{ кг}/\text{м}^2 \cdot \text{с} = 15 \text{ мм}, \quad G_1 = 60 \text{ кг}/\text{мм}^2, \quad t_{\min} = -40^\circ\text{C} \\ & G_2 = 42 \text{ кг}/\text{мм}^2, \quad t_s = 0^\circ\text{C} \end{aligned}$$

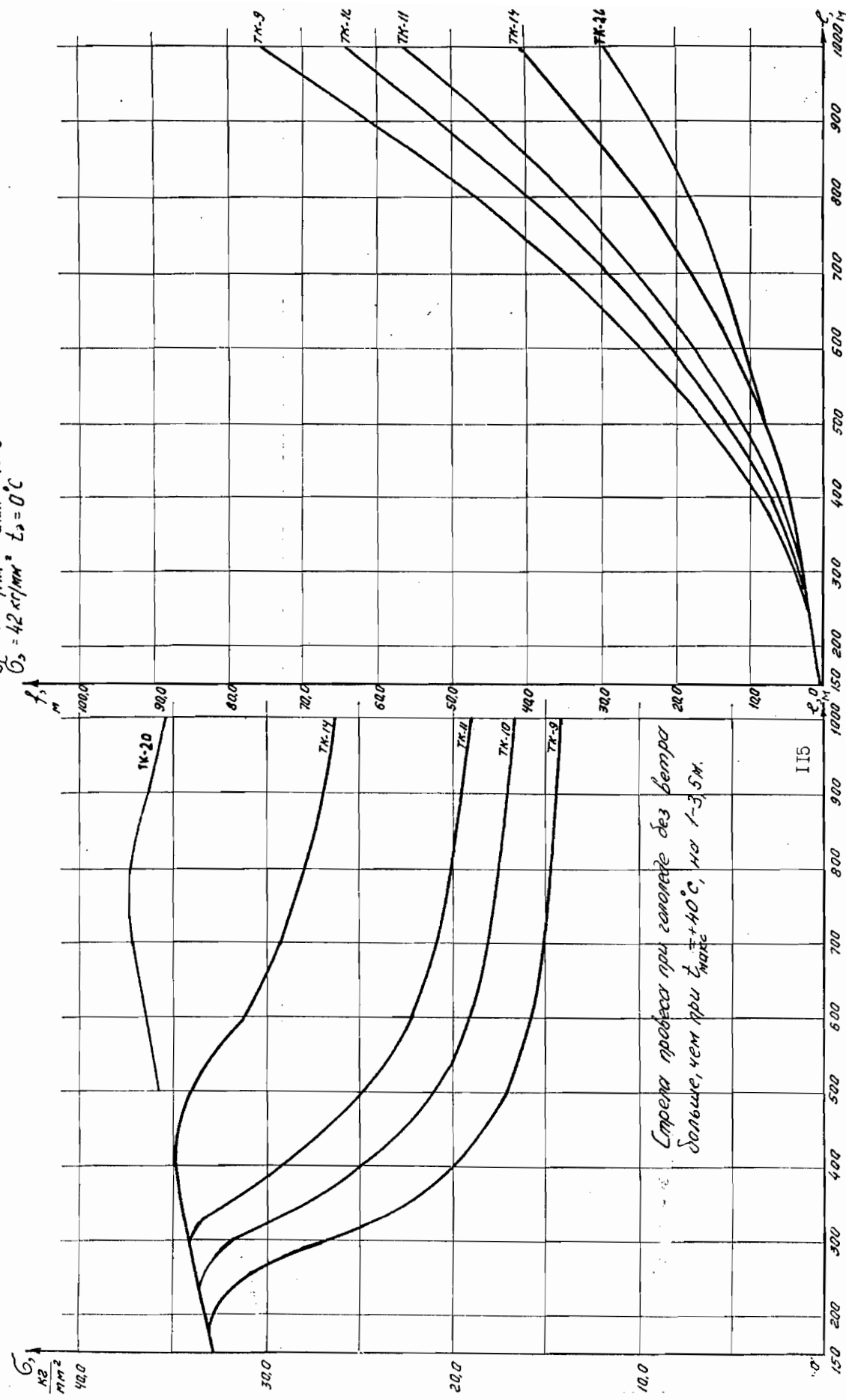
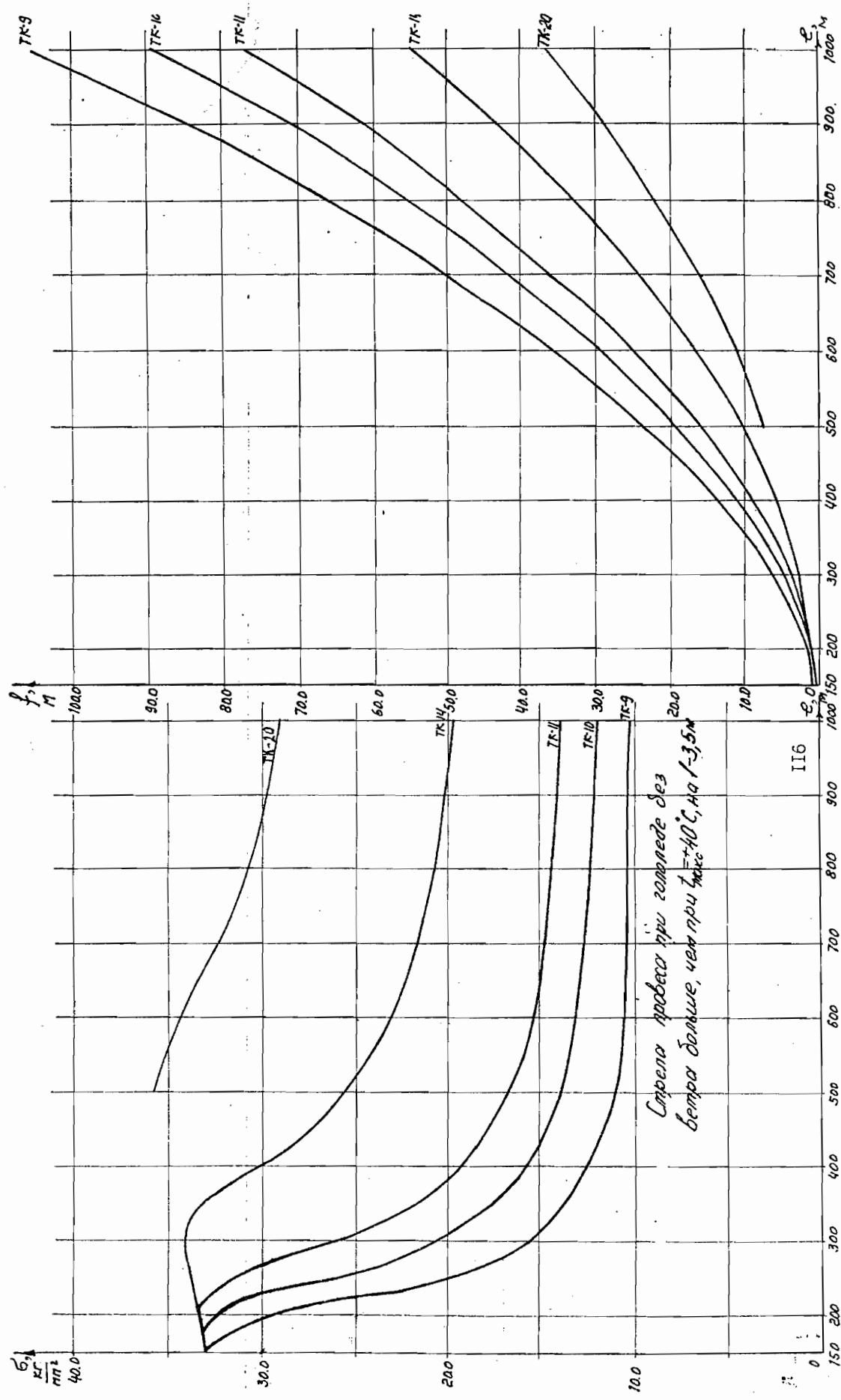
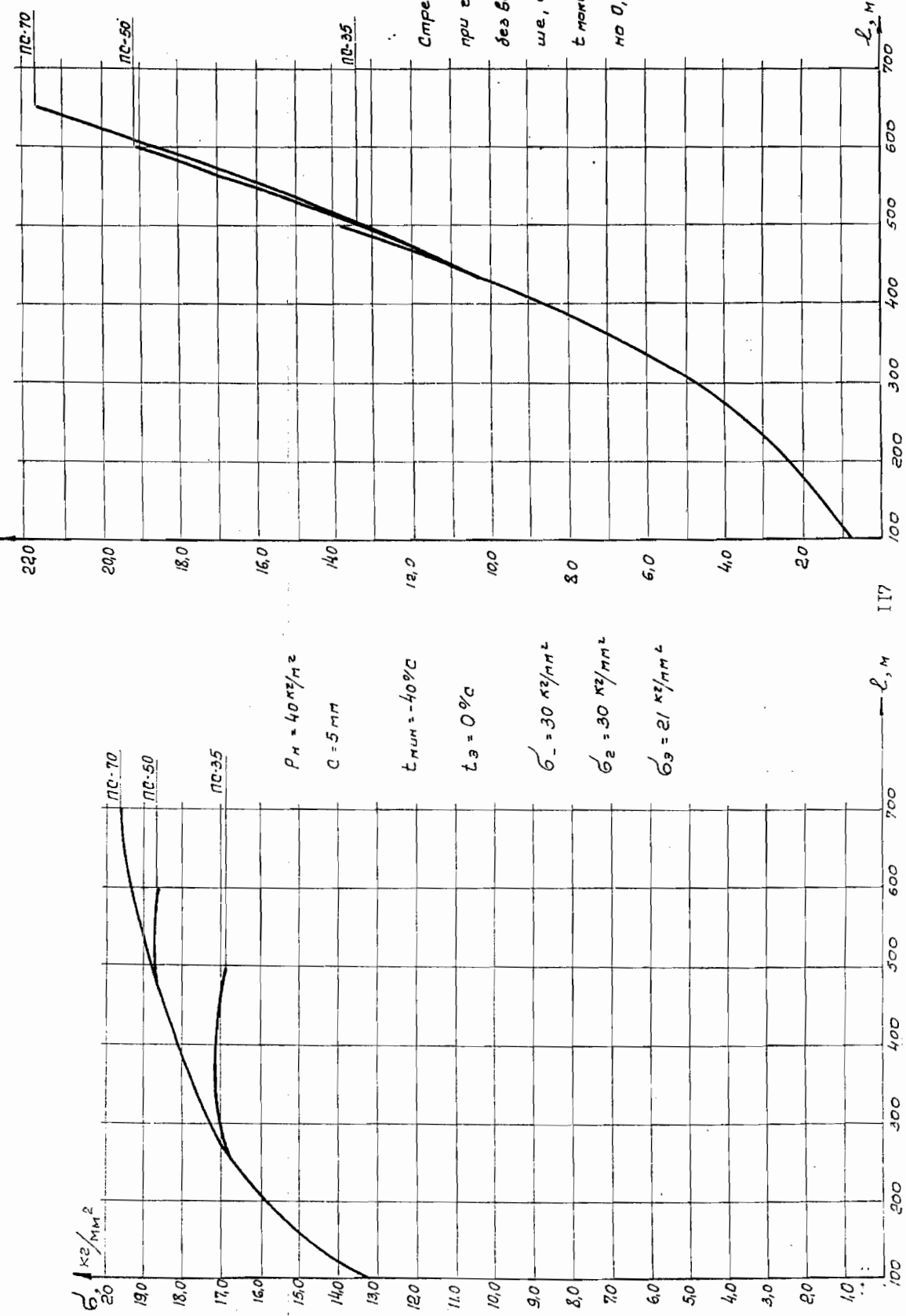


График залежності напруженості відповідно станичних значень ТК від пролета  
 при  $\zeta_0 = +40^\circ\text{C}$ ,  $\zeta_K - g_1, \zeta_K - 10, \zeta_K - 14, \zeta_K - 20$   
 $q_H = 100 \text{ кН/m}^2$ ,  $C = 20 \text{ мм}$ .  
 $G_r = 60 \text{ кН/mm}^2$ ,  $t_{min} = -40^\circ\text{C}$   
 $G_3 = 42 \text{ кН/mm}^2$ ,  $t_3 = 0^\circ\text{C}$



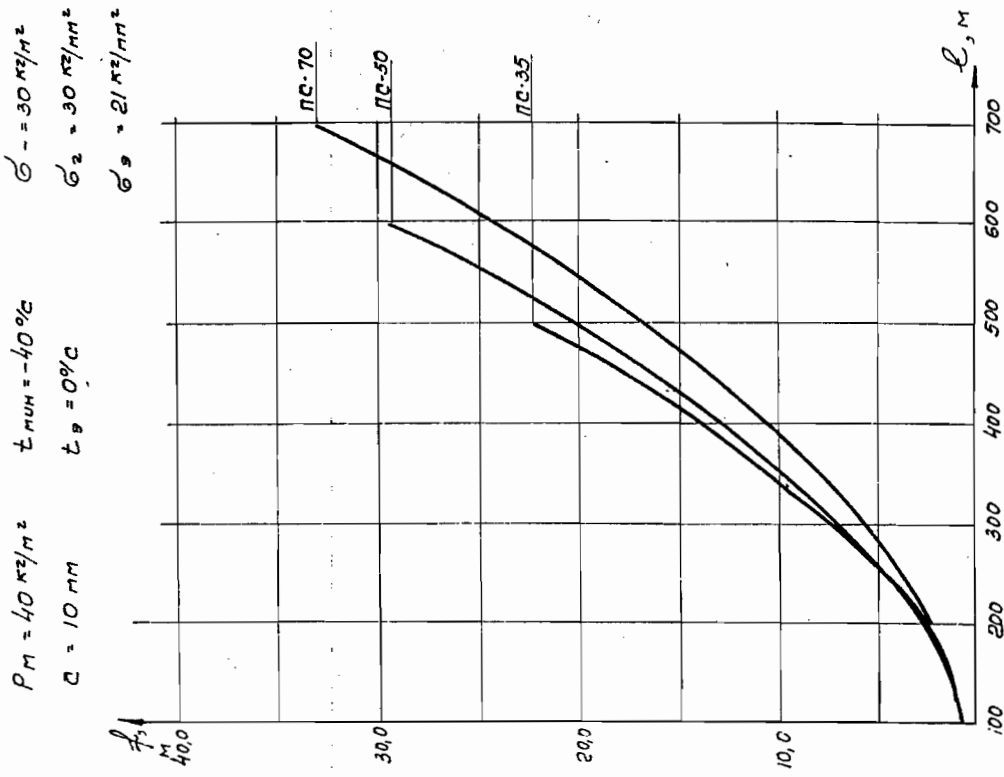
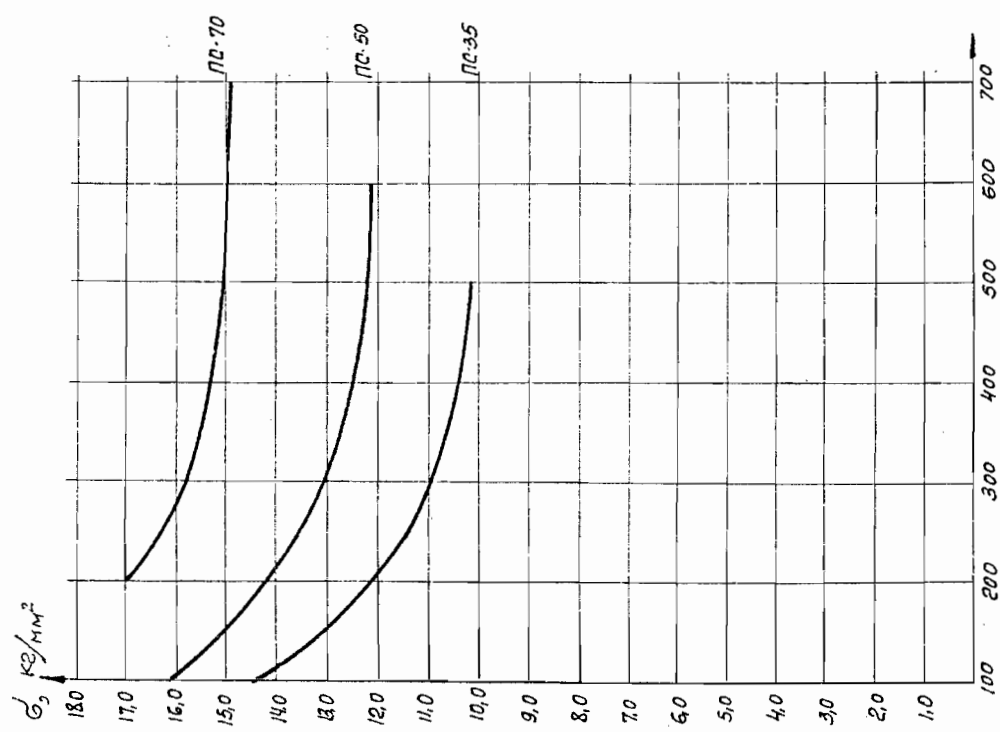
Графики зависимости напряжений и стрелы прогиба стальных прорезных погон ПС-35

ПС 50 и ПС 70 при  $t_{max} = +40^\circ C$  от длины пролета  $f_m$



Графики зависимости напряжений и стрелы прогиба от длины пролета.

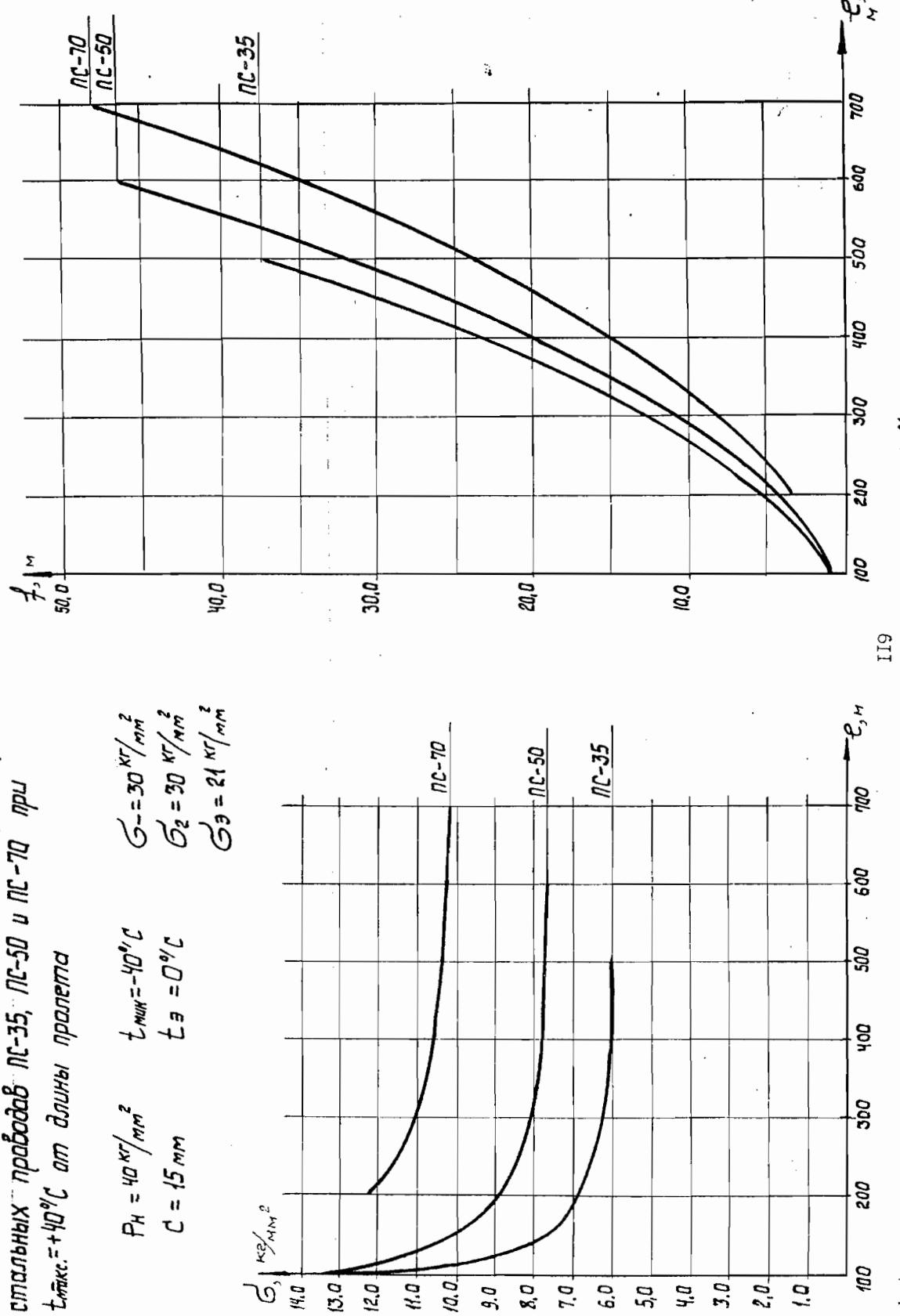
ПС-70 при  $t_{\text{мат}} = +40^{\circ}\text{C}$  от длины пролета.



Стрелы прогибов при сопротивлении балок ветровому действию, член при  $t_{\text{мат.}} = +40^{\circ}\text{C}$ , но  $0,2-0,5\text{m}$ .

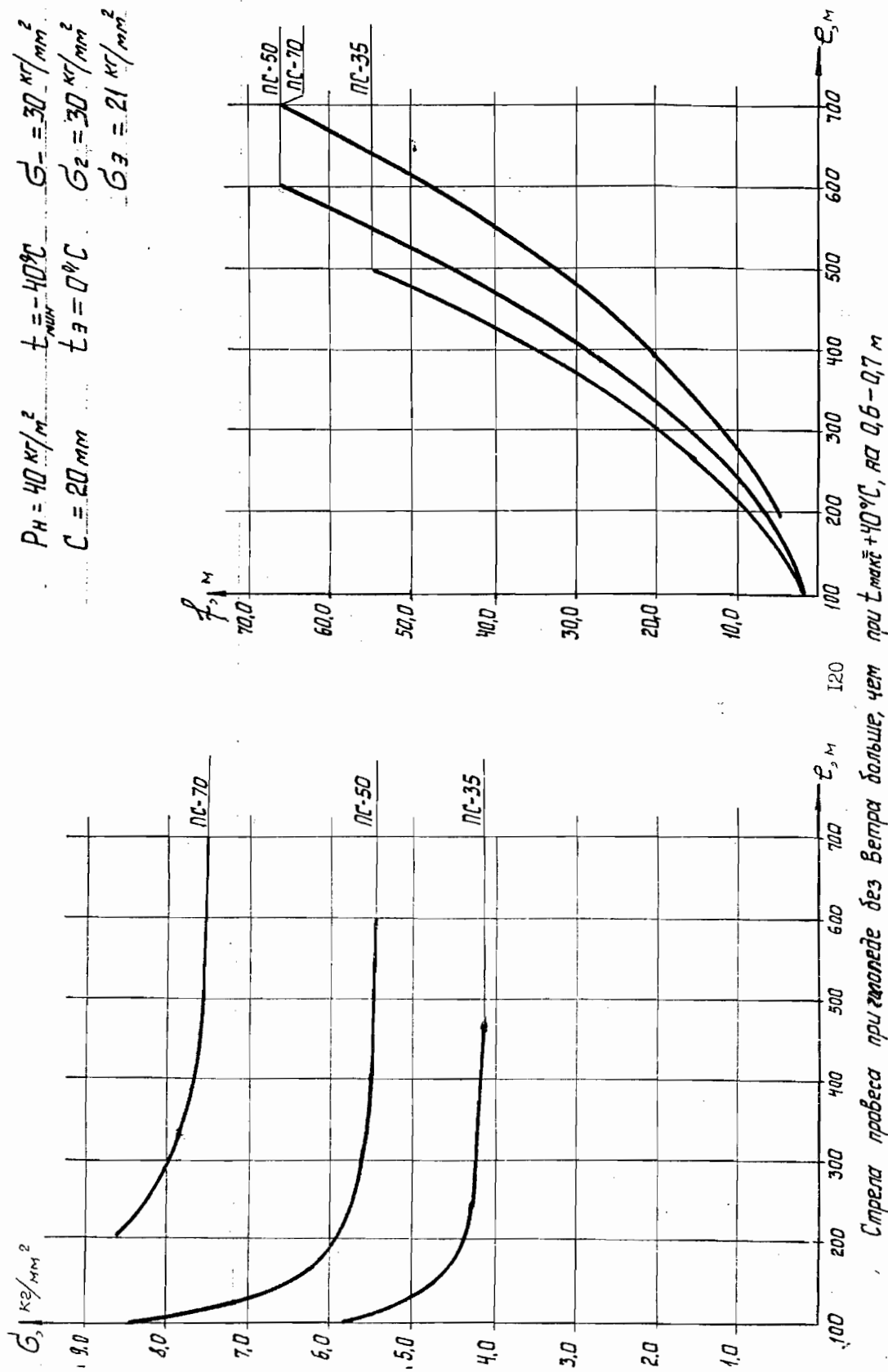
Графики эпюры симметрии напряжений и стрел пролета  
стальных пр扳ов для ПС-35, ПС-50 и ПС-70 при  
 $t_{\text{рабоч.}} = +40^\circ\text{C}$  от длины пролета

$$\begin{aligned} P_H &= 40 \text{ кН/mm}^2 & t_{\text{рабоч.}} &= -40^\circ\text{C} & G_1 &= 30 \text{ кН/mm}^2 \\ C &= 15 \text{ мм} & t_E &= 0^\circ\text{C} & G_2 &= 30 \text{ кН/mm}^2 \\ G_3 &= 21 \text{ кН/mm}^2 \end{aligned}$$



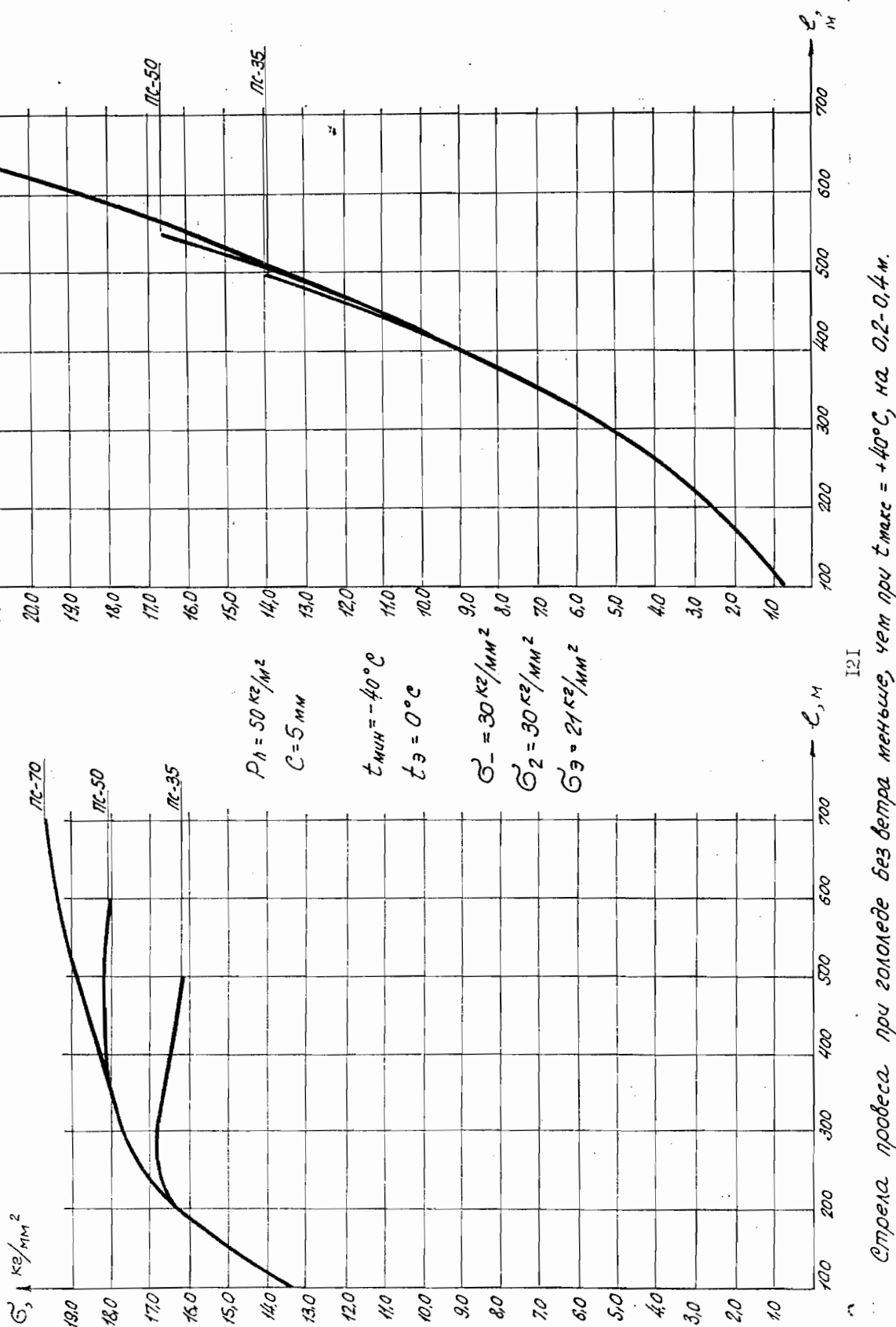
Стрела пролета при гололеде без ветра больше, чем при  $t_{\text{рабоч.}} = +40^\circ\text{C}$ , на 0.3-0.6 м

Графики зданий и струи при пробега стальных прободов марки ПС-35, ПС-50 и ПС-70 при  $t_{max} = +40^\circ C$  от длины пропелла.



Струя при пробеге при замене без ветра больше, чем при  $t_{max} + 40^\circ C$ , на 0.6-0.7 м

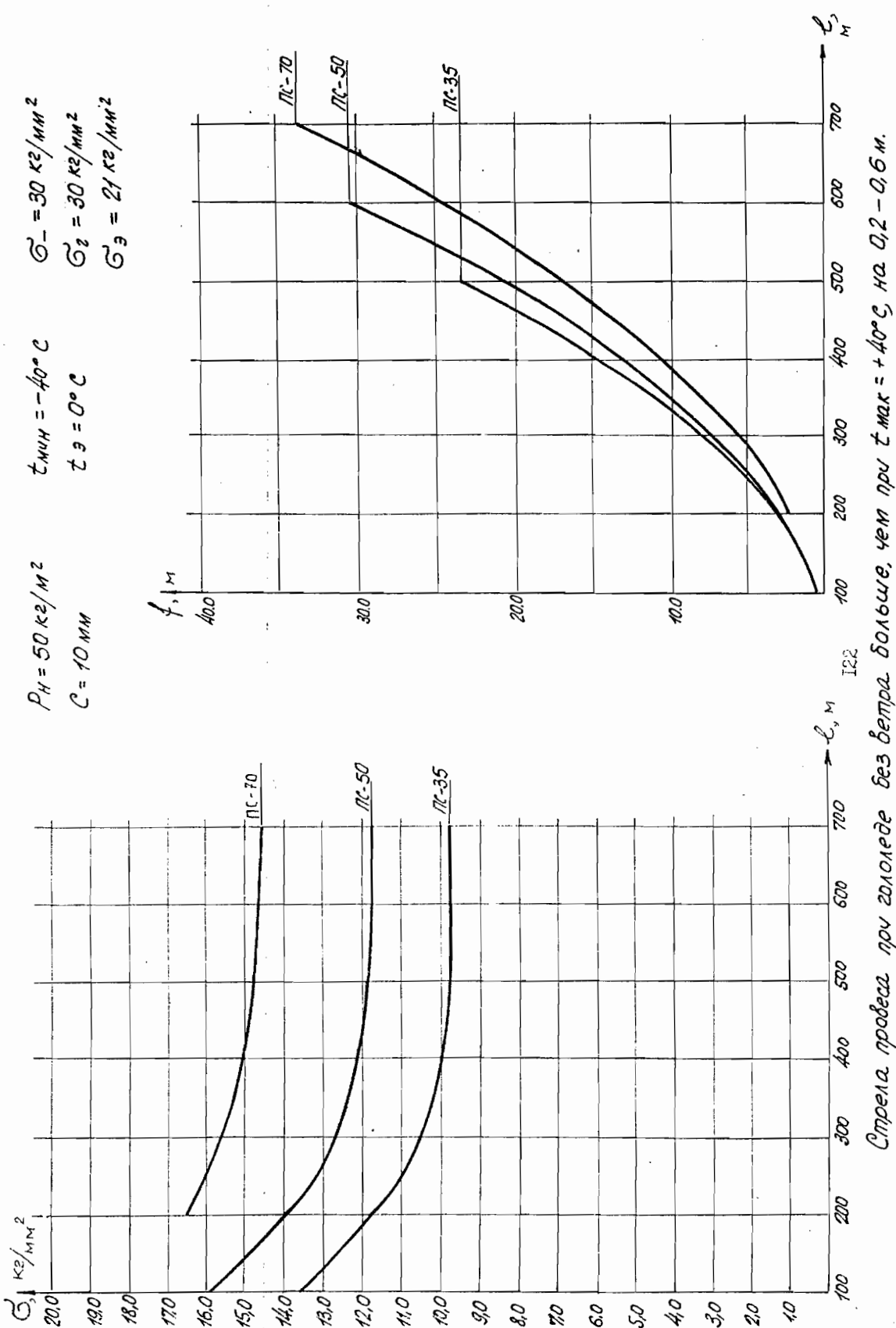
Графики зависимости напряжений от  
процессы сталаных марок марки МС-35, МС-50 и  
МС-70 при  $t_{\text{макс}} = +40^{\circ}\text{C}$  от длины пролета.



Стрелка процесса при сопротивлении без темперы погибла, чем при  $t_{\text{макс}} = +40^{\circ}\text{C}$ , на 0.2-0.4%.

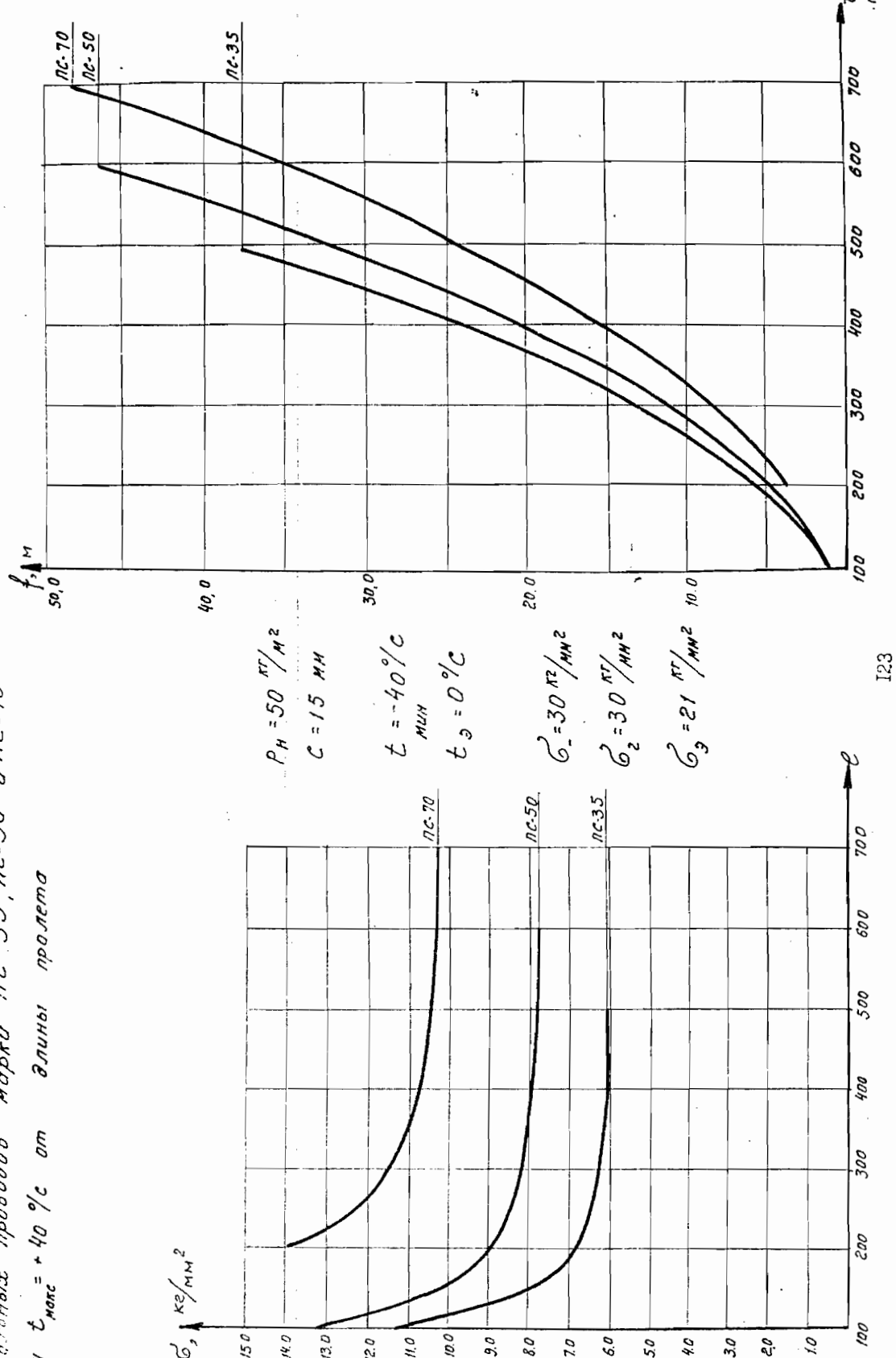
121

Справки зависимости напряжений и стрелы прогиба стальных прородов марки ПС-35, ПС-50 и ПС-70 при  $t_{\text{мак}} = +40^\circ\text{C}$  от длины пролета.



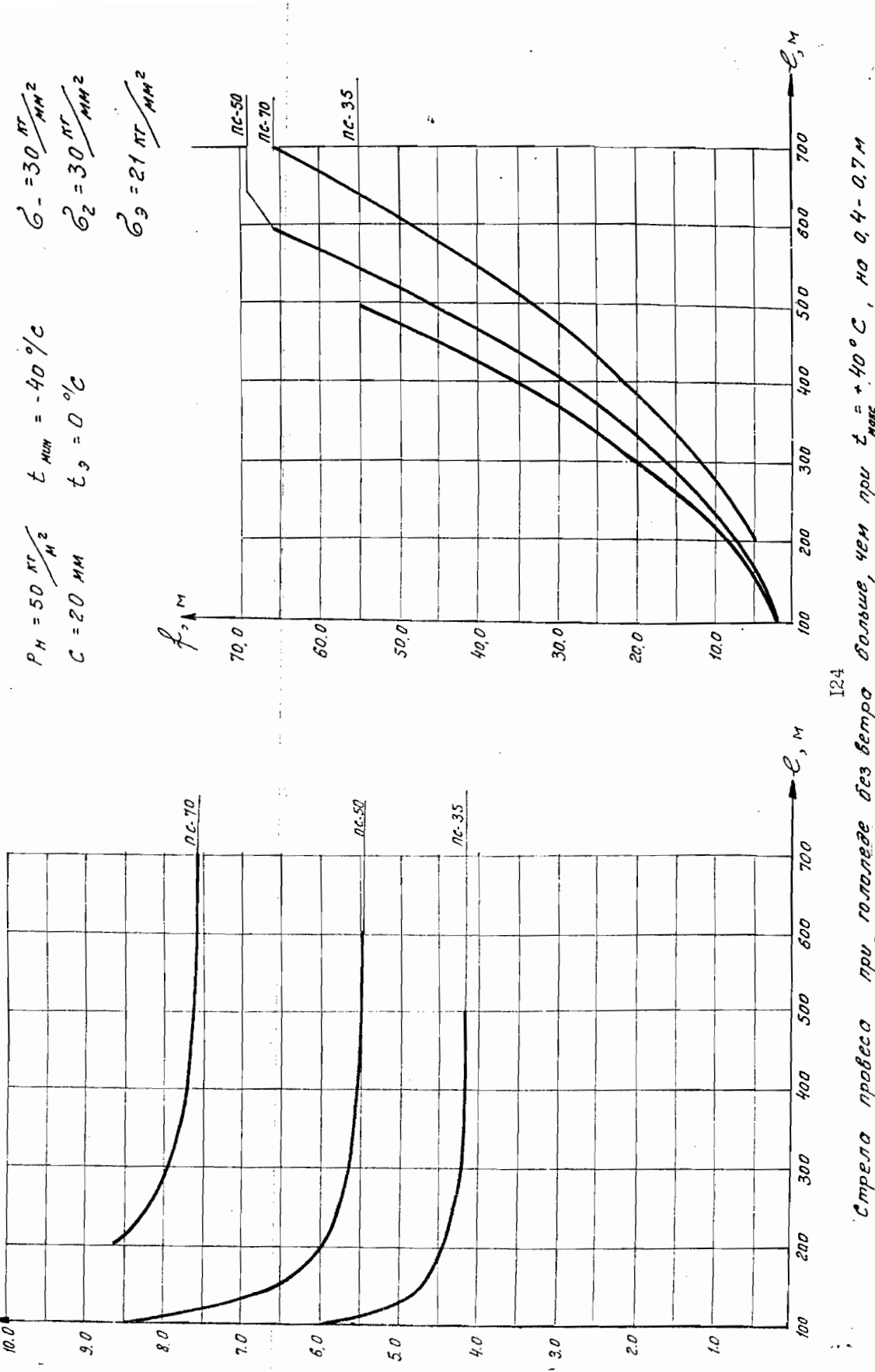
Стрела прогиба при 200 мере без учета боковых член при  $t_{\text{мак}} = +40^\circ\text{C}$  на 0,2 - 0,6 м.

Графики зависимости напряжений и стрелы прогиба  
с толщиных прводоров марки ЛС-35, ЛС-50 и ЛС-70  
при  $t_{\text{нап}} = +40\%$  от длины пролета



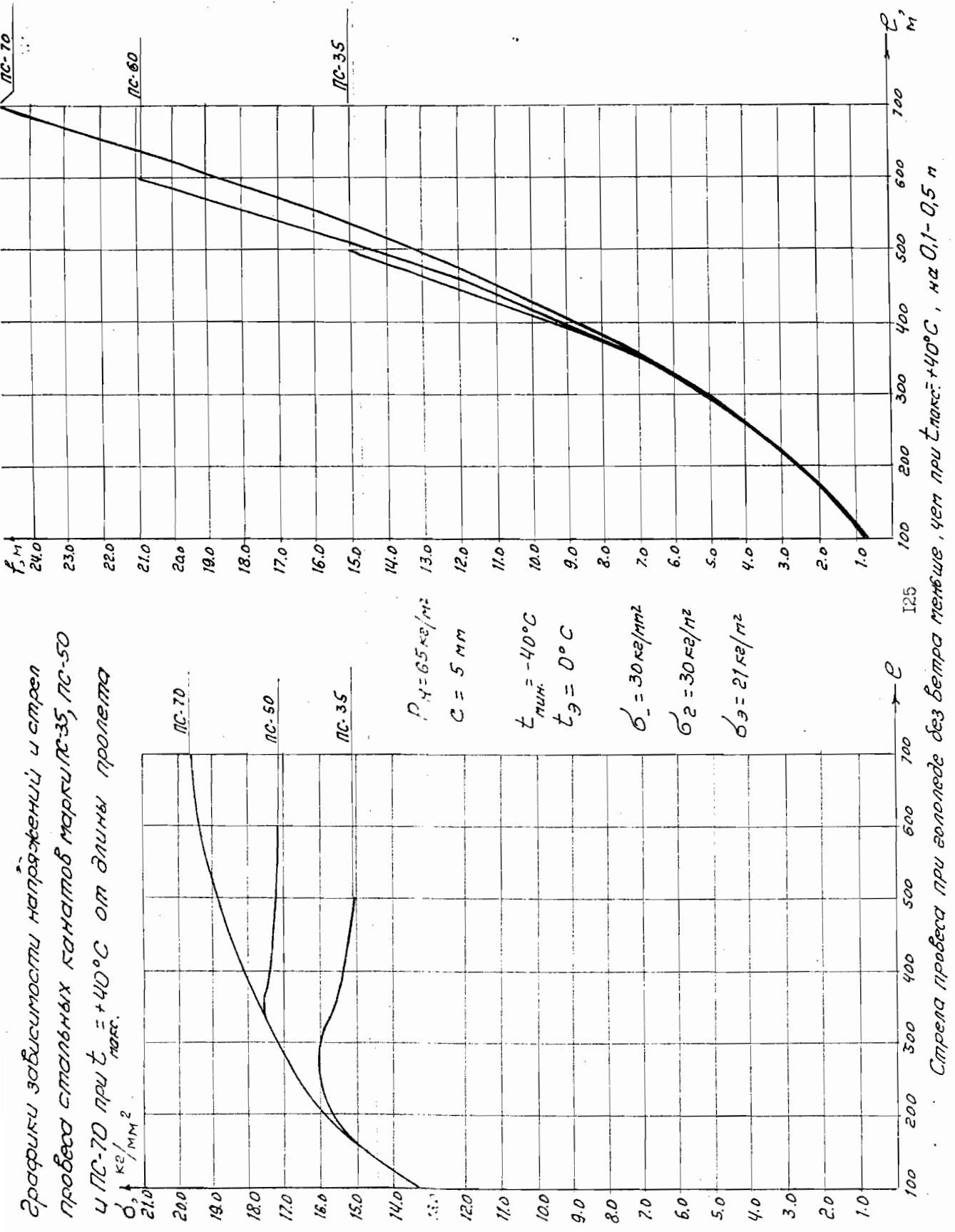
Стрела прогиба при галопе без ветра больше, чем при  $t_{\text{нап}} = +40\% / C$ , но на  $0.2 - 0.6 \text{ м}$

Графики зависимости напряжений от стрелы прогиба стальных пропилов марки ПС-35, ПС-50 и ПС-70 при  $t_{\text{мат}} = +40^\circ\text{C}$  от длины пролета.



Стрела прогиба при работе без временных болтов, член при  $t_{\text{мат}} = +40^\circ\text{C}$ , при  $0.4 - 0.7 \text{ м}$

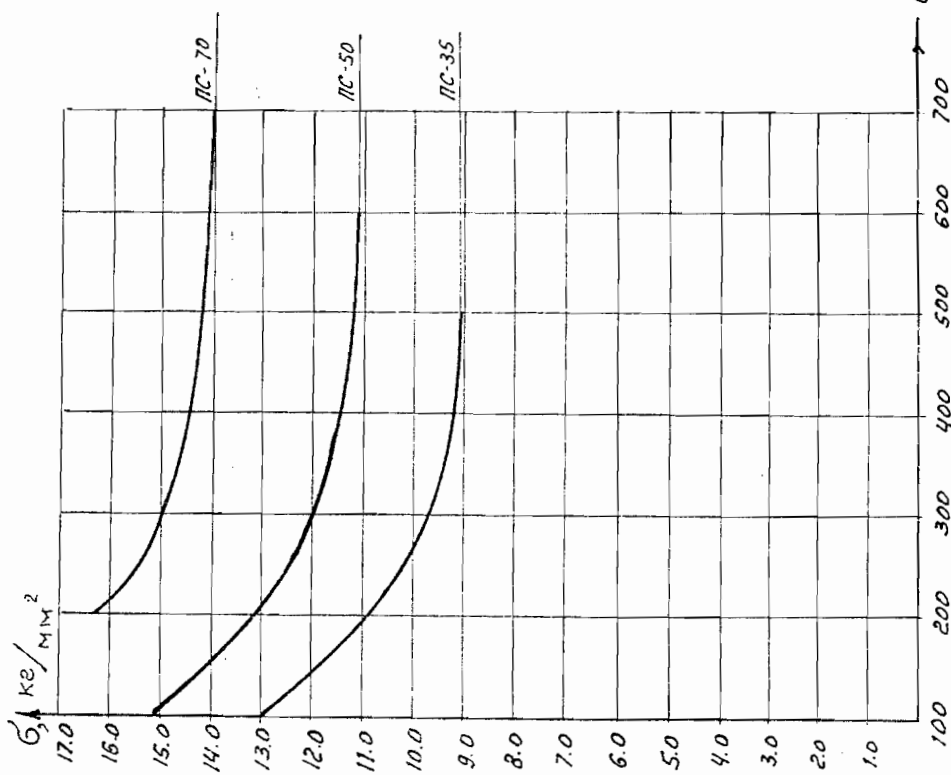
I24



Справка: при переходе без бетона температура, чем при  $\dot{\tau}_{max} = +40^\circ C$ , на 0,1-0,5  $^\circ C$ .

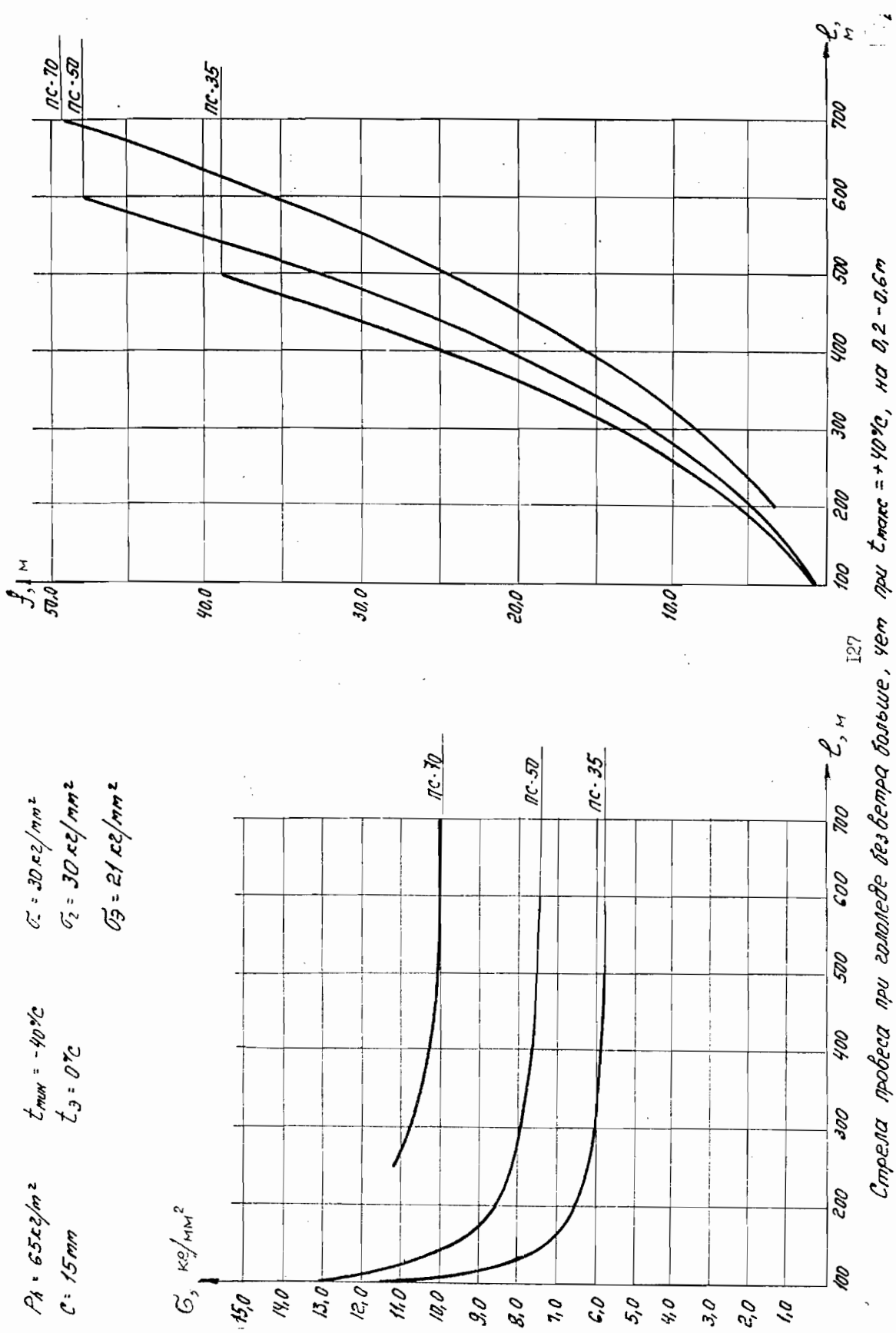
Графики зависимости напряжений и стрелы прогиба стальных проводов марки ПС-35, ПС-50 и ПС-70 при  $t_{max} = 40^\circ C$  от длины пролета.

$$\begin{aligned} P_H &= 65 \text{ кг/м}^2 & t_{min} &= -40^\circ C \\ C &= 10 \text{ м} & t_3 &= 0^\circ C \\ \sigma_1 &= 30 \text{ кг/м}^2 & \sigma_2 &= 21 \text{ кг/м}^2 \\ \sigma_3 &= 30 \text{ кг/м}^2 \end{aligned}$$



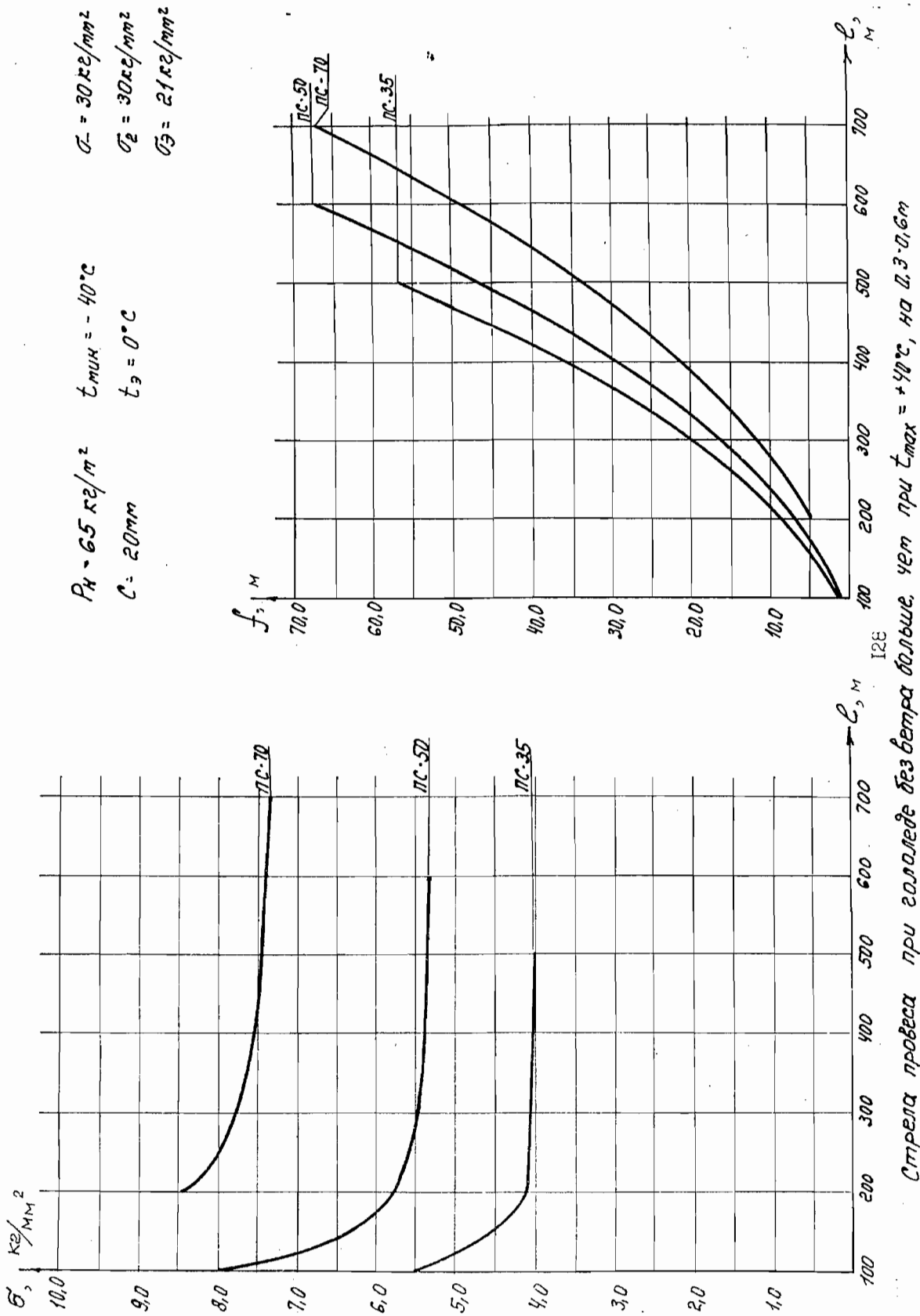
Стрела прогиба при сопротивлении без ветра больше, чем при  $t_{max} = +40^\circ C$ , на 0,1-0,5 м

График зависимости напряжений и стрел пролета стальных пролетов марки ПС-35, ПС-50 и ПС-70 при  $t_{\max} = 140^\circ\text{C}$  от  $t_{\max}$  от длины пролета.



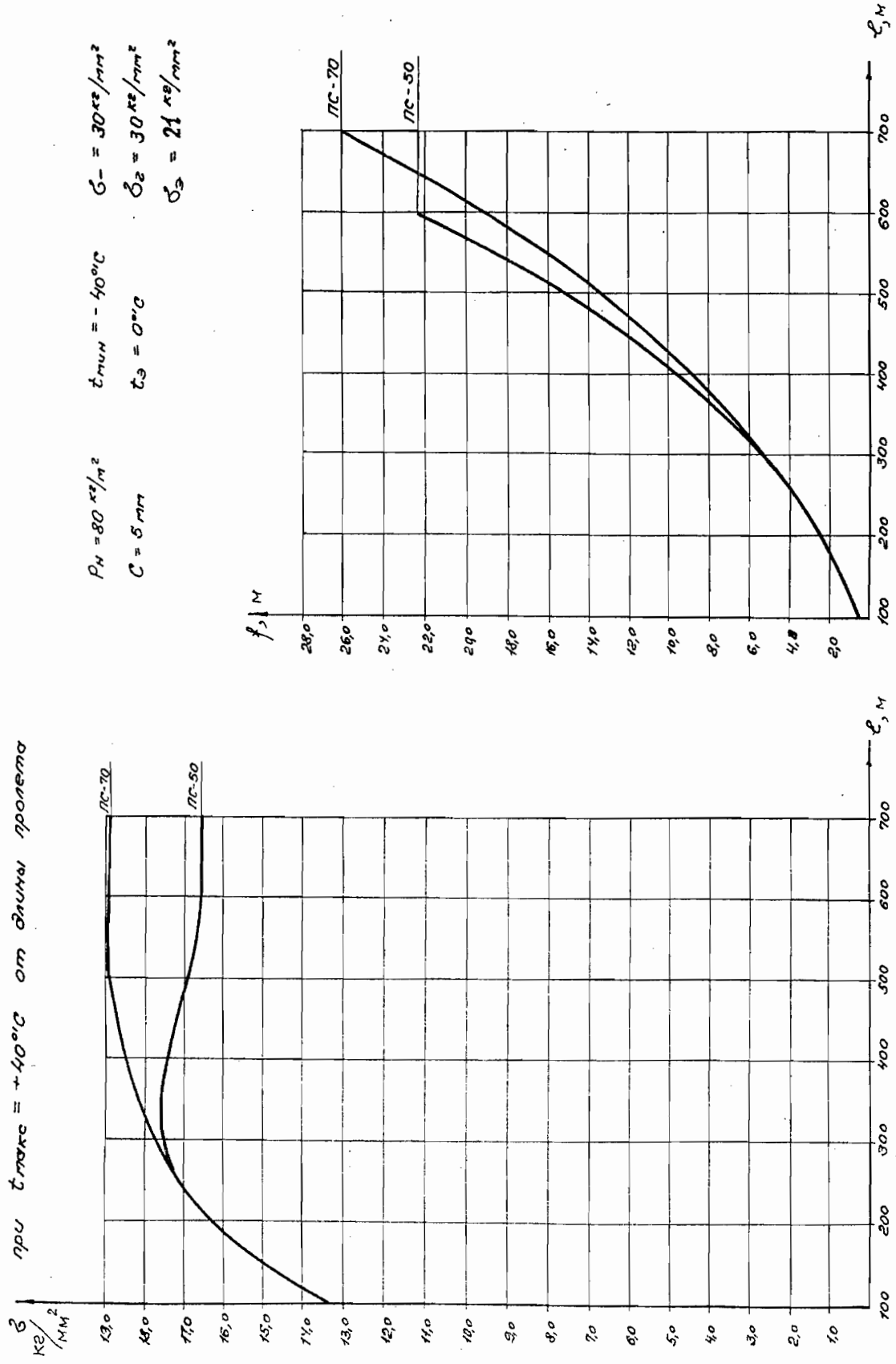
Стрела пролета при температуре воздуха больше  $t_{\max}$ , чем при  $t_{\max} = +40^\circ\text{C}$ , на 0,2 - 0,6 м

Графики зависимости напряжений и стрелы провеса стальных проводов  
марки ПС-35, ПС-50 и ПС-70 при  $\delta_{\max} = 40^\circ$  от длины пролета.



Стрела провеса при саголоже без ветра больше, чем при  $\delta_{\max} = +40^\circ\text{C}$ , на 0,3-0,6 м

Задача №129  
Составить график зависимости напряжения в спире от температуры при различных сечениях спирали при  $t = +40^{\circ}\text{C}$  и определить напряжение в спире при  $t = -40^{\circ}\text{C}$ .



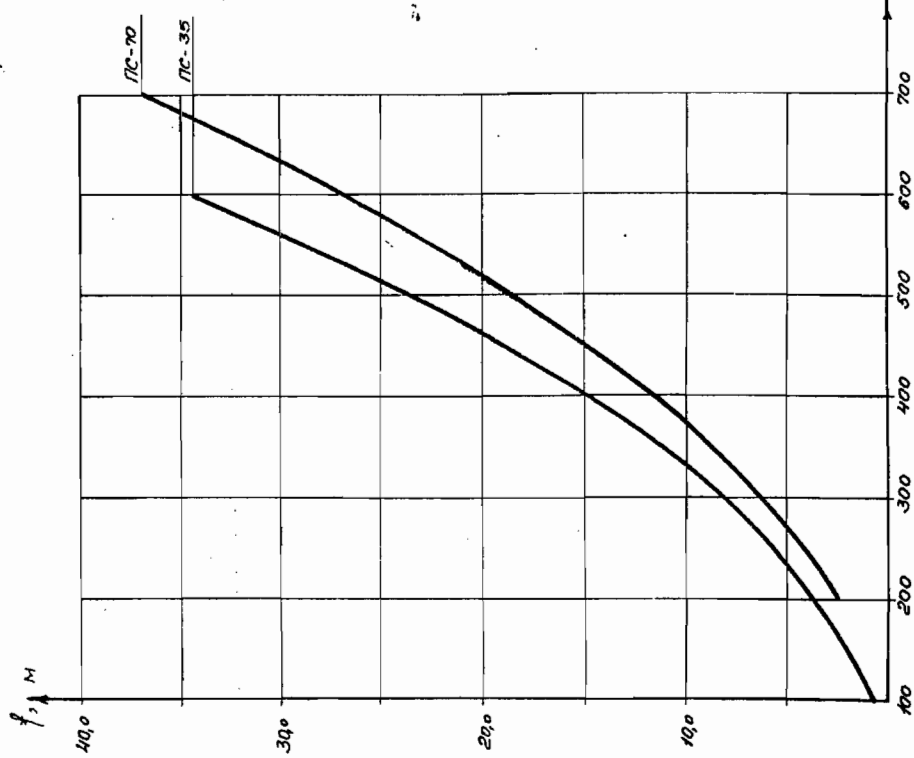
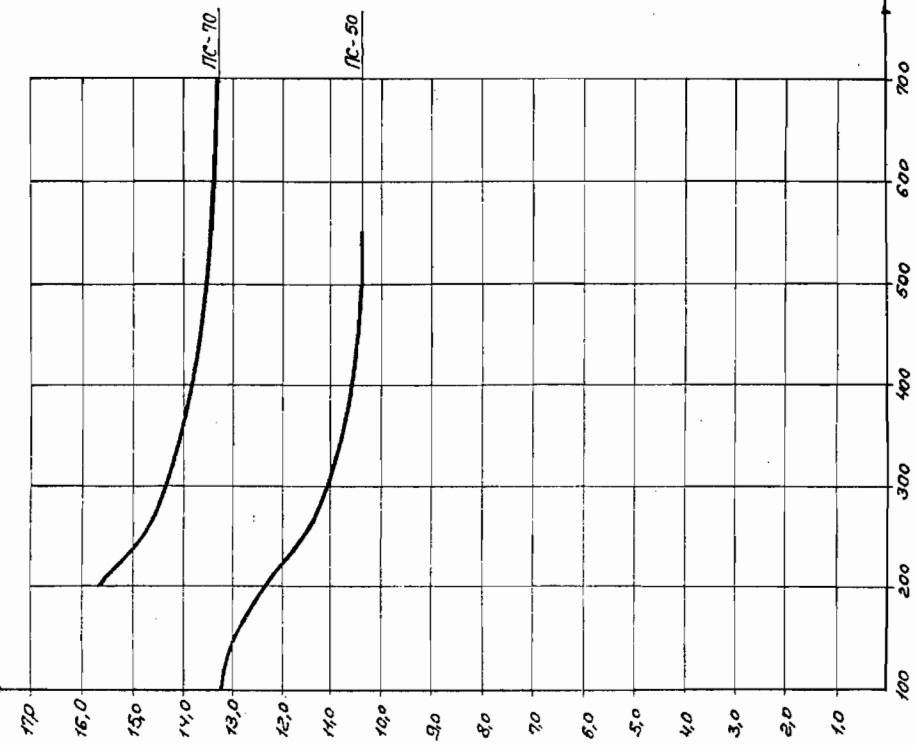
Спираль проделала при  $t = +40^{\circ}\text{C}$  температурные испытания, температура которых  $t = +40^{\circ}\text{C}$ , при  $t = -40^{\circ}\text{C}$  и  $t = 300^{\circ}\text{C}$

Задача 3. Определить напряжение и перемещение в сечении от горячего изгиба при температуре

материала  $PC-50$  и  $PC-70$  при  $t_{max} = +40^{\circ}C$  и  $t_{min} = -40^{\circ}C$  при  $C = 10 \text{ мм}$

$$\rho_H = 80 \text{ кг/м}^2 \quad t_{max} = -40^{\circ}C \quad G_1 = 30 \text{ кг/мм}^2 \quad G_3 = 24 \text{ кг/мм}^2$$

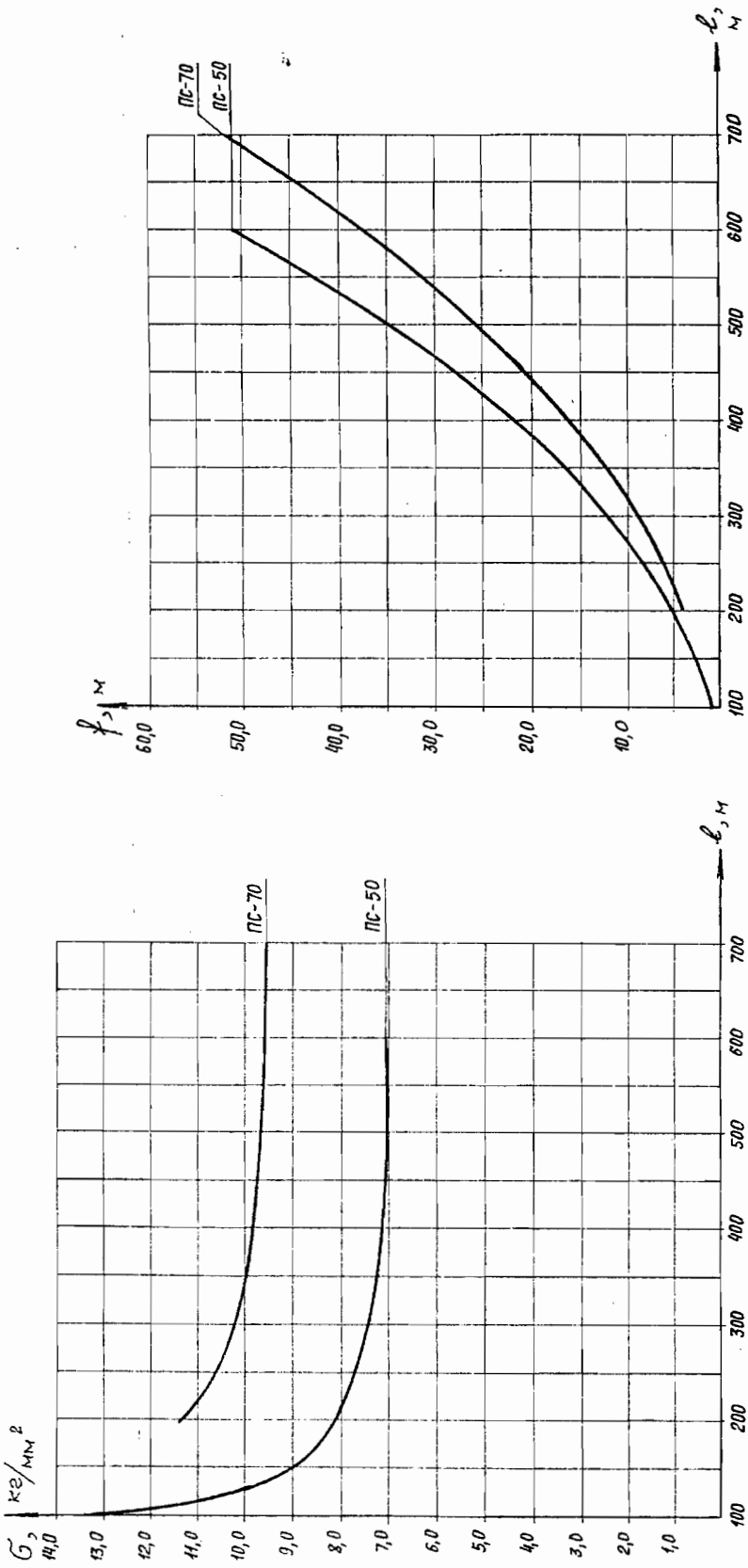
$$C = 10 \text{ мм} \quad t_E = 0^{\circ}C \quad G_3 = 30 \text{ кг/м}^2$$



Среднее напряжение сдвига в сечении для температуры  $t_{max} = +40^{\circ}C$  и  $t_{min} = -40^{\circ}C$

Графики зависимости напряжений и стрелы прогиба от длины пролета

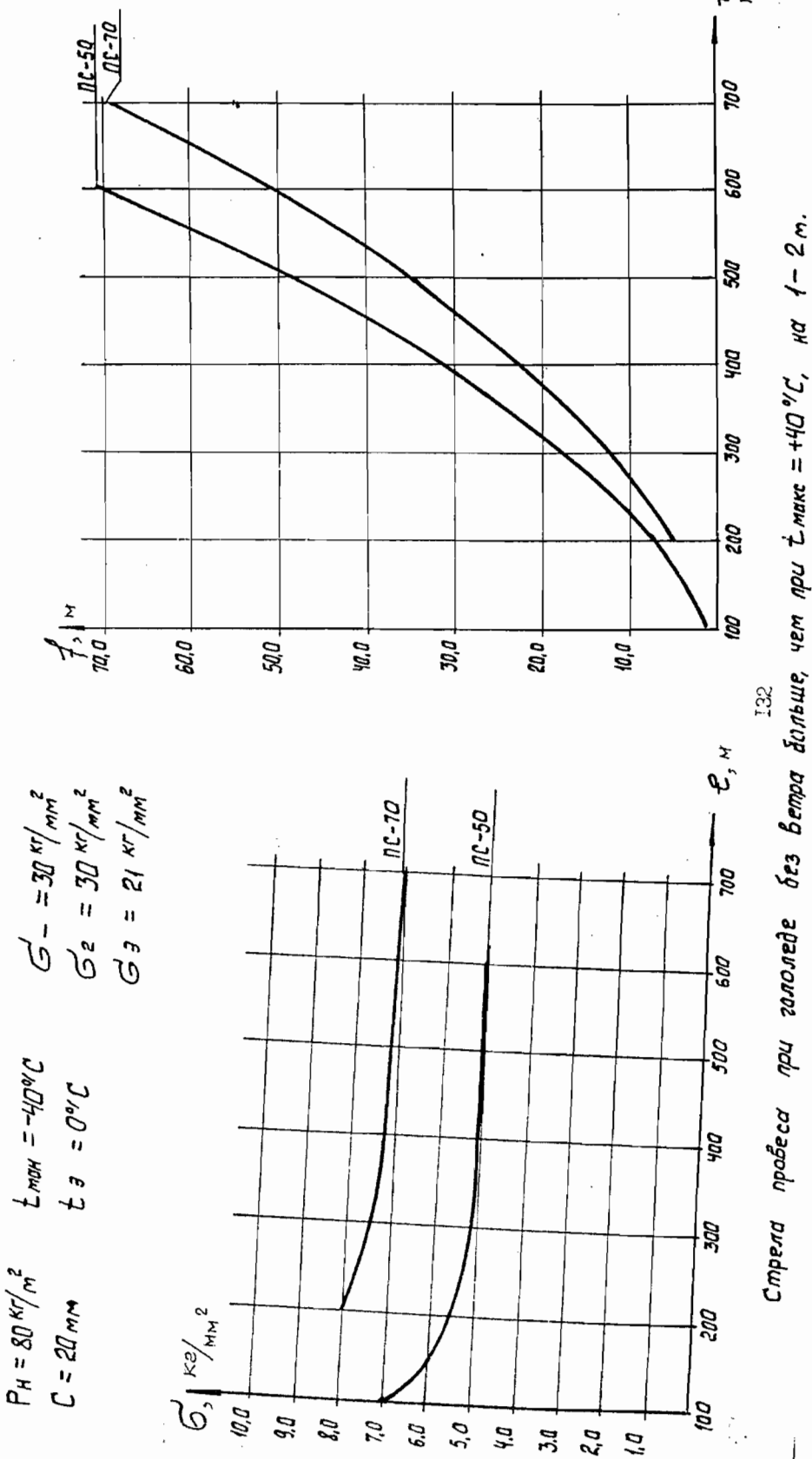
$$\begin{aligned}
 Ph &= 80 \text{ кг/м}^2 & t_{min} &= -40^\circ C & G_1 &= 30 \text{ кг/м}^2 \\
 C &= 15 \text{ мм} & t_x &= 0^\circ C & G_2 &= 30 \text{ кг/м}^2 \\
 && && G_3 &= 21 \text{ кг/м}^2
 \end{aligned}$$



131

Стрела прогиба при гололеде для ветра большого, чем при  $t_{max} = +40^\circ C$ , на 0,3-0,5 м.

Графики зависимости напряженности и стрелы прогибов от температуры при различных марки ПС-50 и ПС-70 при  $t_{\text{макс}} = +40^{\circ}\text{C}$  от длины прута.



Стрела прогиба при заложении без зазора должна быть в 2 раза при  $t_{\text{макс}} = +40^\circ\text{C}$ , но  $l = 2 \text{ м}$ .

132

Таблицы с удельными  
нагрузками для проводов

Марка провода	$\text{kg/mm}^2$
AC 50	0.01312
AC 70	0.01102
AC 95	0.00955
AC 120	0.00862

AC 150 0.00790

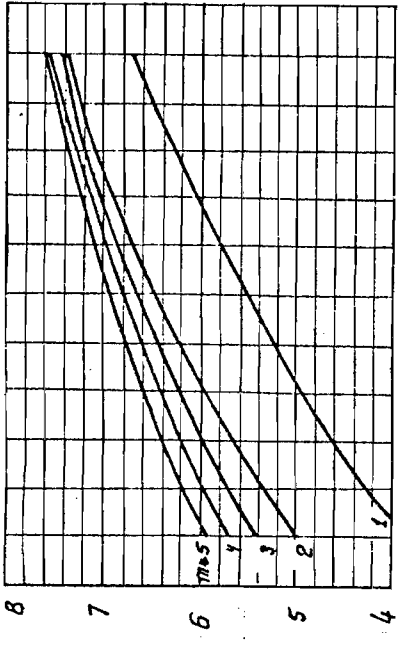


Рис. 1. Провод AC 50;  $K_2=0$ .

При расчетах Граф.  
принято  
длина гирлянд - 0,85 м  
масса гирлянд - 20 кг

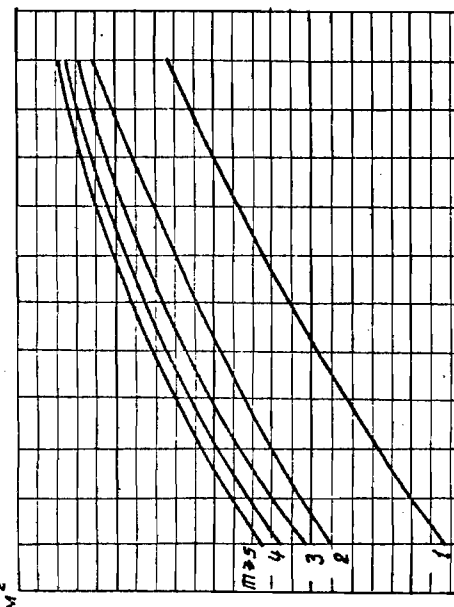


Рис. 2. Провод AC 70;  $K_2=0$ .

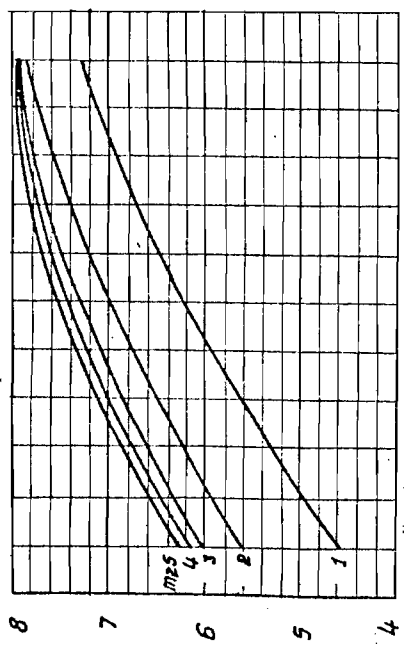


Рис. 1. Провод AC 95;  $K_2=0$ .

График  
загиба

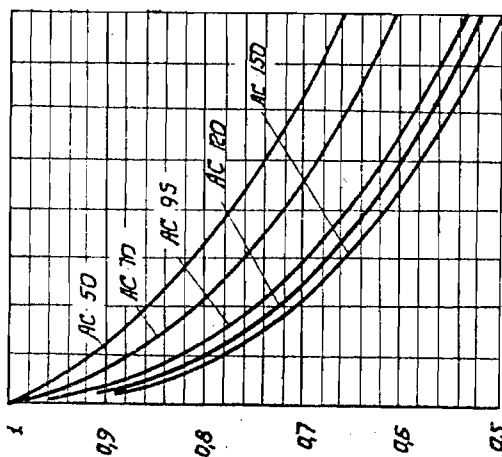


Рис. 2. Провод AC 95;  $K_2=0$ .

При расчетах Граф.  
принято  
длина гирлянд - 0,85 м  
масса гирлянд - 20 кг

Рис. 3. Провод AC 120;  $K_2=0$ .

Ном.	Кон. уч.	Лист	№ док.	План.	Дата	Определение стабильности проводов при изгибе в согласии с прописами на климатическую стойкость	
						Стадия	Лист

0,1 0,2 0,3 0,4 0,5 0,6 0,7 0,8  
коэффициент сопротивления оторви  
Рис. 6. Зависимость бреши изгиба от  $K_2$

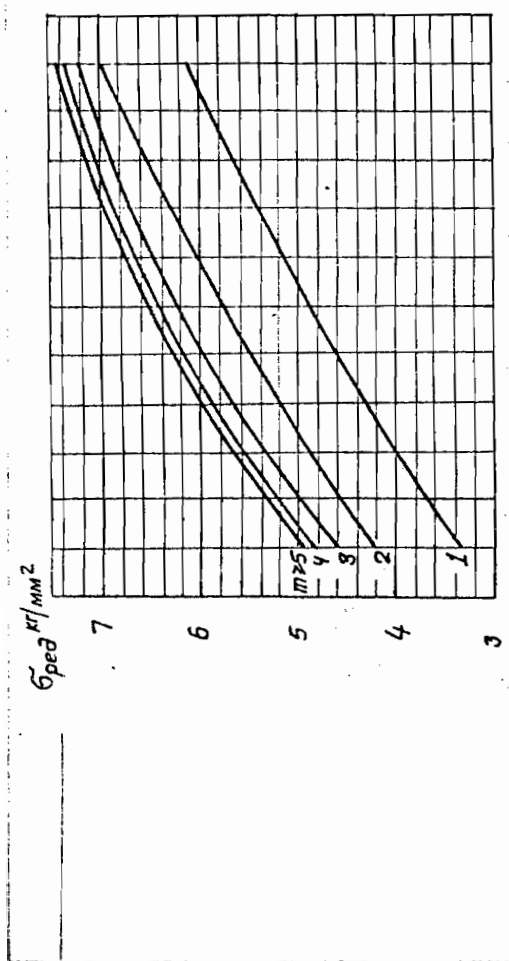
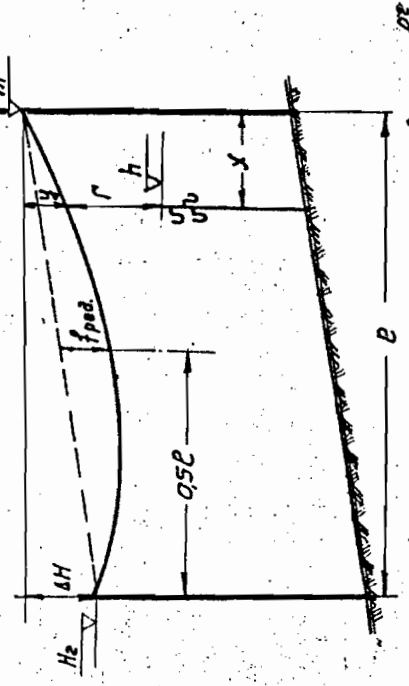


Рис. 4. Провод АС 120;  $K_2 = 0$

160 180 200 220 240 Ствол, м

Рис. 5. Провод АС 150;  $K_2 = 0$



Стрела провода в середине пролета:  $f_{\text{пред}} = \frac{G \cdot \gamma_2}{8 \cdot f_{\text{пред}}}$

Стрела провода в точке пересечения:  $Y = \frac{x}{2} [AH + 4f_{\text{пред}} (1 - \frac{x}{L})]$

Стрела провода до пересечения обеих кривых:  $\Gamma = H - y - h$

Стрела провода в середине пролета:  $f_{\text{пред}} = \frac{G \cdot \gamma_2}{8 \cdot f_{\text{пред}}}$

Стрела провода в середине пролета:  $f_{\text{пред}} = \frac{G \cdot \gamma_2}{8 \cdot f_{\text{пред}}}$

Стрела провода в середине пролета:  $f_{\text{пред}} = \frac{G \cdot \gamma_2}{8 \cdot f_{\text{пред}}}$

Стрела провода в середине пролета:  $f_{\text{пред}} = \frac{G \cdot \gamma_2}{8 \cdot f_{\text{пред}}}$

Стрела провода в середине пролета:  $f_{\text{пред}} = \frac{G \cdot \gamma_2}{8 \cdot f_{\text{пред}}}$

Стрела провода в середине пролета:  $f_{\text{пред}} = \frac{G \cdot \gamma_2}{8 \cdot f_{\text{пред}}}$

Стрела провода в середине пролета:  $f_{\text{пред}} = \frac{G \cdot \gamma_2}{8 \cdot f_{\text{пред}}}$

### Обозначения:

$G$  — предизуточное напряжение провода, при  $K_2 = 0$   
предельные отпоры с тросами, механические без троса /  
" " " " при  $K_2 \neq 0$

Горизонтальный и вертикальный отпоры без троса /  
анкерного участка

Помимо рассмотриваемого пролета, считаю от  
анкерной опоры

Таблица значений  $K_2$  (см/кг) для деревянных  
столбов без троса

Конструкции опор	Значение столбов в зависимости от				
	$H = 10,5m$	$16$	$18$	$20$	$22$
Одностоечная	$H = 10,5m$	0,47	0,436	0,429	0,424
	$H = 12,5m$	0,55	0,43	0,35	0,20
Лобовая с 1-й обвязкой	$H = 12,5m$	0,62	0,48	0,39	0,32
	$H = 10,5m$	0,73	0,57	0,47	0,40
Лобовая без растяжек	$H = 10,5m$	0,71	0,54	0,48	0,38
	$H = 12,5m$	0,82	0,65	0,53	0,45

Для жесткообшитомных опор  $\Delta \leq 3$  троса принимают  
принципиально различно  $K_2 = Q_1$  см/кг.

Определение габаритов при обвязке в  
соседнем пролете на  
в.л. башенного тягача,  
ком. башне тягача

Стандарт

Лист

Листов

Подписано в печать  
Усл. печл. **16.19**  
Тираж 350 экз.

Формат 60x84/8  
Учетн.-издл.  
Зак. N

---

АО РОСЭП  
111395, Москва, Аллея Первой Маевки, 15  
МСЛ - 004174